Министерство сельского хозяйства и продовольствия Республики **Беларусь**

Учреждение образования «Белорусский государственный аграрный технический университет»

<u>Факультет</u> «Технический сервис в АПК» Кафедра механики материалов и деталей машин

СОГЛАСОВАНО	СОГЛАСОВАНО
Заведующий кафедрой	Декан ФТС
<i>1 осит</i> В.Н. Основин	А.В. Миранович
«Яе» /2 2019 г.	«26» 12 2019 г.

ЭЛЕКТРОННОЕ УЧЕБНО-МЕТОДИЧЕСКОЕ ПОСОБИЕ «ПРИКЛАДНАЯ МЕХАНИКА. КУРСОВОЕ ПРОЕКТИРОВАНИЕ»

для специальностей:

1-74 06 06 Материально-техническое обеспечение агропромышленного комплекса;

1-74 06 07 Управление охраной труда в сельском хозяйстве;

направления специальности:

1-54 01 01-06 Метрология, стандартизация и сертификация (аграрнопромышленный комплекс)

Составители: Основин Виктор Николаевич, заведующий кафедрой, кандидат технических наук,доцент; Жаркова Лилия Сергеевна, Клавсуть Петр Владимирович, Сокол Ольга Васильевна, Сергеев Кирилл Леонидович

Рассмотрено и утвер	эждено		
на заседании Научн	о-методич	еского	
совета БГАТУ	H	Sill Tefel	20 <u>20 г</u> .
протокол № 6		·	
		1	

УДК 621.81.001.63(075.8)

ББК 39.9я7 П45

Составители:

кандидат технических наук, доцент В. Н. Основин, старший преподаватель Л. С. Жаркова, старший преподаватель П. В. Клавсуть, старший преподаватель О. В. Сокол старший преподаватель К. Л. Сергеев

Рецензенты:

кандидат технических наук, доцент, зав. кафедрой «Материаловедение и проектирование технических систем» УО «Белорусский государственный технологический университет» Д.В. Куис;

кандидат технических наук, доцент, ведущий научный сотрудник лаборатории обработки почвы и посева РУП «НПЦ НАН Беларуси по механизации сельского хозяйства» Н.Д. Лепешкин

Прикладная механика : методические рекомендации для выполнения курсового проекта / сост. : В.Н.Основин [и др.]. — Минск : БГАТУ, 2020_____. с. ISBN 978-985-519-487-4.

В учебно- методическом пособии сформулированы цель, задачи и тематика курсового проектирования. Определены структура и содержание проекта. Приводятся требования по оформлению текстового материала расчетно-пояснительной записки, чертежей сборочных единиц и чертежей деталей. Предложен список рекомендуемой литературы и даны необходимые для проектирования справочные материалы.

Методическое пособие содержит методики расчета основных видов передач и других элементов привода и методики и рекомендации по разработке их конструкции. Все вопросы рассматриваются на примере разработки типового привода сельскохозяйственного назначения.

Предназначено для студентов направлений подготовки специалистов специальностей 1-74 06 06 Материально-техническое обеспечение агропромышленного комплекса , 1-74 06 07 Управление охраной труда в сельском хозяйстве и 1-54 01 01-06 Метрология, стандартизация и сертификация (аграрно-промышленный комплекс).

УДК 621.81.001.63(075.8)

ББК 39.9я7

ISBN 978-985-519-487-4 © БГАТУ, 2020

Содержание

Введение	.5
1 Цель, задачи и тематика курсового проектирования	6
2 Структура и содержание курсового проекта	8
2.1 Содержание и объем курсового проекта	8
2.2 Требования к оформлению курсового проекта	9
2.2. 1 Структура пояснительной записки и оформление ее разделов	9
2.2.2 Оформление листов пояснительной записки	.13
2.2.3 Оформление листов спецификаций	.18
2.2.4 Оформление графической части курсового проекта	.20
2.2.5 Обозначение конструкторской документации	.26
3 Методические рекомендации по выполнению курсового проекта	.28
3.1 Общие принципы проектирования и их реализация при курсовом проектировании	.28
4 Организация курсового проектирования	32
Рекомендуемая литература для выполнения проекта	33
Приложение А – Пример задания на курсовые проекты	35
Приложение Б – Пример курсового проекта по прикладной механике	37
Приложение В – Типовые конструкции приводов приводов и редукторо	ов
1	149
Приложение Г – Основные нормы взаимозаменяемости при назначении номинальных размеров	155
Приложение E – Расчет цепной передачи. Рекомендации и справочные материалы1	163

Приложение Ж – Цилиндрические и конические зубчатые передачи.	
Справочные данные для определения допускаемых напряжений	166
Приложение 3 – Расчет закрытой цилиндрической передачи. Справочн	ные
данные	171
Приложение И – Компенсирующие муфты	176
Приложение К – Конструирование валов. Справочные данные	179
Приложение Л – Уплотнения подшипниковых узлов	191
Приложение М – Подшипники качения и опоры	195
Приложение Н – Корпуса подшипников	205
Приложение О – Конструирование зубчатых колес	221
Приложение П – Конструирование звездочек цепных передач	223
Приложение Р – Конструирование крышек подшипников	225
Приложение С – Конструирование корпуса редуктора	.227
Приложение Т – Проверочный расчет валов	238
Приложение У – Проектирование рамы привода	242
Приложение Ф – Смазка редуктора	247
Приложение Х – Пример проектирования ременной передачи	249

Введение

Основной целью курсового проектирования ПО дисциплине "Прикладная механика" является приобретение инженерных навыков по расчету и конструированию типовых механизмов, узлов и отдельных деталей машин на основе ранее полученных теоретических знаний по общеинженерным дисциплинам и разделам дисциплины « Прикладная механика » для специальностей 1-74 06 06 Материально-техническое обеспечение агропромышленного комплекса, 1-74 06 07 Управление охраной В сельском хозяйстве И 1-540101 труда Метрология, стандартизация и сертификация.

В качестве объектов курсового проектирования предлагаются приводы различных машин и механизмов сельскохозяйственного назначения, использующие одноступенчатый редуктор, открытую передачу и большинство деталей и узлов общего назначения.

В ходе курсового проектирования производятся проектные, проверочные расчеты и рассматривается проектирование компонентов механического привода с учетом назначения привода и предъявляемых к нему требований.

В предлагаемом пособии даны основные требования к оформлению записки и графической части курсового проекта, рассмотрены основные этапы разработки курсового проекта на примере проектирования привода в составе открытой цепной передачи и одноступенчатого редуктора с цилиндрическими зубчатыми колесами.

Даны необходимые справочные материалы и методические указания ,необходимые для курсового проектирования .

1 Цель, задачи и тематика курсового проектирования

От каждого инженера требуется не только знать устройство машин и правила эксплуатации их, но и уметь рассчитать узлы, детали и разработать конструкции этих машин.

Конструктор является творцом новой техники , и от уровня его творческой работы зависят темпы научно-технического прогресса. Успех при создании новой техники определяется тем, что заложено на чертеже конструктора.

В этой связи следует отметить особую роль курсового проектирования по курсу "Прикладная механика " в приобщении студентов к деятельности инженеров и исследователей, в понимании значения общетеоретических и общеинженерных дисциплин.

Основной целью курсового проектирования является формирование у будущих специалистов профессиональных знаний, умений и практических навыков для профессиональной деятельности по проектированию и эксплуатации техники в АПК.

В ходе курсового проектирования ставится задача приобретения студентами инженерных навыков по расчету и рациональному конструированию типовых механизмов, узлов и отдельных деталей машин на основе ранее полученных теоретических знаний по общеинженерным дисциплинам и разделам дисциплины «Прикладная механика ».

В качестве объектов курсового проектирования предлагаются приводы различных машин и механизмов сельскохозяйственного назначения (например, ленточных транспортеров, цепных конвейеров и др.), использующие одноступенчатый редуктор, открытую передачу и большинство деталей и узлов общего назначения. В ходе курсового проектирования предлагается спроектировать приводную станцию к машине сельскохозяйствен-ного назначения с учетом условий ее использования.

Тематика курсового проектирования:

- -спроектировать приводную станцию к кормораздатчику , предназначенному для раздачи кормов. Работа привода периодическая. Питание от электросети на опорах типа ШФ-10-Г;
- спроектировать приводную станцию к скреперному штанговому транспортеру, предназначенному для удаления навоза из свинарника. Работа привода периодическая. Питание от электросети на опорах типа ШФ-10-Г;
- спроектировать приводную станцию к горизонтальному винтовому транспортеру (шнеку), предназначенному для перемещения зерна, сенной муки. Работа привода периодическая. Питание от электросети на опорах типа ШФ-10-Г;
- спроектировать приводную станцию к скиповому подъемнику, предназначенному для подъема с/х грузов. Работа привода периодическая. Питание от электросети на опорах типа ШФ-10-5;
- спроектировать приводную станцию к горизонтальному ленточному транспортеру для перемещения навалочных с/х материалов. Работа привода периодическая. Питание от электросети на опорах типа ШФ-10-Г;
- спроектировать приводную станцию к роликовому конвейеру, предназначенному для перемещения ящиков с фруктами. Работа привода периодическая. Питание от электросети на опорах типа ШФ-10-Г;
- спроектировать приводную станцию к горизонтальному шнековому смесителю-дробильщику зерновых компонентов. Работа привода периодическая. Питание от электросети на опорах типа ШФ-10-Г;
- спроектировать приводную станцию к вертикальному ковшовому элеватору, предназначенному для перемещения с/х грузов. Работа привода периодическая. Питание от электросети на опорах типа ШФ-10-5;
- спроектировать приводную станцию к передвижному вибратору для снятия фруктов путем встряхивания плодовых культур на карликовых подвоях. Работа привода периодическая. Питание от электросети на опорах типа ШФ-10-5;

- спроектировать приводную станцию к люлечному элеватору, предназначенному для поднятия с/х грузов. Работа привода периодическая. Питание от электросети на опорах типа ШФ-10-Г.

Примеры заданий на проектирование привода представлены в приложении А.

2 Структура и содержание курсового проекта

2.1 Содержание и объем курсового проекта

Курсовой проект состоит из пояснительной записки и графической части.

Расчетно-пояснительная записка включает титульный лист, задание на проектирование, ведомость проекта, реферат, оглавление, введение, кинематический и энергетический расчеты приводной станции, расчет открытых передач (ременной, цепной или зубчатой), расчет зубчатых передач, расчет элементов корпуса редуктора, разработкой компоновки редуктора в масштабе М 1:1, уточненный расчет валов, подбор и расчет подшипников, выбор смазки редуктора, выбор муфт и их проверочный расчет, расчет шпоночных и шлицевых соединений, обоснование выбранных показателей шероховатости поверхностей, посадок для соединений, показателей точности изготовления деталей, описание процесса сборки, разборки и регулировки редуктора, список использованной литературы.

Расчетно-пояснительная записка в объеме 35...40 листов со спецификациями оформляется по требованиям ГОСТ для текстовых документов.

Объем графической части курсового проекта — 1 лист формата A1 общего вида приводной станции и сборочного чертежа редуктора в двух проекциях в масштабе M1:1; чертежи 2-х_сопряженных деталей в требуемом масштабе; спецификации на сборочные чертежи.

2.2 Требования к оформлению курсового проекта

2.2. 1 Структура пояснительной записки и оформление ее разделов

Курсовой проект, выполняемый студентом, представляет собой совокупность конструкторских документов: текстовых и графических. К текстовым документам относится пояснительная записка проекта (ПЗ).

Правила и порядок разработки, оформления и обращения конструкторских документов установлены комплексом стандартов единой системы конструкторской документации(ЕСКД). Перечень и оформление конструкторских документов в курсовом проектировании полностью соответствует требованиям ЕСКД и адаптирован к требованиям учебного процесса. Общие требования к организации проектирования и правила оформления курсовых проектов в БГАТУ представлены в учебнометодическом пособии [1].

Пояснительная записка состоит из следующих элементов (приведены в порядке их расположения в записке): титульного листа; задания на проектирование; ведомости комплекта проектной документации ;реферата: содержания; текста основной части расчетно- пояснительной записки с иллюстративными материалами и таблицами; списка использованных источников и приложения к проекту.

Титульный лист является первой страницей пояснительной записки. Выполняется чертежным шрифтом вручную или машинописным способом на компьютере . Рамка, основная надпись и номер страницы на титульном листе записки не проставляются.

Задание на проектирование оформляется на бланках установленной формы и выдается студенту в начале проектирования. В задании указаны номер задания, название и схема приводимой машины, вариант данных, кинематическая схема приводной станции, содержание пояснительной записки, перечень графических материалов, календарный график работы

над проектом. Задание оформляет руководитель курсового проекта. В конце задания должны быть проставлены подписи студента, принявшего задание, и руководителя с указанием даты подписания.

Ведомость курсового проекта (перечень разработанной документации проекта) составляют по форме 8 ГОСТ 2.106–96 (рисунок 2.1).

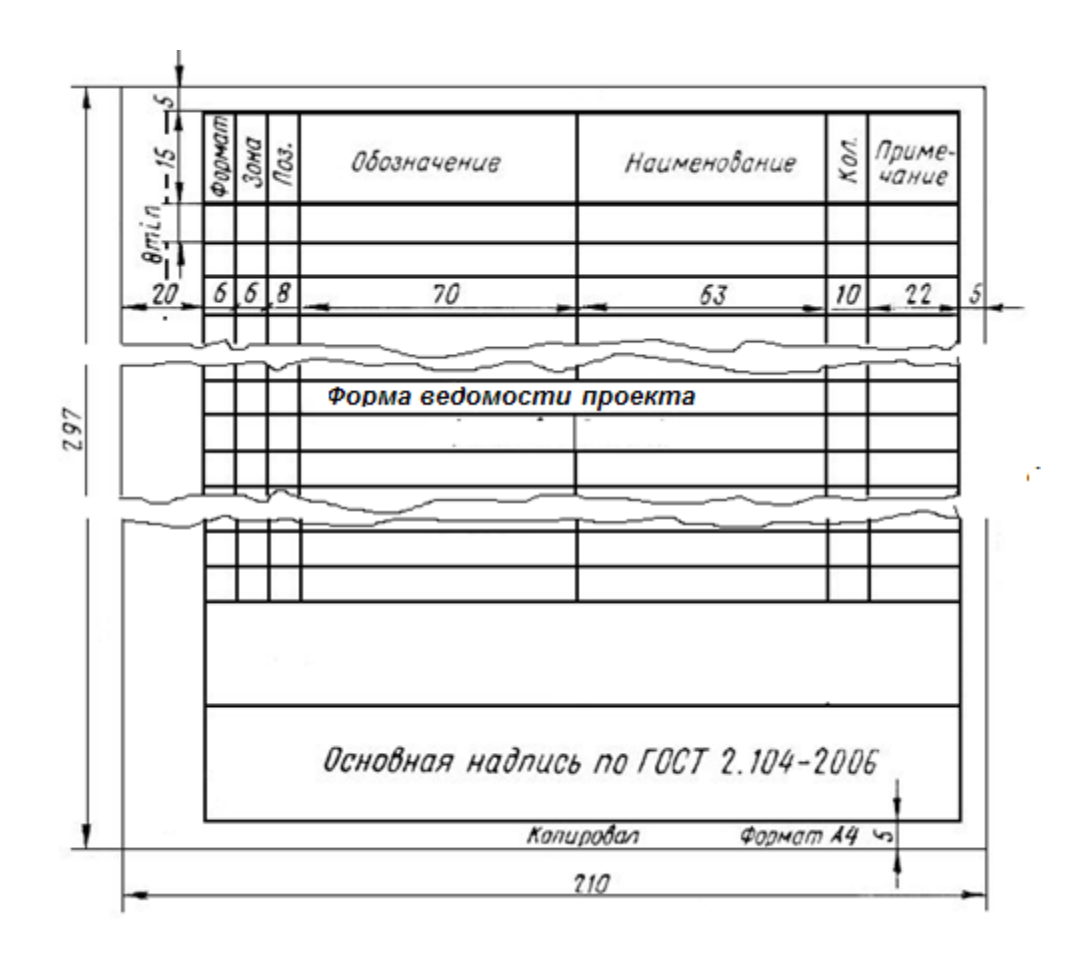


Рисунок 2.1 – Заглавный лист (форма 8) ведомости проекта

В ведомости курсового проекта записываются все конструкторские документы, разработанные при проектировании. В графе «Формат» указывают формат листа, на котором выполнен указанный документ. В графе «Обозначение» указывают шифр (обозначение) документа. В графе «Наименование» указывают наименование документа в соответствии с его основной надписью. В графе «Кол. листов» указывают количество листов, на которых выполнен данный документ. Основная надпись заглавного

листа ведомости должна соответствовать ГОСТ 2.104—2006 (рисунки 3.4 и 3.5). Заполненную ведомость располагают в пояснительной записке после задания на проектирование (перед рефератом). При этом номер страницы ведомости проекта в сквозной нумерации страниц ПЗ не проставляется, но учитывается при определении порядкового номера листа записки.

Реферам — краткая характеристика выполненного курсового проекта Реферат составляется в соответствии с ГОСТ 7.90–2007 «Реферат и аннотация». Пишется на стандартном листе формата А4.Лист оформляется рамкой без без основной надписи. Номер листа на реферате не проставляется .Заголовок «Реферат» пишется на отдельной строке (симметрично тексту) с прописной буквы.

Реферат начинается с указания объема проекта, количества рисунков и таблиц, количества использованных литературных источников.

Затем располагают ключевые слова и основное содержание материала, которое должно отражать цель проекта, методы разработки, полученные результаты, возможность внедрения, основные показатели.

Объем реферата не должен превышать одну страницу.

Содержание пояснительной записки предназначено для облегчения поиска необходимых материалов в записке. Оно располагается за рефератом с новой страницы и, при необходимости, продолжается на последующих листах с включением всего перечня заголовков разделов и подразделов записки.

Содержание начинает текстовую часть записки. Первый лист содержания должен иметь на поле рамки основную надпись по форме для перевого листа текстовых материалов (ГОСТ 2.104–2006). Последующие листы содержания и текста записки оформляются основной надписью по форме для последующих листов текстовых материалов. С содержания начинают простовлять номера страниц записки, считая за первую страницу титульный лист.

Назначение *введения* — оценка современного состояния решаемой инженерной задачи и обоснование необходимости выполнения расчетов.

Слово «Введение» пишется в отдельной строке (симметрично тексту) с прописной буквы .

Текст *основной части* пояснительной записки при необходимости разделяют на разделы и подразделы. Номенклатура разделов и подразделов и последовательность изложения их определяется заданием на курсовое проектирование.

Каждый раздел основной части необходимо начинать с нового листа.

Разделам присваивают порядковые номера ,которые обозначают арабскими цифрами без точки и записывают с абзацного отступа полужирным шрифтом строчными буквами с первой прописной буквой.

Подразделы должны иметь нумерацию в пределах каждого раздела. Номер подраздела состоит из номера раздела и номера подраздела, разделенных точкой. В конце подраздела точка не ставится . Название подраздела пишется с абзацного отступа полужирным шрифтом строчными буквами с первой прописной буквой .

Заключение является обязательным разделом пояснительной записки и должно содержать оценку результатов проведенной работы.

В заключении оценивается степень выполнение поставленных при курсовом проектировании целей и задач,которые были сформулированы ранее во введении.

Приводятся основные результаты проектирования, ход которого рассмотрен в основной части записки и представлен в графической части.

Дается оценка степени соответствия принятых технических решений современному уровню техники в области сельского хозяйства и указывается на возможность применения спроектированного привода в АПК.

Раздел "Заключение" необходимо начинать с нового листа. Слово «Заключение» пишется в отдельной строке (симметрично тексту) с прописной буквы полужирным шрифтом .Нумеровать этот раздел не требуется.Объем раздела не должен превышать одного листа.

При использовании в курсовом проекте данных из литературных

источников обязательны библиографические ссылки на источники информации. После упоминания литературного источника или приведения цитаты в квадратных скобках проставляют номер, под которым это произведение будет значиться в списке использованных источников, а при цитировании — также номер страницы, с которой взята цитата (например, [17] или [19, с.67]). Нумерация источников в тексте записки должна быть сквозной и следовать в порядке их упоминания в тексте.

В разделе "Список использованных источников" библиографические записи оформляются согласно ГОСТ 7.1–2003 в порядке их упоминания в тексте основной части. Сведения о книгах в списке литературы должны включать: фамилию и инициалы автора, наименование книги, место издания (город), издательство, год издания, количество страниц. При ссылке на электронный ресурс удаленного доступа ссылка строиться в следующей последовательности: фамилию и инициалы автора(при наличии), наименование источника ,общее обозначение информационного ресурса (например ,"Электронный ресурс").Затем указываем URL (адрес страницы в Интернете) и в скобках – дату обращения. Вместо URL можно написать

"Режим доступа". Раздел "Список использованных источников" необходимо начинать с нового листа. Название раздела пишется в отдельной строке (симметрично тексту) с прописной буквы полужирным шрифтом . Нумеровать этот раздел не требуется

Пример пояснительной записки представлен в приложении Б.

2.2.2 Оформление листов пояснительной записки

Пояснительная записка представляет собой текстовый конструкторский документ и выполняется согласно требований ЕСКД по ГОСТ 2.106-96 на отдельных листах бумаги А4 с рамкой слева 20 мм и, а с остальных трех сторон – по 5 мм (рисунки 2.2 и 2.3).

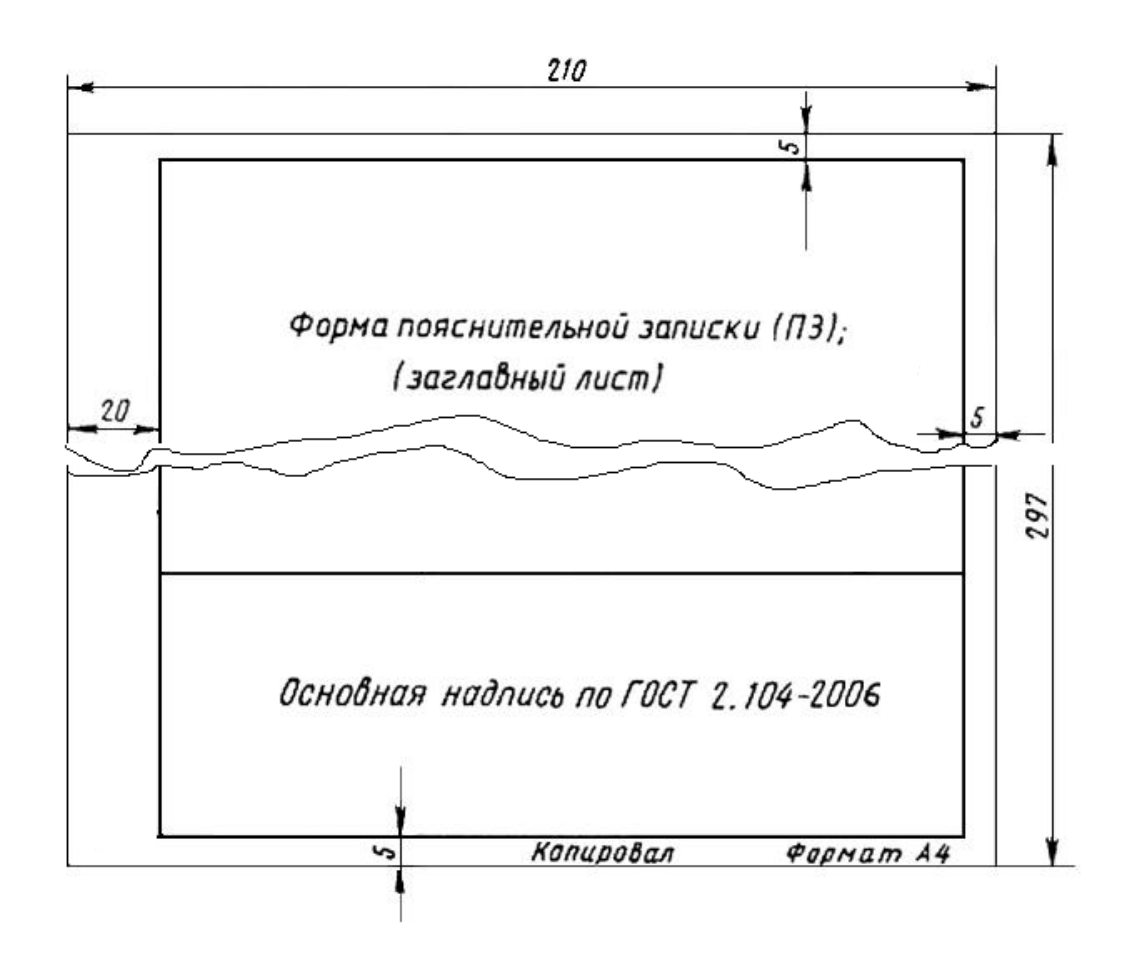


Рисунок 2.2 – Заглавный лист (форма 9) пояснительной записки

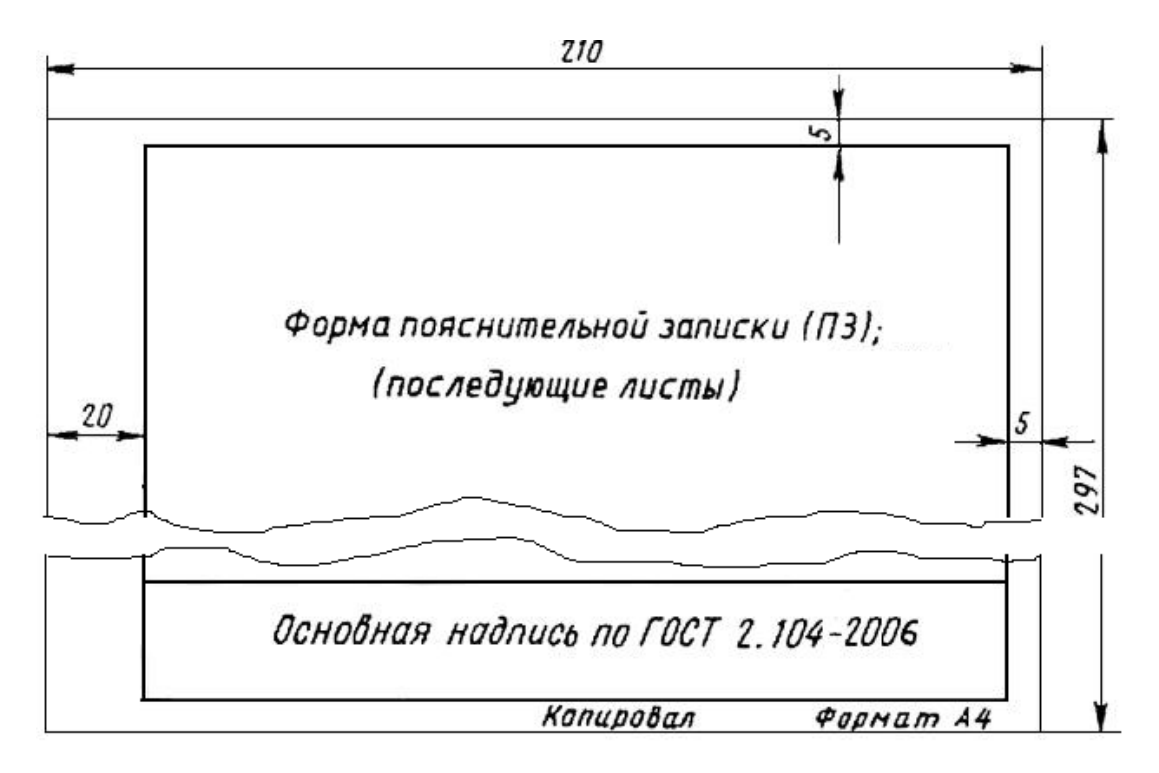


Рисунок 2.3 – Последующий лист (форма 9а) пояснительной записки

На первом листе текстовой части записки (начало раздела "Содержание") основную надпись по форме 2 ГОСТ 2.104-68 (рисунок 2.4),на последующих листах – по форме того же стандарта (рисунок 2.5).

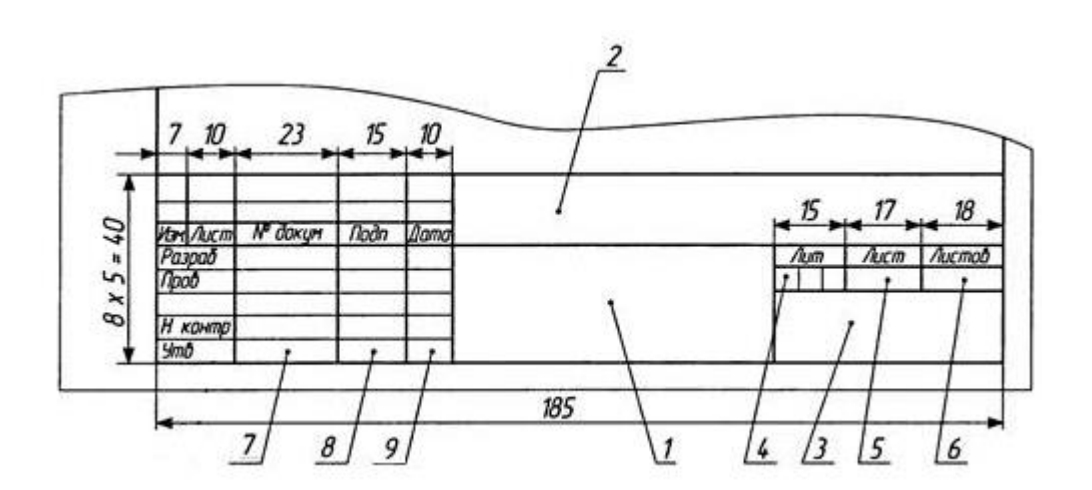


Рисунок 2.4 — Основная надпись (форма 2) на первом листе текстовых документов и спецификации

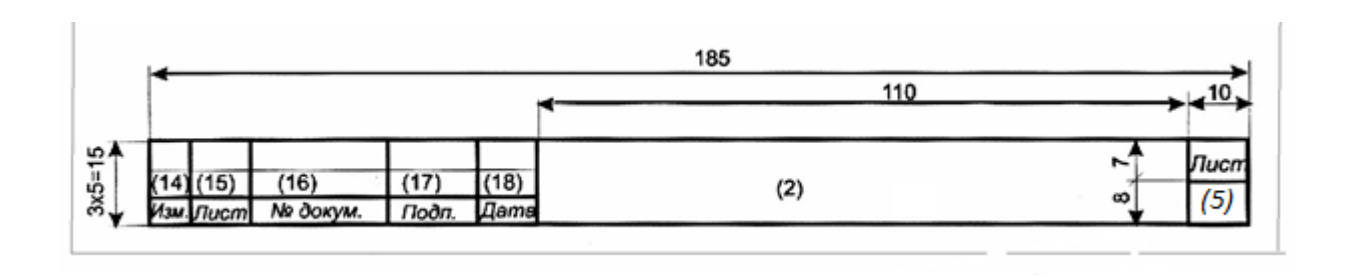


Рисунок 2.5 — Основная надпись (форма 2a) на последующих листах текстовых, графических документов и спецификаций

В графах основной надписи текстовых документов указывают :

- в графе 1 -название документа (пояснительная записка);
- в графе 2-обозначение документа (шифр записки);
- в графе 3- сокращенное название вуза (БГАТУ) и номер учебной группы;
 - в графе 4- литеру документа(в учебных проектах –У);
 - в графе 5 порядковый номер листа записки (отсчет начинается с

учетом титульного листа);

в графе 6- общее количество листов записки;

в графах 7,8,9 — фамилии, подписи и даты подписания проекта разработчиком проекта и проверяющим проект;

Текст записки набирается в текстовом редакторе Word шрифтом Times New Roman размером 14 pt (пунктов) с полуторным интервалом, выравнивание по ширине , абзацный отступ — 12,5 мм. Формулы набираются в редакторе формул Microsoft Equation или MathType.

В формулах в качестве символов следует применять обозначения, установленные соответствующими государственными стандартами или общепринятыми в учебной литературе. Обозначения и единицы измерения физических величин должны соответствовать ГОСТ 8.417–2002 и Международной системе единиц (СИ). Пояснения символов и числовых коэффициентов, входящих в формулу, если они не пояснены ранее в тексте, должны быть приведены непосредственно под формулой. Пояснения каждого символа следует давать с новой строки в той последовательности, в которой символы приведены в формуле. Первая строка пояснения должна начинаться со слова «где» без двоеточия после него.

Пример. Окружную скорость V, м/с, вычисляют по формуле

$$V = \frac{w_1 d_1}{2 \cdot 1000},\tag{2.1}$$

где w_1 — угловая скорость шестерни, рад/с;

 d_1 — делительный диаметр шестерни, мм;

1000 — числовой коэффициент для выражения диаметра шестерни (м).

Формулы должны нумероваться сквозной нумерацией арабскими цифрами, которые записывают на уровне формулы справа в круглых скобках.

Допускается нумерация формул в пределах раздела. В этом случае номер формулы состоит из номера раздела и порядкового номера формулы, которые разделены точкой.

Согласно ГОСТ 2.105-95 таблицы применяют для лучшей наглядности и

удобства сравнения показателей. Название таблицы (при его наличии) должно отражать ее содержание, быть точным, кратким. Название следует помещать над таблицей.

При переносе части таблицы на ту же или другие страницы название помещают только над первой частью таблицы.

Цифровой материал, как правило, оформляют в виде таблиц в соответствии с рисунком 2.6.

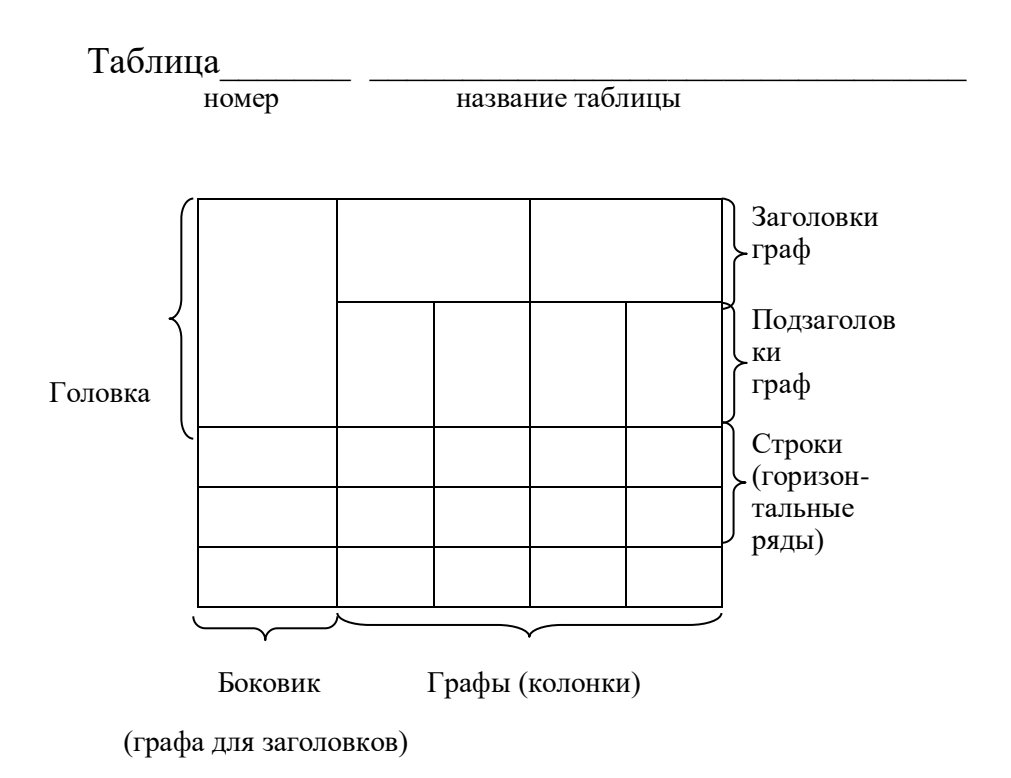


Рисунок 2.6 - Построение таблицы

Таблицы, за исключением таблиц приложений к проекту, следует нумеровать арабскими цифрами сквозной нумерацией. Допускается нумеровать таблицы в пределах раздела. В этом случае номер таблицы состоит из номера раздела и порядкового номера таблицы, разделенных точкой. Например, «Рисунок 1.1».

Оформление иллюстраций производится согласно ГОСТ 2.105–95. Количество иллюстраций должно быть достаточным для пояснения излагаемого текста. Иллюстрации располагаются по тексту документа (возможно ближе к соответствующим частям текста). При вычерчивании

кинематических схем следует применять условные обозначения согласно ГОСТ 2770-68.

2.2.3 Оформление листов спецификаций

Спецификация — текстовой документ с перечислением состава сборочной единицы. Спецификацию составляют на каждую сборочную единицу. Применительно к приводу спецификации разрабатываются на приводную станцию и на редуктор.

Выполняют на отдельных листах формата А4 по ГОСТ 2.106–96. При большом числе составных частей изделия спецификацию располагают на нескольких листах (заглавном и последующим), в нижней части каждого из которых должна быть основная надпись. Первый лист содержит основную надпись, выполненную по форме 2 (рисунок 2.4), последующие — по форме 2а (рисунок 2.5).

Спецификация содержит семь граф, представленных на рисунке 2.7.

Содержание основных граф:

«Поз.» — порядковый номер составной части изделия;

«Обозначение» — шифр чертежа составной части изделия (в разделе «Стандартные изделия» графу не заполняют);

«Наименование» — наименование изделия (для стандартных изделий указывают наименование и условное обозначение по стандарту, например, «Болт M12×40 ГОСТ 7798–70»);

«Кол.» — количество составных частей на специфицируемое изделие;

Вносимые в спецификацию сведения о документации, сборочных единицах и деталях оформляют в виде разделов с заголовками.

Заголовки пишут в графе «Наименование», оставляя по одной свободной строчке сверху и снизу.

Содержание разделов и последовательность записей внутри каждого из них представлены ниже.

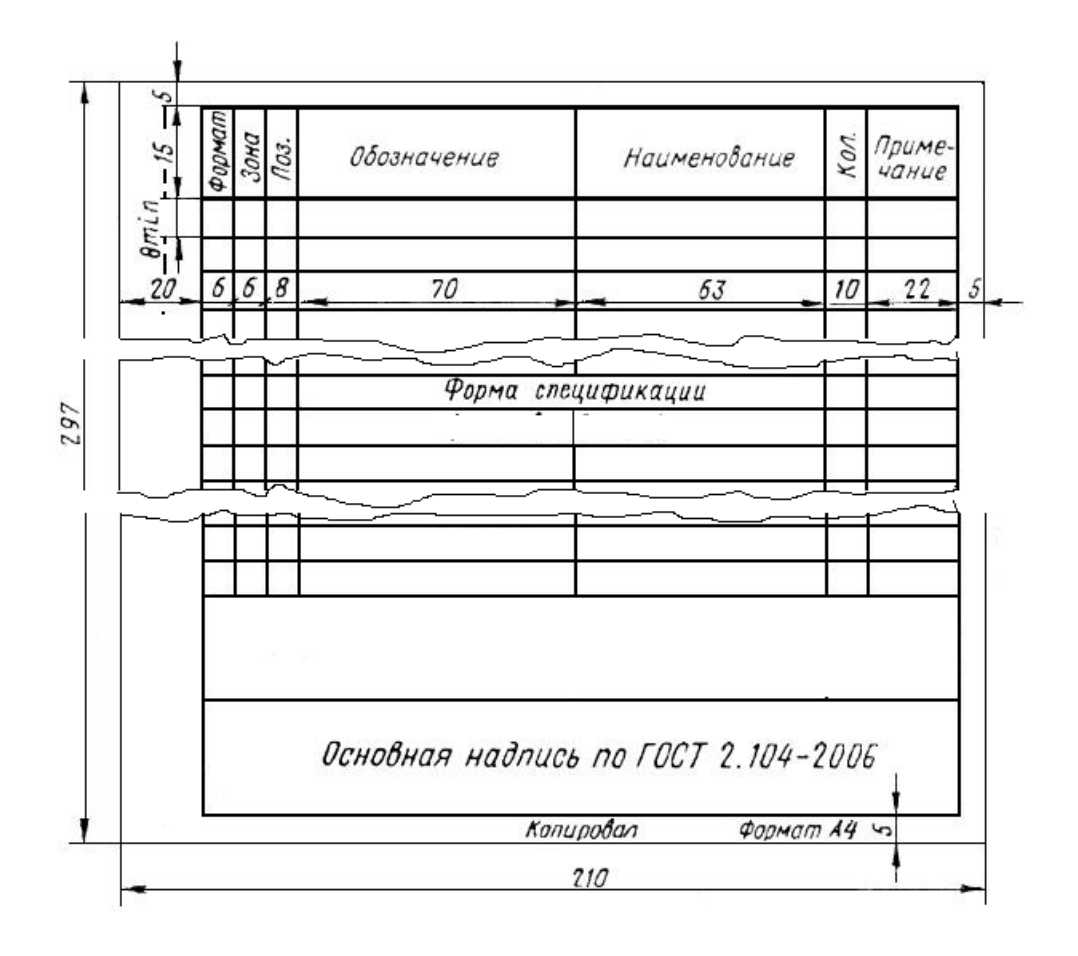


Рисунок 2.7 – Заглавный лист и последующие листы спецификаций

Документация. В разделе записывают основной комплект конструкторских документов специфицируемого изделия, например: чертеж общего вида или сборочный чертеж.

Сборочные единицы. В раздел включают сборочные единицы, входящие в специфицируемое изделие, например: редуктор в сборе в составе приводной станции.

Детали. В разделе записывают детали, входящие непосредственно в специфицируемое изделие, на которые выполнены чертежи.

Внутри разделов «Сборочные единицы» и «Детали» записи производят в порядке возрастания позиций.

Стандартные изделия. В раздел вносят изделия, применяемые по следующим категориям стандартов: межгосударственным, республиканским и стандартам предприятий. Применительно к приводу относят покупные стандартные изделия — электродвигатель, клиновые

ремни в составе ременной передачи или цепь в составе цепной передачи, крепежные изделия.

В пределах каждой категории стандартов запись производят по группам изделий, объединенных по функциональному назначению, например, крепежные изделия, подшипники, и т. п. В пределах каждой группы — в алфавитном порядке наименования изделий, например: болт, винт, гайка, шпилька и т. п.; в пределах каждого наименования — в порядке возрастания обозначений стандартов.

Пример спецификаций для привода представлены в приложении Б.

2.2.4 Оформление графической части курсового проекта

Графическую часть (чертежи) выполняют на чертежной бумаге с соблюдением требований стандартов ЕСКД. Общие правила оформления графической части курсовых проектов в БГАТУ представлены в учебнометодическом пособии [1].

Каждый чертеж оформляют на листах стандартного формата (таблица 2.1).

Таблица 2.1 - Обозначения и размеры чертежных листов по ГОСТ 2.301-68

Обозначение	Минимальные размеры	Размеры сторон
формата	чертежных листов, мм	форматов, мм
A0	857×1205	841×1189
A1	610×857	594×841
A2	436×610	420×594
A3	313×436	297×420
A4	226×313	210×297

Формат листа определяется размерами внешней рамки. Рамку поля чертежа проходит на расстоянии 20 мм от левой кромки стандартного листа и на расстоянии 5 мм от всех других кромок (рисунок 4.8).

Каждый чертеж должен иметь основную надпись по обрамляющей линии в

правом нижнем углу поля чертежа для формата A4 по короткой стороне, а для остальных форматов — по длинной стороне.В обоснованных случаях для форматов не более A1 допускается вертикальное расположение чертежа с основной надписью по короткой стороне (рисунок 4.4).

Если все необходимые изображения не размещаются на одном листе, то допускается выполнять чертеж на двух листах.

Главный вид изделия вычерчивается на первом листе с основной надписью по форме 1 ГОСТ 2.104- 2006 (рисунок 4 .9), а на всех последующих листах — по форме 2а для текстовых и графических документов(рисунок 2.5).

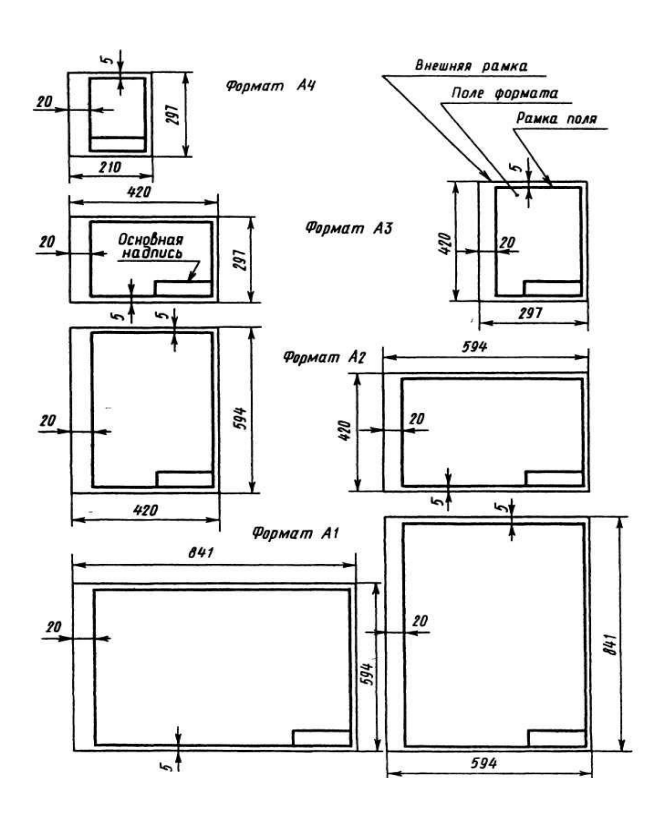


Рисунок. 2.8 - Форматы листов конструкторской документации

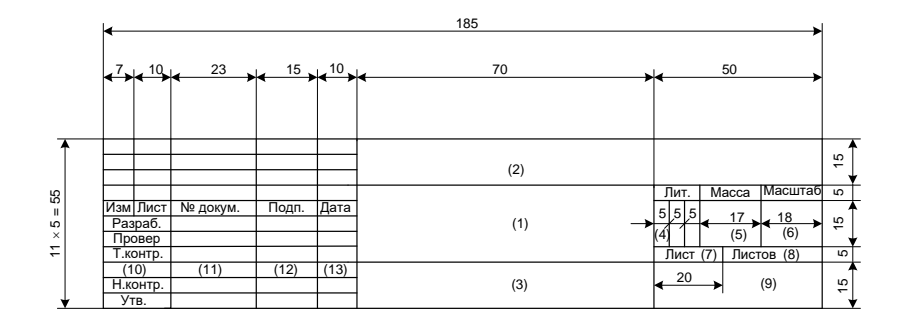


Рисунок 2.9 – Основная надпись (форма 2) на первом листе графических документов

В графах основной надписи (на рисунке указаны номера граф в скобках) приводят по ГОСТ 2.104–2006:

- 1 наименование документа (например, "Чертеж общего вида");
- 2 обозначение документа (шифр);
- 3 обозначение материала по соответствующему стандарту;
- 4 литеру документа (в учебных проектах У);
- 5 массу изделия в кг (без указания единицы измерения);
- 6 масштаб;
- 7 порядковый номер листа (для одного листа графа не заполняется);
- 8 общее количество листов документа;
- 9 наименование организации, выпускающей документ (БГАТУ);
- 10 характер работы, выполняемой лицом, подписывающим документ;
- 11 фамилии лиц, подписывающих документ;
- 12 подписи лиц, фамилии которых указаны в графе 11;
- 13 дата подписания документа.

Число изображений (видов, разрезов и сечений) на чертежах должно быть минимальным, но обеспечивающим полное представление об устройстве изделия, взаимодействии его составных частей, сборке и регулировании. Изображения выполняют по ГОСТ 2.305–68, ГОСТ 2.109–73.

Изображения изделий следует рационально размещать на рабочем поле чертежного листа в масштабе, обеспечивающем четкое представление формы, устройства и конструкции изделия.

Предпочтителен масштаб М1:1. Небольшие изделия сложной формы изображают в масштабах увеличения, крупные изделия — в масштабах уменьшения, указанных ниже:

масштабы уменьшения — 1:2; 1:2,5; 1:4; 1:5; 1:10; масштабы увеличения — 2:1; 2,5:1; 4:1; 5:1; 10:1.

Если на чертеже имеются изображения, выполненные в отличном от указанного в основной надписи масштабе, то такой масштаб помещают непосредственно над изображением и записывают в поле чертежа рядом с изображением, например, M2:1; A–A.

Первый лист графической части относится к общему виду привода и согласно ГОСТ 2.102 является **чертежом общего вида.**

Общий вид вычерчивается в двух проекциях .На поле чертежа указываются основные присоединительные номинальные размеры с указанием посадок (для соединений, собираемых при сборке привода),габаритные и привязочные размеры. Приводится техническая характеристика привода. На каждую сборочную единицу привода на листе дается сноска и указывается номер позиции по спецификации на привод на полках линий- сносок.

К габаритным размерам относят найбольшие по ширине, длине и высоте размеры привода, необходимые для определения размеров тары под привод в сборе, для определения места под установку привода при его монтаже. Установочные и присоединительные размеры – размеры , необходимые для установки привода на месте монтажа, а также определения размеров и места положения элементов, которые Для присоединяются к данному изделию. приводной станции к установочным размерам относят размеры опорных элементов рамы станции, диаметры отверстий в раме под фундаментные болты и размеры, определяющие размещение этих отверстий на раме. К присоединительным размерам относят размеры участков валов редуктора, на которые устанавливаются муфты, шкивы и звездочки при сборке станции и при ее подсоединении к приводимой машине.

Техническую характеристику изделия: передаточное число, частоту вращения тихоходного вала, наибольший вращающий момент на нем размещают на свободном поле чертежа над основной надписью под заголовком «Техническая характеристика».

Номера позиций составных частей привода наносят вне контура изображения ,паралельно основной надписи. Проставляют в возрастающем порядке по часовой стрелке в порядке следования обозначений составных частей в спецификации.

На втором листе графической части приводится чертеж разработанного редуктора, который согласно ГОСТ 2.102 является **сборочным чертежом** изделия.

Сборочный собой графический чертеж представляет документ, содержащий изображение редуктора как сборочной единицы для станции и все данные ,достаточные для уяснения конструкции редуктора, контроля присоединительных размеров составляющих редуктор сборочных единиц и сборки редуктора. Сборочный чертеж редуктора вычерчивается в .Ha двух проекциях поле чертежа указываются основные присоединительные номинальные размеры с указанием посадок (для соединений, собираемых при сборке редуктора), габаритные и привязочные размеры. Приводится техническая характеристика привода. На каждую сборочную единицу редуктора на листе дается сноска и указывается номер позиции по спецификации на редуктор на полках линий- сносок.

К габаритным размерам относят найбольшие по ширине, длине и высоте размеры редуктора, необходимые для определения размеров тары под редуктор в сборе как самостоятельного иизделия, для определения места под установку редуктора при его монтаже. Установочные и присоединительные размеры — размеры элементов, которые нужно обеспечить для установки редуктора на месте монтажа при сборке станции, а также определения размеров и места положения элементов, которые присоединяются к валам редуктора. Для приводной станции к установочным размерам относят размеры опорных лап редуктора,

диаметры отверстий в лапах под болты крепления редуктора к раме и размеры, определяющие размещение этих отверстий на лапах.

К присоединительным размерам относят размеры участков валов редуктора, на которые устанавливаются муфты, шкивы и звездочки при сборке станции и при ее подсоединении к приводимой машине.

По ГОСТ 2.109–73 в сборочный чертеж редуктора следует включать данные о взаимодействии его частей, например,межосевые расстояния передач.

Техническую характеристику изделия: передаточное число, частоту вращения тихоходного вала, наибольший вращающий момент на нем размещают на свободном поле чертежа над основной надписью под заголовком «Техническая характеристика».

Номера позиций составных частей редуктора наносят вне контура изображения ,паралельно основной надписи. Проставляют в возрастающем порядке по часовой стрелке в порядке следования обозначений составных частей в спецификации.

В соответствии с заданием на курсовое проектирование должны быть разработаны чертежи трех деталей.

Чертеж детали — графический документ, содержащий изображение детали и другие данные, необходимые для изготовления и контроля размеров детали.

Характер и число изображений на чертеже каждой детали должны полностью определять форму и размеры изображаемой детали. Изображения выполняют по ГОСТ 2.305–68, ГОСТ 2.109–73.

На рабочем чертеже деталь принято изображать с теми размерами, обозначениями шероховатости и другими параметрами, которые она должна иметь перед сборкой. На нем не допускается помещать технологические указания. Исключение составляют указания о выборе вида заготовки (отливка, поковка и т. д.), а также указания о применении определенных способов обработки для тех случаев, когда они предусматриваются как единственные, гарантирующие требуемое качество детали,

например: кказание о закалке ТВЧ и полировке участка вала,по которому уплотнение обеспечивается манжетным уплотнением.

Примеры оформления графической части проекта привода представлены в приложении Б.

2.2.5 Обозначение конструкторской документации

Каждому изделию в соответствии с ГОСТ 2.101–68 должно быть присвоено обозначение, которое является одновременно обозначением его основного конструкторского документа: пояснительной записки, чертежа сборочной единицы, детали, спецификации.

Структура обозначений конструкторского документа:

 $X_1\,X_2$. X_3X_4 . $X_5X_6X_7$. X_8X_9 . $X_{10}X_{11}X_{12}$ $X_{13}X_{14}$

где X_1X_2 - индекс проекта (02 – для курсового проекта);

 X_3X_4 - индекс кафедры (48 для кафедры MM и ДМ);

 $X_5X_6X_7$ -регистрационный номер задания на курсовое проектирования в журнале регистрации выдачи заданий на курсовой проект на кафедре ММ и ДМ ;

 X_8X_9 - шифры сборочных единиц (для пояснительной записки- 00);

 $X_{10}X_{11}X_{12}$ – шифры деталей (для пояснительной записки- 000);

 $X_{13}X_{14}$ – условное обозначение вида документа.

Вид конструкторского документа обозначается следующим образом:

ПЗ- пояснительная записка;

ПД-ведомость проектной документации;

ВО – чертеж общего вида;

СБ – сборочный чертеж.

2.2.6 Складывание чертежей

Выполненный курсовой проект, включающий перечисленные

конструкторские документы хранится в архиве кафедре установленное время. Проект студентом должен быть подготовлен студентом к хранению определенным образом. К пояснительной записке добавлены спецификации и чертежи, сложенные согласно требованиям ГОСТ 2.105-88. Все материалы сброшурованы в одну папку.

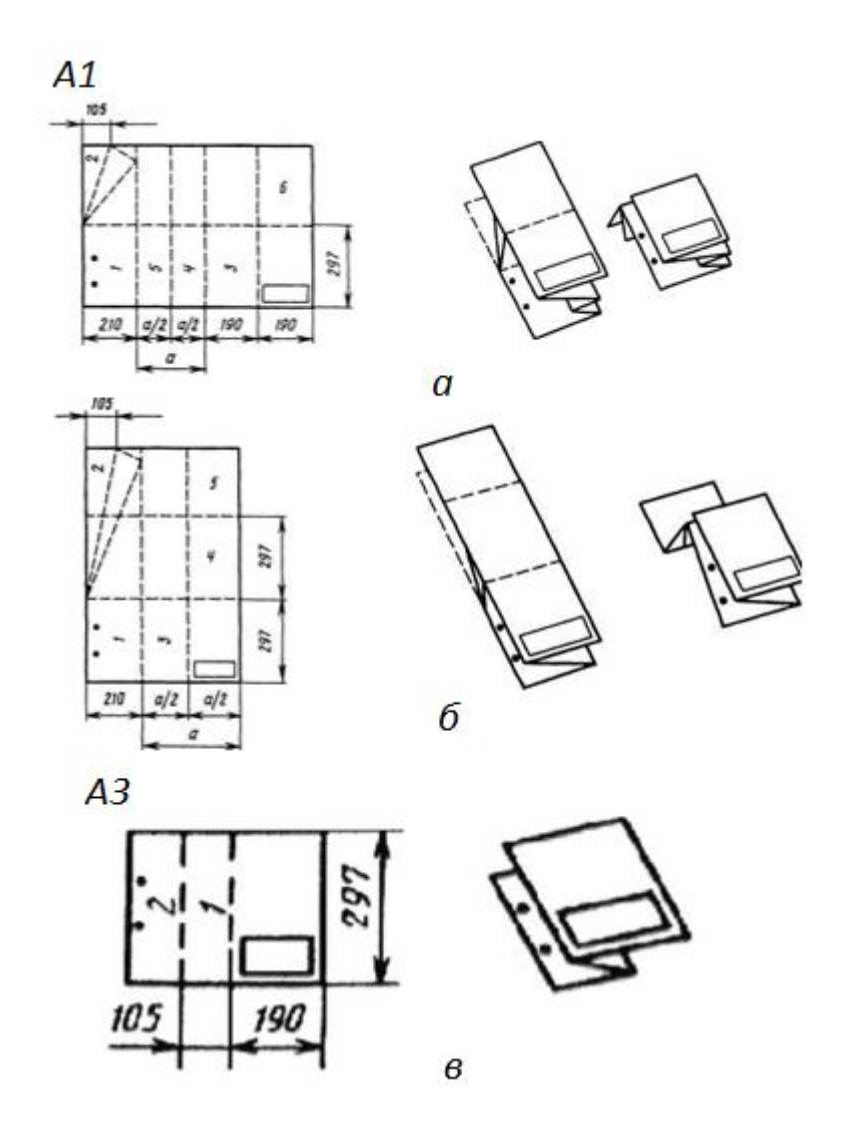


Рисунок 2.10 — Складывание листов для брошюрования: формата A1 с горизонтальной (а) и вертикальной (б) ориентацией листа ;формата A3 с горизониальной ориентацией листа (г)

Чертежи эскизной компоновки редуктора, чертеж общего вида приводной станции, сборочный чертеж редуктора и чертежи деталей следует складывать сначала вдоль линий, перпендикулярных основной

надписи, а затем вдоль линий, параллельных ей, в последовательности, указанной цифрами на линиях сгибов (рисунок 2.10).

Листы складывают изображением наружу («налицо») так, чтобы основная надпись оказалась на верхней лицевой стороне сложенного листа в его правом нижнем углу. Отверстия для брошюровки пробивают с левой стороны листа.

Листы в сложенном виде должны быть формата A4 (210×297).

3 Методические рекомендации по выполнению курсового проекта

3.1 Общие принципы проектирования и их реализация при курсовом проектировании

Основные требования к технической документации даны в пособии [1], теоретические положения раздела «Расчет и конструирование деталей машин» учебной дисциплины «Прикладная механика» изложены в литературе [2...5], методика расчета с примерами расчета — в [4...5], вопросы проектирования деталей машин — в [5...7,10], примеры сборочных и рабочих чертежей — в [7...8], справочные материалы — в [8...11].

Профессиональные знания, умения и практические навыки для профессиональной деятельности по проектированию машин формируются у будущих специалистов в ходе выполнения курсового проекта и оформления совокупность конструкторских документов, достаточных для уяснения устройства разрабатываемого изделия, изготовления ненормализованных деталей и оформления заявки на приобретения стандартных изделий.

С целью большей систематизации сведений по разработке курсового проекта, создания условий для активизации самостоятельной работы

студентов, развития их творческих сил и способностей в приложении Б представлен пример курсового проекта по прикладной механике.

В этом примере рассмотрены все этапы расчета и проектирования привода. С целью максимального обучающего эффекта в предлагаемом примере в тексте записки курсового проекта даются дополнительные пояснения и комментарии(выделены курсивом) ,способствующие уяснению сути рассматриваемого вопроса. С целью развития умения обучающегося

пользоваться специальной литературой в предложенном примере курсового проекта даются ссылки на использованную при проектировании литературу и одновременно даются ссылки на соответствующий справочный материал в имеющихся приложениях настоящего пособия.

Проектирование машин и их деталей является особым видом инженерного искусства. Для правильного проектирования машин недостаточно знания только теории. Необходимо знание существующих конструкций и умение в них критически разбираться, знание условий работы проектируемой машины ,технологии изготовления деталей, требуется умение конкретно воплощать свои идеи в виде технической документации.

Рационально спроектированная и правильно построенная машин должна быть прочной, долговечной, возможно дешевой и экономичной в работе, безопасной для обслуживающих ее лиц и отличаться хорошим дизайном. Этим основным требованиям должна удовлетворять не только каждая машина в целом, но и каждая ее деталь.

Стоимость машины определяется стоимостью материала, изготовления и обработки отдельных ее деталей, а также массой машины, т.е. экономией машиностроительных материалов.

Габариты и масса машины в значительной степени определяются ее кинематической схемой и компоновкой ее узлов и деталей. Компоновка узлов и деталей машин должна быть такой, чтобы возможно полнее использовать рабочее пространство рам, станин и корпусов.

Для снижения стоимости машин большое значение имеет также замена дорогостоящих материалов (например, цветных металлов, легированных сталей) более дешёвыми, когда это не вызывает ухудшение качества машин. Однако снижение стоимости машин может быть достигнуто и при использовании более прочных, хотя и более дорогих, материалов для изготовления основных деталей, от которых зависят размеры отдельных узлов и всей машины. Например, в редукторах применение высокопрочных сталей для изготовления зубчатых колес приводит к уменьшению размеров не только их, но и размеров корпуса редуктора, рамы машины и тем самым к снижению стоимости всего привода.

В процессе проектирования инженер решает целый ряд сложных и разнообразных задач. Он должен разработать механизм, способный выполнять заданные функции в течение заданного срока службы, учитывать требования экономики, технологии, эксплуатации, транспортировки, техники безопасности и др. Для того, чтобы удовлетворять этим требованиям, конструктор должен уметь выполнять кинематические, силовые, прочностные и другие расчёты и в целом, эффективно использовать опыт по разработке приводов, накопленый другими разработчиками.

Многие технические решения применяют на основе опыта анализа результатов проектирования подобных устройств. В связи с многообразием решаемых задач и ограниченным опытом проектирования у студентов процесс проектирования привода найболее рационально расматривать на примере разработки типовой конструкции привода.

Применительно к конструированию редукторов в рамках курсового проектирования целесообразно изучить типовые конструкции приводов и редукторов, представленные в приложении В и уяснить конструкцию проектируемого привода.

Для удешевления машины при повышении её качества огромное значение имеет применение стандартных детей и узлов. Большое значение

унификация имеет значений технических параметров, И проектируемого объекта на основе частности, номинальных размеров применения ряда нормальных линейных размеров (диаметров, длин, высот, глубин) по ГОСТ 6636-69 и нормальных углов по ГОСТ 8908-81. Применение этих рядов позволяет: унифицировать посадочные размеры деталей (как следствие, например, в серийном производстве сокращается количество типоразмеров деталей, необходимых для комплектации разных изделий), использовать типовой сортамент и заготовки (листы, трубы, круги, проволока и т. д.),использовать типовой и доступный инструмент (свёрла, фрезы и т. д.). Рекомендации по использованию нормальных линейных распространяется:на размеров не случаи применения стандартных величин размеров (например, модуль зацепления, диаметр резьбы),на случаи применения стандартных деталей и сопряженных с ними размеров (например, посадочные диаметральные размеры стандартных подшипников качения),при назначении значений размеров, являющихся результатом оптимизационных расчетов (например, значений делительного диаметра зубчатых колес).Основные рекомендации по применению норм взаимозаменяемости при назначении номинальных размеров проектируемых деталей представлены в приложении Γ .

Разработанная курсовом проекте текстовые материалы графическая часть является технической документацией и должны удовлетворять требованиям ЕСКД комплексу государственных стандартов, устанавливающих взаимосвязанные правила, требований и обращению разработки, оформлению И конструкторской документации. Правила оформления записки курсового проекта графических материалов рассматриваются в разделе 2 настоящего пособия.

При проектировании привода разработчик проекте вынужден привлекать большое количество нормативных и справочных материалов. В приложениях Д...Х данного пособия представлены все необходимые для проектирования справочные материалы.

4 Организация курсового проектирования

График выполнения курсового проекта (рисунок 4.1) приведен с целью обеспечения поэтапного и своевременного выполнения студентами заданного объема работ.

		Недели учебного семестра								Трудо-								
Этапы																		емкость
	1	2	3	4	5	6	7	8	9	10	11	12	13	14	15	16	17	этапа,%
1.Выдача задания																		-
2. Расчеты передач и																		
элементов корпуса																		
редуктора, компановка																		
редуктора.																		
2.1.Проверочный расчет																		
валов.																		
2.2.Подбор подшипни-																		
ков.																		
2.3.Выбор муфт и																		15
расчет их слабых																		10
элементов																		
2.4. Прородую доодница																		
2.4.Проверка соединений "Вал-ступица"																		
3. Разработка сборочно-																		
го чертежа редуктора																		30
4. Разработка общего																		
вида привода																		25
5.Разработка чертежей									,,,,,,									15
деталей привода																		13
6.Оформление																		
конструкторской																		5
документации																		
7.Подготовка к защите																		10
проекта																		10
8.Защита проекта																		

Рисунок 4.1 - График выполнения курсового проекта

Защита проводится с целью проверки уровня знаний об устройстве, работе привода, умения обосновать принятые размеры и решения технологии изготовления деталей, сборки и разборки редуктора.

Рекомендуемая литература для выполнения проекта

- 1. Общие требования к организации проектирования и правила оформления дипломных и курсовых проектов(работ)./учебнометодическое пособие/ Н.Н.Романюк [и др.].-Минск:БГАТУ,2015.-136 с. 2.Иванов, М.Н. Детали машин: [учеб. для машиностроительных спец. вузов.] / М.Н. Иванов, В.А. Финогенов. 10-е изд., испр. Москва:Высш. шк., 2006.- 408 с.
- 3. Скойбеда, А.Т. Детали машин и основы конструирования / А.Т. Скойбеда, А.В. Кузьмин, Н.Н. Макейчик. Минск : Вышэйшая школа, 2006. 560 с.
- 4. Детали машин и основы конструирования: методические указания по курсовому проектированию. Ч. 1/БГАТУ, кафедра сопротивления материалов и деталей машин; сост. Агейчик В. А. [и др.]. Минск, 2009.-195с.
- 5. Основы конструирования деталей машин: пособие для студентов вузов группы специальностей 1406 «Агроинженерия» /БГАТУ, кафедра сопротивления материалов и деталей машин; [авторы: В.А. Агейчик и др.]. Минск, 2009.-268 с.
- 6. Дунаев, П. Ф. Конструирование узлов и деталей машин. Учеб. пособие для студ. техн. спец. вузов / П.Ф. Дунаев, О.П. Леликов. 8-е изд., перераб. и доп. М.: Издательский центр «Академия», 2004. 496 с.
- 7. Курмаз, Л.В. Детали машин. Проектирование: учебное пособие/ Л.В. Курмаз, А.Т. Скойбеда. Мн.: УП Техпринт", 2002. 290 с.
- 8. Атлас конструкций узлов и деталей машин: учеб. пособие для студентов,
- обучающихся по машиностроительным направлениям и специальностям /Б.А. Байков [и др.]; под ред. О.А. Ряховского, О.П. Ляликова. 2-е изд., перераб. и доп. Москва: изд- в МГТУ им. Н.Э. Баумана, 2009-400 с.
- 9. Анурьев, В.И. «Справочник конструктора машиностроителя» в 3-х томах, Москва «Машиностроение», 2001. .-2816 с.

10. Справочник подшипников. [Электронный pecypc]http://www.podshypnik. info/index.php?zid=main. Дата доступа: 10.03.2020.

11.Требования и рекомендации по выполнению чертежей деталей машин: /сост.: Н.Н. Романюк [др.]. – Минск: БГАТУ, 2014- 172с.

ПРИЛОЖЕНИЕ А

(справочное)

Задания на курсовые проекты

Учреждение образования «Белорусский государственный аграрный технический университет»

Факультет «Технический сервис в АПК»

УТВЕРЖДАЮ)		
Заведующий	каф	едрой	«Механика
материалов и д	цетали	машин	>>
		B.H.	Основин
	20	Γ.	

ЗАДАНИЕ № 1

по курсовой работе по дисциплине «Прикладная механика»

Студенту			
	курса	группы	факультета
специально	сти 1 – 74 06 06	«Материально-технич	еское обеспечение АПК».,

1 Тема курсовой работы: Спроектировать приводную станцию к кормораздатчику (рисунок 1), предназначенному для раздачи кормов.

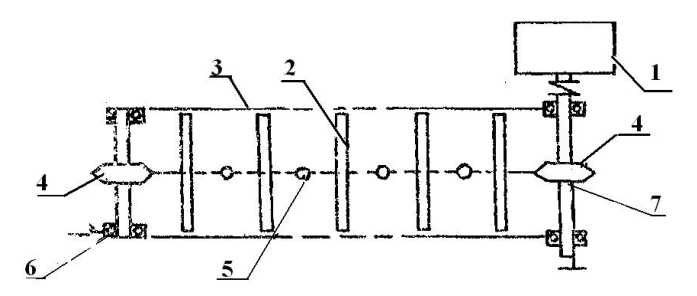


Рисунок 1 – Схема кормораздатчика по типу ТВК:

1 – приводная станция; 2 – скребковый транспортер; 3 – желоб;

4 – приводная звездочка; 5 – цепь; 6 – подшипники; 7 – технологический вал

2 Срок сдачи студентом законченной курсовой работы «___» ____ 20___ г. 3 Исходные данные к работе: вариант (таблица 1) схема (рисунок 2)

Таблица 1 – Исходные данные

Параметр		№ варианта										
	1	2	3	4	5	6	7	8	9	10		
Р _т , кВт	6,0	1,5	1,8	2,3	2,6	3,2	3,5	4,0	4,5	5,0		
\mathbf{n}_{T} , мин ⁻¹	90	90	100	80	120	80	130	60	90	130		
heta, град	60	30	0	0	20	30	80	0	50	30		
Режим	Л	c	T	BT	c	BT	Л	Т	Л	c		
L_{h} ·10 ³ , час	7,5	2,5	5,5	10	6,0	7,0	5,0	6,5	11,0	7,2		

Примечание: Р_т – мощность, затрачиваемая на технологический процесс;

 ${f n}_{\rm T}$ – частота вращения технологического вала;

 θ – угол наклона гибкой передачи к горизонту;

Режимы работы: BT — весьма тяжелый, T — тяжелый, C — средний, D — легкий;

 $L_h \cdot 10^3$ – срок службы приводной станции.

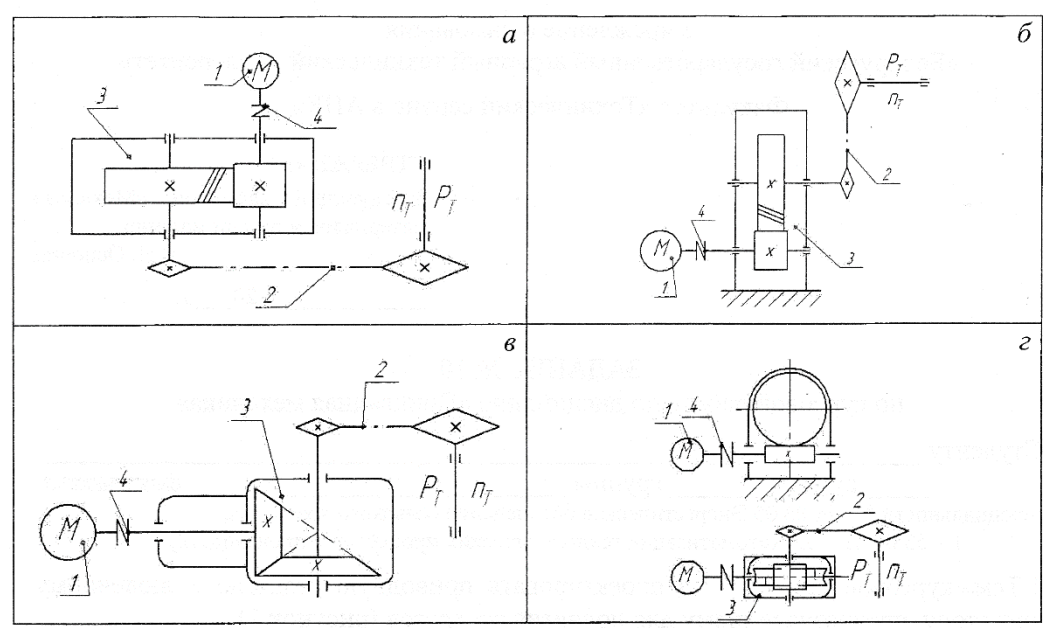


Рисунок 2 - Схемы приводных станций

- 4 Содержание пояснительной записки: Введение; 1 Кинематический и энергетический расчеты приводной станции; 2 Расчет передачи с гибкой связью (ременной или цепной); 3 Расчет зубчатых (червячных) передач редуктора; 4 Эскизная компоновка редуктора; 4.1 Конструктивные размеры шестерни и колеса; 4.2 Конструктивные размеры корпуса редуктора; 4.3 Предварительный (проектный) расчет валов редуктора; 5 Расчет валов редуктора; 6 Проверочный расчет подшипников; 7 Выбор и проверочный расчет муфты; 8 Расчет шпоночных соединений; 9 Подбор посадок для сопряженных поверхностей; 10 Выбор смазки; 11 Тепловой расчет для червячных редукторов; Заключение; Список использованных источников; Приложения
- 5 Перечень графического материала:

Задание принял к исполнению _____

- 1 Компоновочный чертеж редуктора в разрезе (М1:1);
- 2 Чертежи 2-х сопряженных деталей (ведомый вал редуктора, зубчатое колесо) (М1:1)
- 6 Дата выдачи задания « » 20 г.
- 7 Календарный график работы над курсовой работой введение, раздел 1 к «___ » ____ 20_ г. - ____ 5% раздел 2 к « " » 20 г. – 10% ; раздел 3 к « » 20 г. – 10% раздел 4 к « » 20 г. – 10% ; разделы 5, 6 к « » 20 г. – 10% разделы 7, 8, 9 к «___» ____ 20__ г. - ____ 10%_; разделы 10, 11 к «___» ____ 20__ г. - ____ 5%___ оформление пояснительной записки и графического материала к «____» _____20__ г. - <u>40%</u> Защита курсовой работы с «___» ____ по «___» ____ 20__ г. Руководитель

(дата и подпись студента)

приложение б

(справочное)

Пример курсового проекта по прикладной механике

МИНИСТЕРСТВО СЕЛЬСКОГО ХОЗЯЙСТВА И ПРОДОВОЛЬСТВИЯ РЕСПУБЛИКИ БЕЛАРУСЬ

Учреждение образования «БЕЛОРУССКИЙ ГОСУДАРСТВЕННЫЙ АГРАРНЫЙ ТЕХНИЧЕСКИЙ УНИВЕРСИТЕТ»

Факультет технического сервиса в АПК

Кафедра "Механика материалов и детали машин"

Пояснительная записка к курсовому проекту по дисциплине "Прикладная механика"

на тему: «Спроектировать приводную станцию к скреперному штанговому транспортеру, предназначенному для удаления навоза из свинарника»

Шифр $02.48.021.00.000.\Pi3$

Студент 3 курса, 19 мо группы _____/М.Е. Юрчик /

Руководитель _____ П.В.Клавсуть

Минск, 2020

Учреждение образования «Белорусский государственный аграрный технический университет»

Факультет «Технический сервис в АПК»

У	Τ.	BE	Ρ.	Ж,	ЦΡ	łК	J
---	----	----	----	----	----	----	---

Заведующий каф	едрой «Механика
материалов и дет	али машин»
	_ В.Н. Основин
05 сентября	20- 18 г.

ЗАДАНИЕ №

по курсовому проекту по дисциплине «Прикладная механика»

Студенту <i>Юрчику</i>	<i>M.E.</i>		
_ <u>3_</u> курса <u>19мо</u>	группы <i>ФТ</i>	C	факультета
(специальности 1 -	- 74 06 06 <u>«</u>	Материально-техническое	обеспечение
агропромышленного к	сомплекса».		
1 Тема курсового про-	екта: Спроект	ировать приводную	станцию к
скреперному штангов	ому транспортеру.	предназначенному для уд	аления навоза
из свинарника (рис	унок 1). Работа	привода периодическая.	Питание от
электросети на опораз	к типа ШФ-10-Г.		

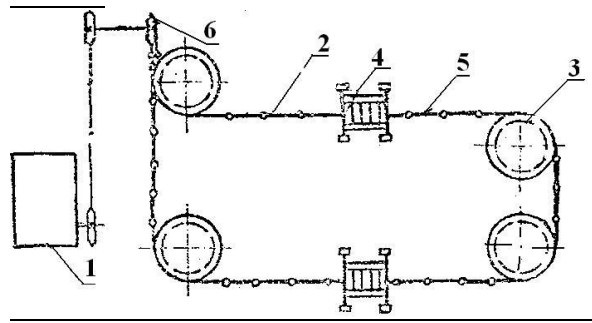


Рисунок 1 — Схема скреперного штангового транспортера по типу ТС:

<u>1 — приводная станция; 2 — штанга; 3 — обводные ролики; 4 — скреперные</u> тележки;

- 5 круглозвенная цепь; 6 ведущая звездочка
- 2 Срок сдачи студентом законченной курсовой работы «<u>12</u>» <u>12</u> <u>2017</u> г.
- 3 Исходные данные к работе: <u>вариант (таблица 1)</u> 5 схема **а** (рисунок 2)

Таблица 1 – Исходные данные

Параметр		№ варианта								
	1	2	3	4	5	6	7	8	9	10
Р _т , кВт	6,0	1,5	1,8	2,3	2,8	3,3	3,5	4,1	4,5	5,0
п _т , мин ⁻¹	55	90	85	85	80	100	90	140	110	160
θ , град	30	45	20	60	30	0	60	50	60	0
Режим	T	BT	Л	T	T	c	T	BT	c	BT
L _h •10 ³ , час	7,2	8,0	4,6	5,0	4,0	6,2	12	4,5	5,5	5,0

Примечание: $P_{\rm T}$ – мощность, затрачиваемая на технологический процесс;

 ${\bf n}_{\rm r}$ – частота вращения технологического вала;

 θ – угол наклона гибкой передачи к горизонту;

Режимы работы: \mathbf{BT} – весьма тяжелый, \mathbf{r} – тяжелый, \mathbf{c} – средний, \mathbf{n} – легкий;

 $L_h \cdot 10^3$ – срок службы приводной станции.

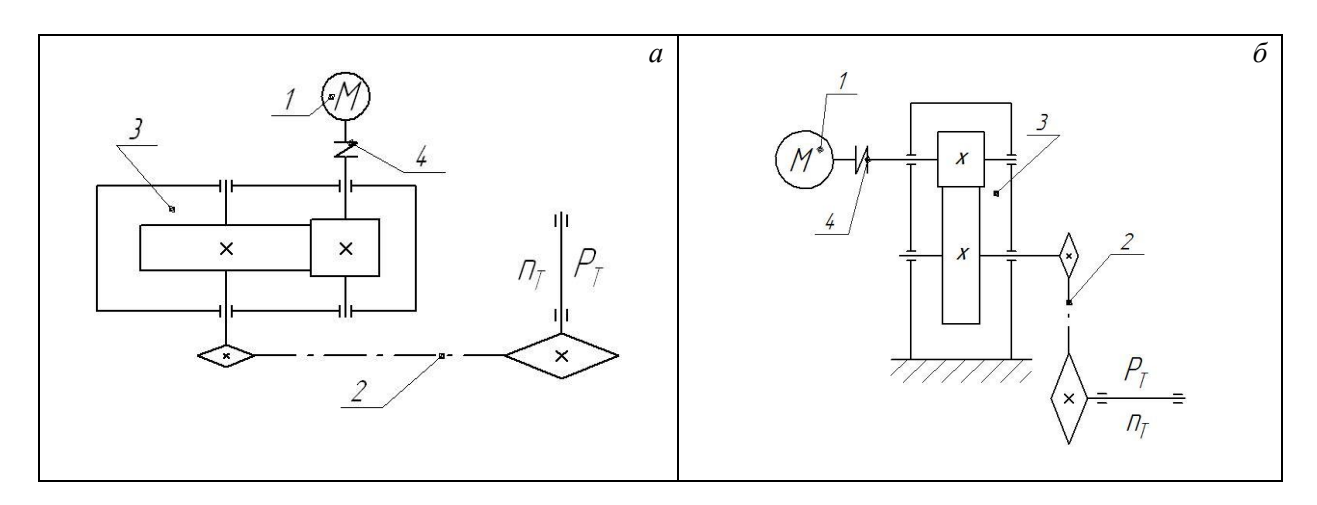


Рисунок 2 - Схемы приводных станций

4 Содержание пояснительной записки: Введение; 1 Кинематический и энергетический расчеты приводной станции; 2 Расчет передачи с гибкой связью (ременной или цепной); 3 Расчет зубчатых (червячных) передач редуктора; 4 Эскизная компоновка редуктора; 4.1 Конструктивные размеры шестерни и колеса; 4.2 Конструктивные размеры корпуса редуктора; 4.3 Предварительный (проектный) расчет валов редуктора; 5 Расчет валов редуктора; 6 Проверочный расчет подшипников; 7 Выбор и проверочный расчет муфты; 8 Расчет шпоночных соединений; 9 Подбор посадок для сопряженных поверхностей; 10 Выбор смазки; 11; Список использованных источников; Приложения

```
5 Перечень графического материала:
1 Общий вид приводной станции в 2-х поекциях(М1:1);2.Сборочный чертеж
редуктора в 2-х проекциях (М1:1);2 Чертежи 3-х сопряженных деталей (ведомый вал
редуктора, зубчатое колесо, звездочка) (М1:1)
6 Дата выдачи задания « 05__» __09____ 20_17 г. № регистрации - 21
7 Календарный график работы над курсовой работой
введение, раздел 1 к « <u>07</u> » <u>09</u> 20 <u>17</u> г. – <u>5%</u>
раздел 2 к «__<u>15_</u>» _<u>09____</u> 20<u>17</u> г. - <u>10%</u>;
раздел 3 к «<u>22</u> » <u>09</u> 20<u>17</u> г. – <u>10%</u>
раздел 4 к «__<u>30__</u> » __<u>09</u>___ 20_<u>17</u> г. – <u>10%</u>; разделы 5, 6 к «_<u>10__</u> » _<u>10</u>_ 20_<u>17_</u> г. – <u>10%</u>
разделы 7, 8, 9 к «<u>17</u> » <u>10</u> 20<u>17</u> г. – <u>10%</u>;
разделы 10, 11 к « 20__» _10_ 20_17 г. – <u>5%</u>
оформление пояснительной записки
и графического материала к «__<u>09__</u>_» <u>_12</u>___ 20<u>_17</u> г. - <u>__40%</u>
Защита курсовой работы с « <u>12</u>_» <u>__12</u> по « <u>17</u>» <u>__12</u> 20<u>__17</u> г.
                                                     П.В.Клавсуть
Руководитель
Задание принял к исполнению
                                       <u>М.Е.Юрчик____</u>
                                   (дата и подпись студента)
```

№ строки	Формат	Обозначение		Наименование		Кол. листов	Nº ∋ĸ3.	Примеч.
οN	φ					Кол.	>	П
1								
2				Документаци	lЯ			
3								
4	A 4	02.48.021.00.000 ПЗ		Пояснительная зап	писка			
5								
6	A 1	02.48.021.00.000 BO		Приводная станция				
7				Чертеж общего вид)a	1		
8	A 1	02.48.021.01.000 СБ		Редуктор				
9				Сборочный чертеж		1		
10	A 3	02.48.021.01.012		Вал		1		
11	A 3	02.48.021.01.011		Колесо зубчатое				
12	A 3	02.48.021.00.005		Звездочка ведущая		1		
13								
14								
15								
16								
17								
18								
19								
20								
21								
22								
				_				
	Лис	№ Подпис Дат		02.48.021.00.	000.	.ПД	ļ	
Разра		Юрчик	Π_{I}	риводная станция к	Литер	Лu	cm	Листо
Руков	уковод. Клавсуть скре		реперному штанговому 3			1		
Рецен	13.		-	нспортеру для удаления навоза из свинарника				
Н.кон	контр Ведомость проектной БГАТУ, гр.19м0						.9мо	
Зав. к	саф.	Основин	документации					

Реферат

Пояснительная записка состоит из 60 страниц машинописного текста и со держит 11 рисунков, 2 таблиц, 11 наименований использованных литературных источников, 2 листов графического материала формата A1 и листа A3.

Ключевые слова: транспортер штанговый скреперный, станция приводная, кинематика, энергетика, редуктор, передачи зубчатые, передача цепная, валы, подшипники, муфты, прочностной и проверочные расчеты, чертежи.

Цель проектирования -приобретение инженерных навыков по расчету и конструированию типовых механизмов, узлов и отдельных деталей машин на основе разработки проекта привода сельскохозяйственного назначенияю.

Обоснованы кинематические и энергетические параметры привода. Спроектированы зубчатая и цепная передачи. Спроектированы валы ступенчатой конструкции. Подобраны подшипники и муфты. Обоснован способ смазки зубчатых передач и подшипников. Определены основные параметры корпуса редуктора и рамы приводной станции. Описаны процессы сборки, разборки и регулировки редуктора. Выполнен уточненный проверочный расчет валов, подшипников и слабых элементов соединительных муфт. Разработаны чертежи привода, редуктора и деталей редуктора.

Расчеты параметров привода и конструирование приводной станции проведены в соответствии с действующими нормативные документами. Для повышения эффективности проектирования и с целью усвоения современных приемов проектирования деталей машин использованы элементы компьютерной графики и 3D проектирования. Учтены условия использования привода в АПК. Приняты во внимание предполагаемый объем производства подобных приводов и технологические возможности предприятий сельхозмашиностроения.

Содержание

Введение4
1 Описание конструкции привода5
2 Выбор электродвигателя и кинематический и силовой расчеты привода 7
3 Расчет цепной передачи10
4 Расчет зубчатой цилиндрической прямозубой передачи
4.1 Выбор материала зубчатых колес и определение допускаемых
контактных напряжений и напряжений изгиба13
4.2 Определение геометрических параметров передач и сил зацепления 13
5. Эскизная компановка редуктора
5.1 Ориентировочный расчет валов
5.2 Выбор типа применяемых подшипников
5.3 Конструирование валов
5.3.1 Конструирование ведущего вала
5.3.2 Конструирование ведомого вала
5.3.3 Конструирование вала контрпривода
5.4 Конструирование зубчатых колес
5.5 Конструирование звездочек цепной передачи
5.5.1 Конструирование ведущей звездочки
5.5.2 Конструирование ведомой звездочки
5.6 Конструирование крышек подшипников
5.6.1 Конструирование крышек подшипников ведущего вала
5.6.2 Конструирование крышек подшипников ведомого вала
5.7 Конструирование корпуса редуктора
6 Расчет валов редуктора

6.1 Определение реакций в опорах
6.2 Построение эпюр 6.3 Проверочный (уточненный) расчет валов
6.3.1 Ведущий вал
6.3.2 Ведомый вал
7 Проверочный расчет подшипников
7.1 Проверочный подшипник ведущего вала
7.2 Проверочный подшипник ведомого вала
8 Выбор и проверочный расчет муфт
9 Расчет шпоночных соединений
10 Подбор посадок и отклонений
11 Выбор смазки
12 Описание сборки, разборки и регулировки редуктора
Заключение
Список используемой литературы
ПРИЛОЖЕНИЯ

Введение

Основной целью курсового проектирования по дисциплине "Прикладная механика" является приобретение инженерных навыков по расчету и конструированию типовых механизмов, узлов и отдельных деталей машин на основе ранее полученных теоретических знаний по общеинженерным дисциплинам и разделам дисциплины « Прикладная механика ».

В качестве объектов курсового проектирования принят привод сельскохозяйственного назначения - скреперный штанговый транспортер для удаления навоза из свинарника», включающий большинство деталей и узлов общего назначения..

В ходе курсового проектирования производились проектные, проверочные расчеты и проектирование компонентов механического привода. Решалась задача развития умения разрабатывать техническую документацию для представления в материальной форме заданной схемы механизма с учетом предъявленных к нему требований к прочности, работоспособности, технологичности и экономичности.

При выполнении курсового проекта закреплялись знания по изучаемой дисциплине, развивалось умение использовать для реализации поставленных целей сведений из ранее изучаемых дисциплин, приобретались навыки работы со справочной литературой, нормативными материалами и электронными источниками информации. Развивалось инженерное мышление, позволяющие быстро, точно и оригинально решать поставленные задачи, направленные на удовлетворение технических потребностей в знаниях, способах, приемах, с создания технических целью средств организации технологий. При этом оттачивались: техническое мышление анализировать структуру, устройство умение состав, И

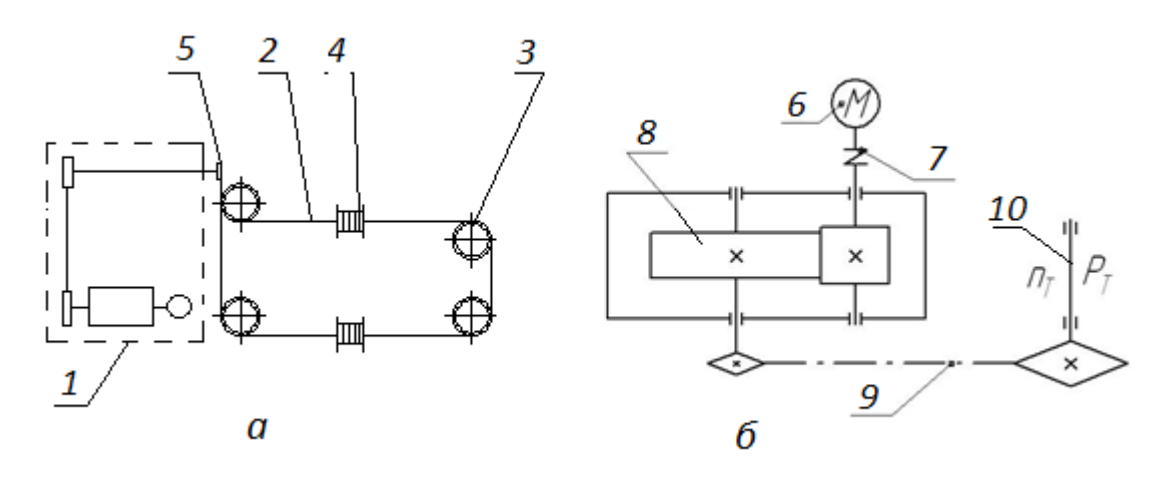
работы технических объектов принцип В изменённых условиях; конструктивное мышление построение определённой модели решения поставленной проблемы или задачи, под которой понимается умение сочетать теорию с практикой; исследовательское мышление определение новизны в задаче, умение сопоставить с известными классами задач, умение аргументировать свои действия, полученные результаты и делать выводы; экономическое мышление.

Поставленые цели и задачи, реализуемые в ходе курсового проектирования полностью соответствуют требованиям, предъявляемым к подготовке современного инженера для АПК- способного разрабатывать современную технику и технологии, управлять высокопроизводительным и экономически эффективным аграрным производством.

1 Описание конструкции приводимой машины и привода

Использование скреперных установок - метод удаления навоза из коровников и других животноводческих помещений. Скрепер позволяет качественно очищать проходы между рядами стойл, способствуя обеспечению максимально комфортных условий для содержания животных.

Скреперный транспортер предназначен для транспортировки бесподстилочного навоза по каналам (рисунок 1.1).



а-схема общая; б- схема приводной станции

Рисунок 1.1 – Скреперный штанговый транспортер

Транспортер в соответствием с заданием на курсовое проектирование состоит (рисунок 1.1а) из приводной станции 1, тягового троса 2,обводных звездочек 3,скреперных тележек 4, приводной звездочки 5. Вблизи приводной звездочки 5 вместо троса натянута втулочно-роликовая цепь. На тележках 4 шарнирно закреплены скребки, которые могут занимать вертикальное положение при рабочем ходе тележки. Звездочка 5 приводится в движение от приводной станции 1.

При прямом (рабочем) ходе тележки скребки занимают вертикальное положение и, упираясь в ограничители,

перемещают навоз по каналу. При обратном (холостом) ходе скребки отклоняются навозом и скреперная тележка возвращается в исходное положение.

Приводная станция перемещает тяговым органом скреперы – придает им возвратно-поступательное движение.

Привод (рисунок 1.16) к скреперному транспортеру состоит из асинхронного электродвигателя 6, упругой муфты 7, горизонтального цилиндрического редуктора 8, цепной передачи 9 и вала привода 10, на который устанавливается приводная звездочка 5 штангового транспортера. Все элементы привода смонтироване на единой раме. Возвратно — поступательное движение скреперных тележек обеспечивается реверсированием вращения вала электродвигателя 1.

Требуемые технические параметры привода в соответствии с заданием на проектирование представлены в таблице 1.1

Таблица 1.1-Исходные данные

Параметры								
$P_{\scriptscriptstyle \mathrm{T}}$, кВт	$n_{\scriptscriptstyle m T}$ мин $^{-1}$	$L_{h, ext{ t yac}}$	Режим	α, град				
			работы					
2,8	80	4000	Тяжелый	30				

Примечание: P_{τ} - мощность, затрачиваемая на техпроцесс; n_{τ} - частота вращения технологического вала; L_h — срок службы приводной станции: Θ — угол наклона цепной передачи к горизонту

2 Выбор электродвигателя, кинематический и энергетический расчеты привода

Исходные данные для расчета:

 $P_{\rm T}$ =2,8 кВт -мощность, затрачиваемая на технологический процесс; $n_{\rm T}$ =80 мин $^{-1}$ - частота вращения технологического вала.

Определяем общий коэффициент полезного действия (КПД) привода [2, формула 1.13]

$$\eta_{\text{of}} = \eta_{\text{M}} \cdot \eta_{\text{TIK}}^3 \cdot \eta_{\text{3LL}} \cdot \eta_{\text{LIII}}$$

Принимаем меньшие значения КПД каждого элемента привода [1, таблица 1.1;приложение Д1]:

 $\eta_{\scriptscriptstyle \mathrm{M}} = 0.98$ - КПД муфты,

 $\eta_{\text{пк}} = 0.99$ - КПД пары подшипников качения,

 $\eta_{_{\rm 3\Pi}} = 0.97$ - КПД зубчатой цилиндрической закрытой передачи,

 $\eta_{\text{ил}} = 0.93$ - КПД цепной передачи.

Тогда

$$\eta_{06} = 0.98 \cdot 0.99^3 \cdot 0.97 \cdot 0.93 = 0.85.$$

Расчётная мощность электродвигателя определяется [1, Формула 1.12]

$$P_{\rm Tp} = \frac{P_{\rm T}}{\eta_{\rm o6}} = \frac{2.8}{0.85} = 3.3 \text{kBT}$$

Ориентировочно определяем требуемую частоту вращения электродвигателя ,задаваясь передаточными числами передач в пределах рекомендуемых значений[2,Таблица 5.5;приложение Д2]

$$n_{\text{мин}} = n_{\text{\tiny T}} \cdot u_{\text{3пмин}} \cdot u_{\text{цп мин}} = 80 \cdot 3 \cdot 2, 5 = 600$$
 мин ⁻¹;

$$n_{\text{max}} = n_{\text{T}} \cdot u_{\text{3IIMAX}} \cdot u_{\text{IIIIMAX}} = 80 \times 6,3 \times 4,0 = 2016 \text{ MUH}^{-1}.$$

С целью снижения стоимости двигателя выбираем найболее высокооборотный двигатель серии АИР с синхронной частотой вращения из возможных [приложение Д4]. Данному условию удовлетворяют асинхронные короткозамкнутые двигатели с синхронной частотой вращения $n_c = 1500$ мин $^{-1}$.

Подбираем двигатель по мощности, для которого номинальная мощность удовлетворяет условию

$$P_{\text{ЭДH}} \geq P_{\text{Т}}.$$
 (2.1)

Из приложения Д4 принимаем двигатель серии АИР типа 100L4У2 с асинхронной частотой вращения $n_{\rm a}=1410{\rm мин}^{-1}$, номинальной мощностью $P_{\rm эдн}=4{\rm \, kBT}$ и диаметром вала $d_{\rm 9}=28{\rm \, MM}$. Этот двигатель удовлетворяет условию (2.1)

$$P_{\text{эдн}} = 4 \text{ кВт } \succ P_{\text{т}} = 3.3 \text{ кВт.}$$

Выбрали климатическое исполнение двигателя У2 и категорию размещения У2 по ГОСТ15150-69 для умеренного климата и с возможностью использования под навесом или в неотапливаемом помещении.

Выбираем двигатель с исполнением крепления двигателя М1081 по ГОСТ 2479-79(СТСЭВ 246-76) - креплением на лапах, с любым расположением оси двигателя в пространстве (в нашем случае горизонтальным), с цилиндрическим хвостовиком вала двигателя. Данные выбранного двигателя представлены в таблице 2.2.

Таблица 2.2 - Электродвигатели серии АИР 100L4 У2 исполнения М108. Основные размеры и масса [Приложение Д6]



Действительное общее передаточное отношение привода:

$$u_{\rm np} = \frac{n_{\rm a}}{n_{\rm T}} = \frac{1410}{80} = 17.6$$
.

С целью уменьшения габаритов цепной передачи принимаем максимальное значение передаточного числа редуктора $u_{3\pi} = 6$.

Определяем:

передаточное отношение цепной открытой передачи

$$u_{\text{IIII}} = \frac{u_{\text{IIP}}}{u_{\text{DII}}} = \frac{17.6}{6} = 2,93;$$

частоту вращения ведущего вала редуктора

$$n_1 = n_a = 1410$$
 мин⁻¹;

частоту вращения ведомого вала редуктора

$$n_2 = \frac{n_1}{u_{2n}} = \frac{1410}{6} = 235 \,\mathrm{MuH}^{-1};$$

частоту вращения вала привода

$$n_3 = \frac{n_2}{u_{\text{HII}}} = \frac{235}{2,93} = 80,2 \,\text{MuH}^{-1}.$$

несоответствие частоты вращения выходного вала привода

$$\Delta n = \left| \frac{n_3 - n_T}{n_T} \right| \cdot 100 = \left| \frac{80, 2 - 80, 0}{80, 0} \right| \cdot 100 = 0, 2 \% < \Delta n = 4 \%.$$

Рассчитаем мощность на валах привода:

на валу двигателя

$$P_{_{\rm ЭД}} = P_{_{\rm TP}} = 3.3 \,\mathrm{kBT};$$

на ведущем валу редуктора

$$P_1 = P_{\text{\tiny 3JL}} \cdot \eta_{\text{\tiny M}} \cdot \eta_{\text{\tiny TIK}} = 3, 3 \cdot 0, 98 \cdot 0, 99 = 3, 2 \text{ kBt},$$

на ведомом валу редуктора (на участке вала под зубчатым колесом)

$$P_2 = P_1 \cdot \eta_{_{3\Pi}} = 3, 2 \cdot 0, 97 = 3, 1 \text{kBt};$$

на валу привода

$$P_3 = P_2 \cdot \eta_{\text{tik}} \cdot \eta_{\text{tit}} = 3.1 \cdot 0.99 \cdot 0.93 \cdot 0.99 \approx 2.8 \text{ kBt}.$$

Определяем крутящие моменты на валах:

на валу двигателя

$$T_{\text{\tiny ZB}} = 9550 \frac{P_{_{\text{\tiny 3}\text{\tiny M}}}}{n_{\text{\tiny a}}} = 9550 \frac{3,3}{1410} = 22,4\,\text{H}\cdot\text{m};$$

на ведущем валу редуктора

$$T_1 = 9550 \frac{P_1}{n_1} = 9550 \frac{3.2}{1410} = 21.7 \text{ H} \cdot \text{m};$$

на ведомом валу редуктора (на участке вала под зубчатым колесом)

$$T_2 = 9550 \frac{P_2}{n_2} = 9550 \frac{3,1}{235} = 125,9 \,\mathrm{H} \cdot \mathrm{m};$$

на валу контрпривода

$$T_3 = 9550 \frac{P_3}{n_3} = 9550 \frac{2,8}{80,2} = 333,4 \text{H} \cdot \text{M}.$$

Результаты проведенных расчетов представлены в таблице 2.3.

Таблица 2.3 - Результаты кинематического и энергетического расчёта привода

Вал	P, к B т	<i>n</i> , мин ⁻¹	$T, H \cdot M$
Вал электродвигателя	3,3	1410	22,4
Входной вал редуктора	3,2	1410	21,7
Выходной вал редуктора	3,1	235,0	125,9
Вал рабочего привода	2,8	80,2	333,4

3 Расчёт цепной передачи

В качестве исходных данных для расчета цепной передачи принимаем: передаточное число цепной передачи $U_{uen}=2,93;;$ вращающий момент на ведущей звездочке, численно равный $T_{1u}=T_1\cdot\eta_n=125,9\cdot0,99=124,6$ настота вращения меньшей (ведущей) звездочки численно равна частоте вращения ведомого вала $n_{1u}=n_2=235$ мин $^{-1}$.

С целью упрощения конструкции привода предусматриваем периодическое смазывание цепной передачи, периодическое регулирование натяжения цепи и возможность работы привода в течении двух смен в сутки.

Расчетная схема цепной передачи приведена на рисунке 3.1

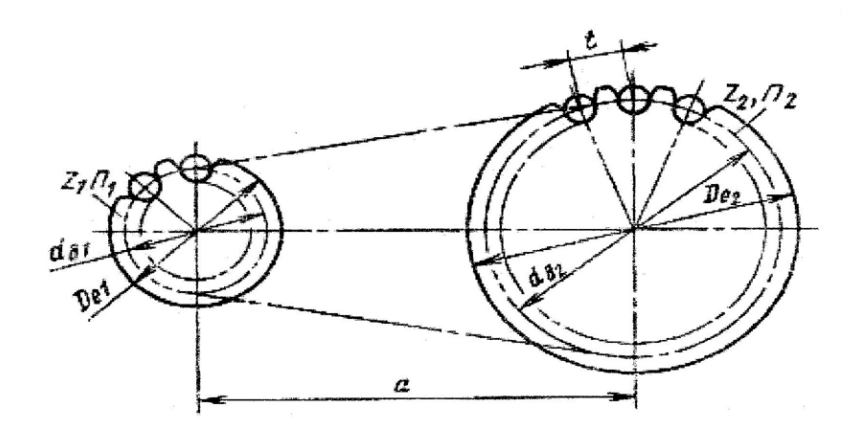


Рисунок 3.1- Расчетная схема цепной передачи

Основные расчетные формулы для цепной передачи представлены в пособии [1].

Определим число зубьев малой звездочки:

$$z_1 = 31 - 2u = 31 - 2 \cdot 2,93 = 25,14.$$

Для обеспечения равномерного изнашивания звездочек принимаем число зубьев нечетным $z_1 = 25$.

Тогда число зубьев большой звездочки будет равно:

$$z_2 = z_1 \cdot 2,93 = 25 \cdot 2,93 = 73,25.$$

Принимаем $z_2 = 73$.

Фактическое передаточное число

$$u_{\phi} = z_2 / z_1 = 73 / 25 = 2,92$$

незначительно отличается от назначенного в результате кинематического расчета

$$\Delta u = \left| \frac{u_{uen} - u_{uen\phi}}{u_{uen\phi}} \right| \cdot 100 = \left| \frac{2,92 - 2,93}{2,93} \right| \cdot 100 = 0,3\% < \Delta n = 4\%$$

Определим шаг цепи из выражения

$$t \ge 2, 8 \cdot \sqrt[3]{\frac{\mathsf{T}_{\ni \mathsf{III}} \cdot \mathsf{K}_{\ni}}{m_p \cdot z_1 \cdot [p]}}$$

Коэффициент эксплуатации равен [1,стр.176;Приложение Е1]

$$K_{\ni} = K \cdot K_{a} \cdot K_{c} \cdot K_{\gamma} \cdot K_{p} \cdot K_{per},$$

где K - коэффициент, учитывающий характер нагрузки. При спокойной нагрузке принимаем K=1,0;

 $_{\rm K_a}$ - коэффициент, учитывающий влияние межосевого расстояния а .При конструировании можно обеспечить оптимальное значение а. По рекомендациям [1] принимаем $_{\rm K_c}=1$;

 $_{{\rm K_c}}$ - коэффициент вида смазывания. При периодическом смазывании $_{{\rm K_c}}=1,5$;

 $_{K_{_{\gamma}}}$ - коэффициент наклона линии центров звездочек к горизонту. При θ = 60° принимаем $_{K_{_{\gamma}}}$ = 1,0 ;

 K_p -коэффициент режима работы. При двухсменной работе принимаем $K_p = 1,25$.

 $K_{
m per}$ - коэффициент способа регулирования натяжения цепи. При периодическом регулировании натяжения цепи принимаем $K_{
m per}=1,25=1,25$.

$$K_2 = 1, 0.1, 0.1, 5.1, 0.1, 25.1, 25 = 2,34$$
.

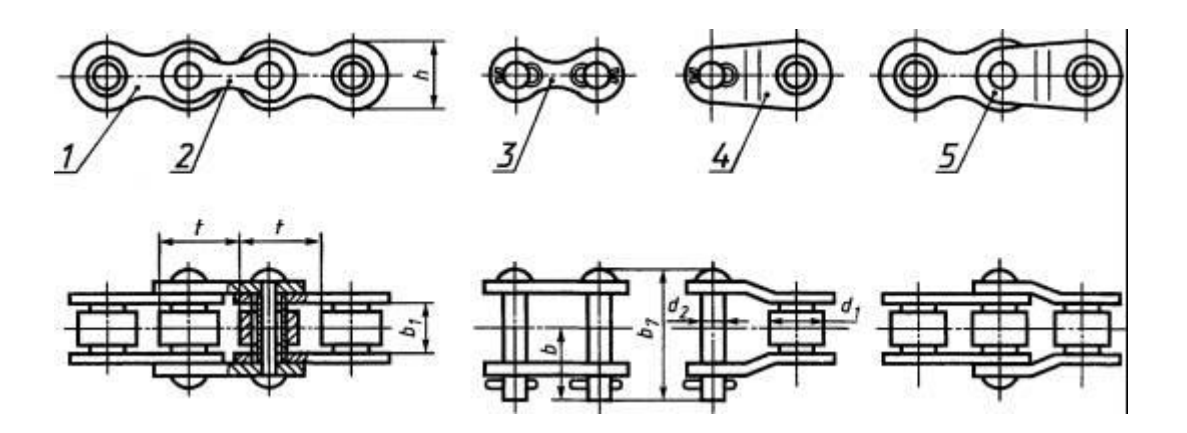
Намечаем к использованию однорядную цепь ($m_p = 1$).

Допускаемое давление в шарнирах цепи [р] зависит от шага цепи t и частоты вращения меньшей (ведущей) звездочки. Предполагая принять цепь с числом рядов $m_{\rm p}=1$ и шагами t = 19,05 ...25,4 мм из таблицы 6.19[1,приложение E2] при $n_{\rm h_{I}}=235$ мин $^{-1}$ путем интерполирования примем [р]= 29МПа.

Находим ориентировочное значение шага цепи

$$t \ge 2.8\sqrt[3]{\frac{10^3 T_{1II} K_{_9}}{z_1 [p] m_{_p}}} = 2.8\sqrt[3]{\frac{10^3 \times 124, 6 \times 2, 34}{25 \times 29 \times 1}} = 20,6 \text{mm},$$

Принимаем однорядную цепь ПР-25,40-60,0 по ГОСТ 13568-97 (рисунок 3.2) с параметрами [1,табл.6.18; таблица Е3]: шагом $t = 25,40_{MM}$, с диаметром ролика $d_1 = 7,92_{MM}$ с шириной внутреннего звена $B = 15,88_{MM}$, с разрушающей нагрузкой $F_P = 60000H$, массой 1 м цепи q = 2,6 кг/м, площадью проекции опорной поверхности шарнира $A_{on} = 179,7$ мм².



1 - внутреннее звено; 2 - наружное звено; 3 - соединительное звено; 4 - переходное звено; 5 - двойное переходное звено

Рисунок 3.2 - Однорядная цепь типа ПР-25,4-60,0 по ГОСТ 13568-97

Проверяем цепь по предельной частоте вращения, по износостойкости и на прочность.

Для выбранной цепи по табл. 6.21 [1; таблица Е4] максимальная частота вращения ведущей звездочки $[n_3]=1040~{\rm Muh}^{-1}$, следовательно, условие $n_{1u}=235~{\rm Muh}^{-1}<[n_3]$ выполняется.

Цепь можно считать износостойкой, если расчетное давление p в шарнирах не превышает допустимого значения [p] .

Определяем фактическую скорость движения цепи

$$V_{u} = \frac{z_{1}tn_{1u}}{60 \times 10^{3}} = \frac{25 \times 25, 4 \times 235}{60 \times 10^{3}} = 2,48 \text{ m/c}.$$

Мощность ,передаваемая цепной передачей

$$P_{u} = \frac{T_{1u} \times n_{1u}}{9550} = \frac{124, 6 \times 235, 0}{9550} = 3, 1 \kappa Bm.$$

Окружная сила, передаваемая цепью

$$F_{n_{\mu}} = \frac{P_{\mu}}{v_{\mu}} = \frac{3.1 \times 10^3}{2.48} = 12.4 = 1250Bm.$$

Расчетное давление в шарнирах цепи определяем по формуле

$$p = F_{tt} \frac{K_{s}}{S_{off}} = \frac{1250 \times 3,05}{179,7} = 21,2 \text{ M}\Pi a,$$

где обшая площадь проекции шарнира однорядной цепи $S_{\text{on}} = m \times A_{\text{on}} = 1 \times 179,7 = 179,7 \text{мм}^2.$

Условие износостойкости для выбранной цепи выполняется

$$p = 21, 2M\Pi a \prec [p] = 29M\Pi a.$$

Оптмальное межосевое расстояние из условия долговечности цепи a = (30...50) t = (30...50)25, 4 = 762...1270 мм.

С учетом результатов предварительной компоновки привода принимаем $a = 800\,$ мм.

Тогда принятое межосевое расстояние в шагах цепи будет $a_t = \frac{a}{t} = \frac{800}{25.4} = 31,5.$

Принимаем целое значение $a_t = 32$.

Определяем число звеньев у применяемой цепи

$$L_t = 2a_t + 0.5z_{\Sigma} + \frac{\Delta^2}{a_t} = 2 \times 32.0 + 0.5 \times 98 + \frac{7.64^2}{32.0} = 114.8.$$

где

$$z_{\Sigma} = z_1 + z_2 = 25 + 73 = 98$$
,

$$\Delta = \frac{(z_2 - z_1)}{2\pi} = \frac{73 - 25}{2 \times 3.14} = 7,64.$$

Принимаем целое четное число звеньев цепи L_{t} = 116 . При четном числе звеньев не требуется использовать переходных звеньев, которые по прочности уступают основным и ослабляют цепь.

Длина принятой цепи

$$L = L_t \times t = 116 \times 25, 4 = 2946, 4_{MM}.$$

Уточненное значение межосевого расстояния при принятом числе звеньев цепи

$$a = 0,25t \left[L_t - 0,5z_{\Sigma} + \sqrt{(L_t - 0,5Z_{\Sigma})^2 - 8\Delta^2} \right] = 0,25 \cdot 25,4 \times$$

$$\times \left[116 - 0,5 \times 98 + \sqrt{(116 - 0,5 \times 98)^2 - 8 \times 7,64^2} \right] = 828,2 \text{ mm}.$$

Для установки цепи на звездочки и свободного провисания цепи требуется возможность уменьшения межосевого расстояния на 0,4%.

Монтажное межосевое расстояние должно быть не менее

$$a_{\text{M}} = a - 0.04a = a(1 - 0.04) = 828.2(1 - 0.04) = 795 \text{ MM}.$$

Проверяем выбранную цепь на прочность. Вычислим коэффициент запаса прочности цепи с разрущающей нагрузкой F_P =60000H

$$S = \frac{F_{p}}{F_{tt}K + F_{tt} + F_{f}} = \frac{60000}{1250 \cdot 1, 0 + 15, 9 + 90, 8} = 44, 2$$

где нагрузка от центробежных сил при погонной массе цепи (массе 1 м цепи) $q=2,6~\kappa c/m$ и окружной скорости движения ветви цепи $V_u=2,48 m/c$.

$$F_{II} = qv^2 = 2,6 \cdot 2,48^2 = 15,9 \text{ H},$$

и нагрузка от провисания цепи

$$F_f = 9.81K_f qa = 9.81 \times 4.3 \times 2.6 \times 0.8282 = 90.8 \text{ H}$$

при рассчитанном коэффициенте провисания цепи с учетом заданного угла наклона цепной передачи $\alpha=30^\circ$.

$$k_f = 1 + 5 \cdot (90^{\circ} - \alpha)/90^{\circ} = 1 + 5 \cdot (90^{\circ} - 30^{\circ})/90^{\circ} = 4.3$$

В зависимости от принятого шага цепи t и частоты вращения меньшей звездочки $n_{1u} = 235 \text{мин}^{-1}$, для цепи типа ПР [1, таблице 6.2 ; таблица Е5] находится интерполированием нормативного значения - [S] =8,6.

Условие прочности для выбранной цепи выполняется

$$S = 44, 2 = [S] = 8, 6.$$

Сила от цепной передачи, нагружающая вал

$$F_{uen} = 1,2 \times F_u = 1,2 \times 1250 = 1500H.$$

Размеры звездочки определяют согласно рекомендаций [1,стр.181] и должны соответствовать ГОСТ 591-69.

Диаметры звездочек: делительные диаметры:

$$d_o = \frac{t}{\sin(180^\circ/z)};$$

$$d_{\partial 1} = \frac{25,4}{\sin(180^{\circ}/25)} = 203,2; d_{\partial 2} = \frac{25,4}{\sin(180^{\circ}/73)} = 590,69 \text{ мм};$$

При изготовления звездочек применяется материал и ТО [1, стр.184; таблица Е6]: ведущая звездочка- сталь 45,твердость 45...50 HRC,закалка ТВЧ и отпуск; ведомая звездочка - чугун СЧ 24,НВ 321...424, закалка ТВЧ и отпуск.

4. Расчет зубчатой передачи

4.1 Выбор материала зубчатых колес и определение допускаемых контактных напряжений и напряжений изгиба

С учетом требований к габаритам передачи и технологических возможностей производства, для унификации используемых в призводстве материалов с учетом рекомендаций [1,стр.102;приложение Ж1] выбран материал зубчатых колес сталь 40ХН, требуемая твердость поверхности зубьев колеса $HB_2=260HB$. Для обеспечения приработки колес при принятой твердости поверхности зубьев $HB \leq 350$ назначена разница твердостей соответственно шестерни и колеса (HB_1-HB_2) = 15HB.

С учетом выбранного материала и назначенной твердости выбраны термообработка, найдены [1, таблица 4.1; таблица Ж2] механические характеристики (предел прочности $\sigma_{_{\rm B}}$ и предел текучести $\sigma_{_{\rm T}}$,) и предельные размеры заготовок (диаметр D и ширина b).

С учетом технологических возможностей производства назначен для изготовления заготовки зубчатого колеса наиболее экономичный способ изготовления заготовок штамповкой и вид заготовки - поковки. Шестерня изготавливается совместно с валом из сортамента- круга.

При расчетах учитывались кинематические параметры передачи(частоты вращения шестерни $\ n_1$ и колеса $\ n_2$) ,наклон зубьев колес $\ \beta$, режим работы передачи, требуемы ресурс передачи $\ L_h$.

Таблица 4.1 - Исходные данные и выбор материала

	n ₁₍₂₎ ,	Н	Ā	Pecypc			Твердость,	Ме: характе	хан. р.стали	Заготог	вка для колес
Колеса	-1 мин	Наклон зубъев	Режим	, L_h ,час	Марка стали	TO	HB ₁₍₂₎ ,	σв, МПа*	σт, МПа*	Вид	Предельн. размеры
Указания к выбору	Задание к проекту и результаты кинематического расчета					[1,таблица 4.3; приложение Ж1]	[1,таблица 4.1; приложение Ж2]				
Шестерня (1)	1430	β ≠0	T	4000	Сталь 40ХН	У	260+15=275	980	750	П	<u>D≤ 200мм;</u> <u>b≤125мм</u>
Колесо (2)	238,3	β ≠0	T	4000	Сталь 40ХН	У	260	800	630	П	<u>D≤315мм;</u> <u>b≤200мм</u>

Примечание: 1. Режимы работы: Т-тяжелый; 2. Термообработка (ТО): У-улучшение; 3. Вид заготовки: П-поковка;

Результаты расчета допускаемых контактных напряжений для шестерни и колеса по зависимостям ,приведенным в [1], представлены в таблице 4.2 .

Таблица 4.2 -Результаты расчета допускаемых контактных напряжений

	Гезультаты расчета допуска		-
Наименование	Расчетная зависимость	Вычисление/Определение	Результат
	1.Шестерня		
Предел контактной выносливости, $oldsymbol{\sigma_{H lim1}}$	Табл.4.3[1],приложение Ж3		
,Мпа,	2 <i>HB</i> + 70	2 · 275 + 70	620
Базовое число циклов, $N_{H\mathrm{lim}1}$,шт.	Табл.4.2[1] или приложение Ж4	Принято при $HB_1 = 275$	20000000
Структура материала	Стр.106[1],приложение Ж5	Принято в зависимости от ТО	Однородная
Коэффициент запаса, $S_{H \min 1}$	Стр.106[1],приложение Ж5	Принято в зависимости от структуры	1,1
Число циклов, N_{k1} ,шт.	$N_{k1} = 60n_1L_h$	60 · 1430 · 4000	343200000
Коэффициен приведения К _{НЕ}	Табл.4.4[1], приложение Ж6	Принято в зависимости от режима работы привода	0,5
Эквивалентное число циклов, <i>N_{не1}</i> ,шт.	$N_{HE1} = K_{HE} N_{K1}$	0,5 · 343200000	171600000
Коэффициент долговечности,	При $N_{HE1} = 1716000000 < N_{H \mathrm{lim1}} = 200000000$ -не выполняется		Π ринять Z_{N1} < 2,6 (1,8 – npu TBY);
Z_{N1}	$Z_{N1} = \sqrt[6]{N_{H \operatorname{lim}1} / N_{HE1}}$	$Z_N = \sqrt[20]{\frac{20000000}{171600000}} = 0.898$	
	$N_{HE1} = 17160000 > N_{H \text{ lim1}} = 20000000$	V 171000000	$ \Pi $ ринять $Z_{N1} \ge 0,75$
	$Z_{N1} = \sqrt[20]{N_{H \text{lim}1} / N_{HE1}}$		Принимаю 0,9
Допускаемое контактное напряжение для шестерни $\left[\sigma_H^{}\right]_1$,МПа	$\left[\sigma_{H}\right]_{1} = \frac{\sigma_{H \text{lim} 1} Z_{N1}}{S_{H \text{min} 1}}$	$\frac{620 \cdot 0,9}{1,1}$	507
	1.Колесо		
Предел контактной	Табл.4.3[1]		
выносливости, $\sigma_{H \mathrm{lim} 2}$,Мпа,	2 <i>HB</i> + 70	$2 \cdot 260 + 70$	590
Базовое число циклов, $N_{H \lim 2}$,шт.	Табл.4.2[1],приложение Ж4	Принято при $HB_2 = 260$	20000000
Структура материала	Стр.106[1],приложение Ж5	Принять с учетом ТО	Однородная
Коэффициент запаса, $S_{H \min 2}$	Стр.106[1],приложение Ж5	Принято в зависимости от структуры	1,1
Число циклов, N_{k2} ,шт.	$N_{k2} = 60n_2L_h$	60 · 298,8 · 4000	57168000
Коэффициент <i>К_{НЕ}</i>	Табл.4.4[1], приложение Ж6	Принято в зависимости от режима	0,5
Эквивалентное число циклов, N_{HE2} ,шт.	$N_{HE2} = K_{HE}N_{K2}$	0,5.57168000	28584000
Коэффициент долговечности, Z_{N2}	При $N_{HE2} = 28584000 > N_{H \text{lim}2} = 200000000$ $Z_{N2} = \sqrt[20]{N_{H \text{lim}2} / N_{HE2}}$	$Z_N = \sqrt[20]{\frac{20000000}{28584000}} = 0.98$	Принимаю 0,98
Допускаемое контактное напряжение для колеса 2, $\left[\sigma_{H}\right]_{2},\text{МПа} \qquad \left[\sigma_{H}\right]_{2} = \frac{\sigma_{H \text{ lim} 2} Z_{N2}}{S_{H \text{ min 2}}}$		590·0,98 1,1	526,0

В косозубых цилиндрических передачах в качестве расчетного допускаемого контактного напряжения выбирают меньшее из двух, рассчитанных по зависимостям:

$$\begin{split} [\sigma_H]_p &= 0,45 \cdot ([\sigma_{H1}] + [\sigma_{H2}]) = 0,45 \cdot (507,0 + 526,0) = 465,0 \text{ M}\Pi\text{a}; \\ [\sigma_H]_p &= 1,25 \cdot [\sigma_{H2}] = 1,25 \cdot 526,0 = 657,5 \text{ M}\Pi\text{a}. \end{split}$$

Окончательно выбираем значение расчетного допускаемого контакного напряжения

$$[\sigma_H]_p = 465,0 \text{ M}\Pi a.$$

Результаты расчета допускаемых напряжений изгиба для шестерни и колеса по зависимостям ,приведенным в [1], представлены в таблице 4.3.

Таблица 4.3 -Результаты расчета допускаемых напряжений изгиба

Наименование	Расчетная зависимость	Вычисление/Определение	Результат
	1.Шестерня		
Предел выносливости при	Табл.4.3[1], таблица Ж3		
изгибе, $oldsymbol{\sigma}_{F \mathrm{lim} 1}$,Мпа,	1,8НВ	1,8·277	499,0
Коэффициент запаса, $S_{F \min 1}$	Табл.4.3[1], таблица ЖЗ	Принято для ТО -:улучшение	1,75
Базовое число циклов, $N_{F\mathrm{lim}1}$,шт.	Стр.107[1],], таблица Ж4	Для стальных колес	4000000
Число циклов, N_{k1} ,шт.	$N_{k1} = 60n_1L_h$	60 · 1430 · 4000	343200000
Коэффициен приведения К _{НЕ}	Табл.4.4[1], таблица Ж6	Принято для тяжелого режима	0,5
Эквивалентное число циклов, N_{HE1} ,шт.	$N_{HE1} = K_{HE}N_{K1}$	0,5·343200000	171600000
Коэффициент долговечности, $Y_{a1} \label{eq:Ya1}$	Стр.106[1]` $\Pi_{\text{ри HB}=275\leq350\text{HB}}$ $1\leq Y_{N1}=\sqrt[6]{N_{F\text{lim}1}/N_{FE1}}\leq 4$	$Z_{N1} = \sqrt[6]{rac{400000}{171600000}} = 0.94$ Принимаем для НВ \leq 350НВ $Z_{N1} = 1.0$	1,0
Коэффициент реверсивности, $ extbf{\emph{Y}}_{a1}$	Стр.106[1]`	Принято для нереверсивной передачи	1,0
Допускаемое напряжение изгиба для шестерни $[oldsymbol{\sigma}_F]_1$,МПа	$\left[\sigma_F\right]_1 = \frac{\sigma_{F \lim 1} Y_{N1} Y_{a1}}{S_{F \min 1}} \le 4$	499,0·1,0·1,0 1,75	285,0
	2.Колесо		
Предел выносливости при изгибе, $\sigma_{F m lim2}$,Мпа,	Табл.4.3[1],], таблица ЖЗ	1,8.260	468.0

Окончание таблицы 4.3

Коэффициент запаса, $S_{F \min 2}$	Табл.4.3[1],], таблицы Ж3,Ж7	Принято для ТО:улучшение и поковки	1,75
Базовое число циклов, $N_{F \lim 2}$,шт.	Стр.107[1],], таблица Ж4	Для стальных колес	4000000
Число циклов, N_{k2} ,шт.	$N_{k2} = 60n_2L_h$	60 · 298,8 · 4000	57168000
Коэффициент К _{НЕ}	Табл.4.4[1], таблица Ж6	Принять в зависимости от режима	0,5
Эквивалентное число циклов, N_{HE2} ,шт.	$N_{HE2} = K_{HE} N_{K2}$	0,5.57168000	28584000
Коэффициент долговечности, Y_{a2}	CTp.106[1]` $1 \le Y_{N2} = \sqrt[6]{N_{F \lim 2} / N_{FE2}} \le 4$	$\sqrt[6]{\frac{4000000}{57168000}} = 0,64$ Принимаем для НВ \leq 350НВ $Z_{N2} = 1.0$	1,0
Коэффициент реверсивности, Y_{a2}	Стр.106[1], таблица Ж7`	Принято для нереверсивной передачи	1,0
Допускаемое напряжение изгиба для шестерни $\left[\sigma_{F}\right]_{2}$,МПа	$\left[\sigma_F\right]_2 = \frac{\sigma_{F \lim 2} Y_{N2} Y_{a2}}{S_{F \min 2}} \le 4$	$\frac{468 \cdot 1, 0 \cdot 1, 0}{1,75}$	267,0

4.2 Определение геометрических параметров передачи и сил в зацеплении

В качестве расчетных данных для расчета геометрических параметров передачи принимают: вращающий момент на ведомом валу редуктора $T_2 = 125,9H\cdot {\it M}, {\rm 3}{\rm Ha}{\rm 4}{\rm 6}{\rm 5}{\it M}\Pi a$ МПа.

Ориентировочно межосевое расстояние равно [1,формула 4.49]

$$a_{w} = K_{\alpha} (U_{T} + 1) \sqrt[3]{\frac{K_{HB} T_{2} 10^{3}}{\psi ba U_{IUMJ}^{2} [\sigma_{H}]_{p}^{2}}},$$

 $K_a = 43 M\Pi a^{1/3}$ - числовой коэффициент для прямозубых колес.[1,с.188]; $K_{H\beta} = 1,1$ - коэффициент концентрации нагрузки [1,рисунок 4.4]; $\psi_{bd} = 0,5 \psi_{ba} (U_T + 1) = 0.5 \times 0.4 (6+1) = 1.4 [1,формула 4.10];$ $\psi_{ba} = 0,4.[1,$ таблица 4.10;приложение 32] для передачи с колесами, симметрично расположенными относительно опор

$$a_{\rm w} = {\rm K}_{\alpha} ({\rm U}_{\rm t} + 1) \sqrt[3]{\frac{{\rm K}_{\rm HB} {\rm T}_2 10^3}{\psi_{\it ba} U_{\rm time}^2 [\sigma_{\it H}]^2_{\it p}}} = 43 \times (6 + 1) \sqrt[3]{\frac{125, 9 \cdot 1, 1 \cdot 10^3}{0, 4 \cdot 6^2 \cdot 468^2}} = 106, 3 \text{ mm}.$$

Для мелкосерийного производства принимаем межосевое расстояние $a_{\rm w}=110$ из ряда линейных размеров Ra 40 ГОСТ 6636-69 [Таблица 3 1].

Определяем ширину венца зубчатого колеса:

$$b_w = b_2 = \psi_{ba} \cdot a_w = 0, 4 \cdot 108 = 44, 0 \text{ MM}.$$

Принимаем из ряда линейных размеров $b_2 = 45\,$ мм

Ширина венца шестерни должна быть не менее [1,формула 4.11]

$$b_1 = b_2 + (3...5) = 45 + 3 = 48 \text{ MM}$$

и соответствовать ряду линейных размеров Ra 40 ГОСТ 6636-69.

Определяем значение модуля [1,с.120; приложение 3 3];

$$m_n = (0,01...0,02) \cdot a_w = (0,01...0,02) \cdot 110 = 1,1...2,2$$

В практических расчетах минимальное значение модуля устанавливают исходя из прочности зуба на изгиб

$$m_n = 0.1a_w \frac{U_{\text{пил}}}{(U_{\text{пил}} + 1)^2} = 0.1 \cdot 110 \cdot \frac{6}{(6+1)^2} = 1.35 \text{ MM}.$$

Принимаем по ГОСТ 9563-60 $\mathbf{m}_n = 1,5$ мм [1,таблица 4.13;таблица 3 4].

Предварительно задаём угол наклона зубьев β =14°. Тогда суммарное число зубьев [1,формула 4.15]

$$Z_{\Sigma} = \frac{2 \cdot a_{w} \cdot \cos \beta}{m_{v}} = \frac{2 \cdot 110 \cdot \cos 14^{\circ}}{1,5} = 143,1 \text{ MM}.$$

Принимаем 143.

Число зубьев шестерни [1,формула 4.15].

$$Z_1 = \frac{Z_{\Sigma}}{(U_{uu}+1)} = \frac{143}{6+1} = 20,4.$$

Принимаем $Z_1 = 20$.

Число зубьев колеса будет

$$Z_2 = Z_1 - Z_1 = 143 - 20 = 123$$

Уточняем угол наклона зубьев:

$$\cos \beta = \frac{m \cdot (Z_1 + Z_2)}{2 \cdot a_w} = \frac{1, 5 \cdot (20 + 123)}{2 \cdot 110} = 0,975$$

$$\beta = 14,3^{\circ}$$
.

Значение угла наклона зубьев находится в рекомендуемых пределах $eta=8...18^{\circ}.$

Действительное значение передаточного числа равно

$$U_{\text{цил }\phi} = \frac{Z_2}{Z_1} = \frac{123}{20} = 6,15$$

Отклонение действительного передаточного числа привода

$$\Delta U_{\text{пр}} = \frac{\left(U_{\text{цил }\phi} - U_{\text{цил}}\right)}{U_{\text{цил}}} \cdot 100 \% = \frac{\left(6,15-6,0\right)}{6,0} \cdot 100 \% = 2,5 \%.$$

не превышает допускаемого [2, с. 35] значения $\Delta U_{\rm II} = \pm 4$ %.

Определяем делительные диаметры колёс , нарезанных без смещения (коэффициенты смещения ($x_{1(2)} = 0$)

$$d_1 = \frac{Z_1 m}{\cos \beta} = \frac{1, 5 \cdot 20}{0,975} = 30,8 \text{ mm};$$

$$d_2 = \frac{Z_2 m}{\cos \beta} = \frac{1, 5 \cdot 123}{0,975} = 189, 2 \text{ MM}.$$

Уточняяем межосевое расстояние:

$$a_w = 0.5 \cdot (d_1 + d_2) = 0.5 \cdot (30.8 + 189.2) = 110 \text{ MM}.$$

Диаметры окружностей выступов:

$$d_{a1}=d_1+2m=30,8+2\cdot 1,5=33,8$$
 мм;
$$d_{a2}=d_2+2m=189,2+2\cdot 1,5=192,2$$
 мм.

Диаметры окружностей впадин:

$$d_{f1} = d_1 - 2,5m = 30,8 - 2,5 \cdot 1,5 = 27,1 \text{ мм};$$

$$d_{f2} = d_2 - 2,5m = 189,2 - 2,5 \cdot 1,5 = 185,5 \text{ мм}.$$

Окружная скорость в зацеплении:

$$\theta = \frac{d_1 \pi n_1}{60 \cdot 10^3} = \frac{3,14 \cdot 30,8 \cdot 1410}{60000} = 2,28 \, \text{M/c}.$$

По рекомендациям [1, таблица 4.6; таблица 3 5] выбираем 9 — ю степень точности передачи.

Определяем силы, действующие в зацеплении [1, формулы 4.22].

Окружная сила

$$F_{t1} = F_{t2} = \frac{2T_2}{d_2} = \frac{2 \cdot 125, 9 \cdot 1000}{189, 2} = 1330, 9 \text{ H};$$

Радиальная

$$F_{r1} = F_{r2} = \frac{F_{t1} t g a_w}{\cos \beta} = \frac{1330, 9 \cdot 1 \cdot tg 20}{\cos 14, 7} = 443, 5 \text{ H};$$

Осевая

$$F_{a1} = F_{a2} = F_{t1} \cdot t \, g \beta = 1330, 9 \cdot t \, g14, 3 = 304, 1 \, H.$$

Определяем расчётное контактное напряжение [1 ,формула 4.23]

$$\sigma_H = Z_E Z_{\varepsilon} Z_H \sqrt{rac{F_{t1} K_H (\mathbf{U}_{\text{цил}} + 1)}{U_{\text{цил}} b_2 d_1}},$$

где Z_E — коэффициент, учитывающий механические свойства материала [1, c. 124];

Для стальных колес $Z_E = 192$ [1,стр.124]

 $Z_{arepsilon}$ — коэффициент, учитывающий суммарную длину контактных линий,

 $Z_{\rm H}$ — коэффициент, учитывающий форму сопряжённых поверхностей.

Для стальных колес $Z_E = 192$ [1,c.124].

При значении коэффициента осевого перекрытия[1,стр.124]

$$\varepsilon_{\beta} = \frac{b_2 \sin \beta}{\pi m} = \frac{45 \cdot \sin 14.7}{3.14 \cdot 1.5} = 2.19 > 1 [1, c. 124];$$

коэффициент Z_{ϵ} равен

$$Z_{\varepsilon} = \sqrt{\frac{1}{\varepsilon_a}} = \sqrt{\frac{1}{1,69}} = 0,77$$

где коэффициент торцевого перекрытия

$$\varepsilon_a = [1,88+3,2(\frac{1}{z_1} + \frac{1}{z_2})]. \cos \beta = [1,88-3,22(\frac{1}{20} + \frac{1}{123})] \cdot \cos 14,7 = 1,69.$$

Из теории зубчатого зацепления с учетом определений по ГОСТ 16530-83 делительный угол профиля в торцовом сечении

$$\alpha_t = arctg \frac{\tan 20}{\cos \beta} = arctg \frac{\tan 20^\circ}{\cos 14,3} = 20,48^\circ,$$

основной угол наклона

$$\beta_B = \arcsin(\sin \beta \cdot \cos 20^\circ) = \arcsin(\sin 14, 3 \cdot \cos 20) = 13,47^\circ.$$

Коэффициент, учитывающий форму сопряжённых поверхностей

$$Z_{H} = \frac{1}{\cos a_{t}} \cdot \sqrt{\frac{2 \cdot \cos \beta_{B}}{\tan a_{tw}}} = \frac{1}{\cos 20,57} \cdot \sqrt{\frac{2 \cdot \cos 13,47}{\tan 20.48}} = 2.42$$

при $a_{\scriptscriptstyle t}=a_{\scriptscriptstyle tw}$ для передачи без смещения (x = 0) .

Определим коэффициент нагрузки

$$K_{H} = K_{H\alpha} K_{H\beta} K_{H\alpha} K_{H\nu}.$$

Коэффициент $K_{H\alpha}$, учитывающий неравномерность распределения нагрузки между парами зубьев, зависит от окружной скорости колес и степени точности передачи .При g=2,28~m/c и степени точности 9 значение коэффициента $K_{H\alpha}=1,13$. [1,стр.110; таблица 3 6]

Коэффициент $K_{H\beta}$, учитывающий распределение нагрузки по длине контактных линий зависит для одноступенчатого редуктора от коэффициента ширины ψ_{bd} и твердости зубьев. При твердости зубьев HB < 350

$$\psi_{bd} = \frac{b_2}{d_1} = \frac{44}{30,85} = 1,43.$$

значение коэффициента определяется по графику [1, рисунок 4,4;таблица 3 7] и равно $K_{H\beta}=1\,1$

Коэффициент динамической нагрузки K_{H9} зависит от степени точности колес, твердости поверхностей зубьев и окружной скорости вращения. При степени точности 9, твердости зубьев НВ < 350 и скорости $9 = 2,27 \,\mathrm{M/c}$ значение коэффициента $K_{H0} = 1,04$ [1,таблица 4.8; таблица 3 8].

Значение коэффициента нагрузки

$$K_H = 1,04 \cdot 1,1 \cdot 1,13 = 1,29.$$

Расчётные контактные напряжения

$$\begin{split} \sigma_{H} &= Z_{E} Z_{\varepsilon} Z_{H} \sqrt{\frac{F_{t1} K_{H} (\mathbf{U}_{\text{цил}} + 1)}{U_{\text{цил}} b_{2} d_{1}}} \\ \sigma_{H} &= 192 \cdot 0,77 \cdot 2,42 \sqrt{\frac{1330,9 \cdot 1,29 \cdot (6+1)}{6 \cdot 45 \cdot 30,8}} = 430,0 \text{ M}\Pi \text{a}. \end{split}$$

Условие прочности по контактным напряжениям для выбранной цепи выполняется

$$\sigma_H = 430,0 \text{ M}\Pi \text{a} < [\sigma_H]_{\Pi} = 465,0 \text{ M}\Pi \text{a}.$$

Недогрузка передачи не превышает допустимое значение

$$\Delta \sigma_H = \left| \frac{\sigma_H - [\sigma_H]_T}{[\sigma_H]_T} \right| \times 100\% = \left| \frac{465, 0 - 430, 0}{465, 0} \right| \cdot 100 = 7, 5\% < \Delta n = 15\%.$$

Выполним проверочный расчет передачи по напряжениям изгиба [1,формула 4.25]:

$$\sigma_F = \frac{2T_1Y_FY_{\varepsilon}Y_{\beta}K_F}{d_1b_2m} \le [\sigma_F]$$

где Y_F — коэффициент формы зуба, выбираем по рисунку 4.7 [1] в зависимости от приведенного числа зубьев: $Z_{\nu} = \frac{Z}{\cos^3 \beta}$;

$$Z_{v1} = \frac{Z_1}{\cos^3 \beta} = \frac{20}{\cos^3 14.3^\circ} = 21,6$$

$$Z_{v2} = \frac{Z_2}{\cos^3 \beta} = \frac{123}{\cos^3 14,3^\circ} = 132,7;$$

и коэффициента смещения передачи x_1 и x_2 .

Коэффициенты смещения передачи без смещения $x_1 = x_2 = 0$. Тогда по графику [1,рисунок 4.7;приложение 3 9] коэффициенты формы зуба равны: $Y_{F1} = 4,08; \ Y_{F2} = 3,62;$

При найденном ранее значении коэффициента торцевого перекрытия $Y_{\varepsilon}=1,7\,$ коэффициент, учитывающий перекрытие зубьев

$$Y_{\varepsilon} = \frac{1}{\varepsilon_a} = \frac{1}{1,69} = 0,6.$$

При найденном ранее значении угла наклона зубьев $\beta=14,3^\circ$ коэффициент, учитывающий перекрытие зубьев коэффициент, учитывающий наклон зубьев Y_{β}

$$Y_{\beta} = 1 - \frac{\beta}{120^{\circ}} = 1 - \frac{14.3^{\circ}}{120^{\circ}} = 0.88.$$

Определим коэффициент нагрузки

$$K_F = K_{F\alpha} K_{F\beta} K_{F\alpha} K_{F\upsilon}$$

Коэффициент $K_{F\alpha}$, учитывающий неравномерность распределения нагрузки между парами зубьев, зависит от окружной скорости колес и степени точности передачи. При $\mathcal{G}=2,28\,\mathrm{M/c}$ и степени точности 9 значение коэффициента [1,таблица 4.5; таблица 3 6] $K_{F\alpha}=1,35$.

Коэффициент $K_{F\beta}$, учитывающий распределение нагрузки по длине контактных линий зависит для одноступенчатого редуктора от коэффициента ширины ψ_{bd} и твердости зубьев. При твердости зубьев HB < 350

$$\psi_{bd} = \frac{b_2}{d_1} = \frac{44}{30,85} = 1,43.$$

Значение коэффициента определяется по графику [1,рисунок 4.4;приложение 3 7] и равно $K_{F\beta}=1,2.$

Коэффициент динамической нагрузки $K_{F\mathcal{G}}$ зависит от степени точности колес, твердости поверхностей зубьев и окружной скорости вращения. При степени точности 9,твердости НВ < 350 и скорости $\mathcal{G}=2,28\,\mathrm{M/c}$ значение коэффициента $K_{H\nu}=1,10$ [1,таблица 4.9; таблица 3 10].

Значение коэффициента нагрузки:

$$K_F = 1,35 \cdot 1,2 \cdot 1,10 = 1,78.$$

Проверку производят для менее прочного колеса. Определяем менее прочный зуб соотношению ([1,стр. 123]

$$\frac{[\sigma_F]_1}{Y_{F1}} = \frac{285}{4,08} = 69,9 < \frac{[\sigma_F]_2}{Y_{F2}} = \frac{267,0}{3,62} = 73,8.$$

Менее прочным является зуб шестерни. Следовательно, проверочный расчет на изгиб производим по шестерне.

Напряжения изгиба для колеса

$$\sigma_F = \frac{2 \cdot 21, 7 \cdot 10^3 \cdot 4, 08 \cdot 0, 6 \cdot 0, 88 \cdot 1, 78}{30, 8 \cdot 45 \cdot 1, 5} = 80, 0 \text{ M}\Pi\text{a};$$

$$\sigma_F = 80, 0 < [\sigma_F]_4 = 267, 0 \text{ M}\Pi\text{a}.$$

5 Эскизная проектирование редуктора

5.1 Общие сведения о проектировании

При известной кинематической схеме редуктора, найденных параметрах передач требуется принять принципиальные решения по конструкции редуктора: выбрать конструктивного варианта исполнения подшипниковых узлов и исполнения корпуса; определить типы применяемых подшипников,способы их регулировки и смазывания; задать способы фиксации деталей; назначить расстояния между элементами конструкции и размеры, которые не могут быть определены расчетом; обеспечить собираемость

редуктора, регулировку зацепления и обеспечить надежную смазку всех трущихся сопряжений.

В результате анализа известных конструкций редукторов [4,приложение В2] в качестве прототипа для проектирования – редуктор цилиндрический одноступенчатый горизонтальный с классическим корпусом.

В результате анализа известных конструкций приводов [4,приложение В2] в качестве прототипа для проектирования выбран привод в составе электродвигателя, редуктора и вала контрпривода, собранных на сварной раме. Рама монтируется на бетонном основании по месту установки привода.

5.2 Выбор типа применяемых подшипников качения

В зубчатой передаче редуктора применены косозубые зубчатые колеса и в зацеплении наряду с радиальной силой $F_{r_1}=F_{r_2}=443,5H$ действует осевая сила $F_{a_1}=F_{a_2}=304,1H$.

Отношение

$$\frac{F_{a3}}{F_{r3}} = \frac{304,1}{443,5} = 0,69.$$

Следовательно, в опорах быстроходного и тихоходного валов могут быть применены радиально-упорные однорядные роликовые подшипники легкой серии. По сравнению с роликовыми подшипниками качения эти подшипники отличаются меньшей стоимостью и не требуют регулировки в процессе эксплуатации.

В связи с тем, что отношение $F_a/F_r>0,25$ применена схема установки подшипников "враспор" [3, с.54].

Вал контрпривода связан с ведомым валом редуктора цепной передачей, с валом приводимой машины через втулочно- пальцевую муфту. Осевые нагрузки на опоры отсутствуют. В связи с применением сварной рамы в сочетании с бетонным основанием возможен перекос пор вала относительно друг друга при установке рамы.

Следовательно, в опорах вала контпривода могут быть применены радиальные шариковые сферические двухрядные подшипники легкой серии.

5.3 Выбор способа смазки редуктора

Конструкцию редуктора во многом определяет способ смазки его подшипников и зубчатых колес.

По результатам расчетов окружная скорость вращения зубчатого колеса $\vartheta = 2,28 \, \mathrm{m/c}.$

Данная скорость не превышает предельной [4,с.234] скорости $\theta = 12$ м/с и может быть применена смазка погружением колес в масляную ванну. Скорость $\theta = 2,28$ м/с достаточна для смазывания всех зубчатых колес и подшипников масляным туманом при погружении тихоходного колеса в масло.

5.4 Конструирование валов

Целью конструирования является определение диаметров ступенчатых валов на всех участках. В качестве исходных данных используюся расчитанные в п.5.3.1. в ходе ориентировочного расчета диаметры "опасных" участков.

При назначении диаметров участков приняты следующие предпосылки: с целью облегчения монтажа сопряженных с валом изделий и задания их однозначного расположения на валу сам вал выполняется ступенчатым; диаметры участков вала под стандартные изделия назначают с учетом их посадочных радиально-упорных диаметров, именно: шариковых ΓOCT 831-75; ΓΟСΤ 8752подшипников качения ПО манжет ПО 79;муфт, например втулочно-пальцевых, по ГОСТ 21424-93; диаметр участка вала под стандартную муфту, соединяющий этот вал с другим валом стандартного изделия, например, электродвигателя, назначается с учетом положений стандарта на муфту, в котором прописано, что в стандартной муфте

допускается сочетание полумуфт с разным посадочным диаметром отверстий только в пределах одного номинального крутящего момента для муфты(п.10 ГОСТ 21424-93);

высота упорных буртиков под подшипники принимается больше высоты фаски внутреннего кольца подшипника и меньше высоты внутреннего кольца на величину a, где a — не менее 2 мм;

высота упорных буртиков для других сопрягаемых изделий (ступиц зубчатых колес, муфты и звездочки принимается в зависимости от посадочного диаметра по рекомедациям в табл.14.7 [2];

длины участков валов, на которые садятся стандартные изделия, назначают по соответствующим стандартам. В частности, для участков под втулочно — пальцевые муфты — по ГОСТ 21424-93;

длины участков валов, на которые садятся нестандартные изделия ,в нашем случае зубчатые колеса и ведущая звездочка цепной передачи, . принимают в зависимости от диаметра вала $d_{\scriptscriptstyle \rm R}$ на посадочном участке

$$L_{CT} = (1, 2...1, 5)d_B$$

для всех участков вала, кроме участков под стандартные изделия, диаметры и длины участков назначают с учетом ряда линейных диаметров по ГОСТ 6636-69 [3.таблица П4; приложение Г].

На быстроходном валу шестерни целесообразно выполнить заодно с валом только в случае, если будет выполняться условие(рисунок 5.1)

$$\Delta = \frac{d_{f1}}{2} - \left(\frac{d_B}{2} + t_2\right) > 2,5 \tag{5.1}$$

где

 $d_{\rm fl}$ - диаметр впадин шестерни в мм;

 $d_{\rm \it B}$ — диаметр вала в месте размещения шестерни в мм;

 t_2 — глубина впадины в ступице при посадке ступицы на вал диаметром

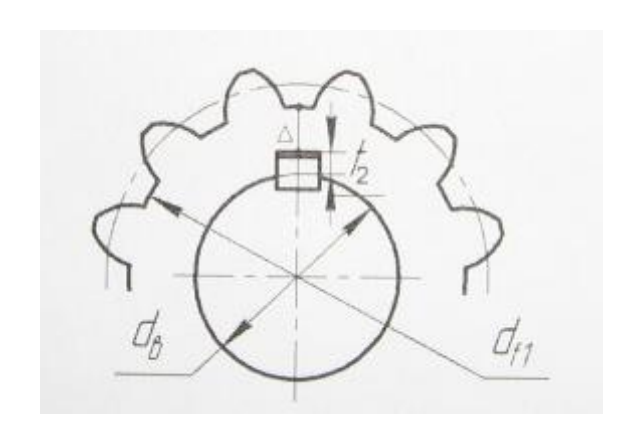


Рисунок 5.1- Обоснование использования съемной шестерни

Конструирование длин участков быстроходного и тихоходного валов, выступающих из корпуса редуктора, продолжают после выполнения компановки и разработки корпуса редуктора.

При разработке конструкции валов принимают во внимание не только технологию монтажа и демонтажа устанавливаемых на вал деталей и узлов, но и технологию обработки поверхностей ступеней.

При конструировании валов стараются уменьшить массу детали, упростить технологию изготовления, обеспечить достаточную усталостную прочность детали путем обоснованного выбора размеров и конструктивных решений [3,с.9] по уменьшению концентрации напряжений в местах изменения диаметра вала.

В результате анализа известных конструкций валов [4,приложение КГ (рисунки К 1,К2] в качестве прототипа для проектирования выбран вал с несъемной шестерней и цилиндрическим концом (рисунок 5.2).

5.4.1 Конструирование ведущего вала

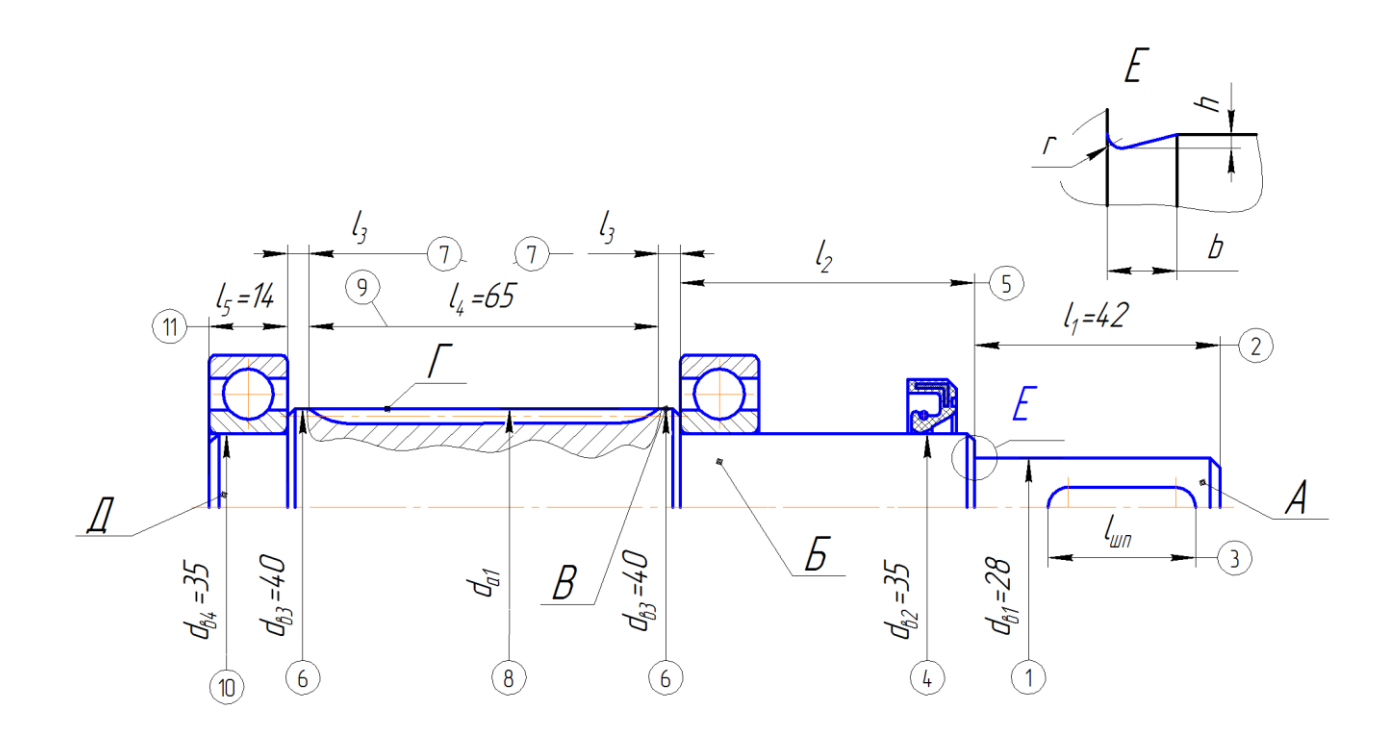


Рисунок 5.2 - Вал ведущий

Участок А. Выходной конец вала предназначен для установки стандартной втулочно-пальцевой муфты по ГОСТ 21424-93, соединяющей ведущий вал редуктора с валом электродвигателя диаметром. и выполняется цилиндрическим.

Позиция 1. Диаметр этого участка вала $d_{\rm al}$ определяется в результате ориентировочного расчета на статическую прочность ,условно только на кручение вращающим моментом $T_{\rm ДB}=22,4$ Нм , по пониженным допускаемым касательным напряжениям [au] $_{\rm KP}=20$ МПа [3,c.16]

$$d_{B1} = \sqrt[3]{\frac{T_1}{0,2 \times [\tau]}} = \sqrt[3]{\frac{22400}{0,2 \times 20}} = 17,25 \,\text{MM}$$

Принимаем диаметр первой ступени вала по ГОСТ 12080-66 из первого предпочтительного ряда для стандартных цилиндрических концов валов - $d_{\rm el} = 25$ мм [3.таблица П4; приложение Γ]. При таком диаметре вал редуктора может быть сединен с валом электродвигателя с диаметром $d_{\rm so} = 28$ мм через

стандартную втулочно- пальцевую муфту по ГОСТ 21424-93 с номинальным моментом $T_{PH}=125H_{M}$ [2,Приложение И1]

Позиция 2. Длина l_1 =42 мм первой ступени А должна быть достаточной для размещения полумуфты стандартной муфты и согласно ГОСТ 12080-66 при диаметре вала d_{s1} = 25мм равна l_1 =42 [Таблица К 3].

Позиция 3. На этом цилиндрическом участке конца вала пальцевой фрезой выполняется шпоночный паз под призматическую шпонку длиной $l_{un}=32$ мм на 10 мм меньше длины цилиндрического участка [2,c.58;Таблица К 5].

Участок Б. По этому участку вала производится уплотнение подшипникового узла стандартной резиновой армированной манжетой 2 по ГОСТ8752-79 исполнения 1 из резины группы 1 и садится радиально-упорный шариковый подшипник особо легкой серии по ГОСТ 831-75.

При проведении регламентных ремонтных работ может потребоваться демонтаж манжеты и ее установка на вал без снятия шпонки на участке вала А. Выбранная шпонка выступает над поверхностью вала на величину $h-t_1=7-4=3_{MM}$, где высота выбранной шпонки h=9,0 мм и глубина паза на валу $t_1=5,5$ мм.[2,c.58;Таблица K 5].

Для беспрепятственного снятия манжеты и подшипника без демонтажа шпонки следует принять диаметр участка Б не менее

$$d_{e2} \ge d_{e1} + 2(h - t_1) = 25 + 2 \cdot (7 - 4) = 31$$
MM

Согласно рекомендуемым значениям [таблица К7] диаметр буртика для упора муфты должен быть не менее

$$d_{e2} \ge 32$$
мм.

Позиция 4.Принимаем диаметр вала d_{s2} = 35мм. На этом участке садится манжета с обозначением "Манжета 1.1-35×47-1 ГОСТ8752-79" [4,с.118;таблица Л1] и подшипник № 36107 [2,с.350;таблица М2].

Позиция 5. Длина ступени l_2 зависит от следующих осевых размеров: ширины манжеты b и размера крышки подшипника, размера гнезда подшипника. Определяется в результате второго этапа компоновки редуктора.

Участок В. Буртик предназначен для упора внутреннего кольца подшипника

Позиция 6. Диаметр буртика $d_{\it e3}$ должен быть достаточен для упора и фиксации на валу внутреннего кольца подшипника и мазеудерживающего кольца (при его наличии) .Принимают для подшипника № 36107 по таблице 7.10.3 [4] с учетом ряда линейных размеров в таблице $\Gamma 1$ $d_{\it e2}$ = 40мм.

Позиция 7. Ширина участка l_3 принимается при компоновке редуктора.

Участок Г. Предназначен для нарезки зубьев шестерни.

Позиция 8. Диаметр участка вала протачивается по ширине шестерни до диаметра окружности выступов шестерни $d_{a1} = 33,8_{MM}$.

Позиция 9. Длина участка l_4 должна быть достаточна для размещения нарезки зубьев шестерни шириной b_1 и выхода зубонарезного инструмента - $l_4 \ge b_1 + 2l_s$.

При использовании для нарезки зубьев червячной фрезы диаметром D_{ϕ} =25 мм, найденных ранее диаметрах выступов $d_{a1}=33,8$ мм и впадин $d_{f1}=27,1$ мм шестерни , значение участка для выхода инструмента находится из выражения

$$l_{\scriptscriptstyle e} = \sqrt{\left(\frac{d_{\scriptscriptstyle a1} - d_{\scriptscriptstyle f1}}{2}\right)\!\!\left(D_{\scriptscriptstyle \phi} - \!\left(\frac{d_{\scriptscriptstyle a1} - d_{\scriptscriptstyle f1}}{2}\right)\right)} = \sqrt{\left(\frac{33,8 - 27,1}{2}\right)\!\!\left(25 - \!\left(\frac{33,8 - 27,1}{2}\right)\!\!\right)} = 8,5\text{мм}$$

Червячная фреза для нарезания зубьев выбиралась в зависимости от модуля $\,$ m $\,$ и степени точности нарезаемой шестерни. При $\,$ m $\,$ =1,5 $\,$ мм $\,$ и степени точности 9 $\,$ применена $\,$ фреза диаметром $D_{\Phi} = 25$ мм (таблица $\,$ K $\,$ 10).

Следовательно длина участка l_4 должна быть не менее

$$l_4 \ge b_1 + 2l_6 = 48 + 2 \times 8, 5 = 65 \text{MM}$$
.

Участок Д. Предназначен для установки второго подшипника № 36107.

Позиция 10. Принимаем диаметр вала $d_{\rm s4} = 35 \, \rm MM$.

Позиция 11. Длину участка вала l_5 назначаем равной ширине внутреннего кольца подшипника В =14 мм. [2,с.350;таблица М2].

Переходной участок вала Е. Предназначен для выхода инструмента при обработке ступени с меньшим диаметром $d_{s1} = 25 \text{мм}$.

Учитывая высокую жесткость и малую длину вала на переходных участках между двумя смежными ступенями выполняют канавки. Размеры канавок выбраны в зависимости от диаметра меньшей ступени $d_{\rm el}=25$ мм [5,c.28;таблица К9]: b=3 мм, h=0,25 мм, r=1 мм.

На остальных переходных участках вала для выхода инструмента также выполняют канавки. Их размеры определены анологично согласно [5,c.28;таблица К9].

5.4.2 Конструирование ведомого вала

Участок А. Выходной конец вала предназначен для установки ведущей звездочки цепной передачи и выполняется цилиндрическим.

Позиция 1. Диаметр этого участка вала $d_{\rm g2}$ определяется в результате ориентировочного расчета на статическую прочность ,условно только на кручение вращающим моментом T_1 = 125,9 Hm , по пониженным допускаемым касательным напряжениям [τ]_{к ρ} = 20 МПа [3,c.16]

$$d_{e1} = \sqrt[3]{\frac{T_2}{0,2 \times \lceil \tau \rceil}} = \sqrt[3]{\frac{125900}{0,2 \times 20}} = 31,46$$
 mm.

Принимаем диаметр первой ступени вала по ГОСТ 12080-66 из первого предпочтительного ряда для стандартных цилиндрических концов валов - $d_{\rm g1} = 32 {\rm MM} \ [\ 3. {\rm таблица} \ \Pi 4; {\rm таблица} \ \Gamma \ 1 \]$

Позиция 2. Длина l_1 мм первой ступени A ,то есть цилиндрического конца вала,принимают по ГОСТ 12080-66 l_1 = 58 мм при диаметре вала $d_{\it s21}$ = 32 $\it mm$ [Таблица К 3].

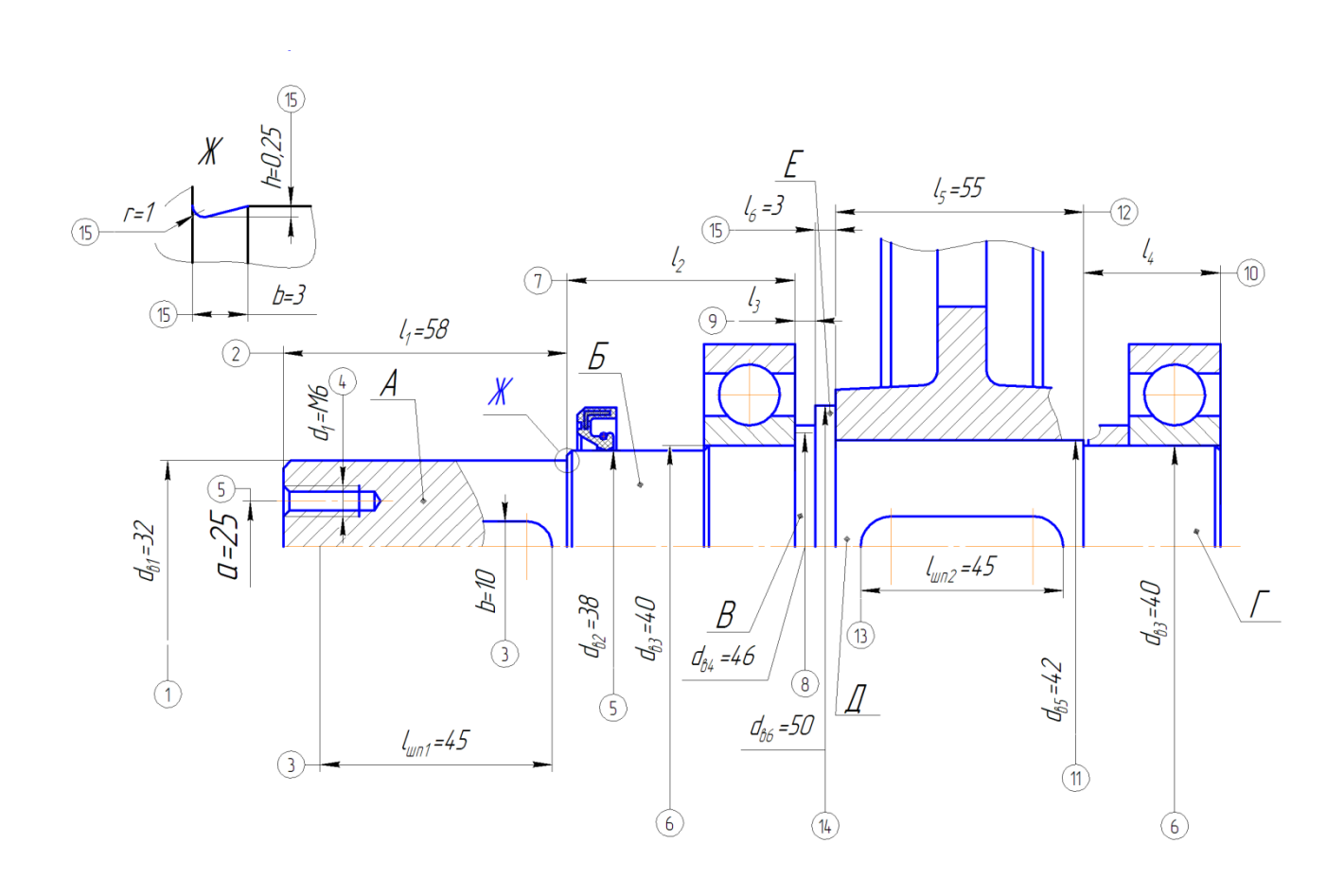


Рисунок 5.3 - Вал ведомый

Позиция 3. На этом участке пальцевой фрезой фрезеруется шпоночный паз длиной l_{un1} =45 мм, шириной b=10 мм и глубиной t_1 = 5 мм по ГОСТ 23360-78 [2,c.58;Таблица К 5].

Позиция 4. На выходном конце вала садится ведущая звездочка цепной передачи. Осевое крепление звездочки на валу осуществляется концевой шайбой. Для крепления шайбы в торце вала выполнена 2 резьбовых отверстия диаметра $d_1 = M6$ мм под болты по ГОСТ 7798-70 на расстоянии a = 25 мм[4,c.71;таблица К 11].

Участок Б. По этому участку вала производится уплотнение подшипникового узла стандартной резиновой армированной манжетой по ГОСТ8752-79

и садится радиально-упорный шариковый подшипник особо легкой серии по ГОСТ 831-75.

При проведении регламентных ремонтных работ может потребоваться демонтаж манжеты и ее установка на вал без снятия шпонки на участке вала А. Выбранная шпонка выступает над поверхностью вала на величину $h-t_1=8,0-5,0=3,0\,\mathrm{MM}$, где высота выбранной шпонки $h=8,0\,\mathrm{MM}$ и глубина паза на валу $t_1=5,0\,\mathrm{MM}$ [2,c.58;Таблица К 5]

Для беспрепятственного снятия манжеты и подшипника без демонтажа шпонки следует принять диаметр участка Б не менее

$$d_{s2} \ge d_1 + 2(h - t_1) = 32 + 2 \cdot (8 - 5, 0) = 38$$
mm

Позиция 5. Принимаем диаметр вала $d_{\rm e2}$ = 38мм. На этом участке садится манжета с обозначением "Манжета 1.1-38×60-1 ГОСТ8752-79" [4,с.118;таблица Л1] [2,с.350;таблица М2].

Позиция 6. Принимаем диаметр вала $d_{\rm g3}$ = 40мм. На этом участке садится радиально-упорный подшипник легкой серии № 36208 [2,c.350;таблица М2].

Позиция 7. Длина ступени l_2 зависит от следующих осевых размеров: ширины манжеты b и размера крышки подшипника, размера гнезда подшипника. Определяется в результате второго этапа компоновки редуктора.

Участок В. Буртик предназначен для упора внутреннего кольца подшипника

Позиция 8. Диаметр буртика $d_{\it s4}$ должен быть достаточен для упора и фиксации на валу внутреннего кольца подшипника и мазеудерживающего

кольца . Принимают для подшипника № 36208 по таблице 7.10.3 [4] с учетом ряда линейных размеров в таблице Г1 $d_{\it e3}$ = 46 $\it mm$.

Позиция 9.Длина участка l_3 должна быть достаточна для размещения лап съемника при демонтаже подшипника и окончательно принимается при втором этапе компоновки редуктора.

. **Участок** Г. На этому участке вала $d_{e4} = 40$ мм (*позиция* 8) садится второй радиально-упорный шариковый подшипник особо легкой серии по ГОСТ 831-75 № 36208 и дистанционная втулка.

Позиция 10. Длина ступени l_4 зависит от следующих осевых размеров: ширины подшипника, размера гнезда подшипника, ширины ступицы колеса зубчатого колеса и ее положения на валу. Определяется в результате второго этапа компоновки редуктора.

Участок Д. Предназначен для размещения ступицы зубчатого колеса.

Позиция 11. С целью облегчения монтажа зубчатого колеса на вал диаметр d_{e5} участка Д принимают больше диаметра d_{e3} . Принимаем $d_{e5} = 42$ мм > 40мм по ГОСТ 6636-69 из первого предпочтительного ряда в таблице $\Gamma 1$.

Позиция 12.С целью надежной фиксации зубчатого колеса длина участка l_5 принимается на 3 мм меньше ширины ступицы колеса L_{CT} . В свою очередь ширина ступицы должна быть не менее ширины венца b_2 =44 мм и удовлетворять условию $L_{CT}=(1,0...1,50)d_{e5}=(1,0...2,0)\times 42=42...84$ мм. Примем $L_{CT}=58$ мм. Тогда длина участка вала будет

•
$$l_5 = L_{CT} - 3$$
мм = $58 - 3 = 55$ мм

Принимаем по ГОСТ 6636-69 из первого предпочтительного ряда в таблице $\Gamma 1$ $l_5 = 55$ мм.

Позиция 13. На этом участке пальцевой фрезой фрезеруется шпоночный паз длиной l_{un2} =45 мм .Длина паза выбрана на 10 мм меньше длины участка вала l_5 = 55 мм.

Участок Е. Буртик предназначен для упора внутреннего кольца подшипника.

Позиция 14. Диаметр буртика d_{e5} должен быть достаточен для упора и фиксации зубчатого колеса $d_{e5} \ge d_{e4} + 2t = 42 + 2 \times 3, 5 = 49$ мм. [таблица К 7]. Принимаем по ГОСТ 6636-69 из первого предпочтительного ряда в таблице Г1 $d_{e5} = 50$ мм.

Позиция 14. Ширина буртика принимается конструктивно l_6 =5 мм из предпочтительного ряда по ГОСТ 12080-66 в таблице A1.[5] .

Переходной участок вала Ж. Предназначен для выхода инструмента при обработке ступени с меньшим диаметром $d_{\rm el} = 32 {\it MM}$.

Учитывая высокую жесткость и малую длину вала на переходных участках между двумя смежными ступенями выполняют канавки.

Позиция 15. Размеры канавок выбраны в зависимости от диаметра меньшей ступени $d_{\rm gl} = 32$ мм [5,c.28;таблица К9]: b = 3 мм, h = 0.25 мм, r = 1 мм.

На остальных переходных участках вала для выхода инструмента также выполняют канавки. Их размеры определены анологично согласно [5,c.28;таблица К9].

5.4.3 Конструирование вала контрпривода

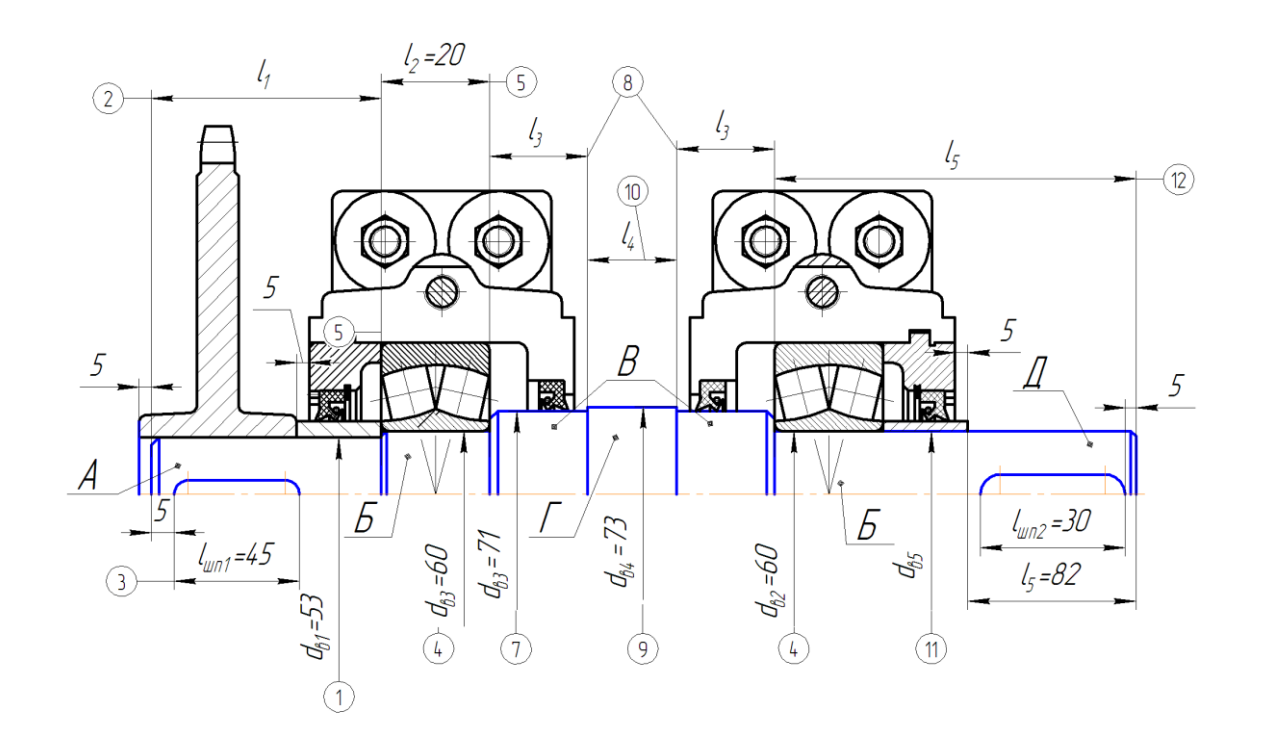


Рисунок 5.4 - Вал контрпривода

Участок А. Выходной конец вала предназначен для установки ведущей звездочки цепной передачи и выполняется цилиндрическим.

Позиция 1. Диаметр $d_{\rm gl}$ этого участка вала определяется в результате ориентировочного расчета на статическую прочность ,условно только на кручение вращающим моментом $T_1=333,4~{\rm Hm}$, по пониженным допускаемым касательным напряжениям [au] $_{\kappa p}=20~M\Pi a$ [3,c.16]

$$d_{e3} = \sqrt[3]{\frac{T_3}{0,2 \times [\tau]}} = \sqrt[3]{\frac{333400}{0,2 \times 20}} = 43,5 \,\text{MM}.$$

Принимаем диаметр первой ступени вала по ГОСТ 6636-69 [Таблица Г1] из первого предпочтительного ряда для стандартных цилиндрических концов валов - $d_{\rm s1}$ = 53 $\rm MM$.

Позиция 2. Длина l_1 мм первой ступени A должна быть достаточна для размещения ступицы ведомой звездочки, дистанционной втулки между ступицей и подшипником опоры и выбирается при компоновке привода такой,

что бы между торцом крышки опоры и торцом ступицы звездочки был зазор не менее 5 мм, а ступица выступала за пределы торца вала не менее чем на 3 мм.

Окончательно размер l_1 определяется после конструирования звездочки, выбора опор и компоновки рамы привода .

Позиция 3. На участке А пальцевой фрезой фрезеруется шпоночный паз длиной l_{um1} =45 мм, шириной b=16 мм и глубиной t_1 = 6 мм по ГОСТ 23360-78[2,c.58;Таблица К 5]. Фрезерование шпоночного паза начинается от торца вала на расстоянии не менее 5 мм.

Позиция 4. На выходном конце вала садится ведущая звездочка цепной передачи. Осевое крепление звездочки на валу осуществляется концевой шайбой. Для крепления шайбы в торце вала выполнена 2 резьбовых отверстия диаметра $d_1 = M6$ мм под болты по ГОСТ 7798-70 на расстоянии a = 25 мм[4,c.71;таблица К 11].

Участок Б. На участке Б садится внутреннее кольцо радиального сферического подшипника № 1212 по ГОСТ 28428-90[Таблица М4] ,установленного в стандартную разъемную опору типа РШ по ГОСТ 13218.9 [Рисунок Н1].

Позиция 5. С целью облегчения монтажа подшипника № 1212 принимаем диаметр вала $d_{\rm s5} = 60$ мм.

Позиция 6.Длина участка Б принимается меньше ширины В =23 мм внутреннего кольца подшипника на величину ширины фаски r=2,5мм. подшипника № 1212 по ГОСТ 5720-75 $l_2 \ge B-r=23-2,5=20,5$ мм. Принимаем $l_2=20$ мм из предпочтительного ряда по ГОСТ 12080-66 в таблице Г1].

Участок В. На этом участке садится манжета с обозначением " *Манжета* $1.1-71\times95-1$ ГОСТ8752-79" и он является буртиком для внутреннего кольца подшипника.

Позиция 7. Диаметр буртика $d_{\rm e3}$ должен быть достаточен для упора и фиксации на валу внутреннего кольца подшипника. Принимают для

подшипника № 1212 по таблице М4 не более $d_{s2} = 72 \text{мм}$. Принимая во внимание посадочный диаметр манжеты принимаем $d_{s3} = 71 \text{мм}$

Позиция 8. Длина l_3 участка В принимается конструктивными осевыми размерами корпуса и выбирается такой, что бы между торцом корпуса и границей участка В было расстояние не менее 5 мм.

Участок Г.

Позиция 9. Диаметр вала $d_{\it e4}$ принимается из предпочтительного ряда по ГОСТ 6636-69 в таблице Г1 из условия:

 $d_{e3} = 71$ мм $\leq d_{e4} \leq d_{eC} = 73$ мм ,где $d_{eC} = 73$ мм диаметр калиброванного проката по ГОСТ 7417-75.

На данном участке заготовку вала не обрабатываем и принимаем $d_{s4} = d_{sC} = 73 \text{мм}.$

 Π озиция 10. Длина l_4 участка Γ определяется расстоянием между корпусами подшипника и устанавливается при разработке рамы в процессе компоновки привода.

Участок Д. Выходной конец вала предназначен для установки второго подшипника № 1212 , распорной втулки и соединительной втулочно-пальцевой муфты по ГОСТ 21424-93.

Позиция 11. Принимаем $d_{\rm e5}$ = 60мм .При таком диаметре вал контрпривода сединен с валом рабочей машины через стандартную втулочно- пальцевую муфту по ГОСТ 21424-93 с номинальным моментом $T_{\rm PH}=1000$ Hм [Таблица И 1].

Позиция 12. Длина l_5 должна быть выбрана такой, что бы торец стандартнай полумуфта длиной $l_5=72$ мм был расположен от корпуса подшипника на расстоянии 5 мм.

Переходной участок вала Е. Предназначен для выхода инструмента при обработке ступени с меньшим диаметром $d_{s1} = 53 \text{мм}$.

Учитывая высокую жесткость и малую длину вала на переходных участках между двумя смежными ступенями выполняют канавки. Размеры канавок выбраны в зависимости от диаметра меньшей ступени $d_{s1} = 53$ мм [5,c.28;таблица К9]: b=5 мм, h=0,5 мм, r=1,6 мм.

На остальных переходных участках вала для выхода инструмента также выполняют канавки. Их размеры определены аналогично согласно [5,c.28;таблица К9].

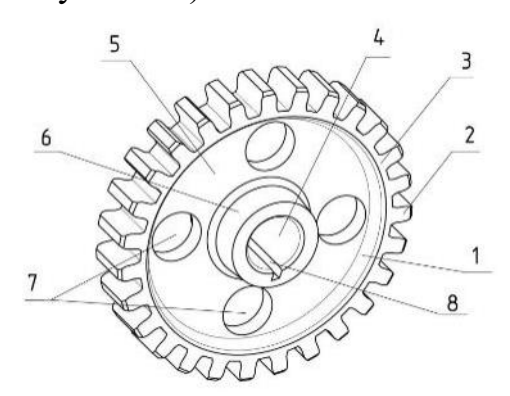
5.5 Конструирование зубчатых колес

С учетом технологических возможностей производства и объемов производства назначен для изготовления стальной заготовки зубчатого колеса найболее экономичный способ изготовления заготовок штамповкой и вид заготовки - поковка.

Основные конструкторские решения соответствуют рекомендациям по проектированию колес с наружным диаметром[5,с.45;таблица Л1]

$$100 \text{ MM} \le d_{a2} = 192, 2 \text{ MM} \le 500 \text{ MM}$$

Основные конструктивные элементы колеса – обод с зубчатым венцом , ступица и диск (Рисунок 5.5).



1 — обод; 2 — зуб; 3 — венец (верхняя часть обода с зубьями); 4 — посадочное отверстие; 5 — диск; 6 — ступица; 7 — отверстия в диске; 8 — шпоночный паз

Рисунок 5.5- Элементы зубчатого колеса

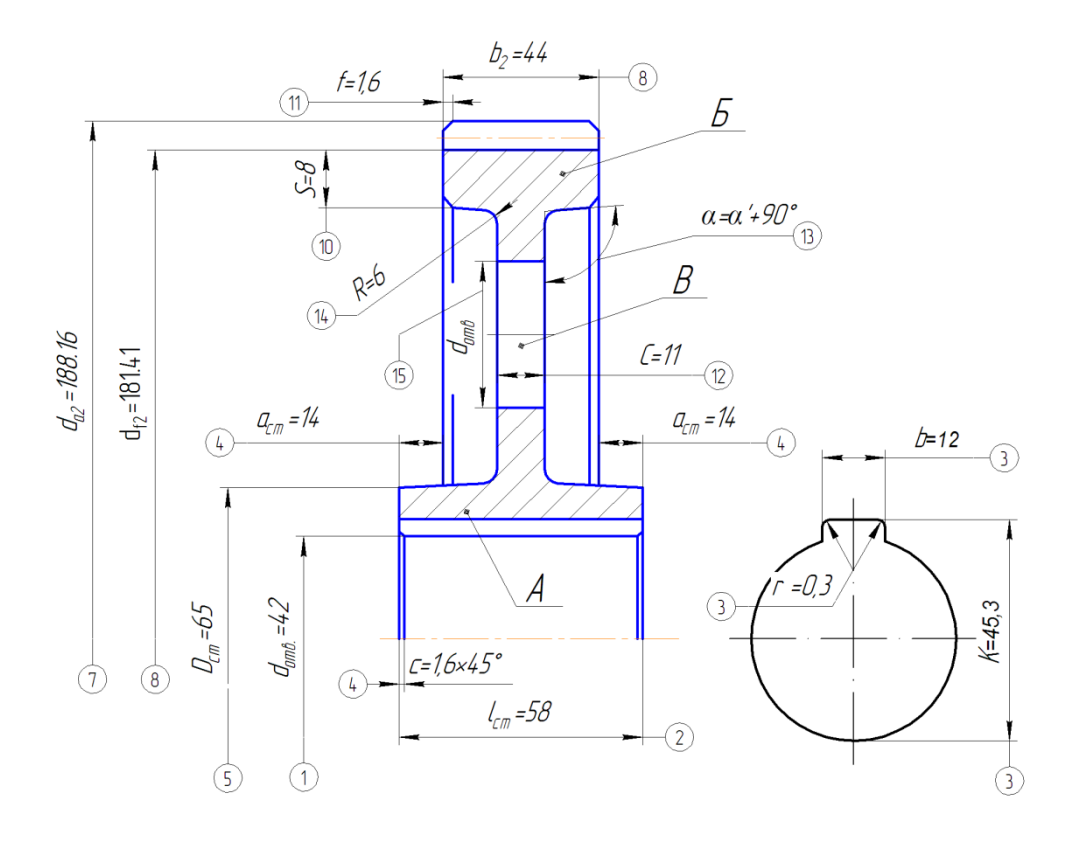


Рисунок 5.6- Колесо зубчатой передачи

Ступица А. Центральная часть вращающейся детали вместе с посадочным отверстием. Служит для соединения колеса с валом и расположена симметрично относительно венца.

Позиция 1. Диаметр отверстия в ступице соответствует диаметру посадочного участка вала (участка вала Д) $d_{cm} = d_{e5} = 42$ мм.

Позиция 2.Ширина ступицы с целью надежной фиксации зубчатого колеса принята на 3 мм больше длины посадочного участка вала $l_5=55$ мм. $L_{CT}=l_5+4=55+3=58$ мм. Принимаем по ГОСТ 6636-69 [5,c.128;Таблица Г1] из первого предпочтительного ряда в таблице A1.[5] $L_{CT}=58$ мм.

Позиция 3. В ступице выполняется шпоночный паз длиной шириной b=12 мм, глубиной $t_2=3,3$ мм и радиусом закругления r=0,3 мм по ГОСТ 23360-78

[2,c.58;Таблица К 5]. В ступице контролируется размер $K = t_5 + d_{65} = 3,3 + 42 = 45,3\,\mathrm{MM}.$

Позиция 4. При симметричном расположении ступицы относительно обода с шириной b_2 =44мм она будет выступать с двух сторон на величину $a_{CT} = L_{CT} - b_2 = 58 - 44 = 14$ мм .

Позиция 5. При шпоночном соединении и посадке ступицы на вал с натягом наружный диаметр ступицы $D_{cm}=1,55d_{e5}=1,55\times42=65,1$ мм. Принимаем по ГОСТ 6636-69 [5,c.128;Таблица Γ 1] из первого предпочтительного ряда $D_{CT}=65$ мм.

Позиция 6. С целью облегчения монтажа колеса на вал в отверстии выполняются фаски размером с×45°. При диаметре отверстия $d_{e5} = 42$ мм. = 42 мм значение с = 1,6 мм.[5,с.46;таблица 02].

Обод Б. На ободе нарезаны зубья зубчатого венца.

Позиция 7 Наружный диаметр колеса определен при проектном расчете колеса $d_{a2}=192,2\,\mathrm{mm}.$

Позиция 8. Диаметр впадин зубчатого венца определен при проектном расчете колеса $d_{f2}=185.5\,\mathrm{mm}.$

Позиция 9. Ширина обода равна ширине зубчатого венца и определена при проектном расчете колеса b_2 =45 мм.

Позиция 10 Толщина обода зависит от модуля колеса m=1,5 мм и его ширины $S=2,2m+0,05b_2=2,2\times1,5+0,05\times45=5,6$ мм

Принимаем по ГОСТ 6636-69 [5,с.128;Таблица Γ 1] из первого предпочтительного ряда S=6 мм.

Позиция 11. На торцах зубьев выполняют фаски размером f = (0,6...0,7)т = (0,6...0,7)1,5 = 0,9...1,05 мм. Принимаем из стандартного ряда [5,c.46;приложение O2] значение f = 1,6 мм.

Диск В. Соединяет венец со ступицей. При $d_{a2}=192, 2_{MM}<500_{MM}\;$ выполняется без отверстий.

Позиция 12 Толщина диска

$$C = 0.5(S + ((D_{CT} - d_{CT})/2)) = 0.5(6 + ((65 - 42)/2)) = 8.8 \text{mm} \le 0.25b_2 = 0.25 \times 45 = 11.3 \text{mm}$$

Принимаем по ГОСТ 6636-69 [5,с.128;Таблица Γ 1] из первого предпочтительного ряда C=11 мм.

Позиция 13. Штамповочные уклоны приданы поверхностям заготовок, перпендикулярным плоскостям разъема с целью облегчения заполнения штампа металлом и освобождения штампов от поковки. Величина уклонов α зависит от применяемого штамповочного оборудования.

При применении штамповочного молота [5,с.107 ;таблица O1] штамповочный уклон $\alpha'=10^{\rm o}$ '

Позиция 14. Радиусы закругления R назначают для облегчения заполнения металлом формы и свободной выемки заготовок из штампа. Принимают радиусы $R \ge 6$ мм.

Позиция 15. Для облегчения работы с заготовками колес при нарезании зубьев в диске могут выполняться отверстия диаметром $d_{oms} = 25_{MM}$ в количестве 4 шт. [5,c.45;таблица O1].

5.6 Конструирование звездочек цепной передачи

5.6.1 Конструирование ведущей звездочки цепной передачи

Основные параметры (число зубьев $z_1=25$, делительный диаметр $d_{\partial 1}=203,2_{\it MM}$ и шаг зубьев $t=25,4_{\it MM}$) однорядной звездочки определены при проектировании цепной передачи.

С учетом технологических возможностей производства и объемов производства назначен для изготовления стальной заготовки звездочки найболее экономичный способ изготовления заготовок штамповкой и вид заготовки - поковка. Основные конструкторские решения соответствуют рекомендациям для однорядной звездочки с профилем зубьев по ГОСТ 591-69. [5,таблица 63;приложение П1 и таблица П2]

Для изготовления звездочек применяется материал и ТО [1,с.184] : ведущая звездочка- сталь 45,твердость 45...50 HRC,закалка ТВЧ и отпуск. Основные конструктивные элементы звездочки — обод с зубчатым венцом , ступица и диск.

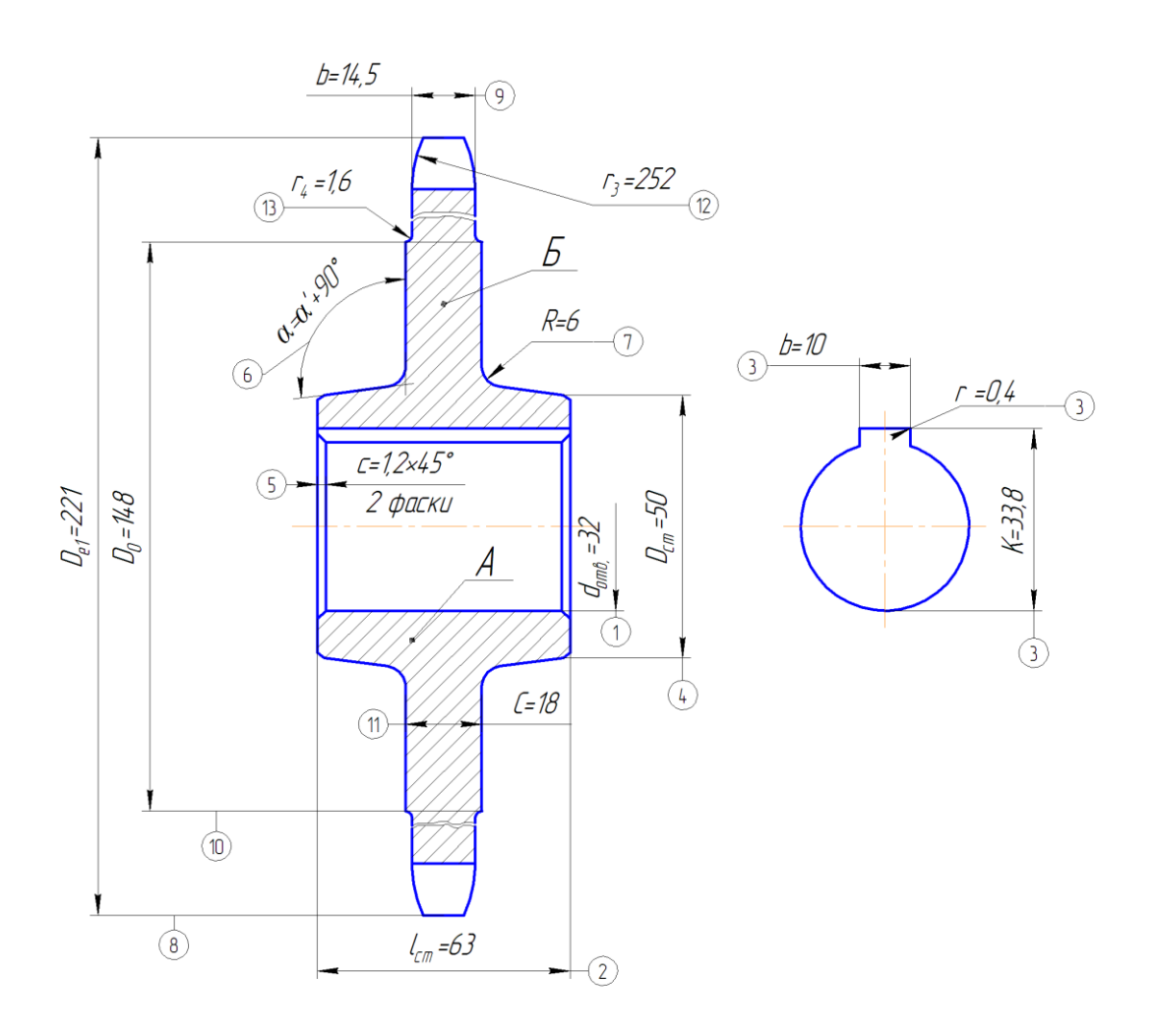


Рисунок 5.7- Ведущая звездочка

Ступица А. Служит для соединения колеса с валом и расположена симметрично относительно венца.

Позиция 1. Диаметр отверстия в ступице соответствует диаметру посадочного участка ведомого вала $d_{\it cm}=d_{\it s1}=32$ мм.

Позиция 2.Ширина ступицы с целью надежной фиксации зубчатого колеса принята на 3 мм больше длины посадочного участка вала $l_5 = 58$ мм

$$L_{CT} = l_1 + 4 = 58 + 3 = 61$$
MM •

Принимаем по ГОСТ 6636-66 [5,с.128;Таблица Г1] из первого предпочтительного ряда $L_{CT}=$ 63 мм .

Позиция 3. В ступице выполняется шпоночный паз шириной b=10 мм, глубиной $t_2=3,3$ мм и радиусом закругления r=0,4 мм по ГОСТ 23360-78[2,c.58;Таблица К 5].Размер для контроля глубины шпоночного паза будет $a_{un}=d_{s1}+t_2=32+3,8=33,8$ мм.

Позиция 4. При шпоночном соединении и посадке ступицы на вал с натягом н6636-66 наружный диаметр ступицы $D_{cm}=1,55d_{e1}=1,55\times32=49,6$ мм. Принимаем по ГОСТ 6636-66 [5,c.128;Таблица Γ 1] из первого предпочтительного ряда $D_{cm}=50$ мм.

Позиция 5. С целью облегчения монтажа звездочки на вал в отверстии выполняются фаски размером с×45°. При диаметре отверстия $d_{e5} = 32$ мм значение с = 1,2 мм [5,с.46;таблица 02].

Позиция 6. Штамповочные уклоны приданы поверхностям заготовки, перпендикулярным плоскостям разъема с целью облегчения заполнения штампа металлом и освобождения штампа от поковки. Величина уклонов α зависит от применяемого штамповочного оборудования. При применении штамповочного молота [5,с.107; таблица O1] штамповочный уклон α′ = 10°

Позиция 7. Радиусы закругления R назначают для облегчения заполнения металлом формы и свободной выемки заготовок из штампа. Принимают радиусы $R \ge 6$ мм.

Обод Б. На ободе нарезаны зубъя зубчатого венца с профилем по ГОСТ 591-69.

Позиция 8 . Диаметр окружностей выступов звездочки:

$$De_1 = t \cdot \left(ctg\left(\frac{180}{z_1}\right) + 0.7\right) - 0.31 \cdot d_1 = 25.4 \cdot \left(ctg\left(\frac{180}{25}\right) + 0.7\right) - 0.31 \cdot 7.92 = 221.0 \text{ мм}$$

Позиция 9 .Ширина зуба $b = 0.93 \cdot b_1 - 0.15 = 0.93 \cdot 15.88 - 0.15 = 14.6 мм$. Принимаем b = 14.5 мм.

Позиция 10. Диаметр обода

$$D_0 = t \cdot ctg\left(\frac{180}{z_1}\right) - 1, 3h = 25, 4 \cdot ctg\left(\frac{180}{25}\right) - 1, 3 \cdot 24, 2 = 148, 54 \text{MM}.$$

Принимаем $D_0 = 148$ мм.

Позиция 11 . Толщина обода $C = b + 3, 2 = 14, 5 + 3, 2 = 17, 7_{MM}$. Принимаем $C = 18_{MM}$. Позиция 12 . Радиус закругления зуба

$$r_3 = (1,7) \cdot D_0 = (1,7) \cdot 148 = 251,6$$
мм. Принимаем $r_3 = 252$ мм.

Позиция 13 . Радиус закругления зуба на переходе к ободу при шаге цепи t=25,4мм<t=35 мм - $r_4=1,6$ мм.

5.6.2 Конструирование ведомой звездочки цепной передачи

Ступица и обод однорядной ведомой звездочки с числом зубьев Z_2 = 73 под цепь цепь ПР-25,40-60,0 по ГОСТ 13568-97 по конструкции не отличаются от конструкции у ведущей звездочки. Диск ведомой звездочки конструируется аналогично ведущей. Дополнительно для уменьшения массы звездочек и удобства их транспортирования при обработке могут на диске выполняться сквозные отверстия в количестве $n_0 = 4 \dots 6$ шт. и диаметром

 $d_{\rm o} > 25$ мм. Основные конструкторские решения соответствуют рекомендациям для однорядной звездочки с профилем зубьев по ГОСТ 591-69.(Таблица 63.[5]).

Для изготовления звездочки применяется материал и ТО (стр. 184 [1]) - чугун СЧ 24,НВ 321...424 , закалка ТВЧ и отпуск.

Диаметр окружностей выступов звездочки:

$$D_e = t \cdot (ctg(180/z) + 0.7) - 0.31 \cdot d_1$$

$$De_2 = t \cdot (ctg(180 \ / \ z_2) + 0.7) - 0.31 \cdot d_1 = 25.4 \cdot (ctg(180 \ / \ 73) + 0.7) - 0.31 \cdot 7.92 = 606.5 \text{mm}$$

диаметры окружностей впадин звездочки:

$$D_i = d_{II} - 2 \cdot r$$
, где $r = 0.5025 \cdot d_1$

$$D_{i2} = d_{II2} - 2.0,5025 \cdot d_2 = 40,36 - 2.0,5025 \cdot 7,92 = 35,4034$$
 mm

Ширина зуба однорядной звездочки

$$b = 0.93 \cdot b_1 - 0.15 = 0.93 \cdot 15.88 - 0.15 = 14.6$$
 mm

Принимаем b = 14,5 мм.

Диаметр обода:

$$D_0 = t \cdot ctg\left(\frac{180}{z_1}\right) - 1,3h = 25,4 \cdot ctg\left(\frac{180}{73}\right) - 1,3 \cdot 24,2 = 559,8$$
mm

Принимаем $D_0 = 560$ мм.

Толщина обода:

$$C = b + 3, 2 = 14, 5 + 3, 2 = 18, 0$$
 мм. Принимаем $C = 18$ мм.

Радиус закругления зуба

$$r_3 = (1,7) \cdot D_0 = (1,7) \cdot 148 = 251,6$$
мм. Принимаем $r_{3_T} = 252$ мм

Диаметр ступицы ведомой звездочки:

$$d_{CT2} = 1,55 \cdot d_{B3} = 1,55 \cdot 55 = 85,25_{MM}$$
 Принимаем $d_{CT2} = 86_{MM}$.

Длина ступицы ведомой звездочки:

$$l_{CT2} = (0,8...1,6) \cdot d_{B2} = (0,8...1,6) \cdot 55 = 44,0...88,0$$
мм. Принимаем $l_{CT2} = 58$ мм.

5.7 Конструирование крышек подшипников

Крышки предназначены для герметизации подшипников качения, осевой фиксации подшипников и восприятия осевых нагрузок.

В редукторе имеющем плоскость разъема по осям валов применены закладные (врезные) крышки. Закладные крышки подшипниковых опор не требуют специального крепления к валу. В связи с этим отпадает надобность в крепежных отверстиях в крышках, резьбовых отверстиях в корпусе, а также винтах.

В подшипниковых узлах валов, выступающих за пределы корпусов, применены крышки с отверстием для манжетного уплотнения, в остальных случаях - глухие крышки.

Для проектируемого редуктора нет ограничений по массе-поэтому для изготовления его корпуса и крышек применяется чугун СЧ15.

К подшипниковым узлам, в состав которых входят крышки, не предъявляется требований наименьшей массы . Крышки не являются специальными. Редуктор проектируется для отрасли сельхозмашиностроения и не планируется масовому выпуску. В связи с вышеуказанным применяются врезные крышки и допускаются отклонения от ГОСТ 18511-73, ГОСТ 18513-73, ГОСТ 13219.1-81, ГОСТ 13219.3-81, ГОСТ 13219.11-81, ГОСТ 13219.15-81 [5,c.78].

Радиально-упорные шариковые подшипники не требуют регулировки осевого зазора — конструирование крышек с регулировочным винтом для обеспечения регулировки не требуется.

Конструкция примененных глухих и проходных крышек приведена на рисунке 5.8.

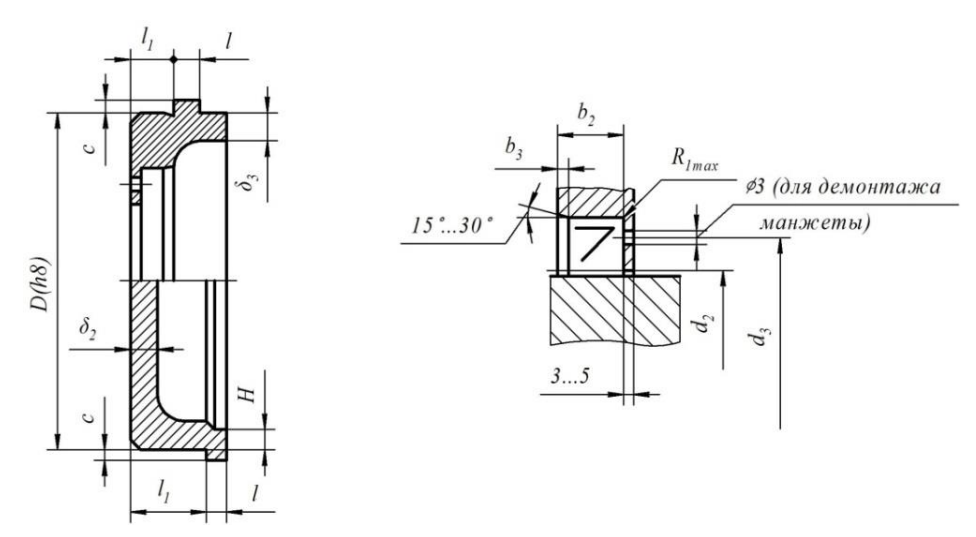


Рисунок 5.8

Закладная крышки: а – размеры крышки с отверстием для манжетного уплотнения (выше плоскости симметрии) и глухих; б – размеры места установки манжет

5.7.1 Конструирование крышек подшипников ведущего вала.

Крышка предназначены для герметизации, осевой фиксации и восприятия осевых нагрузок подшипников № 36107 с наружным диаметром D_{Π} = 62 мм и посадочным диаметром на вал d = 35 мм по ГОСТ 18855-78 [2,с.350;таблица М2].. В проходную крыщку вставлена манжета типа "Манжета 1.1-35×47-1 ГОСТ8752-79" с наружным диаметром D_{M} =47 мм и ширины b= 7 мм [4,с.118;таблица Л1].

Конструкция цилиндрической части крышек, вставляемой в отверстия корпуса определена в зависимости от наружного D_{II} и внутреннего d диаметров подшипников, диаметра D_M и ширины в примененной манжеты (Таблица 5.1)

Таблица 5.1 - Размеры цилиндрической части крышек, мм

D_{II}	d	δ_2	δ_3	D_M	b	b ₂	b ₃	d ₂ ,d ₃ ,	
ГОСТ 18855-78		Табл.39[5],таблица Р2		ГОСТ8752-79		Табл.41[5], таблица Р2			
62	35	5	6	47	7	8,5	1,0	$d_2 = d + 1 = 35 + 1 = 36;$ $d_3 = D_M - 3 \text{ MM} = 47 - 3 = 45$	

Примечание

2Остальные размеры согасно рисунка 5.8 [5,с.81; таблица Р2]

Размеры элементов наружной кромки крышек принимают: l=8 мм при D=52 мм ≤ 100 мм, l_1 принимают конструктивно с учетом условия $l_1=14$ мм $\geq l=8$ мм, $c=0,5\cdot l=0,5\times 8=4$ мм[5,c.81; таблица P2].Диаметр крышки ведущего вала по выступу будет: $D_{\kappa p1}=D+2c=62+2\cdot 4=70$ мм.

^{1.} $D = D_{\Pi} = 52_{\text{MM}}$;

5.7.2 Конструирование крышек подшипников ведомого вала.

Крышка предназначены для герметизации, осевой фиксации и восприятия осевых нагрузок подшипников № 36208 с наружным диаметром D_{Π} = 80 мм и посадочным диаметром на вал d = 40 мм по ГОСТ 18855-78 [2,c.350;таблица M2].. В проходную крыщку вставлена манжета типа "Манжета 1.1-38×60-1 ГОСТ8752-79" с наружным диаметром D_{M} =60 мм и ширины b= 10 мм [4,c.118;таблица Л1].

Конструкция цилиндрической части крышек, вставляемой в отверстия корпуса определена в зависимости от наружного D_{Π} и внутреннего d диаметров подшипников, диаметра D_{M} и ширины в примененной манжеты (Таблица 5.2)

Таблица 5.2 - Размеры цилиндрической части крышек, мм

D_{II}	d	δ_2	δ_3	D_M	b	b ₂	b ₃	d ₂ ,d ₃ ,
ГОСТ 18855-78		Табл.39[5],таблица Р2		ГОСТ8752-79		Табл.41[5], таблица Р2		
80	40	6	9	60	10	12,0	1,5	$d_2 = d + 1 = 40 + 1 = 41;$ $d_3 = D_M - 3 \text{ mm} = 60 - 3 = 57$

Примечание

Размеры элементов наружной кромки крышек принимают: l=8 мм при D=80 мм ≤ 100 мм, l_1 принимают конструктивно с учетом условия $l_1=14$ мм $\geq l=8$ мм, $c=0,5\cdot l=0,5\times 8=4$ мм[5,c.81; таблица P2].Диаметр крышки ведомого вала по выступу будет: $D_{\kappa p1}=D+2c=80+2\cdot 4=88$ мм.

^{1.} $D = D_{\Pi} = 80_{\text{MM}}$;

^{2.} Остальные размеры согасно рисунка 5.8 [5,с.81; таблица Р2]

5.8 Конструирование корпуса редуктора

Корпус редуктора служит для размещения и координации деталей передачи, защиты их от загрязнения, организации системы смазки, а также восприятия сил, возникающих в зацеплении редукторной пары, подшипниках, открытой передаче. Наиболее распространенный способ изготовления корпусов – литье из серого чугуна.

При конструировании редуктора решались две основные задачи: 1) создание конструкции, в полной мере отвечающей эксплуатационным требованиям; 2) создание конструкции, наиболее экономичной в изготовлении.

При конструировании изделия учитывалась технология изготовления сложных отливок: детали из чугуна имеют плавное закругление и, по возможности, одинаковую толщину стенок. При разной толщине стенки быть обеспечивается плавный переход от одной толщины к другой. Конструирование литой детали учитывает возможный разъем модели и направление ее выемки из формы.

Спроектированный редуктор отвечает эксплуатационным требованиям в силу следующих реализованных решений:

- обеспечены достаточные зазоры между деталями(не менее 8 мм между движущимися элементами редуктора $c_1 \ge 8$ мм) ;
- все трущиеся поверхности деталей надежно смазываются;
- обеспечено надежное удерживание смазки внутри корпуса за счет герметичности соединений и предотвращения повышения давления по причине взбалтывания масла вращающимися колесами внутри корпуса путем сообщения внутренней полости корпуса с атмосферой;
- -предусмотрен контроль количества смазки и возможность ее замены;
- -обеспечивается высокий ресурс смазочных материалов за счет поддержания их температуры на должном уровне(обеспечено необходимое охлаждение).

На основании полученных из расчета основных параметров передач с целью определения взаимного расположения элементов передач и корпуса редуктора выполняется компоновка редуктора.

Компоновку обычно выполняют в два этапа. Первый этап служит для приближённого определения положения зубчатых колёс редуктора, звёздочек (шкивов, муфт) на выходных концах валов относительно опор для последующего определения опорных реакций, проверочного расчета валов и проверки подбора подшипников. На втором этапе принимаются основные технические решения, определяющие конструкцию редуктора.

Компоновочная схема редуктора в ходе первого этапа эскизной компановки выполняется в одной проекции — разрез по осям валов при снятой крышке редуктора (Рисунок 5.9).

В ходе второго этапа эскизной компановки выполняется компановочная схема при виде сбоку на редуктор(Рисунок 5.10).

Масштаб — 1:1. Схемы выполняем тонкими линиями на миллиметровой бумаге вручную или в графическом редакторе.

Первый этап эскизной компановки. Примерно посередине листа параллельно его короткой стороне проводим две вертикальные штрих пунктирные осевые линии O_{11} и O_{22} на расстоянии $a_w = 110$ мм друг от друга – оси ведущего и ведомого валов. Параллельно длинной стороне листа проводим горизонтальную штрих пунктирную линию O_{33} (линию симметрии редуктора вдоль его длинной стороны).

На оси O_{11} вычерчиваем симметрично относительно оси O_{33} контур шестерни в разрезе в тонких линиях с обязательны указанием положения делительной окружности (см. диаметр $d_1 = 30.8$ мм).

На оси O_{22} вычерчиваем симметрично относительно оси O_{33} контур колеса в разрезе в тонких линиях с обязательны указанием положения делительной окружности колеса (см. диаметр $d_2 = 189,2$ мм). Передача нарезана без смещения ($x_{1(2)} = 0$) - пунктирные линии, обозначающие положение делительных окружностей должны совпасть.

Очерчивается контур (замкнутая линия O_{44})внутренней полости вокруг пары зубчатых колес. Контур внутренней полости редуктор в плане должен иметь прямоугольную форму и находится на расстоянии от c_1 =10мм от колеса .

Углы контура должны быть скруглены радиусом скруглением r , который определяется технологией литья и зависит от толщины стенки корпуса редуктора δ_1 .

Для редукторов классического типа [Рисунок С1] толщина стенки основания корпуса, отвечающая требованиям технологии литья, прочности и жесткости корпуса, вычисляется по формуле

$$\delta_1 = 1,3\sqrt[4]{T_1} = 1,3\sqrt[4]{125,9} = 4,4$$
 mm ≥ 8 mm

где T = 125,9 H·м— вращающий момент на ведомом валу.

Принимаем по ГОСТ 12080-66[3.таблица П4; таблица Γ 1] из первого предпочтительного ряда $\delta_1=8$ мм .

Радиус скругления сопряжении стенок одинаковой толщины δ углом r=(0,5...1,0) $\delta=(0,5...1,0)$ 8 =4...8 мм. Принимаем по ГОСТ 12080-66 $r_1=4$ мм.

Убеждаемся, что от любой точки контура внутренней полости редуктора до любой точки зубчатых колес будет зазор не менее 8 мм.

Подшипники редуктора смазываются разбрызгиванием. Их в корпусе следует установить внутри подшипниковых гнезд на расстоянии $c_2 = 5$ мм от линии O_{44} контура внутренней полости редуктора. Этим компенсируется неточность литья и возможные сколы при обработке отверстий в корпусе под подшипники. Контур подшипников вычерчивается согласно их размеров по ГОСТ 831-75 [2;таблица M2] или вставляются из библиотеки стандартных изделий графического редактора Компас.

Далее прорабатывается подшипниковое гнездо А подшипника ведомого вала со стороны ведущей зведочки цепной передачи. Его размеры определяют размеры фланца разъема редуктора.

Ширина бобышки подшипников ведомого вала S_2 в общем случае определяется осевыми габаритами подшипника и врезной крышки, расположением подшипника по оси вала относительно боковой внутренней стенки полости корпуса. Также ширина бобышки должна быть достаточной для размещения ключа при работе болтового соединения, стягивающего крышку и корпус редуктора в месте разъема у подшипника.

Рассчитывают диаметры болтов:

фундаментных

 $d_1 = (0,03...0,036) \cdot \alpha_w + 12 = (0,03...0,036) \cdot 108 + 12 = 15,2...15,9_{MM}$. Принимаем болты с резьбой по ГОСТ 8724-81 из 1-го ряда М16 [Таблица С3];

болтов, крепящих крышку редуктора с основанием у бобышек подшипников

 $d_2 = (0,7...0,75) \cdot d_1 = (0,7...0,75) \cdot 16 = 11,2...12$ мм. Принимаем болты с резьбой ГОСТ 8724-81 М12 [Таблица С3].

При диаметре стяжных болтов $d_2=\text{M}12$ мм и с учетом наличия литых переходов к обрабатываемой поверхности ширина бобышки будет $S_2 \geq K_2 + \delta_1 = 32 + 8 \geq 40 \text{мм}$, где $K_2 = 32$ мм при применении рожковых ключей[4;таблица C3].

Наносим контур проходной крышки подшипника в соответствии с размерами по таблице 5.2 .

Окончательно принимаем $S_1 = 40_{MM}$.

Намечаем зазор между обработанной плоскостью прилива A под подшипник и внутренним торцом ступицы звездочки $C_2 = 10$ мм.

Наносим контур звездочки в соответствии с размерами на рисунке 5.7 .

Подшипники ведущего вала также смазываются разбрызгтванием. Их в корпусе следует установить внутри подшипниковых гнезд на расстоянии c_2 =5мм от линии O_{44} контура внутренней полости редуктора. Контур подшипников вычерчивается согласно их размеров по ГОСТ 831-75 [2;таблица

M2] или вставляются из библиотеки стандартных изделий графического редактора Компас.

Конструкция корпуса редуктора симметрична относительно вертикальной плоскости, включающей ось O_{33} . Поэтому ширина подшипниковых гнезд ведущего вала принимается $S_2 = 45_{MM}$. Наносим контур проходной крышки подшипника в соответствии с размерами по таблице 5.1. Намечаем зазор между обработанной плоскостью прилива Б под подшипник и внутренним торцом ступицы муфты $C_2 = 10$ мм. Вычерчиваем контур полумуфты втулочнопальцевой муфты по ГОСТ 21424-93. Контур муфты вычерчивается согласно ее размеров по ГОСТ 7ОСТ 21424-93 [2;таблица M2] или вставляя из библиотеки стандартных изделий графического редактора Компас.

Намечаем на валах точки приложения нагрузки от составляющих усилия от усилия в зубчатом зацеплении, от цепной передачи и реакций опор.

Предполагаем, что радиальные усилия в зацеплении ,нагрузки на валы от цепной передачи, радиальные реакции в опорах валов ,нагрузки на валы от муфт , действуют в вертикальных плоскостях, проходящих соответственно через середины венцов зубчатых колес, через середину венца зведочки, через середину полумуфты и, приблизительно, через середину внутренних колец подшипников.

Точки a_1 и a_2 приложения нагрузки от составляющих усилия в зубчатом зацеплении находятся в точках пересечения перпендикуляров , восстановленных к осям O_{11} и O_{22} ведущего и ведомого валов из середины зацеплений. Точка a_3 приложения усилий на вал от цепной передачи находятся в точке пересечения перпендикуляра , восстановленного к оси O_{22} ведомого вала из середины зубчатого венца звездочки. Точка a_4 находятся на оси O_{11} в месте, соотвествующему половине длины ступицы полумуфты. Точки приложения реакций опор a_5 , a_6 , a_7 и a_8 будут находиться на осях O_{11} и O_{22} в местах, соответствующих половине ширины подшипников.

Определяем расстояния между точками приложения сил, действующих на валы в радиальном направлении и опорами путем изменения соотвествующих расстояний на полученной компоновочной схеме:

```
расстояние между точками a_4 и a_5 - l_1 = 65,5 мм; расстояние между точками a_1 и a_5 - l_2 = 44,5 мм; расстояние между точками a_1 и a_6 - l_3 = 44,5 мм; расстояние между точками a_2 и a_7 - l_4 = 47,0 мм; расстояние между точками a_2 и a_8 - l_5 = 47,0 мм; расстояние между точками a_8 и a_8 - l_6 = 47,0 мм.
```

Полученные расстояния использую при уточненном расчете прочности валов и проверке подшипников.

Второй этап эскизной компановки. Рассмотрим компоновку редуктора в вертикальной плоскости плоскости (Рисунок 5.10). В результате этого этапа определяются основные параметры корпуса редуктора.

Для обеспечения минимальной металлоемкости корпуса редуктора, технологичности корпуса при изготовлении его литьем, создания хороших условий для попадания масла на все соединения и самоочистки внутренней полости редуктора за счет гладких боковых стенок в качестве прототипа выбрана классическая схем корпуса редуктора [4;приложение С1].

Примерно посередине листа параллельно его длинной стороне проводим горизонтальную штрих пунктирные линию O_{55} — проекции плоскости разьема редуктора и осей расположения ведущего и ведомого валов. На расстоянии a_w = 110 мм отмечаются центры осей ведущей шестерни a_9 и ведомого колеса a_{10} . Пунктирной линией наносятся контуры делительных окружностей колес диаметром d_1 =30,8 мм и d_2 =189,2 мм . Передача нарезана без смещения ($x_{1(2)}$ =0) - линии, обозначающие положение делительных окружностей должны совпасть в одной точке. Тонкой линией наносим контуры вершин зубьев колес диаметром d_{a1} = 33,8 мм и d_{a2} = 192,2 мм .

Намечаем контур внутренней полости редуктора вокруг зубчатых колес замкнутой линией O_{66} на расстоянии C_I . Контур внутренней полости корпуса А редуктора в плане должен иметь прямоугольную форму. Часть линии O_{55} ,показывающей дно полости редуктора, должна иметь уклон в сторону слива масла и должна находится на расстоянии C_{KI} от нижней точки тихоходного колеса .

Контур внутренней полости крышки Б редуктора в плане должен быть образован для упрощения технологии литья отрезками прямых линий. Углы должны быть скруглены радиусами скруглений r , которые определяется технологией литья и зависят от толщин стенки корпуса редуктора δ_1 и крышки редуктора δ_2 .

В плоскости разъема корпуса редуктора расположены фланцы и бобышки подшипниковых гнезд корпуса и крышки редуктора . Фланцы и бобышки стягиваются болтами с гайками. Для точного совмещения крышки и картера предусмотрены два конических штифта. В нижней части корпуса имеется фундаментный фланец, через который корпус редуктора крепится на раме приводной станции. В верхней части корпуса размещается смотровой люк с сапуном.

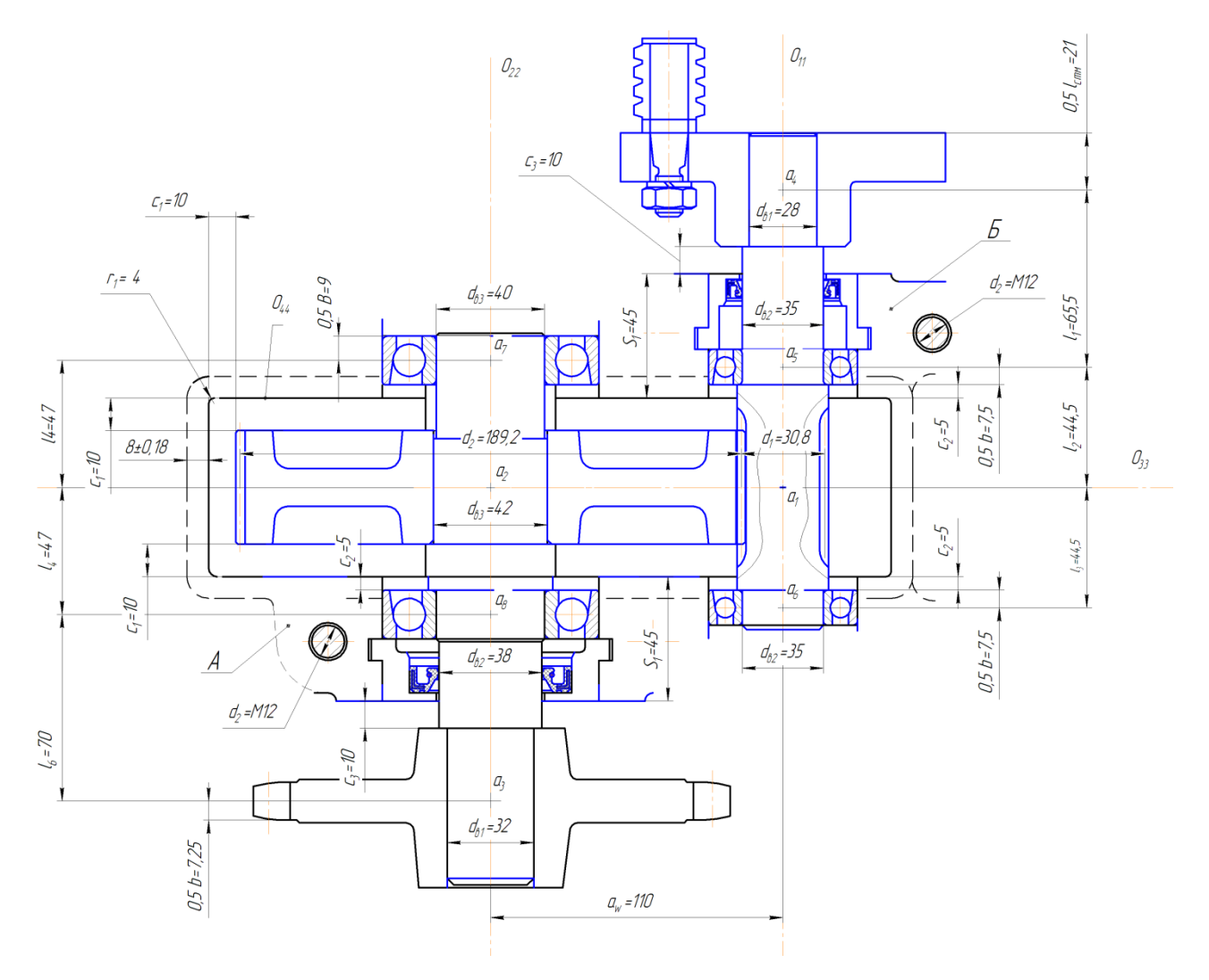


Рисунок 5.9 – Компоновочная схема редуктора

Размер фланцев и бобышек во многом определяются параметрами болтовых соединений.

Рассчитывают диаметры болтов:

фундаментных:

$$d_1 = (0,03...0,036) \cdot \alpha_w + 12 = (0,03...0,036) \cdot 108 + 12 = 15,2...15,9$$
 mm

принимаем болты с резьбой по ГОСТ 8724-2002 из 1-го ряда М16;

болтов, крепящих крышку редуктора с основанием у бобышек подшипников:

$$d_2 = (0,7...0,75) \cdot d_1 = (0,7...0,75) \cdot 16 = 11,2...12 \text{MM},$$

принимаем болты с резьбой ГОСТ 8724-2002 М12[2,с.42;таблица С3];

болтов, стягивающих фланцы основания корпуса и крышки редуктора :

$$d_3 = (0,5...0,6) \cdot d_1 = (0,5...0,6) \cdot 16 = 8,0...9,6$$
mm

принимаем болты с резьбой ГОСТ 8724- 2002 М10[2,с.42;таблица С3]. винтов крепления смотрового люка

$$d_4 = (0,3...0,4) \cdot d_1 = (0,3...0,4) \cdot 16 = 4,8...6,4$$
mm,

принимаем винты с резьбой ГОСТ 8724- 2002 Мб [2,с.42;таблица С3].

Все болты устанавливаются с зазором. Диаметры отверстий под них принимаются согласно ГОСТ 11284-75 [4,таблица С3] соответственно: $d_{10\text{TB}}=17\,$ мм; $d_{20\text{TB}}=13\,$ мм; $d_{30\text{TB}}=10$,5 мм; $d_{40\text{TB}}=6$,4 мм.

Для точного совмещения крышки и картера предусмотрены два конических штифта с диаметром $d_{III} \approx \delta_1 = 8$ мм. Применяем стандартные штифты с диаметром $d_{III} = 8$ мм по ГОСТ 3129-70 [4,Приложение С4].

Величину диаметра приливов подшипниковых гнезд у их наружных торцов принимают для подшиников ведомого и ведущего валов при установке врезных крышек:

для гнезд под подшипники № 36208 с наружным диаметром $D_{I\!I}\!=80$ мм [2,c.350;таблица М2]. ведомого вала

$$D_{E2} = 1,25D + 10$$
mm $= 1,25 \cdot 80 + 10 = 110$ mm,

для гнезд под подшипники № 36107 с наружным диаметром D_{Π} = 62 мм [2,c.350;таблица М2] ведущего вала

$$D_{\rm E1} = 1,25D + 10$$
 mm $= 1,25 \cdot 62 + 10 = 87,5$ mm \cdot

Принимаем по ГОСТ 12080-66 [3.таблица П4; таблица Γ 1] из первого предпочтительного ряда $D_{E_1} = 110$ мм и $D_{E_2} = 90$ мм. Наружным литым поверхностям приливов придают (для удобства извлечения модели из литейной формы) уклоны по направлению к их торцам в 5°.

Фланец подшипниковой бобышки предназначен для соединения крышки и основания у подшипников. Стяжные болты ставят с двух сторон отверстия под подшипники на расстоянии и L_{21} и L_{22} у подшипников ведомого вала и на расстоянии " L_{11} и L_{12} у подшипников ведомого вала . Оси сверления под стяжные болты делают так, что бы расстояние между стенками

отверстия и канавкой проточки под выступ крышки было не менее $C_3 \ge 8$ мм . Принимаем $C_3 = 8$ мм .

Таким образом в бобышках под подшипники ведомого вала отверстия под стяжные болты диаметром $d_{2ome}=13$ мм размещают на расстоянии от оси вала

$$L_2 = L_{21(22)} \ge (D_{\kappa p2} + 2(c_3 + 1) + d_{2oms}) = (88 + 2(8 + 1) + 13) = 119 \text{MM}.$$

Принимаем по ГОСТ 6636-69[3. таблица П4; таблица Γ 1]

$$L_2 = 120 \,\mathrm{MM}$$
 и $L_{21} = L_{(22)} = 60 \,\mathrm{MM}$

. В бобышках под подшипники ведущего вала отверстия под стяжные болты диаметром $d_{2ome} = 14$ мм размещают на расстоянии от оси вала

$$L_{\!\scriptscriptstyle 1} = L_{\!\scriptscriptstyle 11} + L_{\!\scriptscriptstyle 12} \geq (D_{\scriptscriptstyle \kappa p1} + 2(c_{\scriptscriptstyle 3} + 1) + d_{\scriptscriptstyle 20ms}) = (60 + 2(8 + 1) + 13) = 92 {\scriptstyle MM} \; .$$

Принимаем по ГОСТ 6636-69[3. таблица П4; таблица Γ 1]

$$L_2 = 95 \text{ MM} \text{ U} \qquad L_{21} = L_{(22)} = 47,5 \text{MM}$$

Ширина бобышек гнезда подшипника ведомого и ведущего валов обоснована при первом этапе компоновки $S_1 = 40_{MM}$.

Высота наружных бобышек крышки корпуса редуктора подшипниковых гнезд подшипников ведомого вала b_3 определяется графическим построением так ,чтобы на опорной поверхности бобышки было достаточно места для размещения головки стяжного болта(в продольно плоскости). Ее принимают такой, чтобы у бобышек создались поверхности протяженностью не менее C_4 + x_3 , где C_4 — расстояние от оси стяжного болта до линии пересечения горизонтальной плоскости опорной поверхности и цилиндрического прилива подшипникового гнезда, x_3 - размер литого перехода. Для стяжного болта с резьбой М 12 расстояние согласно ГОСТ 13682-80 равно C_κ = 17 мм. Размер литого перехода зависит от толщины стенки корпуса редуктора . При толщине стенки δ_1 = 8 мм размер литого перехода x_3 = 3 мм.

Из графического построения видно, что для обеспечения расстояние от оси стяжных ботов до цилиндрического прилива подшипникового гнезда $C_4 + x_3 = 17 + 3 = 20$ мм высота бобышки должна быть $b_3 = 40$ мм.

Высота наружных бобышек на крышке и основании корпуса принимается одинаковой. Принимаем $b_4 = 40$ мм.

Высота остальных бобышек принимается равной высоте наружных бобышек подшипниковых гнезд ведомого вала. В этом случае упрощается обработка отверстий под стяжные болты, уменьшается номенклатура применяемых крепежных деталей.

Размер опорной поверхности под стяжные болты для наружной бобышки подшипникового гнезда ведомого вала $K_4 + x_3$ зависит от диаметра резьбы стяжного болта d_2 . Для стяжного болта с резьбой М 12 расстояние согласно ГОСТ 13682-80 равно $K_4 = 32$ мм. Размер опорной поверхности должен быть не менее $K_4 + x_3 = 32 + 3 = 35$ мм. Принимаем по ГОСТ 6636-69 [3.таблица П4; таблица Γ 1] $K_4 + x_3 = 36$ мм.

Для наружных бобышек ведущего вала следует обосновать только размер крайнего участка опорной поверхности. Его размер принимаем равным $C_5 = (K_4 + x_3) - (C_4 + x_3) = (32 + 3) - (17 + 3) = 15$ мм.

Для лучшего обжатия подшипникового гнезда ведомого вала внутренний стяжной болт устанавливают на расстоянии от цилиндрического прилива подшипникового гнезда $C_4 + x_3 = 20$ мм.

Толщину нижнего пояса фланца крышки корпуса b_1 и толщину нижнего пояса корпуса b_2 в месте посадки редуктора на раму принимают с учетом толщины стенки основания корпуса редуктора $\delta_1 = 8\,$ мм

$$b_1 = 1, 5 \cdot \delta_1 = 1, 5 \cdot 8 = 12$$
мм,
$$b_2 = 2, 35 \cdot \delta_1 = 2, 35 \cdot 8 = 18, 8$$
мм.

Принимаем по ГОСТ 6636-69 [3.таблица П4; таблица Γ 1] b_1 = 12 мм и b_2 = 20 мм.

Крышка редуктора испытывает меньшую нагрузку и толщина ее стенок крышки редуктора можно принять меньше стенки корпуса

$$\delta_2 = 0.9\delta_1 = 0.9 \cdot 8 = 7.2$$
mm

Однако учитывая требования к технологии литья (толщина стенки при литье из чугуна $\delta \geq 8,0$ мм) принимаем по ГОСТ 12080-66 из первого предпочтительного ряда в таблице A1.[5] $\delta_2 = 8$ мм.

Тогда толщину верхнего пояса фланца корпуса редуктора принимают с учетом толщины стенки крышки корпуса редуктора $\delta_2 = 8\,$ мм

$$b_3 = 1, 5 \cdot \delta_1 = 1, 5 \cdot 8 = 12 MM$$

Ширина фланцев крышки корпуса редуктора и основания корпуса редуктора должна быть достаточной для размешения стяжных болтов с диаметром резьбы d_3 = M10 мм. Для стяжного болта с резьбой М 10 расстояние согласно ГОСТ 13682 - 80 равно K_5 = 28 мм. Размер опорной поверхности должен быть не менее K_5 + X_3 = 28+3 =31 мм. Тогда ширина фланца будет равна S_3 = K_5 + X_3 + X_4 = 28+3+8 = 39 мм. Принимаем по ГОСТ 12080-66 из первого предпочтительного ряда в таблице A1.[5] X_3 =40 мм.

Стяжные болты размещаются на расстоянии от линии контура внутренней полости редуктора $C_6 = C_5 + x_3 + \delta_1$ мм. Для стяжного болта с резьбой М 10 расстояние от стенки до центра отверстия под болт согласно ГОСТ 13682 - 80 равно $C_5 = 15$ мм. Тогда $C_6 = C_5 + x_3 + \delta_1 = 15 + 3 + 8 = 26$ мм.

Ширина фундаментного фланца (лап редуктора должна быть достаточной для размешения крепежных болтов с диаметром резьбы $d_1 = M16$ мм. Для крепежного болта с резьбой М 16 расстояние согласно ГОСТ 13682 - 80 равно $K_6 = 40$ мм. Размер опорной поверхности для болтов должен быть не менее $S_4 = K_6 + x_3 = 40 + 5 = 45$ мм. Принимаем по ГОСТ 12080-66 из первого предпочтительного ряда в таблице А1.[5] $S_4 = 45$ мм. Для крепежного болта с резьбой М 16 расстояние от стенки до центра отверстия под болт согласно ГОСТ 13682 - 80 равно $C_7 = 22$ мм. Тогда $C_7 = C_5 + x_3 = 22 + 3 = 25$ мм.

В корпусе редуктора в нижнем фланце зенкерование опорных мест под гайки крепежных болтов технологически сложно. Под гайки крепежных болтов выполнияем приливы с диаметром опорной поверхности согласно ГОСТ 11284-75 [4,c.165,таблица С3] $d_{1пp}=38\,$ мм.

В верхней части крышки редуктора обустраиваем смотровой люк с крышкой в сборе с ручкой отдушиной. Из известного перечня конструкций [2,c.107;4,c.178;рисунок С 7] выбрана крышка с ручкой отдушиной. Этот люк используется для контроля за качеством зацепления во время регулировок и для заливки масла. Ручка отдушина имеет каналы, сообщающие внутреннюю полость редуктора с внешней средой. При ее наличии снижается давление в корпусе по причине нагрева масла и исключаются протечки масла через уплотнения.

Ширина $B_2 = 50$ мм и длина отверстия $A_2 = 90$ мм в крышке корпуса выбраны конструктивно из условия максимально возможного размера отверстия. Крышка люка крепится к крышке редуктора болтами с диаметром резьбы по ГОСТ 8724- 2002 $d_4 = M6$ мм [4,с.178;таблица С8] в количестве $z_4 = 4$ шт. Ширина фланца на крышке редуктора для установки люка принята $C_7 = 16$ мм, а расстояние от кромки смотрового отверстия до оси резьбовых отверстий принята равной $S_7 = 8$ мм. Ручка отдушина вварачивается в резьбовое отверстие люка смотрового отверстия. Размеры отверстия под ручку приняты в люке из нормализованного ряда $d_5 = M12$ [2,с.178;таблица С8].

При работе редуктора масло стареет и загрязняется продуктами износа. Его надо периодически менять. Для слива масла в нижней части коруса предусматривается сливное отверстие, перекрываемое сливной пробкой с цилиндрической резьбой диаметром d_6 . Из предлагаемого перечня [2,c.178;таблица С 8] выбираем пробку с диаметром резьбы М 16. В результате анализа вариантов исполнения маслосливного отверстия [3, c.107;рисунок С9], принято размещение отверстия в стенке нижней части корпуса редуктора. У отверстия для полного слива отработанного масла предусмотрено местное углубление в днище корпуса. Место под пробку в корпусе обработано. Пробка уплотняется прокладкой из отоженной меди.

Для контроля уровня масла в картере предусматривается жезловый маслоуказатель с присоединительным диаметром резьбы d_7 . Из предлагаемого

перечня маслоуказателей [2,с.106;4,с. 165;таблица] выбираем жезловый щуп с диаметром резьбы М 16.

Для подъема редукторов при их перемещении предусмотрены строповочные устройства. Из имеющегося перечня строповочных элементов [2,с.102;4,с. 165; рисунок С 13] выбраны литые проушины на крышке корпуса редуктора. Их прочность достаточна ДЛЯ строповки редукторов небольшой массы.Применение проушин является предпочтительным, так как использование вместо рым болтов уменьшает количество покупных изделий в редукторе.

Толщина проушин при толщине стенки крышки $\delta_2 = 8$ мм

$$\delta_4 = 2,5\delta_2 = 2,5 \cdot 8 = 20$$
MM,

диаметр отверстия проушины

$$d_5 = 3, 0 \cdot \delta_2 = 24 \text{ MM},$$

радиус обвода проушины

$$R_{np} = d_5 = 24 MM$$

Радиус перехода от проущины к стенке крышки редуктора

Сопряжение проушины и стенки крышки редуктора , имеющих разную толщину

$$r_{np} = (0,5...1,0)((\delta_2 + \delta_4)\,/\,2) = (0,5...1,0)((8+20)\,/\,2) = 7,0...14,0$$
мм .

Принимаем $r_{np} = 10$ мм.

Все размеры проушины согласованы С ГОСТ 6636-69 [3.таблица Π 4; таблица Γ 1].

После разработки основных элементов корпуса заканчивают компановку редуктора в вертикальной плоскости. Очерчивают контур внутренней полости редуктора и контур наружной стенки корпуса вокруг зубчатых колес так, что бы расстояние от внутренней стенки до врашающих частей колес было не менее $c_1 = 10$ мм при толщине стенки редуктора $\delta_1 = \delta_2 = 8$ мм . Принимают контур наружной поверхности корпуса таким, что бы в корпусе разместились разработанные рядом элементы корпуса, а именно крышка смотрового

отверстия, строповочные проушины, жезловый маслоуказатель, масло заливная пробка, с принятыми размерами.

Радиальный зазор от поверхности вершин зубьев колеса с большим диаметром до внутренней нижней поверхности стенки корпуса должно быть не менее

 $C_{K1} = 3*$ с = (5...10) m = (5...10) 1,5 = 7,5....15 мм. Принимаем $C_{K1} = 40$ мм с учетом необходимости размещения жезлового маслоуказателя и пробки слива масла с одной стороны корпуса.

Глубина погружения тихоходного колеса диаметра $d_2 = 189,2$ мм в масло $h_M = (1/8) d_2 = (1/8)189,2 = 23,7$ мм. Принимаем $h_M = 26$ мм.

При полученной ширине внутренней полости картера B= 65 мм, длине L =250 мм и глубине погружения $h_{\rm M}=26$ мм фактический объем масляной ванны будет $V_{M\Phi}=(A\cdot L\cdot (c_{K1}+h_M))/1000000=(65\cdot 250\cdot (40+26))/1000000=1,1$ дм $^3=1,1$ л.

Это объем масляной ванны будет достаточен для охлаждения в редукторе с передаваемой мощностью $P_{\rm T} = 3.3 {\rm kBT}$

$$V_{M\Phi} / P_T = 1,1/3,3 = 0,33 \succ [V_{M\Phi} / P] = 0,3 \text{ KBT/JI}$$

Для обеспечения необходимой (для нормальной работы подшипников) жесткости приливы гнезд подкрепляют наружными ребрами.

Направление радиального воздействия подшипника на корпус редуктора неизвестно, ребра предусматривают как для приливов картера, так и для его крышки

Толщина ребер жесткости у основания:

$$\delta_3 \ge (0,85...1.0) \cdot \delta = (0,85...1,0) \cdot 8 = 6,8...8$$
мм

Принимаем $\delta_3 = 12$ мм.

Контур корпуса редуктора образован отрезками прямых линий. Радиус скругления сопряжении стенок одинаковой толщины δ_i углом r=(0,5...1,0) $\delta_1=(0,5...1,0)$ 8 =4...8 мм. Принимаем по ГОСТ 12080-66 $r_{11}=4$ мм.

Сопряжение стенок и фланцев, имеющих разную толщину,например стенки крышки редуктора с толщиной δ_2 и нижнего пояса корпуса редуктора с толщиной

 $b_2 = 20$ мм, выполняется с радиусом

$$r_{22} = (0,5...1,0)((\mathcal{S}+\mathcal{S}_2)\,/\,2) = (0,5...1,0)((8+20)\,/\,2) = 7,0...14,0\text{MM} \;.$$

Принимаем $r_{22} = 10$ мм.

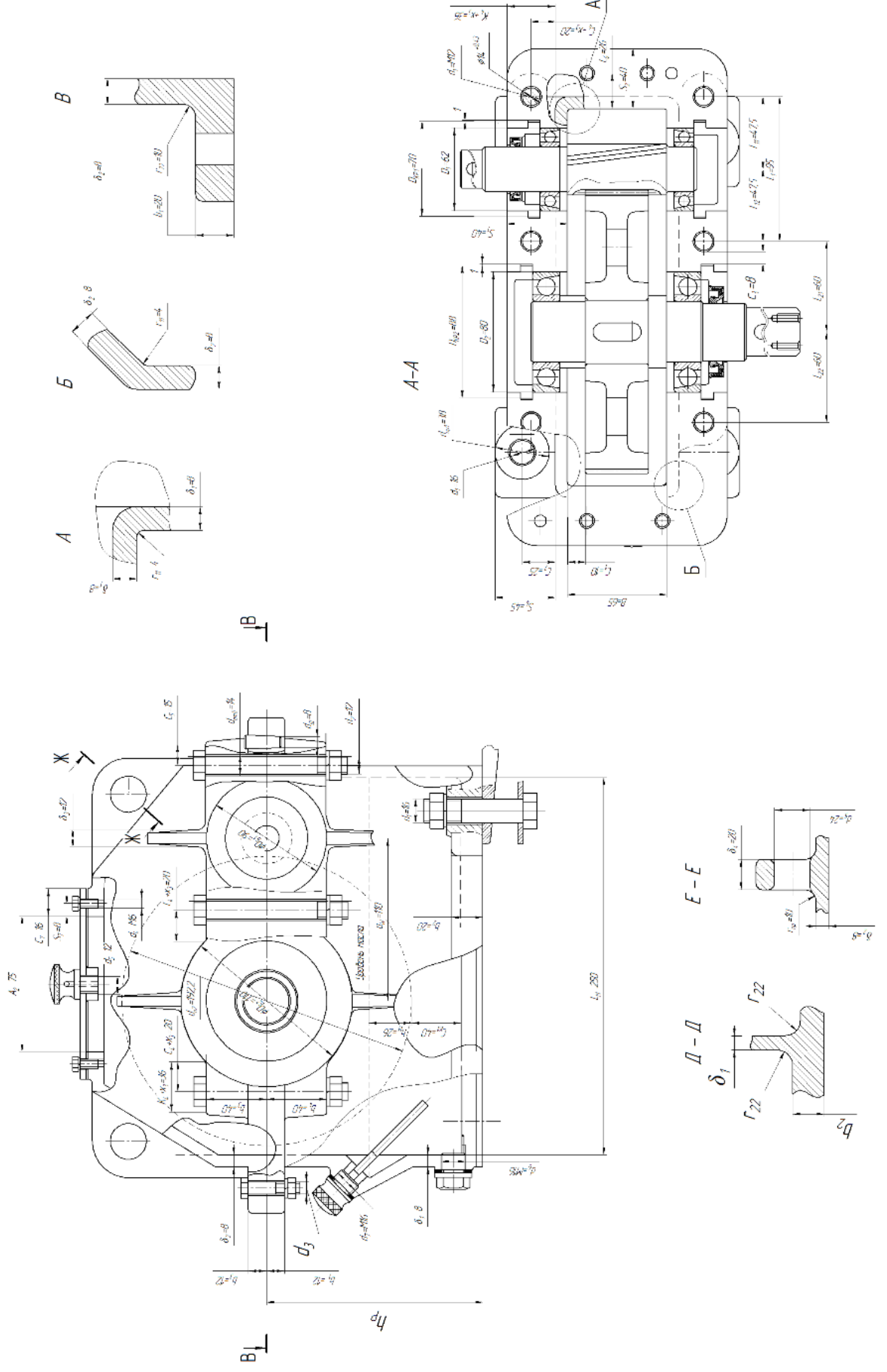


Рисунок 5.10 – Корпус редуктора

6 Расчет валов редуктора

6.1 Определение и расчет реакций в опорах Ведущий вал.

Из предыдущих расчетов имеем: $T_1 = 21,7 H_M$

 $F_{t1} = 1330,9H, F_{r1} = 443,5H, \ F_{a1} = 304,1H; \ d_1 = 30,8$ mm.

Наосновании компановки определены размеры:

 $l_1 = 70 \text{ мм}, l_2 = 37 \text{ мм}, l_3 = 40 \text{ мм}.$

Определяем нагрузку на вал от муфты[2,стр.211]

$$F_{\mathcal{M}} = 23 \cdot \sqrt[3]{T_{\partial g}^2 \cdot K} = 23 \cdot \sqrt[3]{71, 7^2 \cdot 3} = 258,072(H).$$

где $T_{\partial s}$ =– крутящий момент на валу двигателя;

K – коэффициент режима для тяжелого режима работы K = 3;

Составляем расчетные схемы нагружения вала.

Таблица 6.1- Определение реакций опор ведущего вала

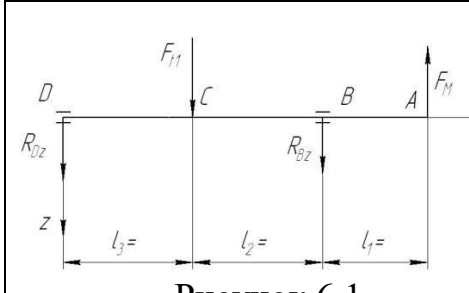


Рисунок 6.1 - Расчетная схема нагружения вала в плоскости XDZ

Составляем уравнения равновесия:

$$\sum M_D(F_i) = 0, -R_{Bz} \cdot (l_2 + l_3) + F_M \cdot (l_1 + l_2 + l_3) - F_{t1} \cdot l_3 = 0.$$

$$\sum M_D(F_i) = 0, -R_{Bz} \cdot (l_1 + l_3) + F_M \cdot (l_1 + l_2 + l_3) - F_{t1} \cdot l_3 = 0.$$

$$\sum M_B(F_i) = 0, -R_{Dz} \cdot (l_2 + l_3) + F_M \cdot l_1 + F_{t1} \cdot l_2 = 0.$$

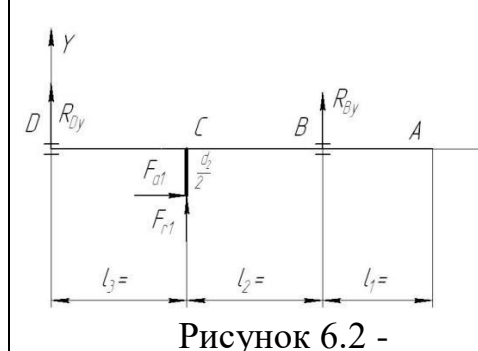
Выражаем реакции опора

$$R_{Bz} = \frac{F_1 \cdot (l_1 + l_2 + l_3) - F_{t1} \cdot l_3}{l_2 + l_3} = \frac{258, 1 \cdot (70 + 37 + 40) - 1330, 9 \cdot 40}{37 + 40} = -198, 6$$

$$R_{Bz} = \frac{-F_t \cdot l_2 - F_1 \cdot l_1}{l_2 + l_3} = \frac{-1330, 9 \cdot 37 - 258, 1 \cdot 70}{37 + 40} = -874, 1$$

Проверка: $\sum M_D(F_i) = 0, R_{By} \cdot (l_2 + l_3) + F_{r1} \cdot l_3 + F_{a1} \frac{d_1}{2} = 0.$

$$F_1 - R_{Dz} - F_{t1} - R_{Bz} = 258,1 - (-874,1) - 1330,9 - (-198,6) = 0.$$



Расчетная схема нагружения вала в плоскости XDУ

Составляем уравнения равновесия:

$$\sum M_D(F_i) = 0, R_{By} \cdot (l_2 + l_3) + F_{r1} \cdot l_3 + F_{a1} \frac{d_1}{2} = 0.$$

$$\sum M_B(F_i) = 0, -R_{Dy} \cdot (l_2 + l_3) - F_{r1} \cdot l_2 + F_{a1} \frac{d_1}{2} = 0.$$

Выражаем реакции опор:

$$R_{By} = \frac{-F_{r1} \cdot l_3 - F_{a1} \frac{d_1}{2}}{l_2 + l_3} = \frac{-443, 5 \cdot 40 - 304, 1 \cdot \frac{30, 8}{2}}{37 + 40} = -291, 2(H);$$

$$R_{Dy} = \frac{F_{a1} \cdot \frac{d_1}{2} - F_{r1} \cdot l_2}{l_2 + l_2} = \frac{304, 1 \cdot \frac{30, 8}{2} - 443, 5 \cdot 37}{37 + 40} = -152, 3(H);$$

Проверка: $\sum F_y = 0.R_{Dy} + F_{r1} + R_{By} = 0.$
$R_{Dy} + F_{r1} + R_{By} = -152,3 + 443,5 + (-291,2) = 0.$
Суммарная реакция опор Dи В
$R_D = \sqrt{R_{Dz}^2 + R_{Dy}^2} = \sqrt{(-874, 1)^2 + (0)^2} = 874, 1(H);$
$R_B = \sqrt{R_{Bz}^2 + R_{By}^2} = \sqrt{(-198, 6)^2 + (291, 2)^2} = 352, 5(H);$

Ведомый вал.

Из предыдущих расчетов имеем:

$$T_2 = 125,9 H\text{M}, F_{t2} = 1361 H, F_{r2} = 443,5 H, F_{a2} = 304,1 H, F_{yen} = 1500 H.$$

Наосновании компановки определены размеры:

$$l_4 = 37$$
 mm, $l_5 = 40$ mm, $l_6 = 85$ mm, $d_2 = 185,16$ mm;

Угол наклона цепной передачи в соответствии с заданием $-\alpha = 30^{\circ}$

Определим проекции нагрузки $F_{\text{цеп}}$ на координатные оси:

$$F_{\textit{\tiny{uenz}}} = F_{\textit{\tiny{uen}}} \cdot \cos \alpha = 1500 \cdot \cos 30^\circ = 1299H; F_{\textit{\tiny{ueny}}} = F_{\textit{\tiny{uen}}} \cdot \sin \alpha = 1500 \cdot \sin 30^\circ = 750H.$$

Составляем расчетные схемы нагружения вала.

Таблица 6.2- Определение реакций опор ведомого вала

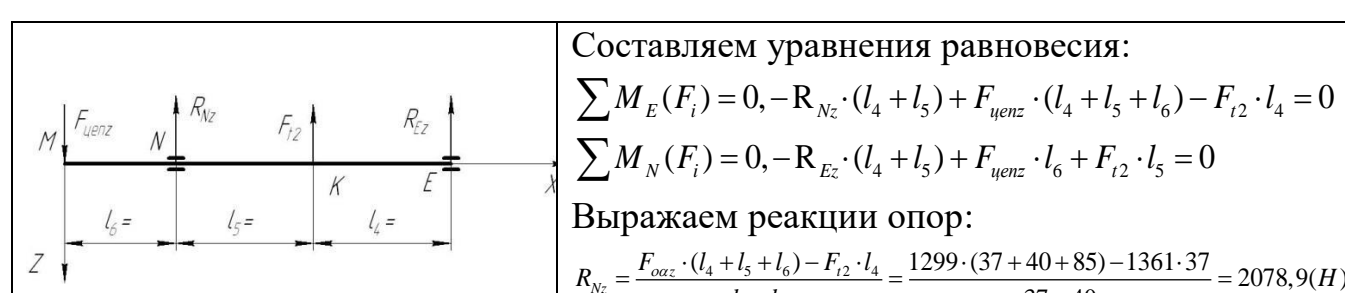


Рисунок 6.3 - Расчетная схема нагружения вала в плоскостиХМZ

$$\sum M_{E}(F_{i}) = 0, -R_{Nz} \cdot (l_{4} + l_{5}) + F_{uenz} \cdot (l_{4} + l_{5} + l_{6}) - F_{t2} \cdot l_{4} = 0$$

$$\sum M_{N}(F_{i}) = 0, -R_{Ez} \cdot (l_{4} + l_{5}) + F_{uenz} \cdot l_{6} + F_{t2} \cdot l_{5} = 0$$

$$R_{Nz} = \frac{F_{oaz} \cdot (l_4 + l_5 + l_6) - F_{i2} \cdot l_4}{l_4 + l_5} = \frac{1299 \cdot (37 + 40 + 85) - 1361 \cdot 37}{37 + 40} = 2078, 9(H);$$

$$R_{Nz} = \frac{-F_{i2} \cdot l_5 - F_{oaz} \cdot l_6}{l_4 + l_5} = \frac{-1361 \cdot 40 - 1299, 87 \cdot 85}{37 + 40} = -2140, 9(H);$$

Проверка:
$$\sum F_z = 0. - F_{uenz} + R_{Nz} + F_{t2} + R_{Ez} = 0$$

 $-F_{oaiz} + R_{Nz} + F_{t2} + R_{Ez} = -1299,87 + 2078,9 + 1361 - 2140,9 = 0$

Окончание таблицы 6.2

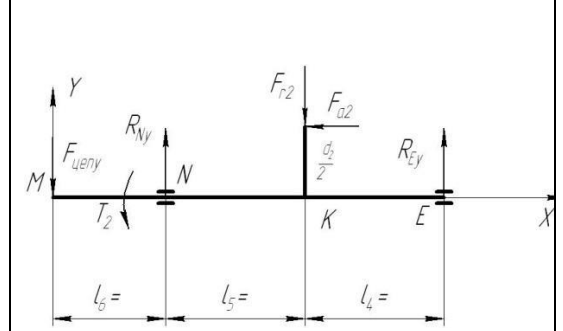


Рисунок 6.4 - Расчетная схема нагружения вала в плоскости XMY

Составляем уравнения равновесия:

$$\sum M_{E}(\mathbf{F}_{i}) = 0, -R_{Ny} \cdot (l_{4} + l_{5}) + F_{r2} \cdot l_{4} + F_{a2} \frac{d_{2}}{2} + F_{ueny}(l_{4} + l_{5} + l_{6}) = 0$$

$$\sum M_{N}(\mathbf{F}_{i}) = 0, -R_{Ey} \cdot (l_{4} + l_{5}) - F_{r2} \cdot l_{5} + F_{a2} \frac{d_{2}}{2} + F_{ueny} \cdot l_{6} = 0$$

Выражаем реакции опор:

$$R_{Ny} = \frac{F_{r2} \cdot l_4 + F_{a2} \frac{d_2}{2} + F_{oay}(l_4 + l_5 + l_6)}{l_4 + l_5} = \frac{443,5 \cdot 37 + 304,1 \cdot \frac{185,16}{2} + 750 \cdot (37 + 40 + 85)}{37 + 40} = 2156$$

$$R_{Ey} = \frac{F_{r2} \cdot l_5 - F_{a2} \frac{d_2}{2} + F_{oay} \cdot l_6}{l_4 + l_5} = \frac{443,5 \cdot 40 - 304,1 \cdot \frac{185,16}{2} - 750 \cdot 85}{37 + 40} = -963,2(H).$$

Проверка:
$$\sum F_y = 0.R_{Ny} - F_{r2} + R_{Ey} - F_{ueny} = 0.$$

 $R_{Ny} - F_{r2} + R_{Ey} - F_{oaty} = 2156, 7 - 443, 5 + (-963, 2) - 750 = 0.$

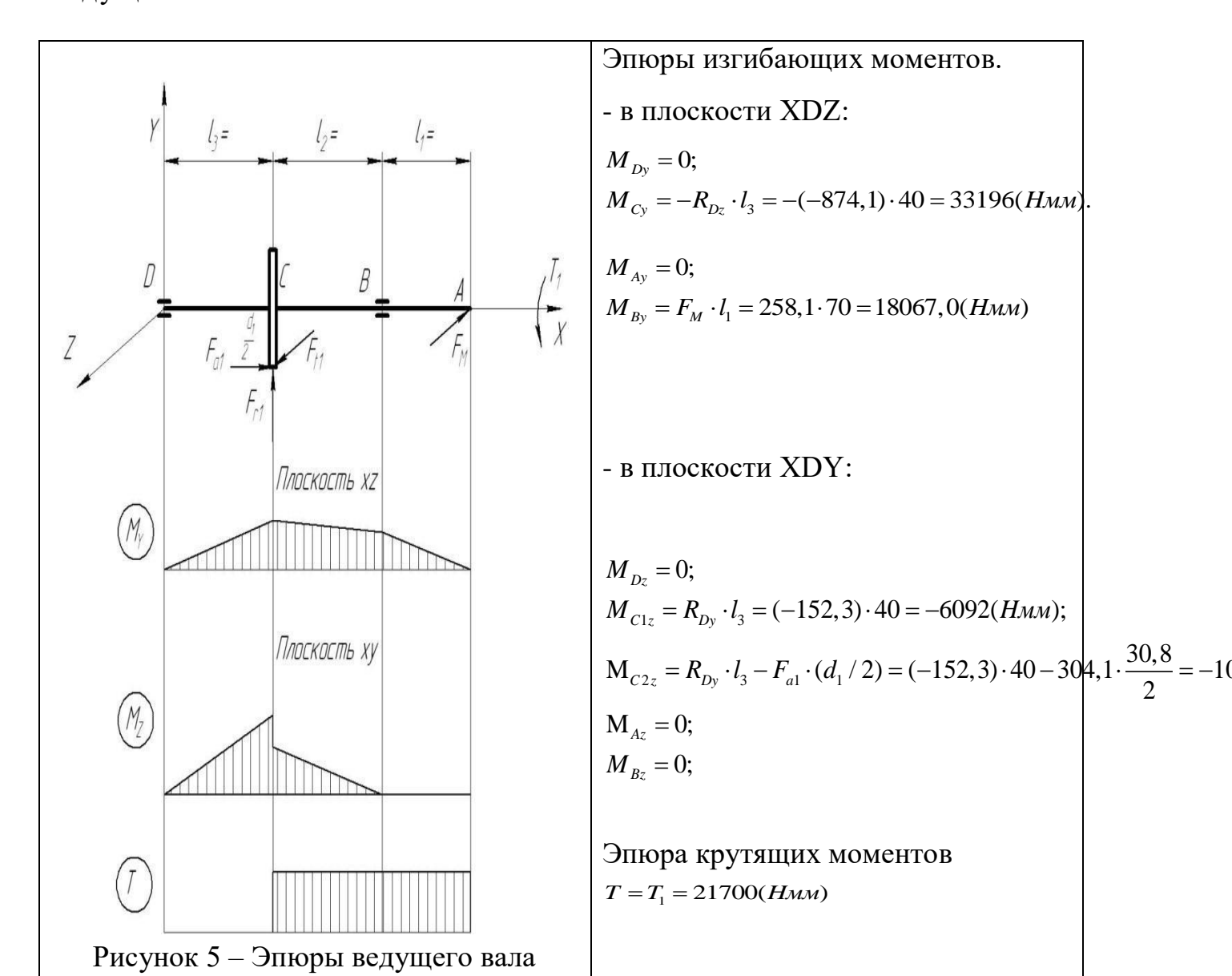
Суммарная реакция опор *N*и *E*

$$R_N = \sqrt{R_{Nz}^2 + R_{Ny}^2} = \sqrt{(2078,9)^2 + (2156,7)^2} = 2995,5(H);$$

$$R_E = \sqrt{R_{Ez}^2 + R_{Ey}^2} = \sqrt{(-2140,9)^2 + (963,2)^2} = 2347,6(H);$$

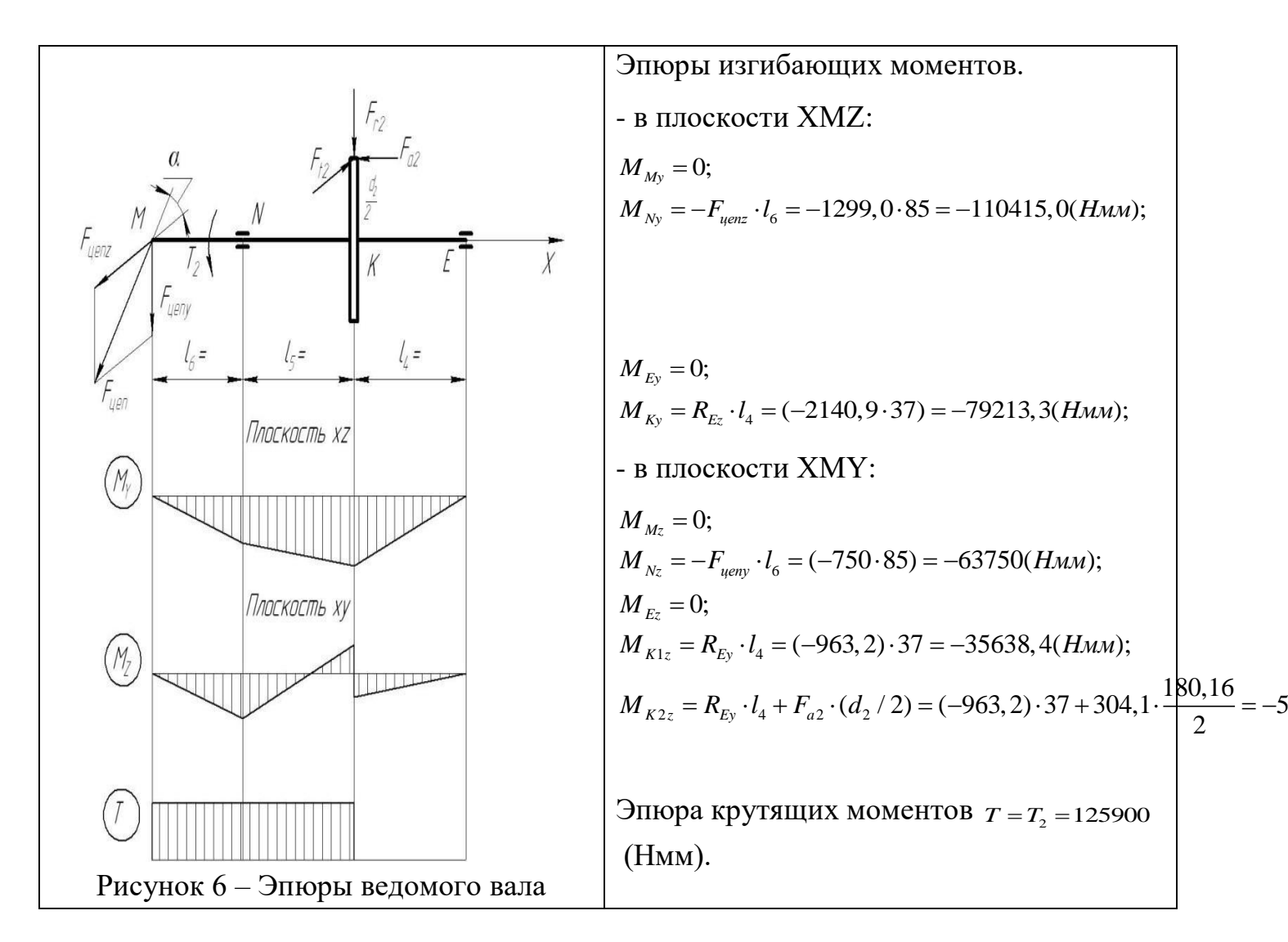
Ведущий вал.

Таблица 6.3 - Определение изгибающих моментов в сечениях ведущего вала



Ведомый вал.

Таблица 6.4- Определение изгибающих моментов в сечениях ведомого вала



6.3 Проверочный (уточненный) расчет валов

Уточнённый расчет состоит в определении коэффициентов запаса прочностиSдля опасных сечений и сравнении их с требуемыми (допускаемыми) значениями [S]. Прочность соблюдена при $S \ge [S] = 1, 5 \dots 3$.

Нормальное напряжение от изгиба изменяются по симметричному циклу, а касательные от кручения – по нулевому (пульсирующему).

Расчет производим для опасных сечений валов. Определяем опасные сечения на валах.

6.3.1.Ведущий вал.

Определяем опасное сечение вала.

Суммарные моменты:

$$\sum_{C} C = \sqrt{I_{C2z}^2 + I_{Cy}^2} = \sqrt{(10775)^2 + (34965)^2} = 36587,6$$

$$\sum_{C} A = \sqrt{I_{Ay}^2 + I_{Az}^2} = \sqrt{(0)^2 + (18067)^2} = 18067$$

$$T_C = T_R = T_1 = 21700(H_{MM}).$$

Опасным является сечение ведущего вала I-I ,в котором $M_{\sum B} = 36587, 6 \text{H}_{MM} \text{ имеет } \text{ наибольшее значение}.$

Вал выполнен заодно с шестерней, материал вала- сталь 40ХН.

Механические характеристики материала вала ,принятые с учетом материала и назначенной ранее твердестиНВ= 277 ед. ,представлены в таблице 5.1.

Таблица 6.5-Механические характеристики материала вала

Марка	Предел	Предел текучести	Предел выносливости для сим-метричного							
стали	прочности	$\sigma_{_{ m T}}$,МПа	цикла напряжения							
	$\sigma_{\scriptscriptstyle \rm B}$,ΜΠΑ		σ_{-1} ,МПа	$ au_{-1}$,МПа						
Сталь40Х	Таблица 15.1 [3]									
Н	903	736	461	275						

Таблица 6.6 -Расчет на выносливость ведущего вала в опасном сечении

Наименование параметра	Обозначение	Расчетнаяформулаи численныезначенияпараметров расчетной формулы/рекомендации по определению	Результат Подсчета
1	2	3	4
Форма сечения			Зубчатыйэвол ьвтный профиль
Момент сопротивления сечения при изгибе, мм ³	W	Таблица 15.3(7) $\frac{3,14*30,8^3}{32} = 2867 \text{мм}^3$	2867 мм ³
Момент сопротивления сечения при кручении,мм ³	W_{κ}	Таблица 15.3(7) $W_k = \frac{\pi d^3}{16} = \frac{3.14 * 30.8^3}{16} = 5734 \text{мм}^3$	5734 <i>мм</i> ³

Окончание таблицы 6.6

1	2	3	4
---	---	---	---

Амплитуда нормальных напряженийизгиба,МПа	σ_a	$\sigma_a = \sigma_u = \frac{M}{W} = \frac{36587.6}{2867} = 12.8$	12,8
Среднее напряжение кручения, МПа	σ_m	Для симметричного цикла нагружения $\sigma_m=0$	0
Амплитуда напряжений и среднее напряжение кручения, МПа	$ au_{ m a}$	$\tau_a = \tau_m = \frac{T}{2W_k} = \frac{21700}{2*5734} = 1,9M\Pi a$	1,9МПа
Эффективный коэффици- ент концентрации: при изгибе		Для концентратора вида <u>Зубья</u> <u>эвольвентные</u> при значении предела прочности $\sigma_{\rm B}$ =903 МПа для	1,7
при кручении		вала-шестерни по табл. 15,8	1,55
Масштабный коэффициент:	\mathcal{E}_{σ}	Для легированной стали при диаметре валаd=30,8 мм по	0,81
при изгибе при кручении	$arepsilon_{ au}$	табл.15.9(2)	0,81
Коэффициент чувствительности к ассиметрии цикла: при изгибе	ψ_{σ}	При значении предела прочности $\sigma_{\rm B}$ =903 МПа по табл.15.2(5)	0,15
при изгиое	$\psi_{ au}$		0,05
Коэффициент безопасности при изгибе	S_{σ}	$S_{\sigma} = \frac{\sigma - 1}{\frac{K_{\sigma}}{\varepsilon_{\sigma}} \sigma_{a} + \psi_{\sigma} \sigma_{m}} = \frac{461}{\frac{1,7}{0,81} 12,8 + 0,15 \cdot 0} = 17,2$	17,2
Коэффициент безопасности при кручении	$S_{ au}$	$S_{\sigma} = \frac{\sigma - 1}{\frac{K_{\sigma}}{\varepsilon_{\sigma}} \sigma_{a} + \psi_{\sigma} \sigma_{m}} = \frac{461}{\frac{1,7}{0,81} 12,8 + 0,15 \cdot 0} = 17,2$ $S_{\sigma} = \frac{\tau - 1}{\frac{K_{\tau}}{\varepsilon_{\tau}} \tau_{a} + \psi_{\tau} \tau_{m}} = \frac{275}{\frac{1,55}{0,81} 1,9 + 0,05 \cdot 1,9} = 74,1$	74,1
Общий коэффициент запаса прочности	S	$S = \frac{S_{\sigma} * S_{\tau}}{\sqrt{S_{\sigma}^2 + S_{\tau}^2}} = \frac{17, 2 * 74, 1}{\sqrt{17, 2^2 + 74, 1^2}} = 16, 8$	16,8
Допускаемое значение Ѕиз условия жесткости и прочности для стальных деталей	[S]	Из условия жесткости и прочности для стальных деталей	2,5

Для ведомого вала S =32,02> [S]=2,5. Прочность и жёсткость ведущего вала обеспечена.

6.3.2 Ведомый вал.

Определяем опасное сечение вала.

Суммарные моменты:

$$\begin{split} \mathbf{I}_{\sum N} &= \sqrt{\mathbf{I}_{Ny}^2 + \mathbf{I}_{Nz}^2} = \sqrt{(110415)^2 + (63750)^2} = 127497, 2 \\ T_k &= T_2 = 125900 (\text{Hm}) \\ \mathbf{I}_{\sum K} &= \sqrt{\mathbf{I}_{Ky}^2 + \mathbf{I}_{Kz}^2} = \sqrt{(79213, 3)^2 + (35638, 4)^2} = 86861, 1; T_k = T_2 = 125900 (\text{Hm}) \end{split}$$

Опасным является сечение ведомого вала в котором $M_{\sum_{N}} = 127497, 2 H_{MM}$ имеет наибольшее значение.

Вал выполнен из среднеугоеродистойстали 45,ермически обработанной до твердестиНВ= 240 ед. Механические характеристики материала вала ,принятые с учетом диаметра заготовки представлены в таблице 5.2.

Таблица 6.7-Механические характеристики материала вала

Марка стали	Предел прочности	Предел текучести $\sigma_{\rm T}$,МПа	Предел выносливости цикла напряжения	Предел выносливости для сим-метричного цикла напряжения						
	$\sigma_{\scriptscriptstyle m B},\!{ m M}\Pi{ m A}$		σ_{-1} ,МПа	$ au_{-1}$,МПа						
Сталь45		Таблица 15.1 [3]								
	785	540	383	226						

Таблица 6.8-Расчет на выносливость ведомого вала в опасном сечении

Наименование параметра	Обозначение	Расчетнаяформулаи численныезначенияпараметров расчетной формулы/рекомендации по определению	Результат Подсчета
1	2	3	4
Форма сечения			Круг
Момент сопротивления сечения при изгибе,ММ ³	W	Таблица 15.3(7) $W = \frac{3.14 * 40,0^3}{32} = 6280 \text{мм}^3$	6280мм³
Момент сопртивления сечения при кручении, мм ³	W_{κ}	Таблица 15.3(7) $W_k = \frac{\pi d^3}{16} = \frac{3,14 \cdot 40,0^3}{16} = 12560 mm^3$	12560 <i>mm</i> ³
Амплитуда нормальных напряженийизгиба,МПа	σ_a	$\sigma_a = \sigma_u = \frac{M}{W} = \frac{127497, 2}{6280} = 20,3M\Pi a$	20,3МПа
Среднее напряжение кручения, МПа	σ_m	Для симметричного цикла нагружения $\sigma_m=0$	0
Амплитуда напряжений и среднее напряжение кручения, МПа	$ au_{ m a}$	$\tau_a = \tau_m = \frac{T}{2W_k} = \frac{125900}{2*12560} = 5,01M\Pi a$	5,01
Эффективный коэффициент концентрации:		Для концентратора вида выточка при значении предела прочности $\sigma_{\rm B}$ =785 ,отношении $t/r=0.5$ и $r/d=0.0125$.	2,02
при изгибе при кручении		Параметры выточки: глубины выточки t =0,25 мм и радиус закругления r =0,5 мм. (Табл.15,8)	1,61
Масштабный коэффициент:	ε_{σ}	Для легированной стали при диаметре валаd=30,8 мм по	0.81
при изгибе при кручении	$\mathcal{E}_{ au}$	табл.15.9(2)	0.81
Коэффициент чувствительности к ассиметрии цикла:	ψ_{σ}	При значении предела прочности $\sigma_{\rm B}$ =785МПа по	0,15
при изгибе при кручении	$\psi_{ au}$	табл.15.2	0,05
Коэффициент безопасности при изгибе	S_{σ}	$S_{\sigma} = \frac{\sigma - 1}{\frac{K_{\sigma}}{\varepsilon_{\sigma}} \sigma_{a} + \psi_{\sigma} \sigma_{m}} = \frac{383}{\frac{2,02}{0,81} 20,3 + 0,15 \cdot 0} = 7,6$	7,6

Окончание таблицы 6.8

Для ведомого вала S =7,2> [S]=2,5. Прочность и жёсткость ведомого вала

Коэффициент безопасности при кручении	$S_{ au}$	$S_{\tau} = \frac{\tau - 1}{\frac{K_{\tau}}{\varepsilon_{\tau}}} \tau_{a} + \psi_{\tau} \tau_{m} = \frac{226}{\frac{1,61}{0,81}} 5,01 + 0,05 \cdot 5,01 = 22,16$	22,16
Общий коэффициент запаса прочности	S	$S = \frac{S_{\sigma} * S_{\tau}}{\sqrt{S_{\sigma}^2 + S_{\tau}^2}} = \frac{7,6 * 22,16}{\sqrt{7,6^2 + 22,16^2}} = 7,20$	7,20
Допускаемое значение Ѕиз условия жесткости и прочности для стальных деталей	[5]	Из условия жесткости и прочности для стальных деталей	2.5

обеспечена.

7 Проверочный расчет подшипников

7.1. Проверочный расчет подшипников ведущего вала

Ha ведущем валу применяются радиально-упорные шариковые подшипники легкой серии № 36 206 по ГОСТ 18855-78. Характер нагружения этих подшипников определяется областью их применения. Для редукторов всех типов нагрузка на них характеризуется умеренными толчками, вибрационной нагрузкой, кратковременной перегрузкой до 15% от номинальной нагрузки Габлица 8.9;4 Рабочая температура подшипников 1. не превышает 70°С.Подшипники установлены по схеме "враспор".

Таблица 7.1- Данные для проверочного расчета подшипников № 36206

Внутренний диаметр	Наружный диаметр,мм	Ширина внутреннего кольца,мм	Ширина подшипника, мм	Динамическая грузоподъемность, Н	грузоподъемность, Н	Угол давления, градусы	Срок службы, час	Частога вращения, мин-1	Реакции левой опоры, Н	Реакции правой опоры, Н	Осевая сила от внешних усилий и и и и и и и и и и и и и и и и и и	Рабочая температура подшипника, ° С	Характер нагружения
d	D	В	T	C	C_o	α	L_h	n	R_D	R_B	F_a	t	Умеренные толчки,
Станда	рт на г	юдши	пник 3	36206 Г	OCT1885	55-78	Зада-		Раздел	Ы			вибрационная нагрузка ; кратковременные перегрузки до 15% от
30	62	18	18	22000	12000	12	4000	1430	829,9	388,8	327,8	70	номинальной нагрузки
1.Враща	ется в	зал. 2	2.Pac	нетная	схема п	іри уст	ановк	подш	ипников "Враспо	op":		ı	
	1. Вращается вал. 2. Расчетная схема при установке подшипников "Враспор":												

Так как частота вращения подшипников ведущего вала $n1 = 1430.0 \,\mathrm{Muh^{-1}}$, то производим расчет пригодности подшипников по динамической грузоподъемности.

При расчете учитывали, что при установке вала на радиально-упорные подшипники на него, помимо внешних осевых сил от установленных деталей, действуют внутренние реакции S от подшипников.

В общем случае внешние осевые силы, действующие на вал от установленных деталей, могут быть заменены результирующим вектором F_a . Тогда на вал будут действовать три силы: F_a , S_D – от подшипника D, S_B – от подшипника B. Если алгебраическая сумма этих сил не равна 0, то вал будет стремиться сместиться в осевом направлении в пределах осевых зазоров в подшипниках.

При этом один из подшипников будет удерживать вал от смещения и будет являться удерживающим.

Для удерживающего подшипника суммарная осевая сила $F_{a\Sigma}$ будет равна алгебраической сумме F_a и внутренней реакции S неудерживающего подшипника . Для неудерживающего подшипника суммарная осевая сила $F_{a\Sigma}$ равна по величине его внутренней реакции S.[4,стр.109].

Результаты проверочного расчета подшипников установленных на ведущем валу в опорах В и D ,представлены в таблице 7.2.

Таблица 7.2- Результаты проверочного расчета подшипников № 36206

Наименование параметра	Обозначение	Расчетная формула и численные значения параметров расчетной формулы/рекомендации по определению	Результаты
1	2	3	4
Параметр осевого нагружения подшипника В	е Б	Для шариковых радиально упорных по Табл.8.5 [4] при F_a / C_o = =327,8/12000 = 0,027 по Табл.8.5 [4]	0,34
Параметр осевого нагружения подшипника D	е D	Для шариковых радиально упорных по Табл.8.5 [4] при F_a / C_o = =327,8/12000 = 0,027 по Табл.8.5 [4]	0,34
Дополнительные осевые усилия в подшипнике B, H	S_B	Для шариковых радиально упорных по формуле 8.6 [4] $S_B = eR_B = 0.34*388.8 = 132.2 \mathrm{H}$	132,2
Дополнительные осевые усилия в подшипнике D, H	S_D	Для шариковых радиально упорных по формуле 8.6 [4] $S = eR_D = 0.34*829.9 = 282.2H$	282,2
Направление смещения вала под действием осевых сил		$F_a + S_D = 327.8 + 282.2 = 610 \text{ H} > S_D = 282.2 \text{ H}.$	К опоре В
Обозначение удерживающей опоры на расчетной схеме в таблице 7.1		Схема в таблице 7.1	В
Суммарная осевая сила на подшипник В,Н:	$F_{a\Sigma B}$	Для удерживающего подшипника суммарная осевая сила $F_{a\Sigma}$ будет равна алгебраической сумме F_a и внутренней реакции S неудерживающего подшипника $F_{a\Sigma B} = F_a + S_D = 327, 8 + 282, 2 = 610~H$	610,0
Суммарная осевая сила на подшипник D,H:	$F_{a\Sigma D}$	Для неудерживающего подшипника суммарная осевая сила $F_{a\Sigma}$ равна по величине его внутренней реакции S $F_{a\Sigma D} = S_D = 282,2~H.$	282,2
Коэффициент вращения	V	При вращении внутренних колец V = 1[4,стр.104]	1,0
Отношение $F_{a \sum B} / (V \cdot R_B)$ для подшипника В	$F_{a\sum B}/(V\cdot R_B)$	$F_{a\Sigma B}/(V\cdot R_B)=610,0/1*388,8=1,56$	1,56
Коэффициент радиаль-ной нагрузки для подшипника В	Хв	$F_{a\Sigma B}/(V\cdot R_B)$ =610,0/1*388,8 =1,56 При $e=0,34 < F_{a\Sigma B}/(V\cdot R_B)$ =1,56 с учетом значения e по табл.8.5[4]	0,45
Коэффициент осевой нагрузки для подшипника В	Ув	При $e = 0.34 < F_{a∑B} / (V \cdot R_B) = 1,56$ с учетом значения е по табл. 8.5[4]	1,63
Отношение $F_{a \sum D} / (V \cdot R_D)$ для подшипника D	$F_{a\sum D}/(V\cdot R_D)$	$F_{a\sum D}/(V\cdot R_D)=282,2/1*829,9=0,34$	0,34
Коэффициент радиальной нагрузки для подшипника D	X_D	При $e = 0.34 = F_{a \sum D} / (V \cdot R_D) = 0.34$ согласно стр. 104 [4]	1,0

Окончание таблицы 7.2

1	2	3	4
Коэффициент осевой нагрузки для подшипника D	Y_D	$\Pi pu\ e=0,34=\ F_{a∑D}/\ (V\cdot R_D)=0,34\ c$ учетом значения е по табл.8.5[4]	0
Коэффициент безопасности	<i>K</i> ₆	В зависимости от характера нагружения по табл. 8.9[4]	1,5
Коэффициент температурный	$K_{\scriptscriptstyle m T}$	В зависимости от рабочей температуры подшипника по табл.8.10[4]	1,0
Приведенная нагрузка для , подшипника В,Н	$P_{ m B}$	$P_B = (X_B V R_B + Y_B \cdot F_{a \Sigma B}) K_6 K_T =$ = $(0.45 * 1 * 3 * 8 * 8 * 1.63 * 6 10.0) * 1.5 * 1.0 = 1753.9$	1753,9
Приведенная нагрузка для подшипника D,H	P_{D}	$P_{\rm D} = (X_{\rm D}VR_D + Y_{\rm D} \cdot F_{a\sum D})K_6K_T = (1,0*1*829,9+0*282,2)*1,5*1,0$ = 1250,2	1244,8
Номинальная долговечность подшип-ника B, часов	$L_{h m B}$	$L_{hB} = \left(\frac{C}{D_B}\right)^{\delta} \frac{10^6}{60n} = \left(\frac{22000}{1753,9}\right)^3 \frac{10^6}{60 \times 1430} = 23002$	23002,0
Номинальная долговечность подшип-ника D,часов	$L_{h m D}$	$L_{hD} = \left(\frac{C}{D_D}\right)^{\delta} \frac{10^6}{60n} = \left(\frac{22000}{1244,8}\right)^3 \frac{10^6}{60 \times 1430} = 64340,1$	64340,1

Пригодность подшипников №36206 по сроку службы, установленных на ведущем валу в опорах B и D , обеспечена

$$L_{hB} = 23002 \div \tilde{a}\tilde{n} \succ L_{h} = 4000 \div \tilde{a}\tilde{n},$$

 $L_{hD} = 63540 \div \tilde{a}\tilde{n} \succ L_{h} = 4000 \div \tilde{a}\tilde{n}.$

7.2 Проверочный расчет подшипников ведомого вала

На ведомом валу применяются радиально-упорные шариковые подшипники легкой серии № 36 208 по ГОСТ 18855-78. превышает 70°С. Подшипники установлены по схеме "враспор".

Так как частота вращения подшипников ведомого вала n=235,0 мин⁻¹, то производим расчет пригодности подшипников по динамической грузоподъемности.

При расчете учитывали, что при установке вала на радиально-упорные подшипники на него, помимо внешних осевых сил от установленных деталей, действуют внутренние реакции S от подшипников.

В общем случае внешние осевые силы, действующие на вал от установленных деталей, могут быть заменены результирующим вектором F_a . Тогда на вал будут действовать три силы: F_a , S_N — от подшипника N, S_E — от подшипника E. Если алгебраическая сумма этих сил не равна 0, то вал будет стремиться сместиться в осевом направлении в пределах осевых зазоров в подшипниках. При этом один из подшипников будет удерживать вал от смещения и будет являться удерживающим.

Таблица 7.3- Данные для проверочного расчета подшипников № 36208

Внутренний диаметр	Наружный диаметр,мм	Ширина внутреннего кольца,мм	Ширина подшипника, мм	Динамическая грузоподъемность, Н	грузоподъемность, Н	Угол давления, градусы	Срок службы , час	Частота вращения, мин-1	Реакции левой опоры, Н	Реакции правой опоры, Н	Осевая сила от внешних усилий	бочая	Характер нагружения
d	D	В	T	С	C_o	α	L_h	n	R_N	R_E	F_a	t	Умеренные толчки,
Стандар	т на п	одши	пник 3	36208 Г	OCT1885	5-78	Зада-		Раздел	І Ы			вибрационная нагрузка ; кратковременные перегрузки до 15% от
40	80	18	18	38900	23200	12	4000	235	3039,2	2345,2	327,8	70	нерегрузки оо 15% от номинальной нагрузки
1.Вращае	тся в	ал. 2	Pace.	Петная	схема п	ри уст	ановке	N S N	ипников "Враспо	op":		R _E E	

Так как частота вращения подшипников ведомого вала $n=235,0\,\mathrm{muh}^{-1}$, то производим расчет пригодности подшипников по динамической грузоподъемности.

При расчете учитывали, что при установке вала на радиально-упорные подшипники на него, помимо внешних осевых сил от установленных деталей, действуют внутренние реакции S от подшипников.

Для удерживающего подшипника суммарная осевая сила $F_{a\Sigma}$ будет равна алгебраической сумме F_a и внутренней реакции S неудерживающего подшипника . Для неудерживающего подшипника суммарная осевая сила $F_{a\Sigma}$ равна по величине его внутренней реакции S.[4, стр. 109].

Результаты проверочного расчета подшипников установленных на ведущем валу в опорах N и E ,представлены в таблице 7.4.

Таблица 7.4- Результаты проверочного расчета подшипников № 36208

Наименование параметра	Обозначение	Расчетная формула и численные значения параметров расчетной формулы/рекомендации по определению	Результаты
1	2	3	4
Параметр осевого нагружения подшипника <i>N</i>	e n	Для шариковых радиально упорных по Табл.8.5 [4] при F_a / C_o = =327,8/23200 = 0,014 по Табл.8.5 [4]	0,30
Параметр осевого нагружения подшипника <i>E</i>	е Е	Для шариковых радиально упорных по Табл.8.5 [4]при F_a / C_o = =327,8/23200 = 0,014 по Табл.8.5 [4]	0,30
Дополнительные осевые усилия в подшипнике N , H	S_N	Для шариковых радиально упорных по формуле 8.6 [4] $S_N = eR_N = 0.30*3039.2 = 911.8 \mathrm{H}$	911,8
Дополнительные осевые усилия в подшипнике D, H	S_E	Для шариковых радиально упорных по формуле 8.6 [4] $S_E = eR_E = 0.30*2345.2 = 703.6 \mathrm{H}$	703,6
Направление смещения вала под действием осевых сил		$F_a + S_E = 327.8 + 703.6 = 1031.4 \text{ H} > S_N = 911.8 \text{ H}.$	К опоре <i>N</i>
Обозначение удерживающей опоры на расчетной схеме в таблице 7.3		Расчетная схема в таблице 7.3	N
Суммарная осевая сила на подшипник <i>N</i> ,H:	$F_{a\Sigma N}$	Для удерживающего подшипника суммарная осевая сила $F_{a\Sigma}$ будет равна алгебраической сумме F_a и внутренней реакции S неудерживающего подшипника $F_{a\Sigma N} = F_a + S_E = 327.8 + 703.6 = 1031.4 \ H$	1031,4
Суммарная осевая сила на подшипник <i>E</i> ,H:	$F_{a\Sigma E}$	Для неудерживающего подшипника суммарная осевая сила $F_{a\Sigma}$ равна по величине его внутренней реакции S $F_{a\Sigma E}=S_E=703,6~H.$	703,6
Коэффициент вращения	V	При вращении внутренних колец V = 1[4,стр.104]	1,0
Отношение $F_{a\Sigma N}/(V\cdot R_N)$ для подшипника N	$F_{a\sum N}/(V\cdot \mathbf{R}_N)$	$F_{a\Sigma N}/(V\cdot R_N)=1031,4/1*3039,2=0,34$	0,34
Коэффициент радиальной нагрузки для подшипника <i>N</i>	X_N	$\Pi pu \ e = 0.30 < F_{a∑N} / (V \cdot R_N) = 0.34 \ c$ учетом значений параметра e и угла контакта $α$ по табл. 8.5[4]	0,45
Коэффициент осевой нагрузки для подшипника <i>N</i>	Y_N	$\Pi pu \ e = 0.30 < F_{a ∑N} / (V \cdot R_N) = 0.34 \ с$ учетом значения угла контакта α и значений параметра e по табл.8.5[4]	1,81
Отношение $F_{a \sum E} / (V \cdot \mathbf{R}_E)$ для подшипника E	$F_{a\Sigma^{\mathrm{E}}}/\left(V\cdot\mathbf{R}_{E} ight)$	$F_{a\Sigma E}/(V\cdot R_E)=703,6/1*2345,2=0,30$	0,30
Коэффициент радиальной нагрузки для подшипника D	X_{E}	$\Pi pu\ e=0,30=F_{a\Sigma E}/\left(V\cdot R_{E}\right)=0,30$ осевая нагрузка не оказывает влияния на долговечность и $X_{E}\ =\ 1,0\ [$ стр. $104\ 4]$	1,0
Коэффициент осевой нагрузки для подшипника E	\mathbf{Y}_{E}	$\Pi pu\ e=0,30=F_{a∑E}/\ (V\cdot R_E)=0,30$ осевая нагрузка не оказывает влияния на долговечность и $Y_E=0$ [стр.104 4]	0
Коэффициент безопасности	<i>K</i> ₆	В зависимости от характера нагружения по табл. 8.9[4]	1,5
Коэффициент температурный	$K_{\scriptscriptstyle \mathrm{T}}$	В зависимости от рабочей температуры подшипника по табл.8.10[4]	1,0
Приведенная нагрузка для , подшипника N,H	P_N	$P_{N} = (X_{N}VR_{N} + Y_{N} \cdot F_{a\Sigma N})K_{\delta}K_{T} =$ $= (0, 45 * 1 * 3039, 2 + 1, 81 * 1031, 4) * 1, 5 * 1, 0 = 4851, 7$ $P_{E} = (X_{E}VR_{E} + Y_{E} \cdot F_{a\Sigma E})K_{\delta}K_{T} = (1, 0 * 1 * 2345, 2 + 0 * 703, 6) * 1, 5 * 1, 0$	4851,7
Приведенная нагрузка для подшипника Е,Н	P_E	$P_E = (X_E V R_E + Y_E \cdot F_{a\Sigma E}) K_6 K_T = (1,0*1*2345,2+0*703,6)*1,5*1,0$ = 3517,8	3517,8

Окончание таблицы 7.4

1	2	3	4
Номинальная долговечность подшип-ника <i>N</i> , часов	L_{hN}	$L_{hN} = \left(\frac{C}{D_N}\right)^{\delta} \frac{10^6}{60n} = \left(\frac{38900}{4851,7}\right)^3 \frac{10^6}{60 \times 235} = 36555,1$	36555,1
Номинальная долговечность подшип-ника E ,часов	L_{hE}	$L_{hE} = \left(\frac{C}{D_E}\right)^{\delta} \frac{10^6}{60n} = \left(\frac{38900}{3517,8}\right)^3 \frac{10^6}{60 \times 235} = 95899,5$	

Пригодность подшипников №36208 по сроку службы, установленных на ведущем валу в опорах B и D , обеспечена

$$L_{hB} = 36555, 1$$
uac $\succ L_h = 4000$ uac,

$$L_{hD} = 95899,54ac \succ L_h = 40004ac.$$

8 Выбор и проверочный расчет муфт

В данном приводе для соединения входного вала редуктора диаметром $d_{\theta l}=25\,$ мм с валом электродвигателя диаметром $d_{\theta l}=28\,$ мм применена компенсирующая упругая втулочно-пальцевая муфта типа МУВП по ГОСТ 21424-93.Данная муфта в процессе работы привода будет передавать вращающий момент $T_{\theta e}=22,4H\cdot M$ и вращаться с частотой $n_{d\hat{u}\hat{u}}=1410\hat{\iota}$ $\hat{e}\hat{\iota}^{-1}$.

Выбор муфты осуществляется по расчетному моменту:

$$T_n = k \cdot T_{\pi R} < [T] \tag{8.1}$$

где k- коэффициент режима работы для привода от электродвигателя и зависит от вида приводимой машины;

[Т] – номинальный вращающий момент передаваемый муфтой.

Для привода цепного конвейера по табл. 17.1 [3] принимаем k=2,0.

Тогда значение расчетного момента по формуле 9.1

$$T_p = 2.0 \cdot 22.4 = 53.49 \text{ H} \cdot \text{m}.$$

Сучетом значения расчетного момента $T_p = 53,49~{\rm H\cdot M}$, диаметров $d_{\it GI} = 25~{\rm MM}$ и $d_{\it F} = 28~{\rm MM}$ по табл. 17.8 [3,ГОСТ21424-93] выбираем муфту упругую втулочно-пальцевую МУВП с номинальным крутящим моментом [T] =125 HM с цилиндрическими отверстиями в полумуфтах для коротких концнов валов по ГОСТ 12080-66 (исполнения 2) ,климатического исполнения У(для умеренного климата) и котегории 3 по ГОСТ 15150, с предельной частотой вращения 4600 мин $^{-1}$

Муфта упругая втулочно- пальцева 125-28-2-32-2-УЗ ГОСТ 21424-93.

Сочетание полумуфт с различными диаметрами отверстий в пределах одного номинального крутящего момента допускается п.10 ГОСТ 21424-93.

Основные параметры выбранной муфты представлены в таблице 9.1.

Таблица 8.1-Основные размеры выбранной муфты МУВП 125-28-2-32-2-У3 ΓOCT 21424-93

				<u> </u>			Паль	ЩЫ	Вту	 улки	
d, _{MM}	[Т], Нм	D,	D ₀ ,	L,	l, MM	d_{Π} ,	l_{Π} ,	<i>z,</i> шт	$d_{\scriptscriptstyle m BT}$,	$l_{ m BT}$,	Масса, кг
28/25	125	140	84	89	42	14	33	4	27	28	4.4

Macca- http://www.uralremdetal.ru/production/mufty-muvp/

Проверочный расчет упругой втулочно-пальцевой муфты заключается в расчете пальцев на изгиб и резиновых втулок на смятие поверхности втулок, соприкасающихся с пальцами.

Условие прочности пальца на изгиб:

$$\sigma_u = \frac{10 \cdot T_p \cdot l_n}{D_0 \cdot z_n \cdot d_n^3} \le [\sigma_u]$$

где $[\sigma_u]$ - допускаемое напряжение при изгибе.

Принимаем
$$[\sigma_u]$$
= 80 *МПа* [Стр.372,3]
$$\sigma_u = \frac{10 \cdot 22, 4 \cdot 10^3 \cdot 33}{84 \cdot 4 \cdot 14^3} = 8,0 \text{ МПа} \leq [\sigma_u] = 80 \text{ МПа}.$$

Условие прочности пальцев соблюдается.

Условие прочности резиновых втулок на смятие:
$$\sigma_{\text{\tiny CM}} = \frac{2 \cdot T_p}{D_0 \cdot z_n \cdot d_n \cdot l_{\text{\tiny BT}}} \leq [\sigma_{\text{\tiny CM}}]$$

где $[\sigma_{\scriptscriptstyle{\text{CM}}}]$ - допускаемое напряжение на смятие для материала втулок. Для резины $[\sigma_{\text{см}}] = 1,8$ *МПа*. [Стр.372,3] $\sigma_{\text{см}} = \frac{2 \cdot 22,4 \cdot 10^3}{84 \cdot 4 \cdot 14 \cdot 28} = 0,30 \le [\sigma_{\text{см}}] = 1,8$ МПа.

$$\sigma_{\scriptscriptstyle \mathsf{CM}} = \frac{2 \cdot 22,4 \cdot 10^3}{84 \cdot 4 \cdot 14 \cdot 28} = 0,30 \le [\sigma_{\scriptscriptstyle \mathsf{CM}}] = 1,8 \ \mathsf{M} \Pi \mathsf{a}.$$

Условие прочности втулок соблюдается. Муфта работоспособна.

Вследствии несоосности соединяемых муфтой валов на вал редуктора в середрине посадочной поверхности действует радиальная сила F_{M}

 F_{M} в Н при $T_{\ddot{a}\dot{a}}$ в Нм рассчитывается по эмпирической формуле Значение [CTp.115, 7]

$$F_{M} = 23 \cdot \sqrt[3]{T_{\partial e}^{2} \cdot k} = 23 \sqrt[3]{22, 4^{2} \cdot 2} = 229,7H.$$

9 Расчет шпоночных соединений

Для передачи вращающего момента T между валами и установленными на них муфтой, зубчатым колесом и звездочками цепной передачи применены шпоночные соединения призматическими шпонками. С целью облегчения монтажа на валы применены шпонки исполнения 1 (со скругленными торцами) по ГОСТ 23360-78, изготовленные из стали по ГОСТ 8786-68 с пределом прочности не менее $\sigma_b = 590 \ \mathrm{MH}$. Геометрические параметры шпоночного соединения (рисунок 9.1) определены согласно ГОСТ 23360-78 в зависимости от диаметра вала на посадочном участке . Длина шпонок l выбрана из стандартного ряда на $10 \ \mathrm{MM}$ меньше длины ступицы L_{CT} .

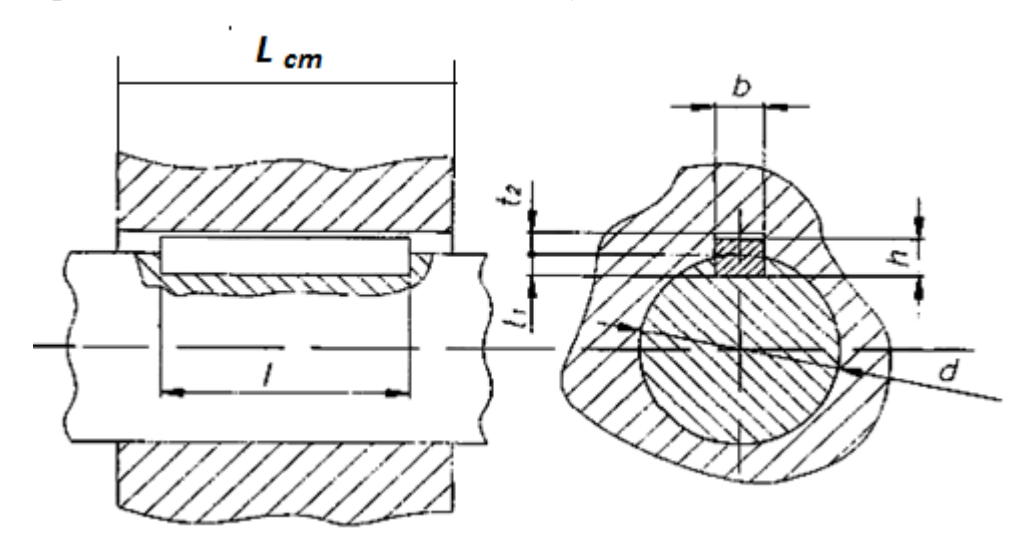


Рисунок 9.1 – Эскиз шпоночного соединения.

Таблица 9.1 - Параметры шпоночных соединений [Стр.164; 5].

		Диаметр	По ГОСТ 23360-78						
Вал	Соедине-	диаметр вала d_{el} ,	Разм	леры шпонк	и, мм	Глубина паза, мм			
Dan	ние	MM	Длина l_{un}	ширина <i>b</i>	высота h	вала t_{I}	втулки t ₂		
Ведущий	Муфта- вал	25	32	8	7	4	3,3		
Ведомый	Колесо- вал	42	45	12	11	7	4,4		
Ведомый	Звездочка- вал	32	45	10	9	5,5	3,8		
Вал контр- привода	Звездочка- вал	55	45	16	14	9	5,4		

При стандартных размерах прочность на изгиб и срез элементов шпоночного соединения обеспечивается при условии прочности на смятие рабочих граней шпонки.

Проверочный расчет шпоночных соединений заключается в расчете напряжений смятия, действующих на выступающих из вала боковых гранях шпонки, по формуле:

$$\sigma_{\text{CM}} = \frac{2 \cdot T \cdot 1000}{d \cdot (l - b) \cdot (h - t_1)} \le [\sigma_{\text{CM}}] \tag{9.1}$$

где Т- вращающий момент на валу, Нм;

 l,b,h, t_1 –размеры шпоночного соединения в мм(Таблица 8.1);

 $[\sigma_{\scriptscriptstyle{\text{CM}}}]$ - допускаемое напряжение смятия для материала шпонки,МПа.

Допускаемые напряжения $[\sigma_{\text{см}}]$ назначают с учетом подвижности сединения, типа посадки и материала ступицы, характера нагрузки.

В проектируемом редукторе применены неподвижные шпоночные соединения. Муфта, зубчатое колесо и звездочки цепной передачи садятся на валы с натягом [Стр.115;6]. В нагрузке на шпоночные соединения отсутствуют резкие изменения нагрузки. С учетом перечисленных факторов $[\sigma_{\text{см}}] = 110 \text{ МПа.}[\text{ Стр.115;6}]$

Результаты проверочного расчета шпоночных соединенй по формуле 9.1 представлены в таблице 9.2.

Таблица 9.2 – Результаты проверки шпоночного соединения на смятие

	G.	Момент	***	Напряжение смятия, МПа				
Вал	Соедине- ние	вращ. <i>Т,</i> <i>Нм</i>	Шпонка $b \times h \times l$, мм	Расчетные значения $\sigma_{\scriptscriptstyle{CM}}$	Допускае мое [$\sigma_{\scriptscriptstyle{CM}}$]			
Ведущий	Муфта- вал	22,4	8 ×7× 32	$\sigma_{\rm CM} = \frac{2 \cdot 22, 4 \cdot 1000}{25 \cdot (32 - 8) \cdot (7 - 4)} = 24,9$				
Ведомый	Колесо- вал	125,9	12 ×11× 45	$\sigma_{\rm CM} = \frac{2 \cdot 125, 9 \cdot 1000}{42 \cdot (45 - 12) \cdot (11 - 7)} = 45,4$	110,0			
Ведомый	Звездочка- вал	125,9	10 ×9× 45	$\sigma_{\rm CM} = \frac{2.125,9.1000}{32.(45-10)\cdot(9-5,5)} = 45,4$	110,0			
Вал контр- привода	Звездочка- вал	333,4	16 ×14× 45	$\sigma_{\rm CM} = \frac{2.333,4.1000}{55.(45-16)\cdot(14-9)} = 83,6$				

Для всех шпоночных соединений условие прочности (9.1) выполняется.

На ведушем валу могут быть применена шпонка следующего найменования: Шпонка $8 \times 7 \times 32$ ГОСТ 23360-78 (соединение "Муфта-вал"). На ведомом валу могут быть применены шпонки: Шпонка $12 \times 11 \times 45$ ГОСТ 23360-78 (соединение "Колесо-вал") и Шпонка $12 \times 11 \times 45$ ГОСТ 23360-78 (соединение "Звездочка-вал"). На валу контрпривода может быть установлена шпонка: Шпонка $16 \times 14 \times 45$ ГОСТ 23360-78 (соединение "Муфта-вал").

10. Подбор посадок и отклонений

Для установки элементов передач и редуктора назначаем следующие посадки по рекомендациям (Таблица 8, [4]):

установка зубчатого колеса и шестерни на вал - H7/r6;

установка муфт на валы - H7/m6;

установка звездочки на вал - H7/m6;

установка колец на вал и в корпус редуктора - H7/d11;

установка втулки распорной на вал -H7/d11;

установка крышек подшипниковых узлов в корпус редуктора - H7/h8.

Шпонки на вал устанавливаются с посадкой P9/h9, а во втулку - Is9/h9.

Участки валов под установку подшипников качения обрабатывают с полем допуска $\kappa 6$, а отверстия в корпусе редуктора под наружные кольца подшипников качения - с полем допуска H7 [3].

Отклонения в соответствии с выбранными посадками назначаются по [3,4].

Показатели точности формы и отклонений деталей привода назначают по [3,4].

Показатели шероховатости принимают по [3,4].

11. Выбор смазки

Для уменьшения потерь мощности на трение, снижения интенсивности изнашивания трущихся поверхностей, их охлаждения и очистки от продуктов износа, а также для предохранения от заедания, задиров, коррозии должно быть обеспечено надежное смазывание трущихся поверхностей.

В горизонтальном редукторе возможно погружение вращающихся колес в масляную ванну.

По результатам расчетов окружная скорость вращения зубчатого колеса $\theta = 2,28 \text{ m/c}$.

Данная скорость не превышает предельной (стр.234[8]) скорости θ = 12 м/с и может быть применена смазка погружением колес в масляную ванну. Скорость достаточна (стр.234[9]) для смазывания всех зубчатых колес масляным туманом при погружении тихоходного колеса в масло

Выбор марки масла производим по кинематической вязкости с учетом прочности материала ($\sigma_{\rm B}$) и окружной скорости колес (стр.108,109[10]) . Требуемая вязкость при температуре 50° будет

$$v_{50} = v_1 \times \sqrt{V} = 170 \times \sqrt{2,28} = 256,7 \text{ mm}^2/\text{c}.$$

Марку масла выбираем по табл. 2.3 [10]. При окружной скорости до 2,7 M/c, контактных напряжениях в передаче до 600 Mna, требуемой кинематической вязкости масла 200,4 Mm^2/c , может быть принято масло ИТП-200(ИТД-460) поТУ 38.1011337-90.

Объем масляной ванны должен быть не менее (стр.234 [10])
$$V_{\rm M} \ge 0.3 \times P_{\rm эд.тр} = 0.3 \times 3.3 = 0.99 ~\rm{дm}^3 = 0.99 ~\rm{л}.$$

Глубина погружения колеса может быть:

$$h_{\text{\tiny M}} \geq (2m \dots 0.25d_{f2} = 2*1.5 \dots 0.25*181.41 \geq 10 \text{ mm}.$$

$$h_{\text{м}} \geq (2m \dots 0.25d_{f2} = 2*1.5 \dots 0.25*181.41 \geq 10 \text{ мм} = 10 \dots 45.3 \text{ мм}.$$

Окончательно глубина погружения назначается после проектирования корпуса редуктора.

Окружная скорость вращения тихоходного колеса $\vartheta = 2,67$ м/с. достаточна (стр.234[8]) для смазки подшипников масляным туманом.

При работе передач продукты изнашивания постепенно загрязняют масло и смазку. С течением времени оно стареет, свойства его ухудшаются. Поэтому масло, залитое в корпус редуктора и смазку в подшипниковых гнездах, периодически меняют. Периодичность замены -1 раз в год.

Для наблюдения за уровнем масла в корпусе устанавливаем контрольный щуп.

При длительной работе в связи с нагревом воздуха повышается давление внутри корпуса. Это приводит к просачиванию масла через уплотнения и стыки. Чтобы избежать этого, внутреннюю полость корпуса сообщают с внешней средой путем установки отдушины в его верхней части.

12 Описание процессов сборки, разборки и регулировки редуктора

Перед сборкой внутреннюю полость корпуса редуктора тщательно очищают и покрывают масляной краской.

Сборку производят в соответствии со сборочным чертежом редуктора начиная с узлов валов.

На ведущий вал насаживают и шарикоподшипники предварительно нагретые в масле до 80...100 0 C.

На ведомый и промежуточный валы закладывают шпонки и напрессовывают зубчатое колесо до упора в бурт вала, затем надевают распорную втулку, устанавливают шарикоподшипники, предварительно нагретые в масле. Собранные валы закладывают в основание корпуса редуктора и надевают крышку корпуса, предварительно покрыв поверхность стыка крышки и корпуса спиртовым лаком. Для центровки устанавливают крышку на корпус с помощью двух конических штифтов затягивают болты, крепящие крышку к корпусу. После этого на ведомый вал надевают распорные кольца, в подшипниковые камеры крышки закладывают солидол, ставят крышки подшипников с комплектом металлических прокладок для регулировки.

Затем проверяется проворачивание валов, отсутствие заклинивания подшипников (валы должны проворачиваться от руки) и закрепляют крышки винтами. Потом ввертывают пробку масло спускного отверстия с прокладкой и устанавливают маслоуказатель.

Заливают в корпус масло и закрывают смотровое отверстие крышкой с прокладкой из технического картона, закрепляют крышку болтами.

Собранный редуктор обкатывают и подвергают испытанию на стенде по программе, устанавливаемой техническими условиями эксплуатации.

Разборку редуктора осуществляем в последовательности, обратной сборке, предварительно слив масло.

13 Проектирование рамы привода

Рама является базовым элементом привода. От ее точности и жесткости зависит работоспособность всей установки. Раму сваривают из швеллеров. На прочность и жесткость раму не рассчитывают.

Рамы на индивидуальные фундаменты или на общем бетонном полотне толщиной 100–500 мм, притягивают фундаментными болтами и подливают цементным раствором.

Исходными данными для проектирования рамы являются присоединительные размеры электродвигателя, редуктора, муфты и вала контрпривода.

Присоединительные размеры электродвигателя серии АИР типа 100L4У2: $l_{10}=140~{\rm mm}$, $b_{10}=160~{\rm mm}$, $B_{Z}=162{\rm mm}$, $L_{Z}=265{\rm mm}$, $h_{Z}=100~{\rm mm}$.(Рисунок) $d_{Z}=12~{\rm mm}$.

Присоединительные размеры редуктора: $l_P = 140 \text{ мм}$, $l_{Pl} = 110 \text{ мм}$, $b_P = 125 \text{ мм}$,

$$B_P = 162 \text{ MM}$$
, $L_P = 265 \text{ MM}$, $h_P = 145 \text{ MM}$, $d_I = 16 \text{ MM}$. (Рисунок).

Присоединительные размеры вала контрпривода: $l_{K\!\Pi}=140$ мм , $b_{K\!\Pi}=125$ мм, $B_{K\!\Pi}=290$ мм , $L_{K\!\Pi}=300$ мм, $d_{I\!I\!P}=16$ мм.

Межосевое расстояние цепной передачи a = 800 мм.

Используем присоединительные размеры редуктора и контрпривода, межосевое расстояние цепного привода определяем ориентировочную длину рамы по найболее длинной стороне

$$L_{PM} = l_{PI} + a + 0.5 B_{KII} = 110 + 800 + 0.5 \times 290 = 1055 \text{ mm}.$$

Принимаем длину рамы L_{PM} =1060 мм.

Определяем высоту профиля швеллера

$$H_{\text{III}} \ge (0.09...0.12) L_{PM} = (0.09...0.12)1055 = 94.9...126.6 \text{ mm}.$$

Применяем швеллер №16 серии аУ с размером поперечного сечения h_c =160 мм и b_c = 68 мм.(Приложение)

Под раму и редуктор предусматриваем платики толщиной t = 6мм.

Диаметр фундаментых болтов и их количество принимаем в зависимости от длины рамы L_{PM} При L_{PM} =1060 мм >700 мм из Приложения устанавливаем лиаметр резьбы фундаментных болтов d_6 = 20 мм, т.е.М 20.

Количество болтов n = 6.

Размеры фундаментных болтов представлены ниже.

Оси фундаментных болтов распологаем на расстонии K не менее 52 мм. . (Приложение)

Заключение

В результате выполнения курсового проекта мы закрепили и обобщили знания, полученные при изучении дисциплины. Получили навыки необходимые для правильного оформления курсовых проектов и чертежей в соответствии со стандартами.

Целью данного проекта является проектирование привода, который состоит как из стандартных деталей, так и из деталей, форма и размеры которых определяются на основе конструкторских, технологических, экономических и других нормативов.

Изучили конструкцию привода . Ознакомились с различными методами расчета сопряжений и выбора посадок. Получили навыки назначения шероховатостей и допусков формы и расположения на соответствующие поверхности. Изучили основные технические справочники по конструированию механизмов, по стандартизации и взаимозаменяемости.

В ходе решения поставленной задачи, была освоена методика выбора элементов привода, получены навыки проектирования, позволяющие обеспечить необходимый технический уровень, надежность и долгий срок службы механизма.

Опыт и навыки, полученные в ходе выполнения курсового проекта, будут востребованы при выполнении, как курсовых проектов, так и дипломного проекта.

Спроектированный привод обладает хорошими свойствами по всем показателям.

Разработанная техническая документация может быть использована при разработки модернизированных приводов для АПК.

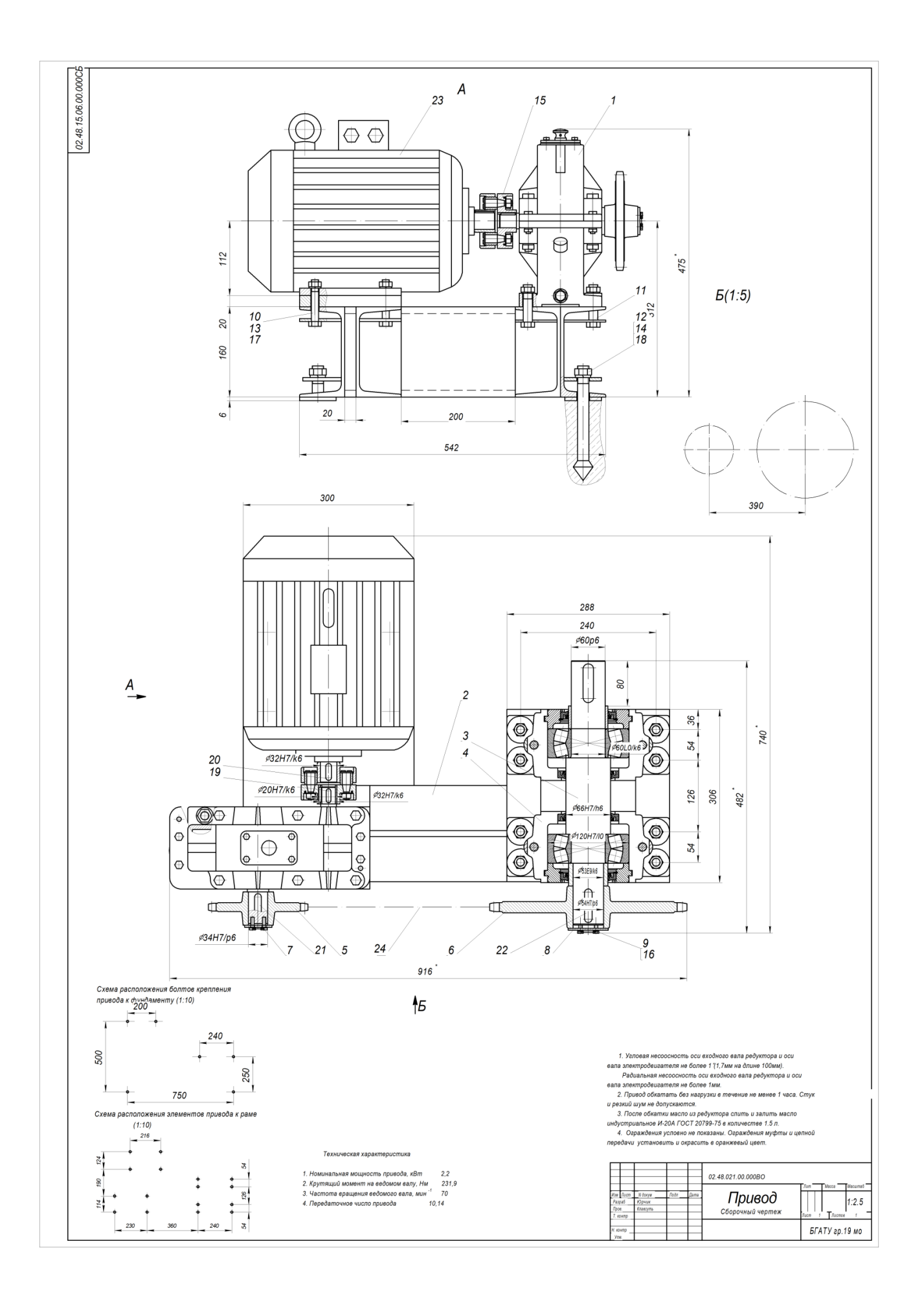
Список используемой литературы

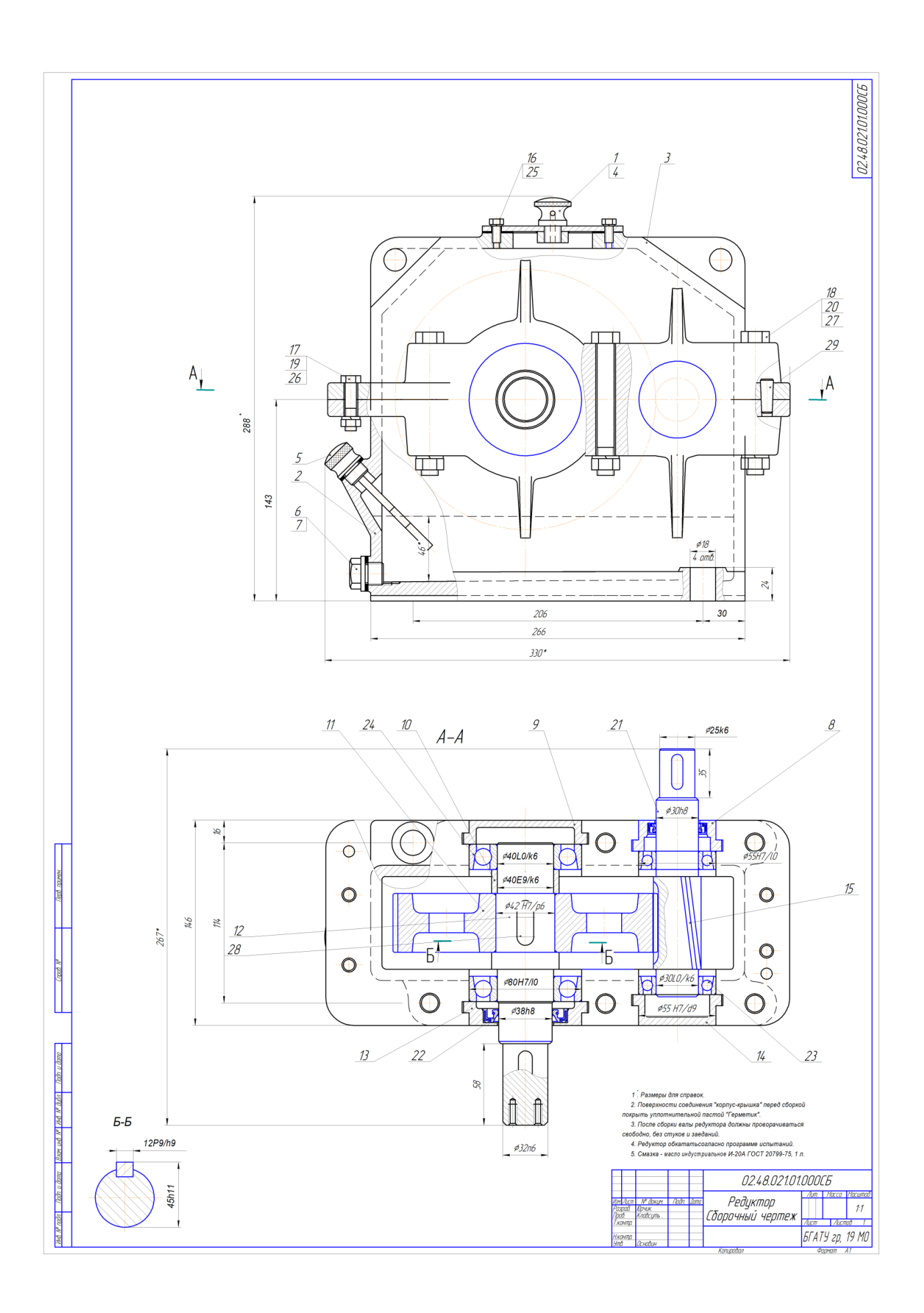
- 1. Детали машин и основы конструирования: методические указания по курсовому проектированию. Ч. 1/ БГАТУ, кафедра сопротивления материалов и деталей машин; сост. Агейчик В. А. [и др.].— Минск, 2007.-200с.
- 2. Кузьмин А.В. Расчеты деталей машин / А.В. Кузьмин, И.М. Чернин, Б.С. Козинцов. Мн., Выш. школа, 1986.-400 с.
- 3. Основы конструирования деталей машин:пособие/сост: В.А. Агейчик [др.] Минск ; БГАТУ, 2009.-268 с.
- 4. Курмаз, Л.В.Детали машин. Проектирование: учебное пособие/ Л.В.Курмаз, А.Т.Скойбеда.-Мн.: УП Техпринт",2002.-290 с.
- 5. Требования и рекомендации по выполнению чертежей деталей машин: пособие /сост.: Н.Н. Романюк [др.]. Минск: БГАТУ, 2014.-172 с.

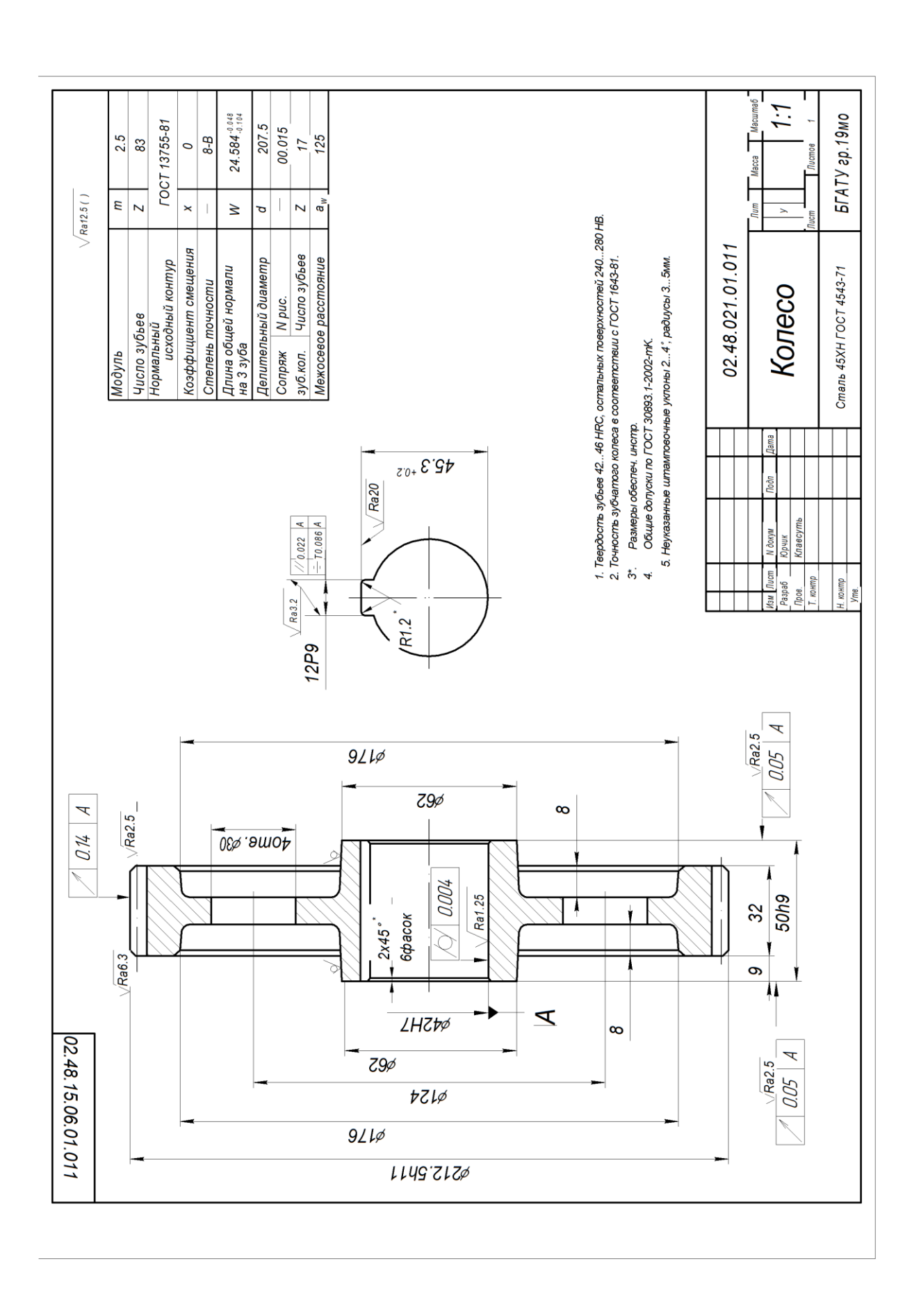
темдоф	Зона	∏03.	0	бозн	аче	ние	Наименован	ние	Кол.	Применание	
L		L	<u> </u>				Документац	us.	Ш		
		L		40.001					Ш		
Αl	Ц	L		48.021			Сборочный чер		\sqcup		
A4	Ц	L	02.	48. 021	.00.0	00113	Пояснительная з		Z		
L	Ц	L					Сборочные еди	ницы	Н		
		1	02.	48. 021	.01.0	01СБ	Крышка отдуши	на	1		
							Детали		Н		
H		2	0.	2.48. 02	21.01.	002	Корпус		1		
厂		3	_	2.48. 02	21.01.	003	Крышка		1		
Г		4	0.	2.48. 02	21.01.	004	Прокладка	1			
Г	П	5	0.	2.48.02	21.01.	005	Маслоуказатель				
Г		6	0.	2.48.02	21.01.	006	Пробка	1			
Г		7	0.	2.48.02	21.01.	007	Прокладка	1			
Г		8	0.	2.48.02	21.01.	008	Крышка				
Г		9	0.	2.48.02	21.01.	009	Крышка		1		
Г		10	0.	2.48.02	21.01.	010	Втулка Колесо				
Г		11	7 0.	2.48.02	21.01.	011					
		12	5	2.48. 02			Вал		1		
		13	,	2.48. 02			Крышка		1		
		14	Ť	02.48. 021.01.014			Крышка		1		
L	Ц	13	5 0.	2.48. 02	21.01.	015	Вал-шестерня		1		
Изв	Изм. Пист N докум. Подп. Дата				Дата		02.48.021.01	1.000CE	5		
_	gpat.	-	Юряих					Лит.	Лист	Листов	
Пр	OB.	4	Клаяский		\square	D	Редуктор			2	
	HUNGHIR- VTB. Quant		Qenesus			,	Соумпор	БГ	БГАТУ гр. 19змо		

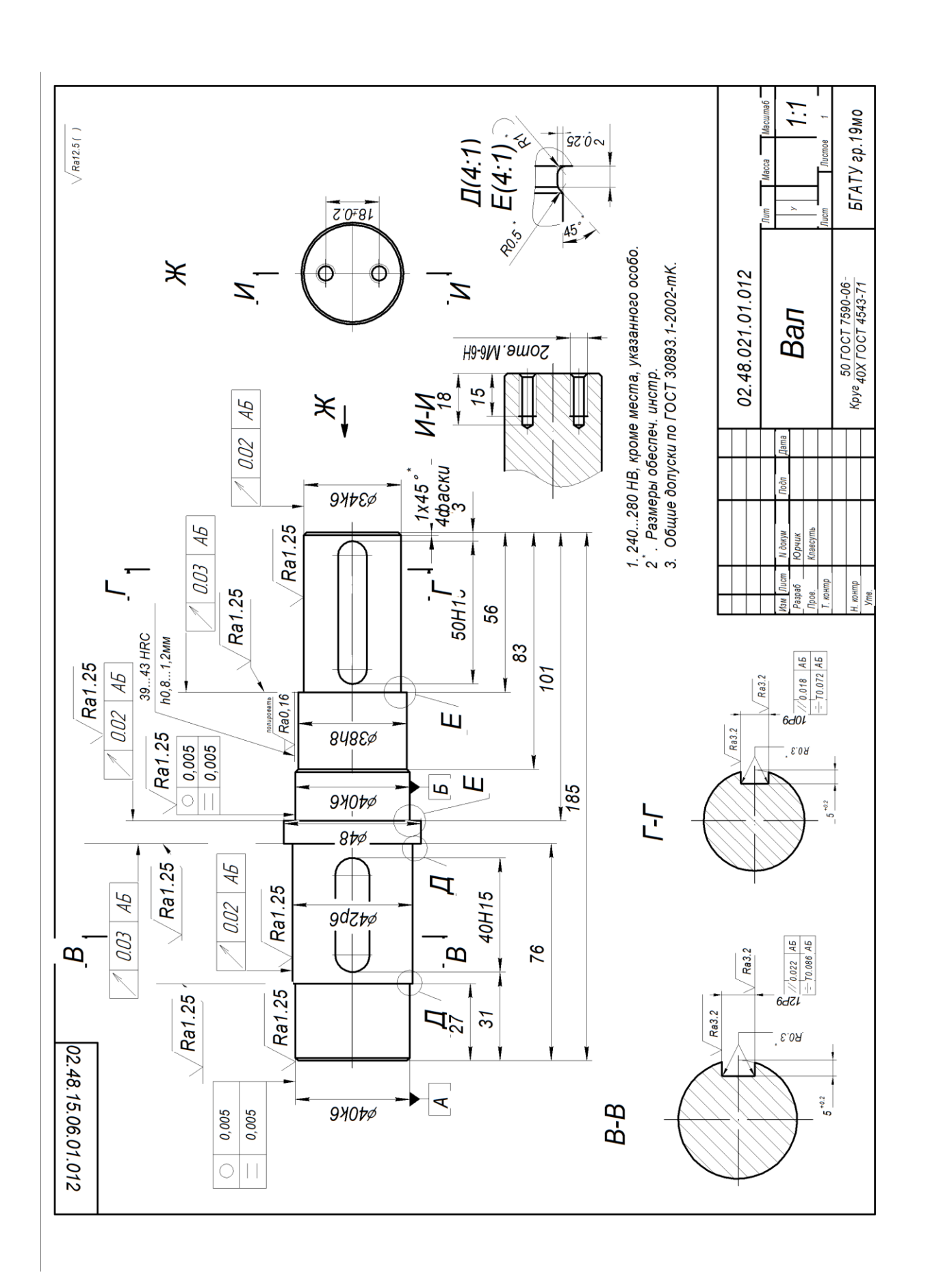
Формат	Зона	Поз.	Обозначение	Наименование	Кол.	Прі	имечание
				<u>Стандартные изделия</u>			
				Болт ГОСТ 7798-70			
		16		M6-6gx14.58	4		
		<i>17</i>		M8-6gx35.58	4		
		18		M12-6gx95.58	6		
				<i>Гайка ГОСТ 5915-70</i>			
		19		М8-6Н	4		
		20		М12-6Н	6		
				Манжета ГОСТ 8752-79			
		21		1.1-28x48-1	1		
		22		1.1-38x60-1	1		
				Подшипник ГОСТ 8338-75			
		23		206	2		
		24		208	2		
				Шайба ГОСТ 6402-70			
		25		C.6.01.15	4		
		26		C.8.01.15	4		
		27		C.12.01.15	6		
		28		Шпонка 12х8х40			
				ГОСТ 23360-78	1		
		29		Штифт 1 8х24			
				ΓΟCT 3129-70	2		
							Лист
Nar	и Ли	ICT	N докум. Подпись Дата	02.48.021.01.000СБ			2

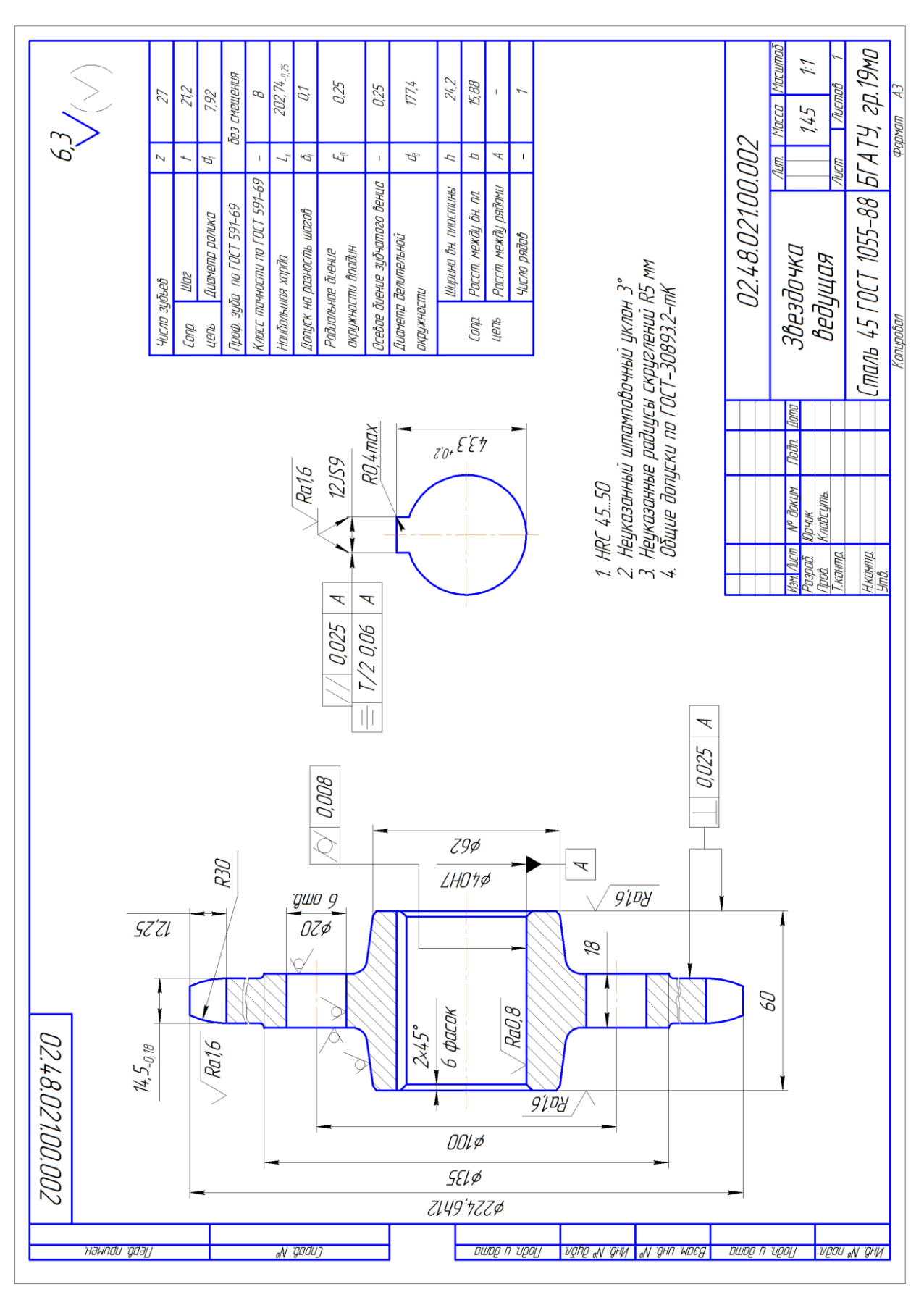
Формат	Зона	Поз.	С	бозн	ачеі	ние Наименование				Примечание
							<u>Документаці</u>	<u>ия</u>		
			0.0		00.0	2000				
<i>A1</i>			02	2.48.021	.00.00	90СБ	Сборочный чері	пеж		
							Chanaum ia adm	131313 1		
			<u> </u>				<u>Сборочные един</u>	<u>шцы</u>		
<u> </u>		1	02	.48.021.	.01.00	00 СБ	Редуктор		1	
		2	02	.48.021.	.02.00	00 СБ	Рама		1	
		3	02	.48.021	.03.00	00 СБ	Вал приводно	ой	1	
		4	02	.48.021	.04.00	00 СБ	Опора		2	
							77			
		_					<u>Детали</u>		,	
		5					Звездочка		1	
		6					Звездочка		1	
		7					Шайба	1		
		8					Шайба		1	
							<i>C</i>)			
							<u>Стандартные из</u>	<u>делия</u>		
							Болт ГОСТ 779	8-70		
							1566 2001		1	
		9					M6-6gx30.016		4	
		10	+			M12-6gx50.016			12	
		11		1			M16-6gx70.010	<i>)</i>	4	
Изм	Лис	СТ	N докум.	Подп.	Дата		02.48.021.00.000			
_	Разраб. Ю		Юрчик				Лит.			Листов
Про			Основин			Привод			1	2
Н.ко	онтр	٠.					-	БГА	\TУ i	ер.20мо











ПРИЛОЖЕНИЕ В

(справочное)

Типовые конструкции редукторов и приводов

Рисунок B1 — Редуктор цилиндрический одноступенчатый вертикальный с классическим корпусом

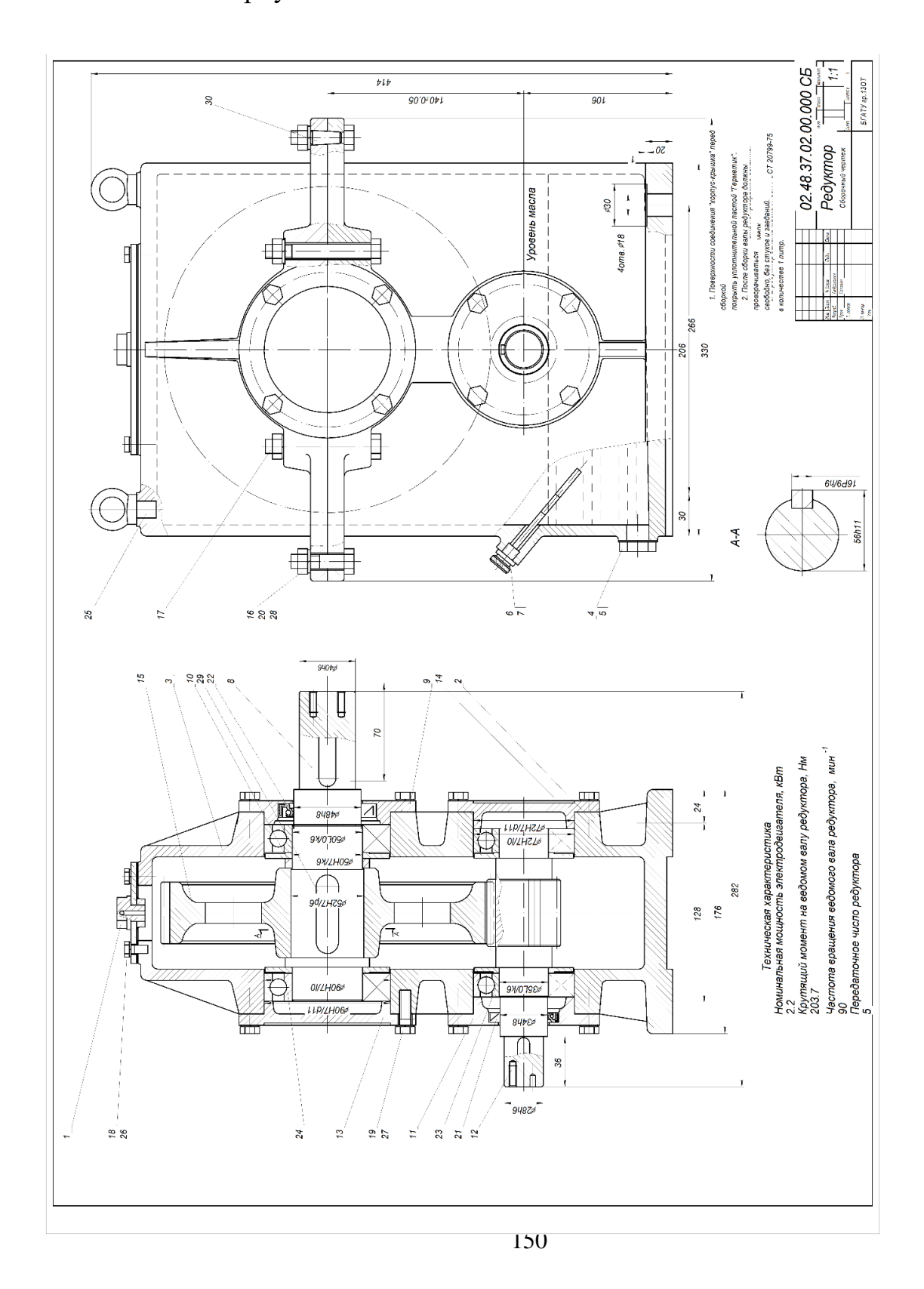


Рисунок В 2| — Редуктор цилиндрический одноступенчатый горизонтальный с классическим корпусом

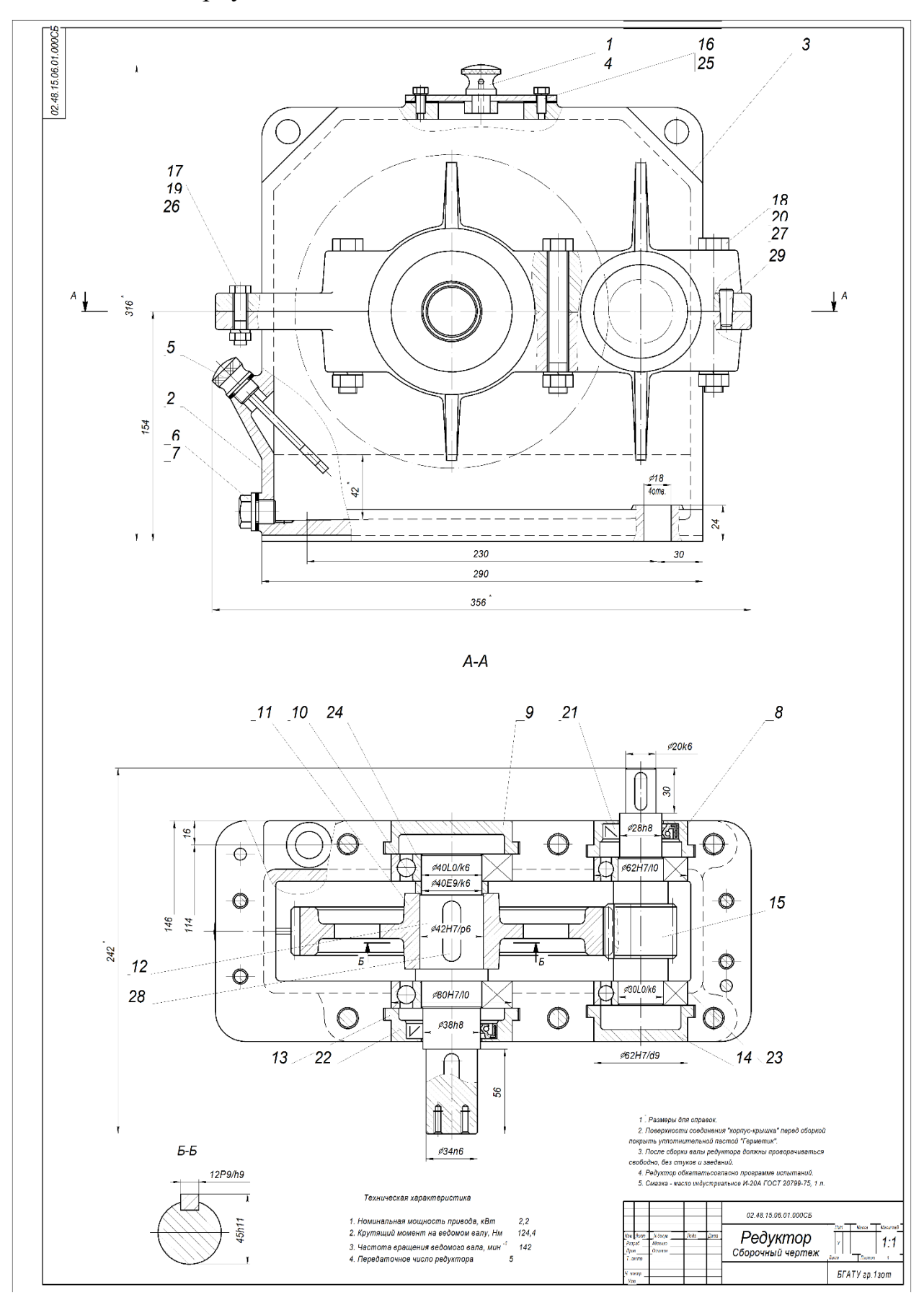


Рисунок В 3| — Редуктор цилиндрический одноступенчатый горизонтальный с вертикальным валом (разрез по осям валов)

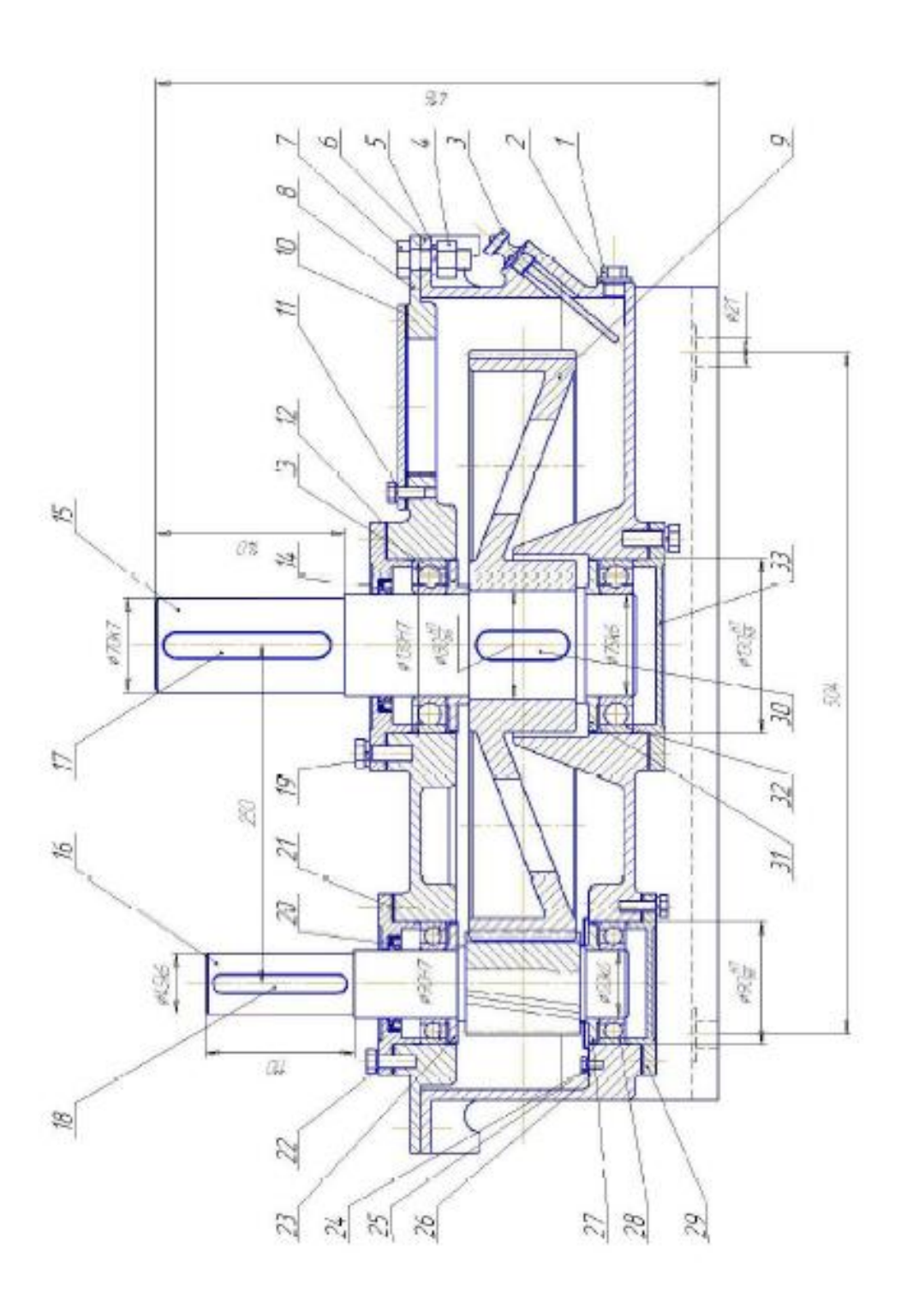


Рисунок B4 — Редуктор цилиндрический одноступенчатый горизонтальный с вертикальным валом (вид сверху)

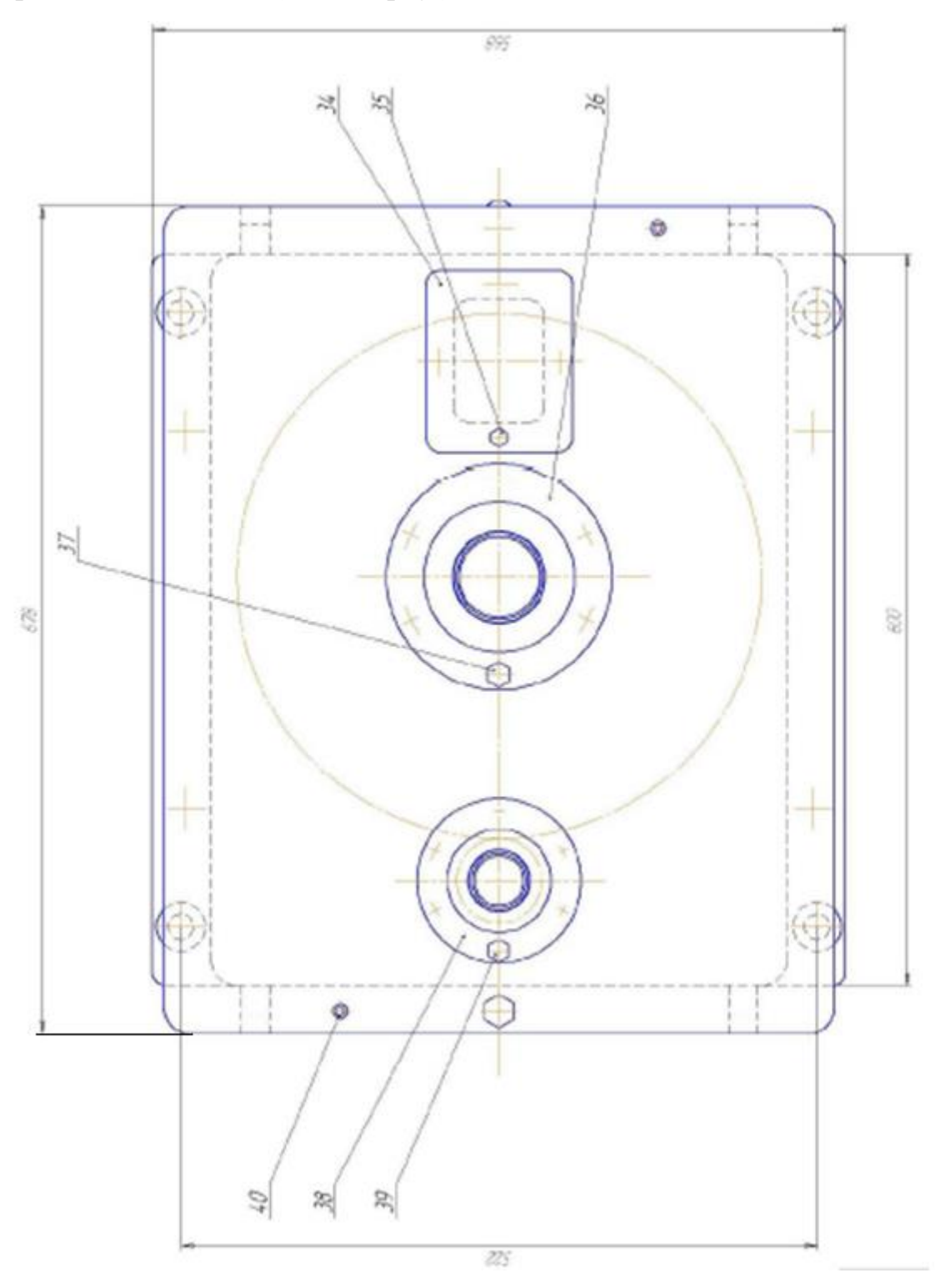
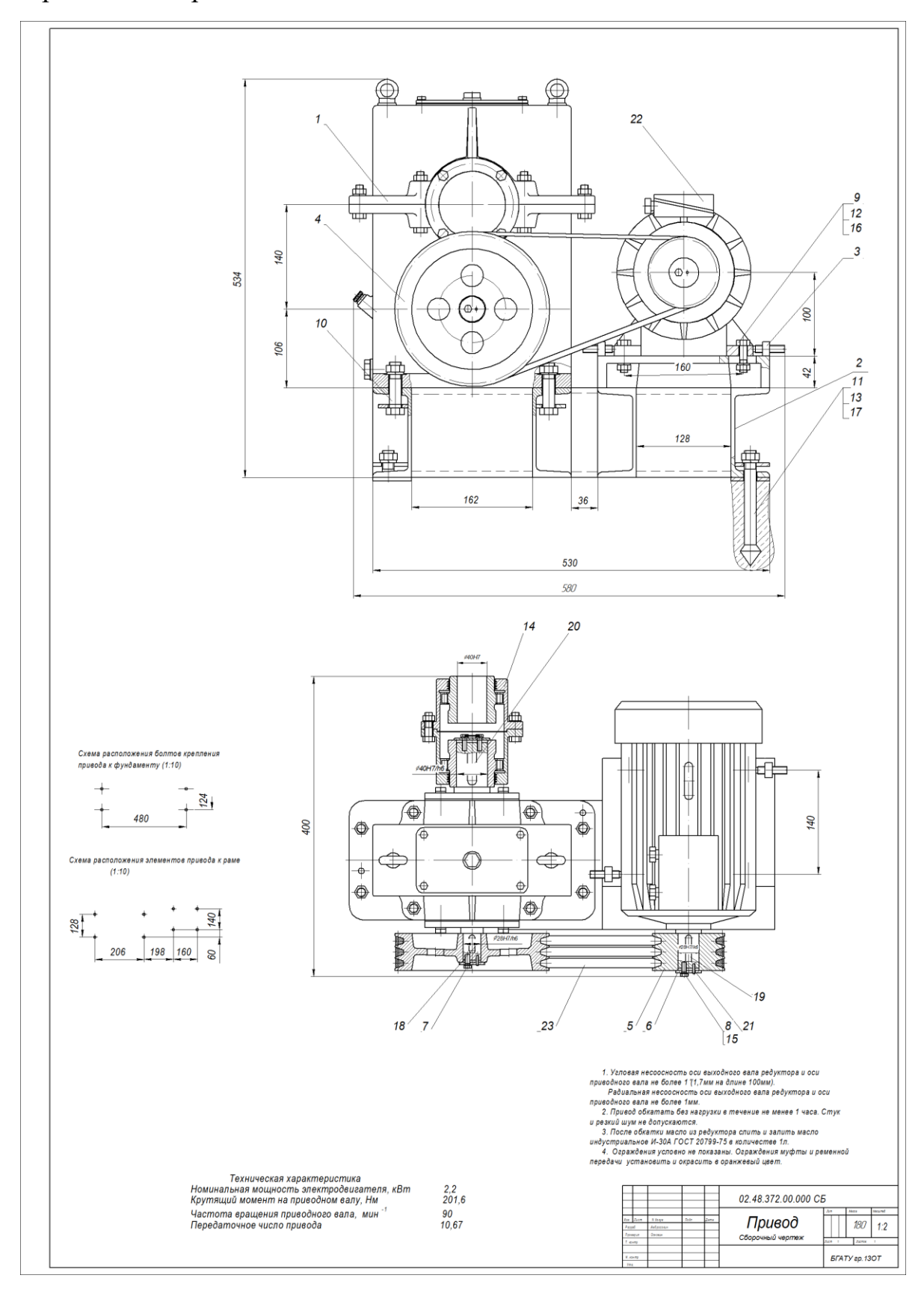


Рисунок В 5 — Станция приводная с цилиндрическим вертикальным редуктором и ременной передачей



приложение г

(справочное)

Основные нормы взаимозаменяемости при назначении номинальных размеров

Таблица Γ 1– Ряды линейных диаметров, длин, высот, глубин и других размеров (по ГОСТ 6636-69)

Размеры в миллиметрах

									газ	меры в м	иллимец
Ra 5	Ra10	Ra20	Ra40	Ra 5	Ra10	Ra20	Ra40	Ra 5	Ra10	Ra20	Ra40
(R'5)	(R'10)	(R'20)	(R'40)	(R'5)	(R'10)	(R'20)	(R'40)	(R'5)	(R'10)	(R'20)	(R'40)
1,0	1,0	1,0	1,0	10	10	10	10	100	100	100	100
-,-		_,~	1,05				10.5				105
		1,1	1,1			11	11			110	110
		1,1	1,15				11.5			110	120
	1,2*	1,2**	1,2		12*	12**	12		125	125	125
	1,2	1,2	1,3		1-	12	13		120	120	130
		1,4	1,4			14	14			140	140
		,	1,5				15				150
1,6	1,6	1,6	1,6	16	16	16	16	160	160	160	160
			1,7				17				170
		1,8	1,8			18	18			180	180
			1,9				19				190
	2,0	2,0	2,0		20	20	20		200	200	200
			2,1				21				210
		2,2	2,2			22	22			220	220
			2,4				24				240
2,5	2,5	2,5	2,5	25	25	25	25	250	250	250	250
			2,6				26				260
		2,8	2,8			28	28			280	280
			3,0				30				300
	3,2	3,2	3,2		32	32	32		320	320	320
			3,4				34				340
		3,6	3,6			36	36			360	360
			3,8				38				380
4,0	4,0	4,0	4,0	40	40	40	40	400	400	400	400
			4,2				42				420
		4,5	4,5			45	45			450	450
			4,8				48				480
	5,0	5,0	5,0		50	50	50		500	500	500
			5,3				53				530
		5,6	5,6			56	56			560	560
			6,0				60				600
6,3	6,3	6,3	6,3	63	63	63	63	630	630	630	630
			6,7				67				670
		7,1	7,1			71	71			710	710
			7,5				75				750
	8,0	8,0	8,0		80	80	80		800	800	800
			8,5				85				850
		9,0	9,0			90	90			900	900
			9,5				95				950
	1	1	1	1		1	1				

Примечание :1.* размер относится к ряду R"10;** размер относится к ряду R"20; 2.Ряд R"20 является предпочтительным

приложение д

(справочное)

Кинематический и энергетический расчеты привода. Справочные материалы

Таблица Д1. Значения КПД механических передач и элементов привода

Передача	КПД
Зубчатая передача цилиндрическими	0,96-0,98
колесами (η):	
Цепная открытая (η)	0,90-0,95
Ременная с клиновым ремнем(η):	0,95-0,97
Пара подшипников (η)	0,99-0,995
Муфта (η)	0,98

Таблица Д 2. Рекомендуемые значения передаточного отношения механических передач

Ременная передача, $u_{\text{рем}}$	Цепная передача,	Зубчатая передача, u_{3y6}
	$u_{ m ext{ iny Len}}$	
1,8- 3,2	2,5-5,0	2,8- 5,6

Примечания:

При проектировании механичесих передач приводов серийного и массового производства следует принимать передаточные из ряда: для ременных передач -1,8; 2,2; 2,5; 2,8; 3,2; для зубчатых передач-2,8; 3,15; 3,55;4,0; 4,55; 5,0; 5,6.

Таблица ДЗ. Двигатели асинхронные короткозамкнутые трехфазные серии 4А (по ГОСТ 19523-81)

Номинальная			Син	хронная частот	га вращения <i>п</i> с, мин	-1		
мощность	3000		1500)	1000		750	
<i>P</i> _∍ , B⊤	Тип двигателя, 4A	$n_{\rm ac} (d)_9$	Тип двигателя, 4A	$n_{\rm ac} (d)_9$	Тип двигателя, 4А	$n_{\rm ac}(d)_9$	Тип двигателя, 4A	$n_{\rm ac}(d)_{\scriptscriptstyle 3}$
$0,25 \times 10^3$	56В2У3	2760(11)	63А4У3	1370(14)	63В6У3	890(14)	71В8У3	680(19)
0.37×10^3	63А2У3	2740(14)	63В4У3	1365(14)	71А6У3	910(19)	80А8У3	675(22)
$0,55\times10^{3}$	63В2У3	2710(14)	71А4У3	1390(19)	71В6У3	900(19)	80В8У3	700(22)
$0,75\times10^3$	71А2У3	2840(19)	71В4У3	1390(19)	80А6У3	915(22)	90LA8У3	700(24)
$1,10\times10^3$	71В2У3	2810(19)	80А4У3	1420(19)	80В6У3	920(22)	90LB8У3	700(24)
$1,50\times10^3$	80А2У3	2850(22)	80В4У3	1415(22)	90L6У3	935(24)	100L8У3	700(28)
$2,2\times10^{3}$	80В2У3	2850(22)	90L4У3	1425(22)	100L6У3	950(28)	112MA8У3	700(32)
$3,0\times10^{3}$	90L2У3	2840(24)	100S4У3	1435(24)	112MA6У3	955(32)	112MB8У3	700(32)
$4,0\times10^{3}$	100S2У3	2880(28)	100L4У3	1430(28)	112MB6У3	950(32)	132S8У3	720(36)
$5,5\times10^3$	100L2У3	2880(28)	112М4У3	1445(28)	132S6У3	965(36)	132M8Y3	720(36)
$7,5\times10^3$	112М2У3	2900(32)	132S4У3	1455(32)	132М6У3	970(36)	160S8У3	730(42)
$11,0\times10^3$	132М2У3	2930(36)	132М4У3	1450(36)	160S6У3	970(42)	160М8У3	730(42)
$15,0\times10^3$	160S2У3	2930(42)	160S4У3	1460(42)	160М6У3	970(42)	180М8У3	730(42)

Примечания:

- 1. В скобках- диаметр вала электродвигателя в мм, $n_{\rm ac}$ асинхронная частота вращения вала двигателя в мин⁻¹.
- 2. Клиатическое исполнение двигателя в его обозначении указывается в соответствии с ГОСТ15150-69 и ГОСТ 15543.1-89 после обозначения типа двигателя: У-умеренный климат;1-применение на открытом воздухе;2-использование под навесом или неотапливоемом помещении.
- 3. Монтажное исполнение двигателей в его обозначении указывается после обозначения климатическое исполнение и по ГОСТ 2479-79(СТ СЭВ 246-76) обозначается: 1M1-крепление на лапах; 1M3- крепление фланцевое; 1M2-фланцевое или на лапах.
- 4. Способ крепления двигателя, определяющее расположение его вала, в обозначении двигателя указывается в обозначении монтажного исполнение и по ГОСТ 2479-79(СТ СЭВ 246-76) обозначается после обозначения крепления: 0 8-любое; 01-вертикально вниз; 03-вертикально вверх .
- 5. Выбираем электродвигатель с номинальной мощностью Рэл.дв. \geq Ртр;
- 6. При ориентировочных расчетах можно с учетом требуемой частоты вращения привода $n_{\rm T}$ назначать: при $n_{\rm T} \ge 100$ мин⁻¹ выбирать двигатель с синхронной частотой вращения 1500 мин⁻¹, 3000 мин⁻¹; при $50 < n_{\rm T} < 100$ мин⁻¹ выбирать двигатель с синхронной частотой вращения 1000 мин⁻¹; при $n_{\rm T} \le 50$ мин⁻¹ выбираем двигатель с синхронной частотой вращения 750 мин⁻¹.
- 7. Пример условного обозначения двигателя основного исполнения типа4AM160S2, предназначенного для использования в условиях умеренного климата с размещением под навесом или в неотапливаемом помещении, с креплением на лапах, с любым расположением вала" Двигатель 4AM160S2У3 IM 1081 ГОСТ 19523-81"

Таблица Д4. Двигатели асинхронные короткозамкнутые трехфазные серии АИР (по ТУ РБ-05755950-420-93)

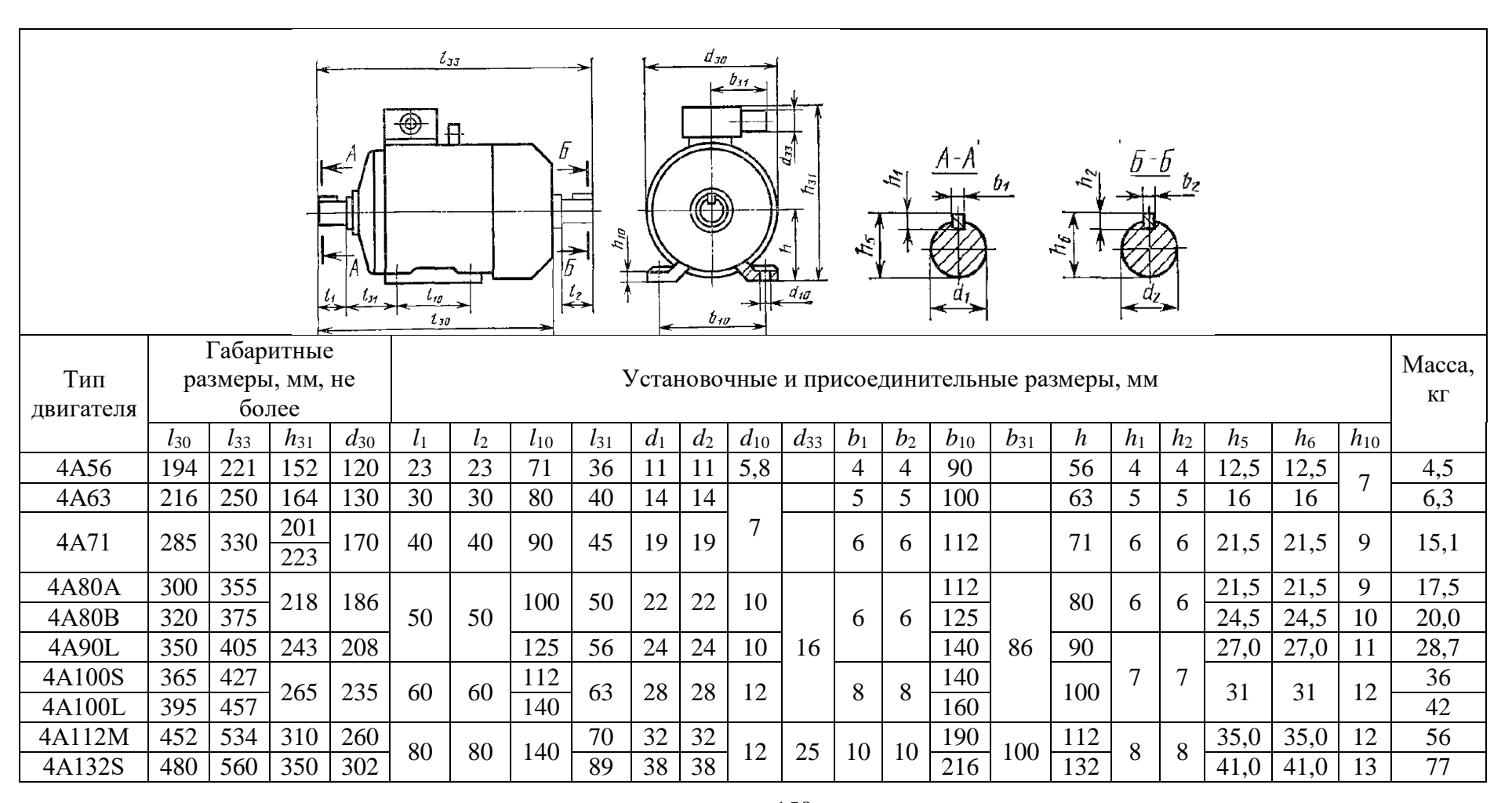
Номинальная			Син	хронная часто	га вращения n_c , мин	-1		
мощность	3000		1500)	1000		750	
Р₃, Вт	Тип двигателя, АИР	$n_{\rm ac} (d)_9$	Тип двигателя, АИР	$n_{\rm ac} (d)_9$	Тип двигателя, АИР	$n_{\rm ac}(d)_9$	Тип двигателя, АИР	$n_{\rm ac}(d)_9$
0,37	63A2	2730(14)	63A4	1320(14)	71A6	900(19)	80A8	680(22)
0,55	63B2	2730(14)	71A4	1360(19)	71B6	920(19)	80B8	680(22)
0,75	71A2	2820(19)	71B4	1350(19)	80A6	920(22)	90LA8	700(24)
1,1	71B2	2800(19)	80A4	1420(22)	80B6	920(22)	90LB8	710(24)
1,5	80A2	2880(22)	80B4	1410(22)	90L6	940(24)	100L8	710(28)
2,2	80B2	2860(22)	90L4	1430(24)	100L6	940(28)	112MAB	700(32)
3,0	90L2	2860(24)	100S4	1410(28)	112MA6	950(32)	112MB8	700(32)
4,0	100S2	2850(28)	100L4	1410(28)	112MB6	950(32)	132S8	700(38)
5,5	100L2	2850(28)	112M4	1430(32)	132S6	960(38)	132M8	710(38)
7,5	112M2	2900(32)	132S4	1440(32)	132M6	950(38)	160S8	720(48)
11,0	132M2	2910(38)	132M4	1450(38)	160S6	970(48)	160M8	720(48)
15,0	160S2	2920(42)	160S4	1460(48)	160M6	970(48)	180M8	730(55)

Примечания:

- 2. В скобках диаметр вала электродвигателя в мм; $n_{\rm ac}$ асинхронная частота вращения вала двигателя в мин⁻¹.
- 3. Климатическое исполнение двигателя и категория размещения в его обозначении указывается в соответствии с ГОСТ15150-69 и ГОСТ 15543.1-89 после обозначения типа двигателя: У-умеренный климат;1-применение на открытом воздухе;2-использование под навесом или неотапливоемом помещении.
- 4. Монтажное исполнение двигателей в его обозначении указывается после обозначения климатическое исполнение и по ГОСТ 2479-79(СТ СЭВ 246-76)обозначается:1М1-крепление на лапах;1М3- крепление фланцевое;1М2-фланцевое или на лапах.
- 5. Способ крепления двигателя, определяющее расположение его вала, в обозначении двигателя указывается в обозначении монтажного исполнение и по ГОСТ 2479-79(СТ СЭВ 246-76) обозначается после обозначения крепления: 0 8-любое; 01-вертикально вниз; 03-вертикально вверх.
- 6. Выбираем электродвигатель с номинальной мощностью $P_{\text{эл.дв.}} \ge P_{\text{тр}}$;
- 7. При ориентировочных расчетах можно с учетом требуемой частоты вращения привода $n_{\rm T}$ назначать: при $n_{\rm T} \ge 100$ мин⁻¹ выбирать двигатель с синхронной частотой вращения 1500 мин⁻¹, 3000 мин⁻¹; при $50 < n_{\rm T} < 100$ мин⁻¹ выбирать двигатель с синхронной частотой вращения 1000 мин⁻¹; при $n_{\rm T} \le 50$ мин⁻¹ выбираем двигатель с синхронной частотой вращения 750 мин⁻¹.

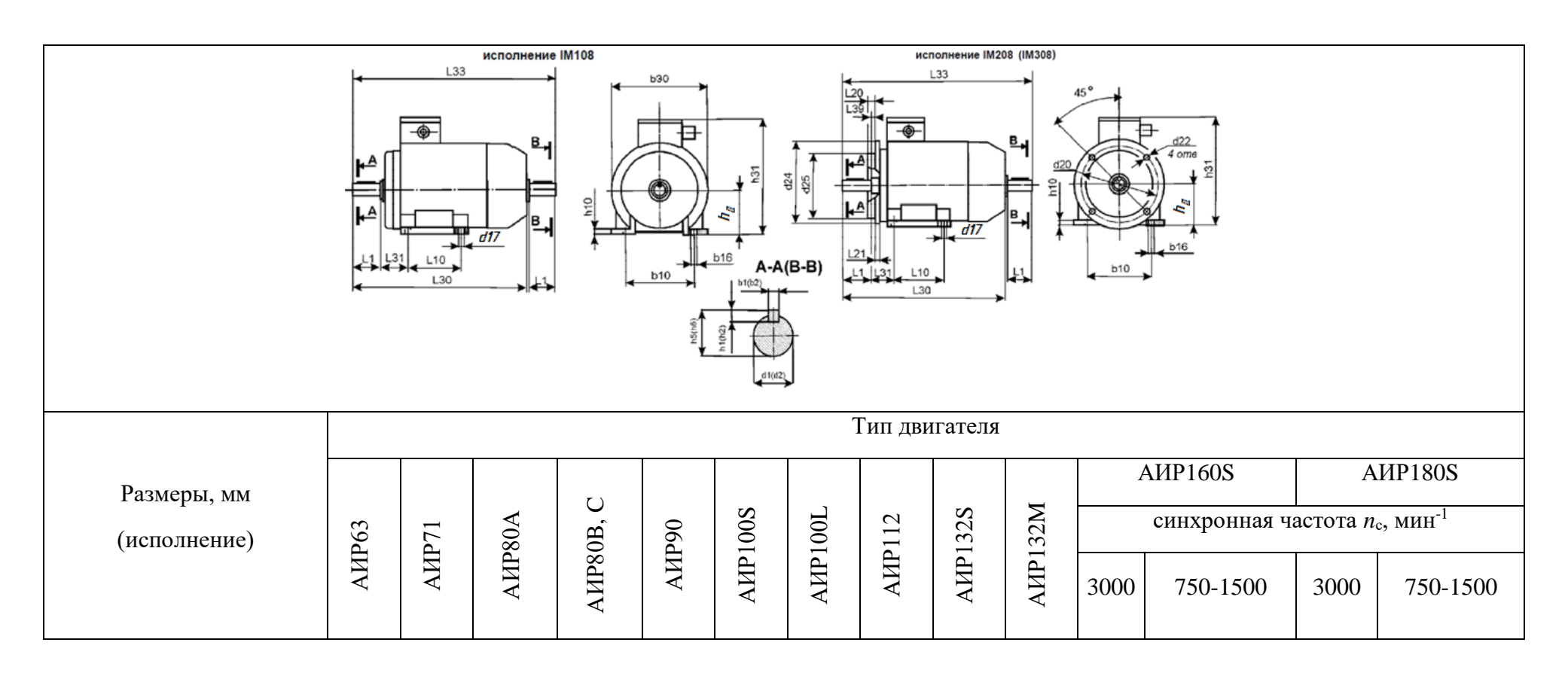
8. Пример условного обозначения двигателя основного исполнения типа АИР 100L2,предназначенного для использования в условиях умеренного климата под навесом или в неотапливаемом помещении,с креплением на лапах,с любым расположением вала,с рабочим напряжением 380 В:"Двигатель АИР 100L2 У2 IM 1081 380В ТУ16-525.564-84"

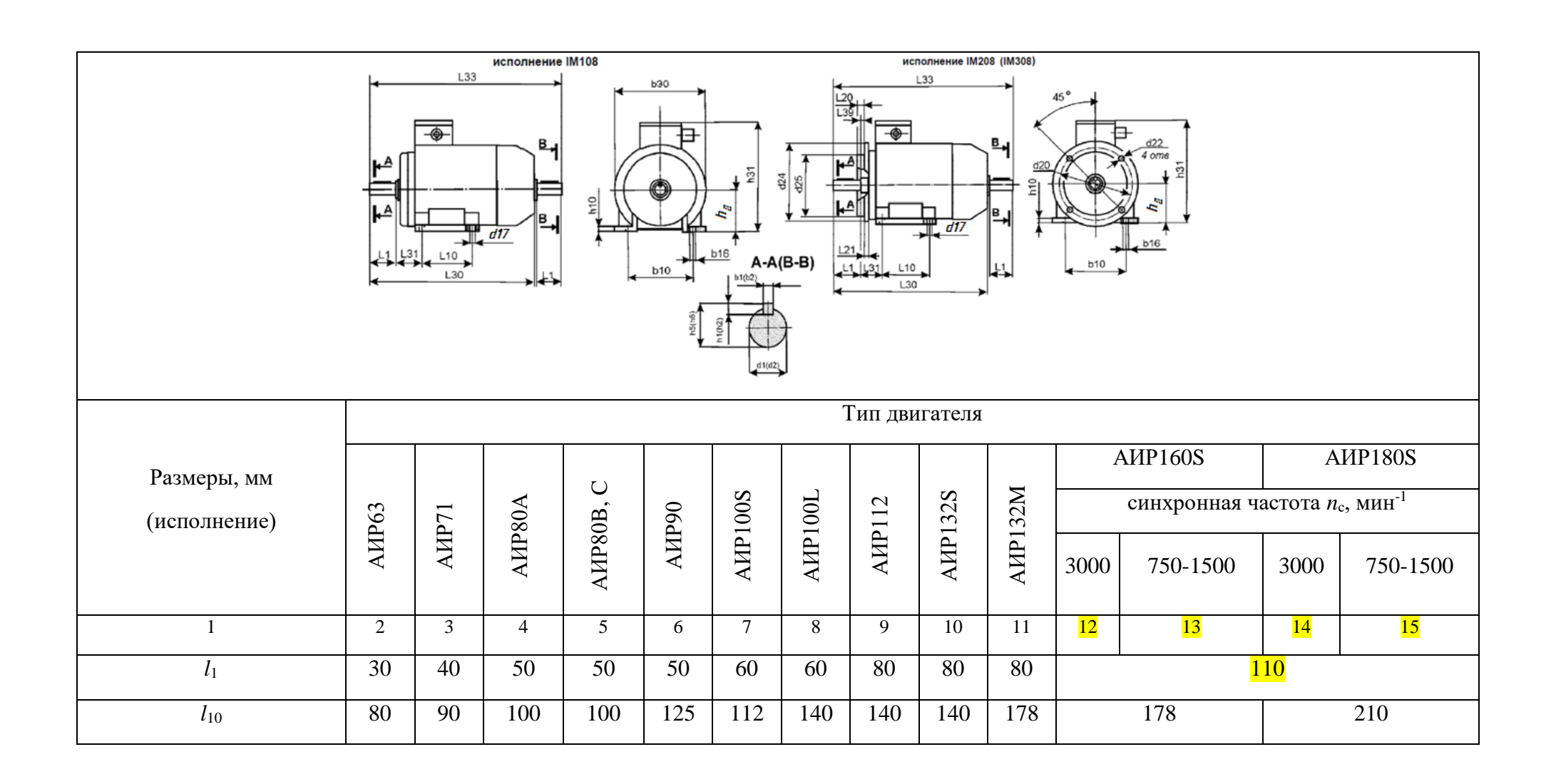
Таблица Д5. Электродвигатели серии 4А. Основные размеры и масса (по ГОСТ 19523-81)



4A132M	530	610					170																93
4A160S	624	737	120	358			1/0	108	10	42			1.4	10	254	152	160	0		51,5	45 O	10	135
4A160M	667	780	430	338	110	110	210	108	48	42	15	42	14	12	234	153	100	9		51,9	43,0	10	160
4A180M	702	818	470	410			241	121	55	48			16	14	279	180	180	10	9	59,0	51,5	20	195

Таблица Д6. Электродвигатели серии АИР. Основные размеры и масса (по ТУ РБ-05755950-420-93)





Продолжение таблицы Д 6

	1	2	3	4	5	6	7	8	9	10	11	12	13	14	15
	d_{17}	7,0	7,0	10,0	10,0	10,0	12,0	12,0	12,0	12,0	12,0			15,0	
l_{20}	IM208, IM308	3,5	3,5	3,5	3,5	4,0	4,0	4,0	4,0	4,0	5,0			5,0	
	l_{21}	10	10	10	10	12	14	14	15	19	19			13	
	<i>l</i> ₃₀	237	272,5 332*	296,5 368*	320,5 392*	337 401*	360 430*	391 460*	433	463	501		680		710
	l_{31}	40	45	50	50	56	63	63	70	89	89			108	
	<i>l</i> ₃₃	263,0	316,5	350,0	374,0	390,0	424,0	455,0	516,0	546,0	584,0		785		815
	<i>l</i> ₃₉	0	0	0	0	0	0	0	0	0	0		0		0
	b_1	5	6	6	6	8	8	8	10	10	10	12	14	12	14
	b_2			O					10	10	10			12	
	b_{10}	100	112	125	125	140	160	160	190	216	216			254	
	b_{16}	10	10	12	12	12	16	16	16	16	16			20	
	b_{30}	142	160	180	180	198	226	226	250	287	287			350	
	$h_{\mathcal{A}}$	63	71	80	80	90	100	100	112	132	132			160	

Окончание таблицы Д 6

	1	2	3	4	5	6	7	8	9	10	11	12	13	14	<mark>15</mark>
	h_1	5	6	6	6	7	7	7	8	8	8	8	9	8	9
	h_2		Ü	Ü				,	C					8	
	h_5	16,0	21,5	24,5	24,5	27,0	31,0	31,0	35,0	41,0	41,0	45	51,5	45	51,5
	h_6	,	,	,	,	,	,	,	,	,	,			45	
, i	h_{10}	8	8	9	9	10	12	12	14	16	16			20	
j	h_{31}	161	188 225*	204,5 241,5*	204,5 241,5*	230,0 267*	246,5 288*	246,5 288*	276	316	316			405	
	d_1	14	19	22	22	24	28	28	32	38	38	42	48	42	48
	d_2													42	
d_{20}	IM208, IM308	130	165	165	165	215	215	215	265	300	300			300	
d_{22}	IM208, IM308	10	12	12	12	15	15	15	15	19	19			19	
d_{24}	IM208, IM308	160	200	200	200	250	250	250	300	350	350			350	
d_{25}	IM208, IM308	110	130	130	130	180	180	180	230	250	250	250			

Примечания

- 1. Монтажные исполнения двигателей и способы его крепления по ГОСТ 2479-79(СТ СЭВ 246-76): IM108 крепление на лапах, расположение двигателя в пространстве-любое; IM208 крепление фланцевое, расположение двигателя в пространстве-любое; IM308 крепление фланцевое или на лапах, расположение двигателя в пространстве любое.
- 2. *Размеры для двигателей со встроенным электромагнитным тормозом.

приложение Е

(справочное)

Расчет цепной передачи. Рекомендации и справочные материалы

E1. Рекомендации к расчету коэффициента эксплуатации Коэффициент эксплуатации учитывает условия применения цепной передачи и определяется по формуле

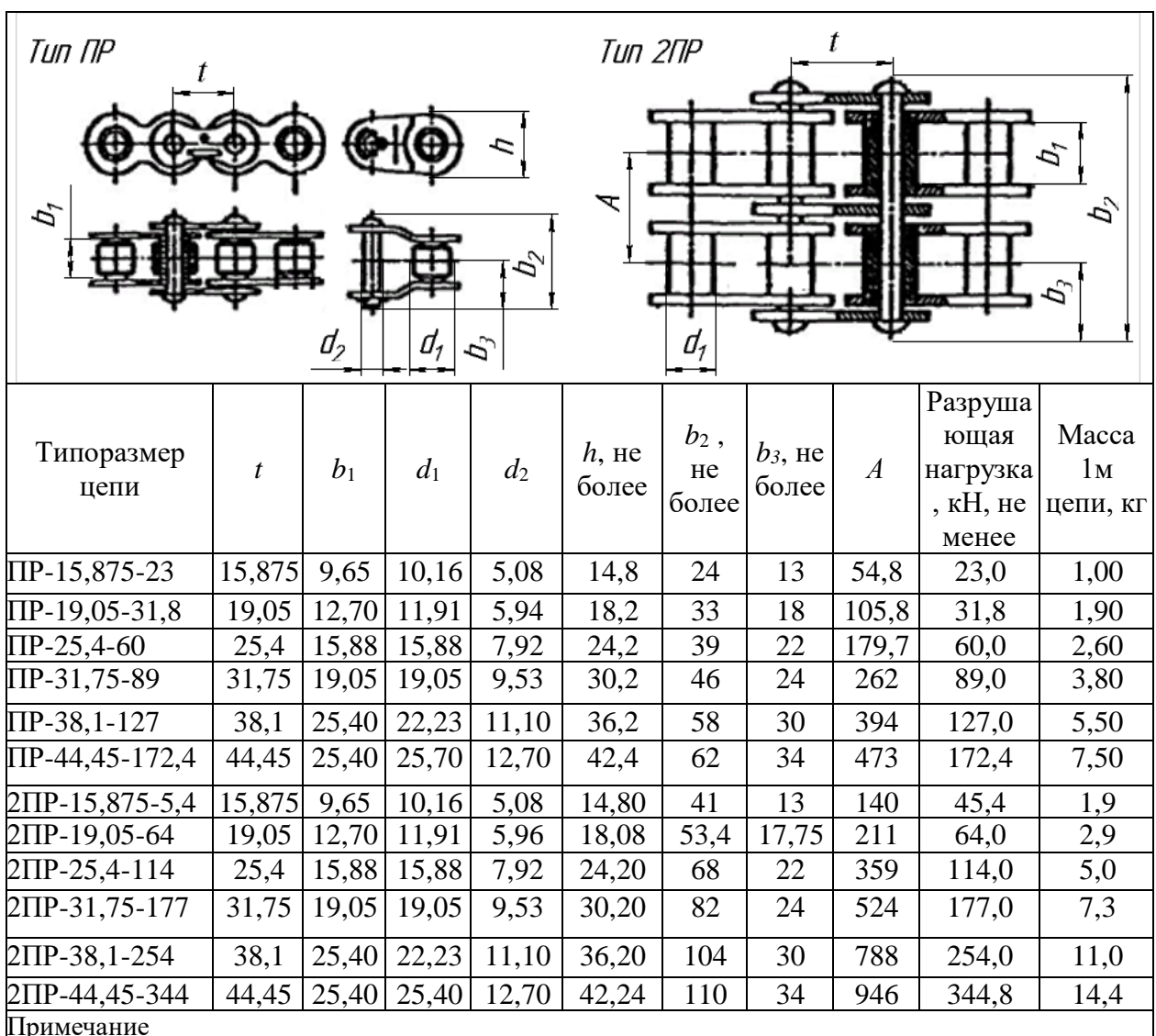
$$K_9 = K K_a K_c K_{\gamma} K_{\rho} K_{per}$$
,

- где K коэффициент, учитывающий характер нагрузки (при спокойной нагрузке K=1, при толчках K=1,2-1,5);
 - K_a коэффициент, учитывающий влияние межосевого расстояния $[K_a=1 \text{ при } a=(30-50)t, K_a=0.8 \text{ при } a=(60-80)t];$
 - $K_{\rm c}$ коэффициент вида смазывания (при смазывании погружением $K_{\rm c}{=}0.8$, при капельном смазывании $K_{\rm c}{=}1$, при периодическом смазывании $K_{\rm c}{=}1.5$);
 - K_{γ} коэффициент наклона линии центров звездочек к горизонту (при $\gamma \leq 60^{\circ}~K_{\gamma} = 1,$ при $\gamma > 60^{\circ}~K_{\gamma} = 1,25$);
 - $K_{\rm p}$ коэффициент режима работы (при односменной работе $K_{\rm p}=1$, при двухсменной $K_{\rm p}=1,25$, при трехсменной $K_{\rm p}=1,5$);
 - $K_{\rm per}$ коэффициент способа регулирования натяжения цепи (при регулировании натяжными звездочками $K_{\rm per}=1$, при периодическом регулировании $K_{\rm per}=1,15$, при нерегулируемой передаче $K_{\rm per}=1,25$).

Таблица Е 2. Допускаемое среднее давление р, МПа, в шарнирах роликовых (втулочных) цепей

Шаг цепи t,	[p]], МПа, п	ри частот	е вращені	ия меньшо	ей звездо	чки n_1 , мин	I ⁻¹
MM	50	200	400	600	800	1000	1200	1600
12,7–15,875	35	31,5	28,5	26	24	22,5	21	18,5
19,05–25,4	35	30	26	23,5	21	19	17,5	15
31,75–38,1	25	29	24	21	18,5	16,5	15	_

Таблица ЕЗ. Цепи приводные роликовые типа ПР (по ГОСТ 13568–75). Размеры в мм



^{1.} Пример обозначения цепии приводной роликовой однорядной с шагом 15,875 мм и расстоянием между внутренними пластинами $b_1 = 9,65$ мм и разрушающей нагрузкой = 23,0 кН Цепь ПР-15,875-9,65 ГОСТ 13568-97

Таблица Е4. Предельные частоты вращения ведущей звездочки, мин⁻¹

Число зубьев ведущей	Значени	е частоты	вращения	я звездочі	ки п _{1пред} , м	ин ⁻¹ , при	и шаге цеп	и <i>t</i> , мм
звездочки z ₁	12,7	15,875	19,05	25,4	31,75	38,1	44,45	50,8
20	2780	2000	1520	1000	725	540	430	350
25	2900	2070	1580	1030	750	560	445	365
30	3000	2150	1640	1070	780	580	460	375

Таблица Е5. Нормативный средний коэффициент запаса прочности [S] для приводных роликовых цепей ПРЛ и ПР (при $z_1 = 17$)

-	inpute gainst permitted but it is the first of the												
Шаг цепи		y	Частота вращения n_1 меньшей звездочки, мин ⁻¹										
t, mm	50	100	200	300	400	500	600	800	1000				
12,7	7,1	7,3	7,6	7,9	8,2	8,5	8,8	9,4	10,0				
15,875	7,2	7,4	7,8	8,2	8,6	8,9	9,3	10,1	10,8				
19,05	7,2	7,4	7,8	8,2	8,6	8,9	9,3	10,1	10,8				
25,4	7,3	7,6	8,3	8,9	9,5	10,2	10,8	12,0	13,3				
31,75	7,4	7,8	8,6	9,4	10,2	11,0	12	13,0	15,0				
38,1	7,5	8,0	8,9	9,8	10,8	11,8	12,9	14					
44,45	7,6	8,1	9,2	10,3	11,4	12,5	13,6						

Таблица Е 6. Материалы и термическая обработка зубьев звездочек

			Допускаемые	
Материал	Термическая	Твердость	контактные	Условия работы звездочек
Материал	обработка	поверхности	напряжения	э словия расоты звездочек
			[σ _н],МПа	
Чугун	Закалка,	HB 321–429	550-650	Ведомые звездочки с большим
СЧ24,	отпуск			числом зубьев ($Z_2 > 50$) при
СЧ28				скорости $v = 3$ м/с
Сталь 45	Улучшение	HB 170–210	500-600	Ведомые звездочки с большим
				числом зубьев ($Z_l > 50$) при
				скорости до 5 м/с
Сталь 45,	Закалка,	HRC 45–50	800–900	Ведущие и ведомые звездочки
45Γ, 50,	отпуск			$(Z_{I(2)} < 40)$, работающие без резких
50Γ				толчков и ударов
Сталь 15,	Цементация,	HRC 55–60	930–1030	Ведущие и ведомые звездочки с
20, 20X	закалка,			малым числом зубьев $(Z_{I(2)} \le 19)$
	отпуск			

приложение ж

(справочное)

Цилиндрические и конические зубчатые передачи. Справочные данные для определения допускаемых напряжений

Ж1. Рекомендуемые материалы, твердость и термообработка для цилидрических и коничесих колес

Рекомендуется принять один из перечисленных вариантов

Вариант 1.

Материал колес: стали 45, 40Х; 40ХН;

Твердость колес: колеса – $HB_2 = 235...262 HB$;

шестерни- $HB_1 + 10...15 \le 302$

Термообработка(TO): улучшение Заготовка- поковка или штамповка

Вариант 2.

Материал колес: стали 40ХН;35ХМ

Твердость колес: колеса – $HB_2 = 269...302 HB$;

шестерни- HRC $_1 = 45 ...53$

Термообработка(ТО): колеса - улучшение; шестерни- улучшение + ТВЧ;

Заготовка- поковка или штамповка

Вариант 3.

Материал колес: стали 40Х; 40ХН;35ХМ

Твердость колес: колеса и шестерни – 45 ...53 HRC

Термообработка(ТО): улучшение + ТВЧ (У+ТВЧ); ;

Заготовка- поковка или штамповка

Вариант 4.

Материал колес: стали 20ХН2М;18ХГТ;25ХГНМ

Твердость колес: колеса и шестерни – 56 ...63 HRC

Термообработка(ТО): улучшение +цементация + ТВЧ (У+Ц+ТВЧ);

Заготовка- поковка или штамповка

Принятые сокращения: TBЧ-закалка токами высокой частоты; Y — улучшение; U— цементация.

Таблица Ж2. Механические характеристики сталей некоторых марок, используемых для изготовления зубчатых колес и других деталей машин колес [1, таблица 4.1]

	-		Тверд	ость	Пре	дел					
Марка стали	Диаметр D, мм	Ширина S, мм	сердцевины (НВ)	поверхности (HRC ₃)	прочности	текучести От	Термическая обработка				
					MI	la					
27	T = = = ×	T 6	Поковка или	и штамповк		270	1.7				
35	Любой	Любая	163–192	_	550	270	Нормализация				
45	То же	То же	179–207	_	600	320	То же				
45	125	80	235–262	_	780	540	Улучшение				
45	80	50	269–302	—	890	650	То же				
40X	200	125	235–262		790	640	"				
40X	125	80	269–302		900	750	"				
40X	125	80	269–302	45–50	900	750	Улучшение + закалка при нагреве ТВЧ				
35XM	315	200	235–262	_	800	670	Улучшение				
35XM	200	125	269-302	_	920	790	То же				
35XM	200	125	269–302	48–53	920	790	Улучшение + закалка при нагреве ТВЧ				
40XH	315	200	235–262	_	800	630	Улучшение				
40XH	200	125	269-302	_	920	750	То же				
40XH	200	125	269–302	48–53	920	750	Улучшение + закалка при нагреве ТВЧ				
50XH	200	125	269-302	50–56	1100	900	То же				
20XH2M	200	125	300–400	56–63	1000	800	Улучшение + цементация + закалка				
18ХГТ	200	125	300-400	56–63	1000	800	То же				
12XH3A	200	125	300-400	56–63	1000	800	"				
25ХГМ	200	125	300–400	56–63	1000	800	"				
40XH2MA	125	80	269–302	50–56	980	780	Улучшение + азотирование				
	Стальная отливка										
35Л	Любой	Любая	163-207		550	270	Нормализация				
45Л	315	200	207–235	_	680	440	Улучшение				
50ГЛ	315	200	235–262	_	850	600	То же				
Примечание —	При сплошн	ых дисках к	олес $S = b_2$.								

Таблица Ж3.Значения пределов контактной $\sigma_{H \text{lim}}$ и изгибной $\sigma_{F \text{lim}}$ выносливости и коэффициентов безопасности (Табл.4.3[1])

	Твёрдост	ть зубьев		**		0**		Γ_]	Γ = 1
Термообработка	на поверхност и	в сердцевине	Группа сталей	σ _{H limb} , ΜΠα	$S_{H\min}$	σ _{F limb} , ΜΠα	$S_{F\min}$	[о _{н]_{max}, МПа}	[σ _F] _{max} , МПа
Нормализация Улучшение	180–350 HB		40, 45, 40X, 40XH, 45XЦ, 35XM, и др.	2 HB + 70	1,1	1,8 HB	1,75	$2,8\sigma_{\mathrm{T}}$	2,7 HB
Объёмная закалка	44–54 HRC		40X, 40XH, 45XЦ, 35XM, и др.	18 HRC + 150	1,1	500		$2,8\sigma_{\mathrm{T}}$	1400
Закалка при нагреве ТВЧ по всему						900			1260
контуру (модуль $m_n > 3$)*	56–63	25–35	55ПП, У6, 35ХМ			650	1,75		1260
Закалка при нагреве ТВЧ сквозная с охватом впадины	45–55	42–50	40X, 40XH, 35XM, и др. 40X, 35XM, 40XH и др.	17 HRC* ₁₁₀₈ + 200	1.2	550		40 HRC _{пов}	1430
Азотирование	55–67 50–59	24–40 24–40	35ХЮА, 38ХМЮА, 40Х, 40ХФА, 40ХНМА и др.	1050 1050		12 HRC* _{сердц} + +300		40 HRC _{пов} 30 HRC _{пов}	1000 1000
Цементация и закалка	55–63	30–45	Цементуемые стали всех марок	23 HRC _{пов}		750	1,55	40 HRC _{пов}	1200
Нитроцементация и закалка		20.45	Молибденовые стали 25ХГМ, 25ХГНМ	23 HRC _{пов}		1000		40 HRC _{пов}	1520
	57–63	30–45	Безмолибденовые стали 25ХГТ, 30ХГТ, 35Х и др.	23 HRC _{пов}	23 HRC _{пов} 1,2		1,55	40 HRC _{пов}	1520

^{*}Распространяется на все сечения зуба и часть тела зубчатого колеса под основанием впадины. **Значения определяются по средней твердости зубьев. HRC_{пов} — твердость поверхности зуба. HRC_{сердц} — твердость сердцевины зуба.

Таблица Ж4. Базовое число циклов и в зависимости от твердости поверхности зубьев HB (HRC)

HB (HRC)	до 200 НВ	250 HB	300 HB	350 HB	40HRСэ	50HRСэ	60HRСэ		
$N_{H\mathrm{lim}}$	10×10^6	17×10^{6}	25×10^{6}	36×10^6	44×10^{6}	84×10^{6}	140×10^6		
$N_{F m lim}$	4×10^6								

Ж5. Значения коэффициента запаса запаса, $S_{H_{\min}}$ (Стр.106[3])

При нормализации, улучшении или объемной закалке зубчатого колеса получают однородную структуру материала, значение коэффициента $S_{H \min} = 1,1.$

При поверхностной закалке зубьев или цементации получают неоднородную структуру материала, значение коэффициента $S_{H \min} = 1,2$.

Таблица Ж6. Значения коэффициентов приведения K_{HE} и K_{FE} для типовых

Типовой режим нагружения (рис 4.1)	Термообработка	K_{HE}	Термообработка	K_{FE}	Термообработка	K_{FE}
Постоянный Тяжелый Средний Легкий	Любая	1 0,5 0,25 0,125	Улучшение, нормализация, азотирование	1 0,3 0,143 0,038	Закалка объёмная, поверхностная, цементация	1 0,2 0,1 0,016

режимов нагружения (Табл.4.4[1])

Таблица Ж7. Значения коэффициентов $S_{F \min}$ и Y_{α} при изгибе [3,c.106]

Минимальный коэффициент запаса прочности $S_{F\, \mathrm{min}}$ для зубчатых колес, изготовленных из поковок, принимают равным 1,75, из литых заготовок — 2,3).

Коэффициент Y_{α} , учитывающий влияние двустороннего приложения нагрузки, принимаемый равным 1 при одностороннем приложении нагрузки и 0,7-0,8 — при двустороннем приложении нагрузки (большее значение при твердости рабочих по-верхностей зубьев выше $350~\mathrm{HB}$).

Таблица Ж6. Значения коэффициентов K_{HE} и K_{FE} для типовых режимов нагружения [1,табл.4.4]

Типовой режим нагружения (рис 4.1)	Термообработка	K_{HE}	Термообработка	K_{FE}	Термообработка	K_{FE}
Постоянный Тяжелый Средний Легкий	Любая	1 0,5 0,25 0,125	Улучшение, нормализация, азотирование	1 0,3 0,143 0,038	Закалка объёмная, поверхностная, цементация	1 0,2 0,1 0,016

Таблица Ж6. Значения коэффициентов K_{HE} и K_{FE} для типовых режимов нагружения [1,табл.4.4]

Типовой режим нагружения (рис 4.1)	Термообработка	K_{HE}	Термообработка	K_{FE}	Термообработка	K_{FE}
Постоянный Тяжелый Средний Легкий	Любая	1 0,5 0,25 0,125	Улучшение, нормализация, азотирование	1 0,3 0,143 0,038	Закалка объёмная, поверхностная, цементация	1 0,2 0,1 0,016

приложение 3

(справочное)

Расчет закрытой цилиндрической передачи. Справочные данные Таблица 31. Стандартные значения межосевых расстояний закрытых зубчатых передач (размеры в мм)

1-й ряд	40	50	63	80	100	125	160	200	250	315	400	500
2-й ряд	-	-	71	90	112	140	180	224	280	355	450	560

Примечания

Таблица 32. Рекомендуемые значения коэффициента ширины Ψ_{ba}

	Твердость	
Расположение зубчатых колес относительно опор	зубьев	$\psi_{\scriptscriptstyle ba}$
Симметричное	Любая	0,315; 0,4; 0,5
	≤ 350 HB	0,315; 0,4
Несимметричное	≥ 40 HRC	0,25; 0,315

3 3.Эмпирические зависимости для определения значения модуля передачи

 m_n =(0,01...0,02) a_w — для улучшенных зубчатых колес ($H \le 350$ HB): m_n =(0,0125...0,025) a_w — при твердости зубьев шестерни H > 45 HRC и колеса $H \le 350$ HB: m_n =(0,016...0,0315) a_w — при твердости зубьев шестерни $H \ge 45$ HRC.

Мелкомодульные передачи предпочтительнее с точки зрения плавности в работе и экономии при нарезании зубьев. Однако уменьшение размера зуба приводит к понижению сопротивления изгибной усталости. Такие передачи чувствительны к концентрации нагрузки, вследствие чего необходимо повышать точность изготовления, сборки и жесткость деталей передач. В силовых передачах $m_n < 1,5$ мм не применяется.

^{1.} Второй ряд применять в технически обоснованных случаях.

^{2.}При мелкосерийном производстве передач межосевое расстояние следует принимать из ряда Ra 40 ГОСТ 6636-86

Таблица 34. Стандартные значения модуля для цилиндрических зубчатых передач в мм

1 ' '										
1-й ряд	0,5	0,6	0,8	1,0	1,25	1,5	2,0	2,5		
2-й ряд	0,55	0,7	0,9	1,125	1,375	1,75	2,25	2,75		
1-й ряд	3,0	4,0	5,0	6,0	8,0	10,0	12,0	16,0		
2-й ряд	3,5	4,5	5,5	7,0	9,0	11,0	14,0	18,0		
Примечание — 1	Примечание — 1-й ряд следует предпочитать 2-му.									

Таблица 35.Рекомендации по выбору степени точности зубчатых передач

Степень точности	Вид передачи	υ, м/с, до	Область применения						
6	Цилиндрическая	20/40	Высокоскоростные передачи						
	Коническая	14/25							
7	Цилиндрическая	20/30	Передачи при повышенных скоростях						
	Коническая	10/16	и умеренных нагрузках или наоборот						
8	Цилиндрическая	8/12	Передачи в общем машиностроении,						
G	Коническая	5/8	не требующие особой точности						
9	Цилиндрическая	3/6	Тихоходные передачи машин низкой						
9	Коническая	2/4	точности						
Примечани	Примечание — В числителях указаны скорости прямозубых колес, в знаменателях — косозубых								

Таблица 3 6. Ориентировочные значения коэффициентов $K_{H\alpha}$ и $K_{F\alpha}$

Окружная скорость колес v, м/с	Степень точности передачи	K_{Hlpha}	K_{Flpha}				
	7	1,03	1,07				
До 5	8	1,07	1,22				
	9	1,13	1,35				
Свыше 5 до 10	7	1,05	1,2				
Свыше 3 до 10	8	1,10	1,3				
Свыше 10 до 15	7	1,08	1,25				
Свыше 10 до 13	8	1,15	1,40				
Примечание — для прямозубых колес $K_{H\alpha}$ и $K_{F\alpha}$ принять равным единице.							

37. Графики для определения ориентировочных значений $K_{H\beta}$, $K_{F\beta}$:

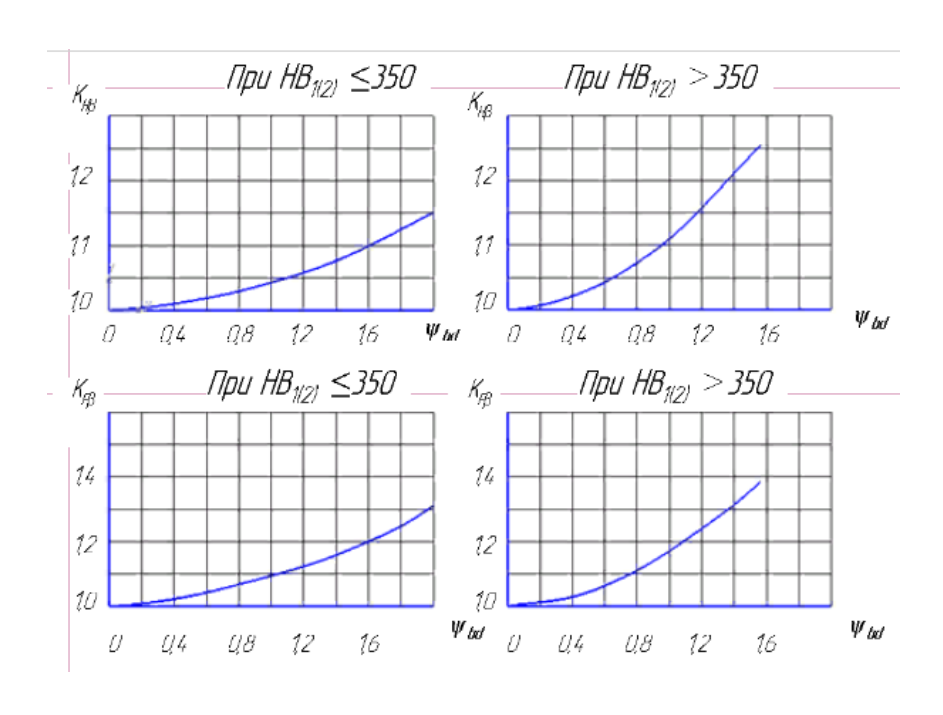


Таблица 38. Значения коэффициента $K_{H\upsilon}$.

Степень	Твердость		T	υ, м			
точност	поверхностей зубьев	1	2	4	6	8	10
1	2	3	4	5	6	7	8
	≤350 HB	1,03	1,06	1,12	1,17	1,23	1,28
		1,01	1,02	1,03	1,04	1,06	1,07
6	>350 HB	1,02	1,04	1,07	1,1	1,15	1,18
		1,00	1,00	1,02	1,02	1,03	1,04
	≤350 HB	1,04	1,07	1,14	1,21	1,20	1,36
7		1,02	1,03	1,05	1,06	1,07	1,08
,	>350 HB	1,03	1,05	1,09	1,14	1,19	1,24
		1,00	1,01	1,02	1,03	1,03	1,04
	≤350 HB	1,04	1,08	1,16	1,24	1,32	1,4
8		1,01	1,02	1,04	1,06	1,07	1,08
	>350 HB	1,03	1,06	1,1	1,16	1,22	1,26
		1,01	1,01	1,02	1,03	1,04	1,05
	≤350 HB	1,05	1,1	1,2	1,3	1,4	1,5
9		1,01	1,03	1,05	1,07	1,09	1,12
	>350 HB	1,04	1,07	1,13	1,2	1,26	1,32
		1,01	1,01	1,02	1,03	1,04	1,05

Примечание - в числителе для прямозубых колес, в знаменателе дано для косозубых

3 9. График для определения коэффициента формы зуба Y_F в зависимости от эквивалентного числа зубьев Z_V и коэффициента смещения X

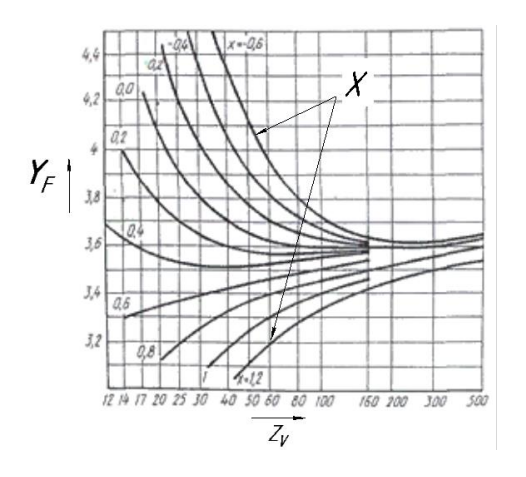


Таблица 310.3
начения коэффициента K_{Fv} .

Степень	Твердость	v, m/c							
точности	поверхностей зубьев	1	2	4	6	8	10		
6	≤350 HB	1,06	1,13	1,26	1,40	1,58	1,67		
		1,02	1,05	1,10	1,15	1,20	1,25		
	>350 HB	1,02	1,04	1,08	1,11	1,14	1,17		
		1,01	1,02	1,03	1,04	1,06	1,07		
7	≤350 HB	1,08	1,16	1,33	1,50	1,67	1,80		
		1,03	1,06	1,11	1,16	1,22	1,27		
	>350 HB	1,03	1,05	1,09	1,13	1,17	1,22		
		1,01	1,02	1,03	1,05	1,07	1,08		
8	≤350 HB	1,10	1,20	1,38	1,58	1,78	1,96		
		1,03	1,06	1,11	1,17	1,23	1,29		
	>350 HB	1,04	1,06	1,12	1,16	1,21	1,26		
		1,01	1,02	1,03	1,05	1,07	1,08		
9	350 HB	1,13	1,28	1,50	1,77	1,98	2,25		
		1,04	1,07	1,14	1,21	1,28	1,35		
	>350 HB	1,04	1,07	1,14	1,21	1,27	1,34		
		1,01	1,02	1,04	1,06	1,08	1,09		

Примечание: в числителе для прямозубых колес, в знаменателе — для косозубых)

приложение и

(справочное)

Компенсирующие муфты

Таблица И 1 – Муфта упругая втулочно- пальцевая МУВП. Основные размеры в мм (Γ OCT 21424-93):

d или d ₁ , мм				<i>l</i> , mm				L, MN	и, не бо	лее	
1-й ряд	2-й ряд	Тр, Н∙м	D,мм, не брлее	1-й		2-й		1-й		2-ì	Í
т-и ряд	∠-и ряд	11.M	D,мм, брлее	исполнение							
			. , -	1	2	1	2	1	2	1	2
9	-	6,3	71	20	-	13	-	43	-	43	-
10; 11	-			23	20	16	-	49	43	49	-
12; 14	-	16	75	30	25	20	-	63	53	63	-
16	-			40	28	30	18	83	59	83	59
16; 18	19	31,5	90	40	28	30	18	84	60	84	60
20; 22	24	63	100	50	36	38	24	104	76	104	76
25;28	-	125	120	60	42	44	26	125	89	125	89
-	30			80	58	60	38	165	121	165	121
32; 36	35;38	250	140	80	58	60	38	165	121	165	121
40; 45	42			110	82	85	56	225	169	225	169
40; 45	42	500	170	110	82	85	56	225	169	225	169
45; 50; 56	48; 55	710	190	110	82	85	56	226	170	226	170
50; 56	55	1000	220	110	82	85	56	226	170	226	170
63	60;65;70			140	105	107	72	286	216	286	216
63; 71	65;70;75	2000	250	140	105	107	72	288	218	288	218
80; 90	85			170	130	135	95	348	268	348	268
80; 90	85; 95	4000	320	170	130	135	95	350	270	350	270
100;110;125	125	8000	400	210	165	170	125	432	342	432	342
125	120	16000	500	210	165	170	125	435	345	432	345
140	130;150			250	200	205	155	515	415	515	415
160	-			300	240	245	180	615	495	615	495

Таблица И 2 – Муфта упругая втулочно- пальцевая МУВП. Дополнительные размеры в мм (ГОСТ 21424-93):

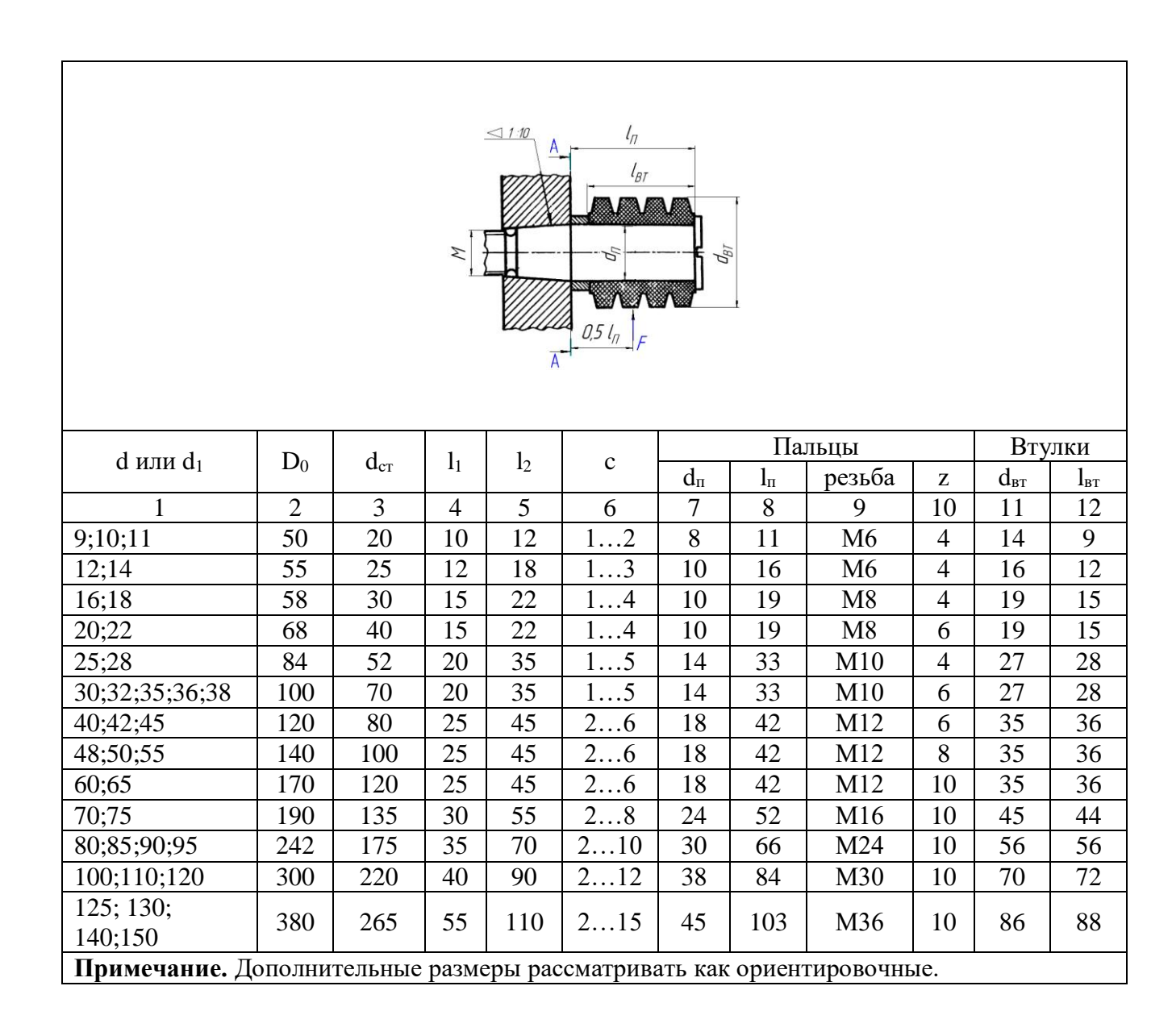


Таблица И.3 – Коэфициент режима работы для муфт привода от электродвигателя $\stackrel{-}{k}_p$

Наименование приводимых машин					
Генераторы электрические					
Вентиляторы центробежные и воздуходувки					
Насосы центробежные					
Насосы и компрессоры поршневые					
Конвейеры ленточные	1,251,5				
Конвейеры винтовые, скребковые и цепные					
Станки металлообрабатывающие с непрерывным движением					
Станки металлообрабатывающие с возвратно-поступательным движением					
Станки деревообделочные					
Мельницы шаровые, дробилки, ножницы, молоты					
Краны грузоподъемные					
Примечание. При приводах от поршневых двигателей значение кр следует увеличить на					

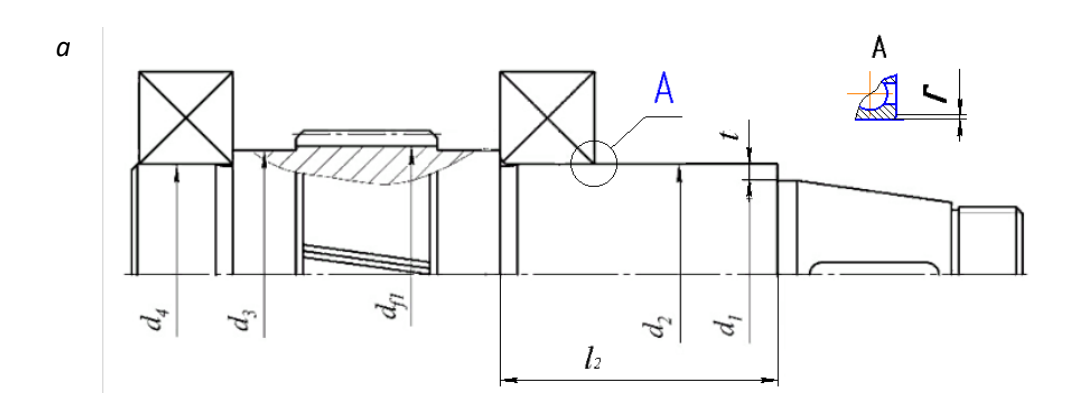
50...70%

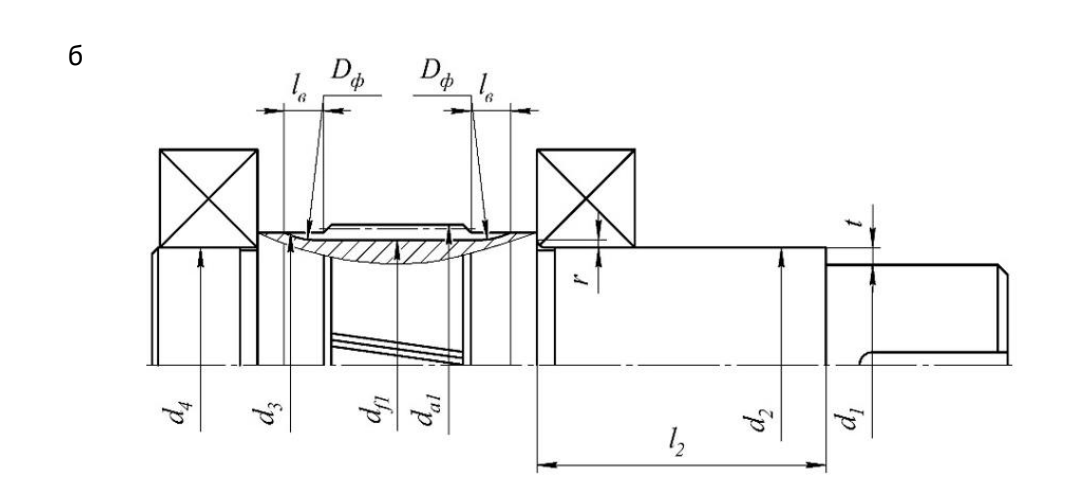
приложение к

(справочное)

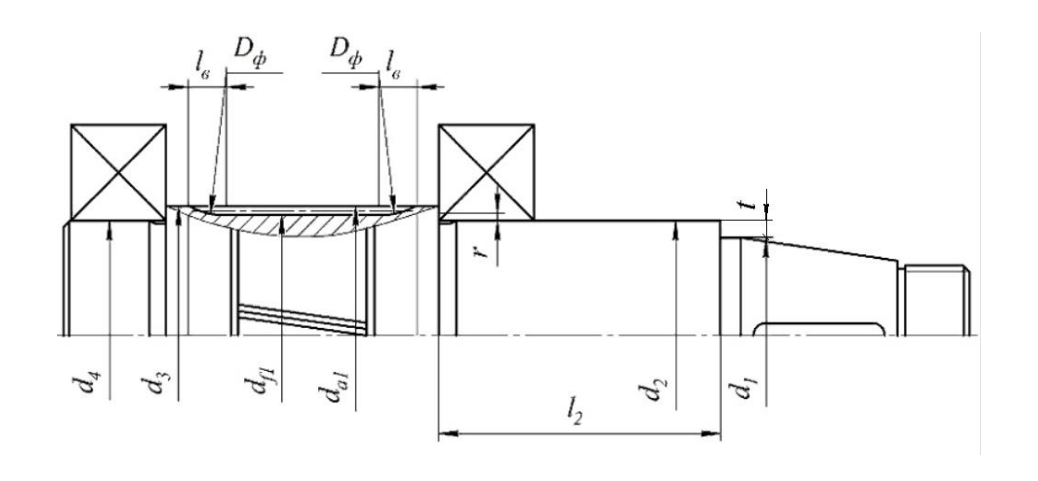
Конструирование валов. Справочные данные

Рисунок К.1 – Конструкция вала – шестерни цилиндрической передачи





в



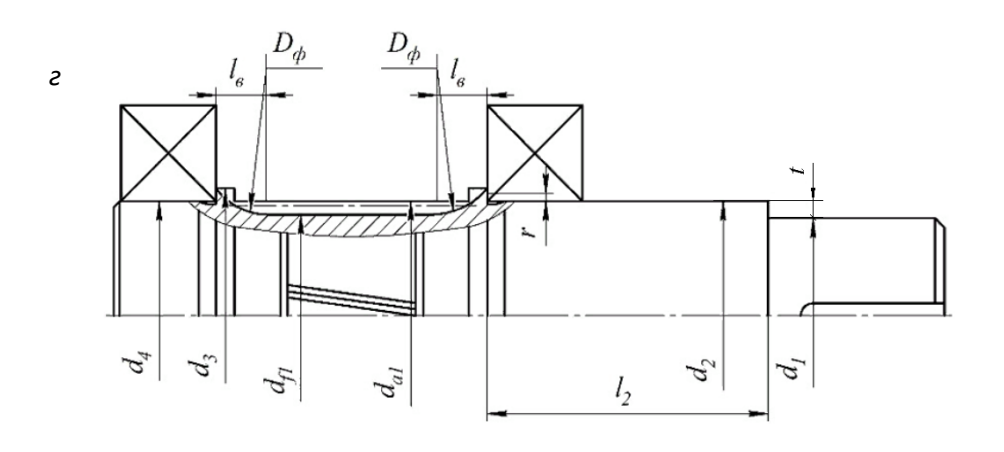


Рисунок К.2 — Конструкция выходной ступени вала: a - с коническим концом; δ - с цилиндрическим концом

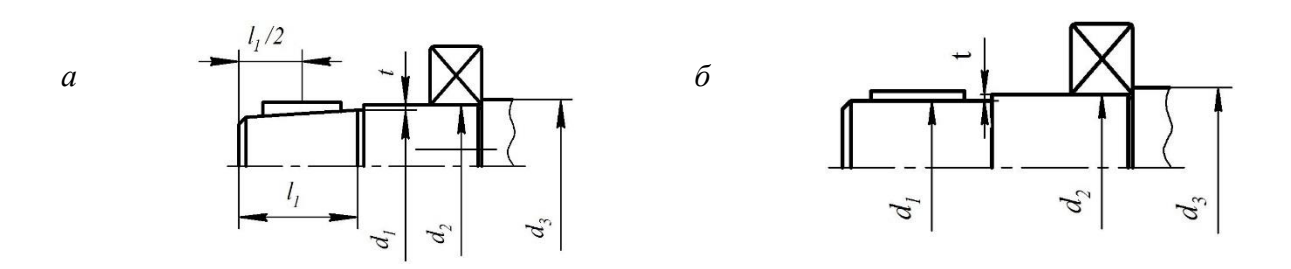


Таблица К.3 – Номинальные размеры цилиндрических концов валов (ГОСТ 12080-66), мм

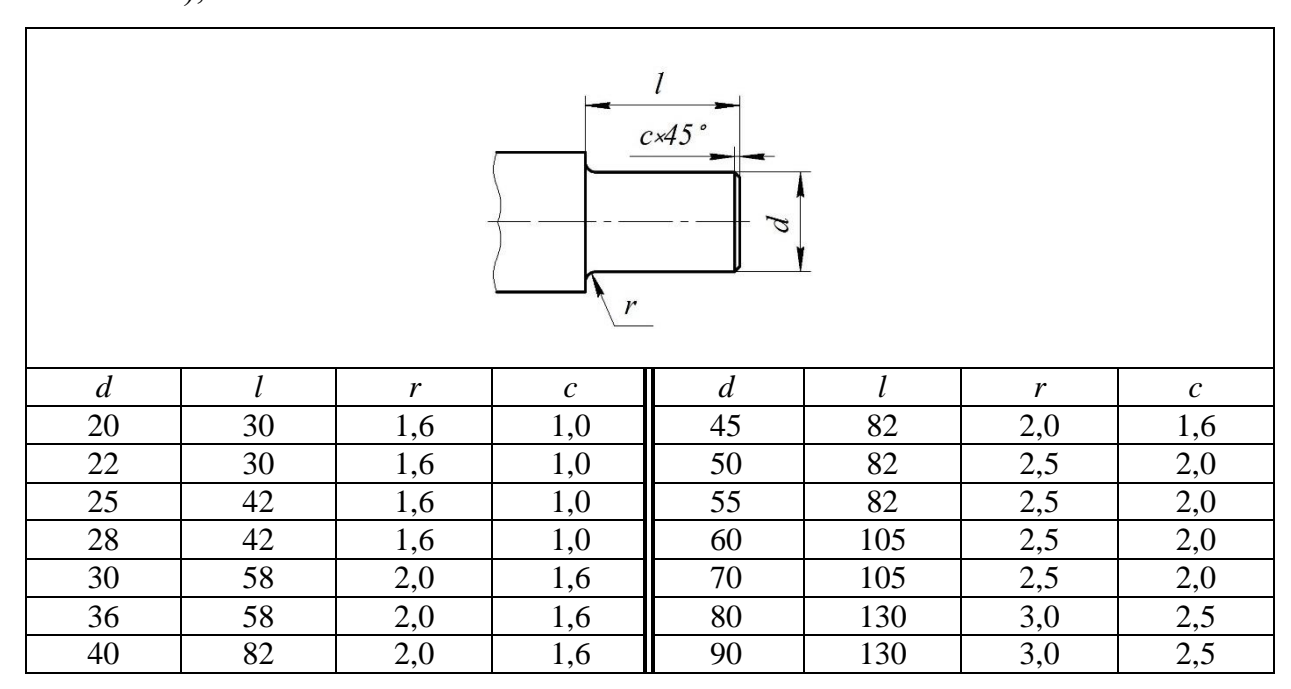


Таблица К4 - Концы валов конические (ГОСТ 12081-72), мм

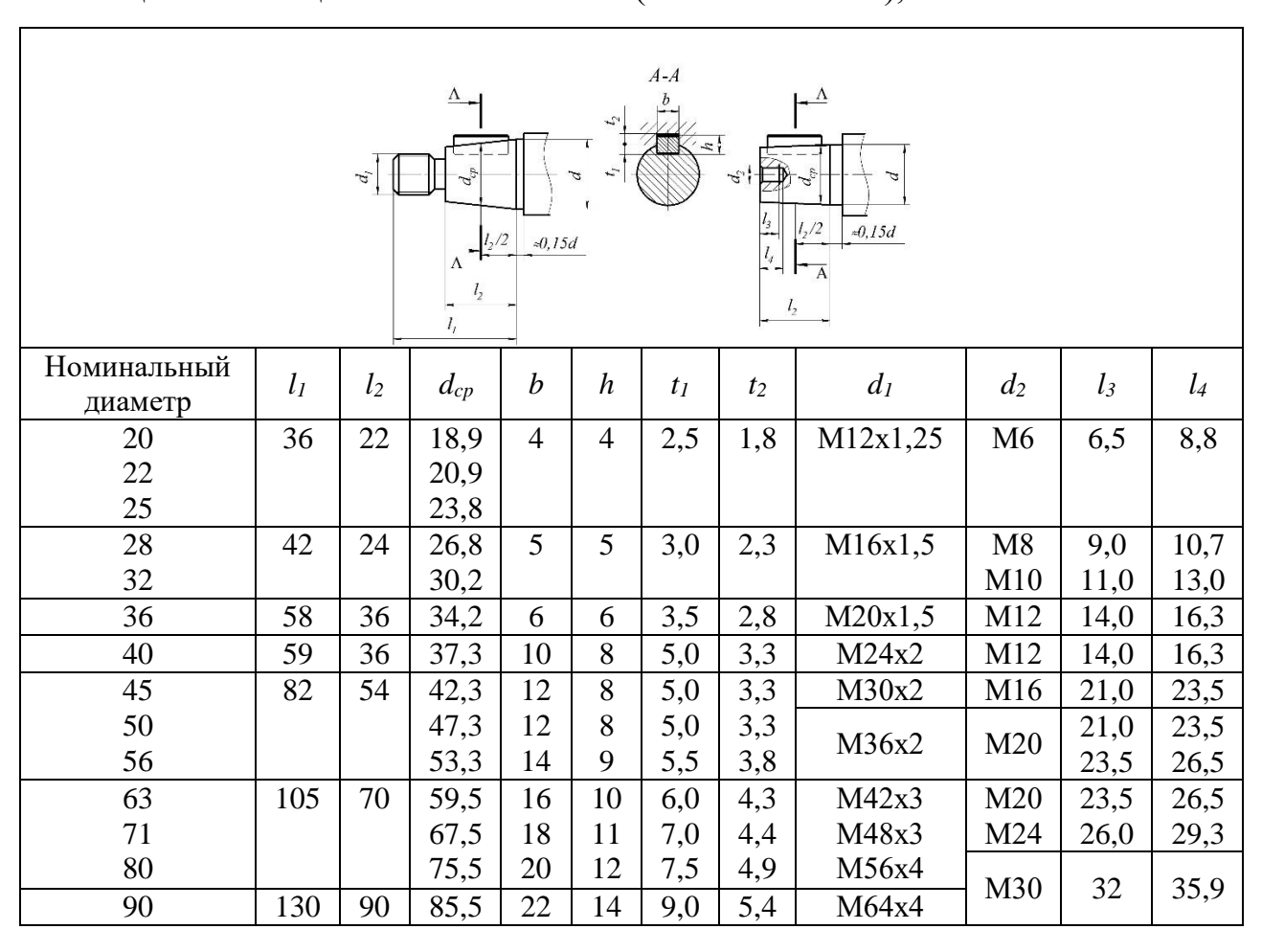
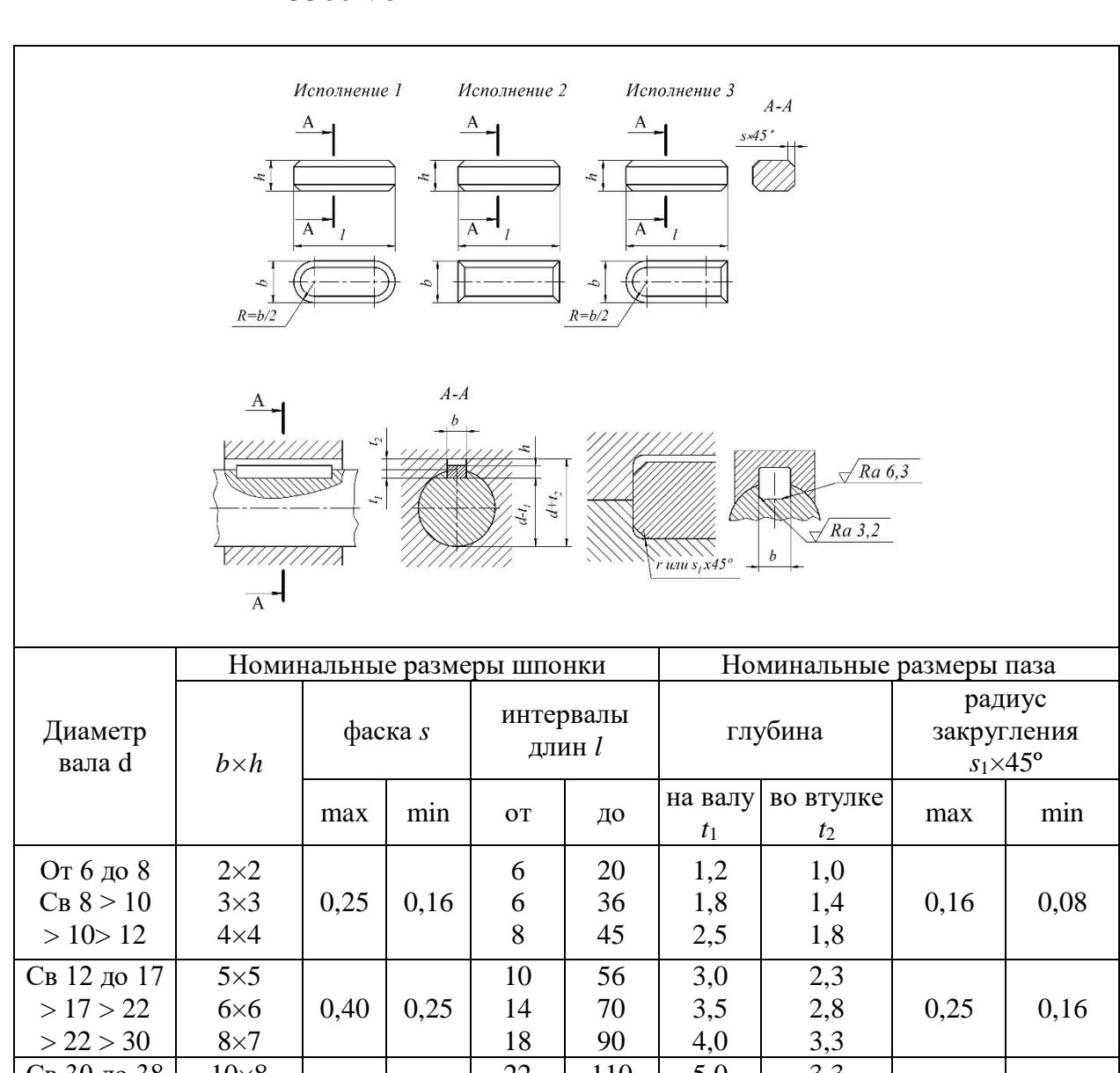


Таблица К 5 – Основные размеры соединений с призматическими шпонками ГОСТ 23360-78



	Номин	нальны	е разме	ры шпо	нки	Но	минальные	размеры	паза
Диаметр вала d	$b{ imes}h$	фас	ка <i>s</i>	_	валы ин <i>l</i>	глу	убина	радиус закругления <i>s</i> ₁ ×45°	
		max	min	ОТ	до	на валу t_1	во втулке <i>t</i> ₂	max	min
Св 130 до 150 > 150 > 170 > 170 > 200 > 200 > 230	36×20 40×22 45×25 50×28	1,20	1,00	100 100 110 125	400 400 450 500	12,0 13,0 15,0 17,0	8,4 9,4 10,4 11,4	1,0	0,7
Св 230 до 260 > 260 > 290 > 290 > 330	56×32 63×32 70×36	2,00	1,60	140 160 180	500	20,0 20,0 22,0	12,4 12,4 14,4	1,6	1,2
Св 330 до 380 > 380 > 440 > 440 > 500	80×40 90×45 100×50	3,00	2,50	200 220 250	500	25,0 28,0 31,0	15,4 17,4 19,5	2,5	2,0

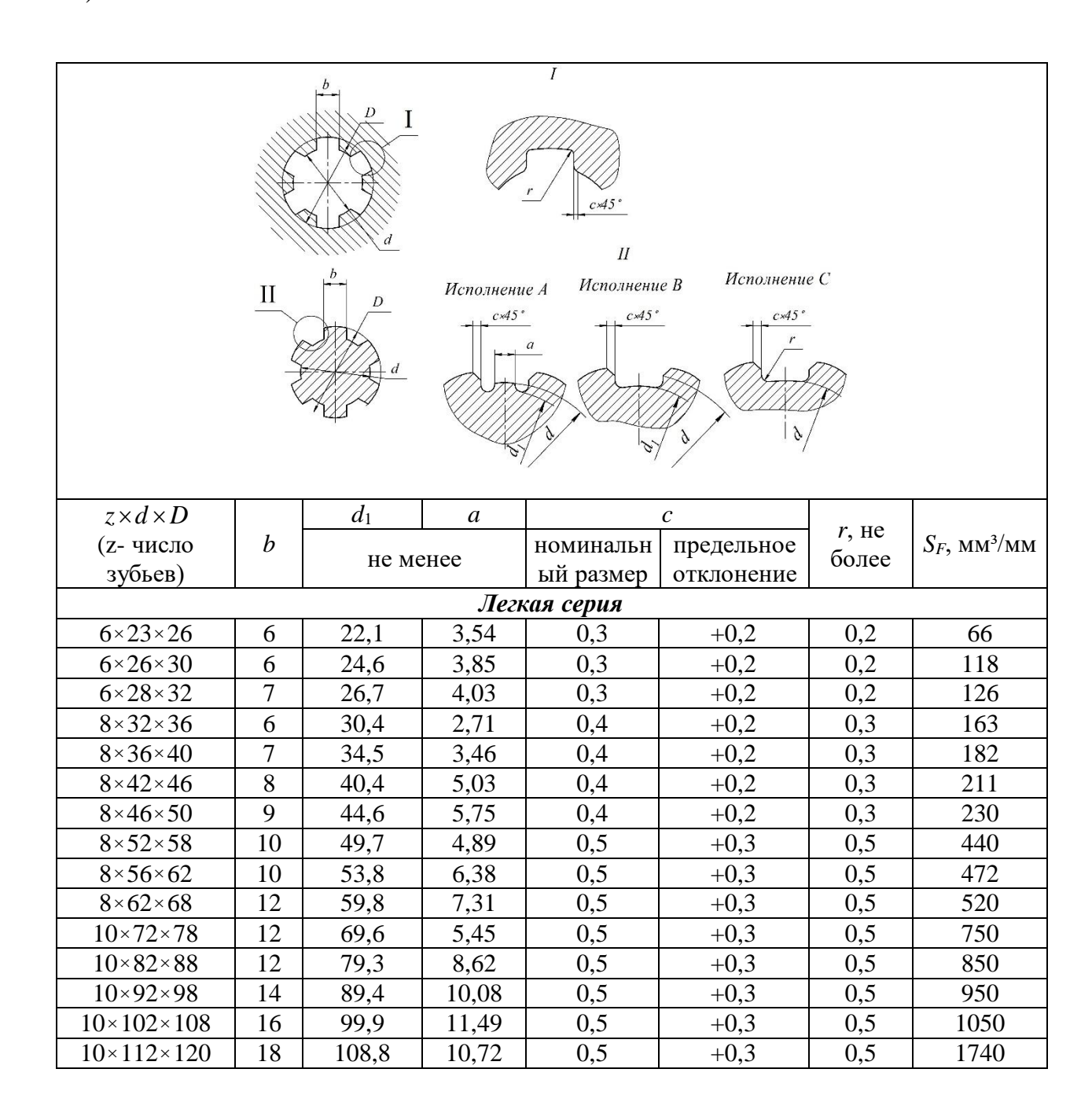
- 1 ГОСТ 23360-78 не распространяется на шпоночные соединения, применяемые для крепления режущего инструмента.
- 2 Длины шпонок должны выбираться из ряда: 6, 8, 10, 12, 14, 16, 18, 20, 22, 25, 28, 32, 36, 40, 45, 50, 56, 63, 70, 80, 90, 100, 110, 125, 140, 160, 180, 200, 220, 250, 280, 320, 360, 400, 450, 500.
- 3 Допускается применять шпонки с длиной, выходящей за пределы диапазона длин, указанного в таблице.
- 4 Материал сталь чистотянутая для шпонок по ГОСТ 8786-68 или другая с временным сопротивлением разрыву не менее 590 МН/м².
- 5 Указания по шероховатости поверхности на рисунке в данной таблице не стандартизированы.
- 6 На рабочем чертеже проставляется один размер для вала t_1 (предпочтительный вариант) или d- t_1 и для втулки d+ t_2 .
- 7 В ответственных шпоночных соединениях сопряжения дна паза с боковыми сторонами выполняются по радиусу r, значение и предельные отклонения которого указываются на рабочем чертеже.
- 8 В отдельных обоснованных случаях (пустотелые и ступенчатые валы, передача пониженных крутящих моментов и т.д.) допускается применять меньшие размеры сечений стандартных шпонок на валах больших диаметров, за исключением выходных концов валов.
- 9 Пример условного обозначения призматической шпонки исполнения 1 с размерами b=18 мм h=11 мм l=100 мм:

Шпонка 18х11х100 ГОСТ 23360-78

Пример условного обозначения такой же шпонки исполнения 2 (3):

Шпонка 2 (3) 18х11х100 ГОСТ 23360-78

Таблица К 6 – Размеры прямобочных шлицевых соединений (по ГОСТ- 1139- 80)



Продолжение таблицы К 6

$z \times d \times D$		d_1	а		\overline{c}		
(z- число	b	CV 1	Ci -	номинальн	предельное	<i>r</i> , не	S_F , MM ³ /MM
зубьев)		не ме	енее	ый размер	отклонение	более	
- 5)			Cnad	няя серия			I.
6×11×14	2.0	0.0	Грео		10.2	0.2	34
	3,0	9,9	-	0,3	+0,2	0,2	
6×13×16	3,5	12,0	-	0,3	+0,2	0,2	39 76
6×16×20	4,0	14,5	-	0,3	+0,2	0,2	
6×18×22	5,0	16,7	1.05	0,3	+0,2	0,2	84
6×21×25	5,0	19,5	1,95	0,3	+0,2	0,2	97
6×23×28	6,0	21,3	1,34	0,3	+0,2	0,2	145
$6^{\times}26^{\times}32$	6,0	23,4	1,65	0,4	+0,2	0,3	191
6×28 [×] 34	7,0	25,9	1,70	0,4	+0,2	0,3	205
8×32×38	6,0	29,4	-	0,4	+0,2	0,3	308
8×36×42	7,0	33,5	1,02	0,4	+0,2	0,3	343
8×42×48	8,0	39,5	257	0,4	+0,2	0,3	396
8×46×54	9,0	42,7	-	0,5	+0,3	0,5	600
8×52×60	10,0	48,7	2,44	0,5	+0,3	0,5	672
8×56×65	10,0	52,2	2,50	0,5	+0,3	0,5	854
8×62×72	12,0	57,8	2,40	0,5	+0,3	0,5	1072
10×72×82	12,0	67,4	-	0,5	+0,3	0,5	1540
10×82×92	12,0	77,1	3,00	0,5	+0,3	0,5	1740
10×92×102	14,0	87,3	4,50	0,5	+0,3	0,5	1940
10×102×112	16,0	97,7	6,30	0,5	+0,3	0,5	2140
10×112×125	16,0	106,3	4,40	0,5	+0,3	0,5	3260
			Тяж	елая серия			
10×16×20	2,5	14,1		0,3	+0,2	0,2	126
10×18×23	3,0	15,6		0,3	+0,2	0,2	195
10×21×26	3,0	18,5		0,3	+0,2	0,2	223
10×23×29	4,0	20,3		0,3	+0,2	0,2	312
10×26×32	4,0	23,0		0,4	+0,2	0,3	370
10×28×35	4,0	24,4		0,4	+0,2	0,3	426
10×32×40	5,0	28,0		0,4	+0,2	0,3	576
10×36×45	5,0	31,3		0,4	+0,2	0,3	749
10×42×52	6,0	36,9		0,4	+0,2	0,3	978
10×46×56	7,0	40,9		0,5	+0,3	0,5	1020
16×52×60	5,0	47,0		0,5	+0,3	0,5	1340
16×56×65	5,0	50,6		0,5	+0,3	0,5	1690
16×62×72	6,0	56,1		0,5	+0,3	0,5	2140
16×72×82	7,0	65,9		0,5	+0,3	0,5	2460
20×82×92	6,0	75,6		0,5	+0,3	0,5	3480
20×92×102	7,0	85,5		0,5	+0,3	0,5	3880
20×102×115	8,0	94,0		0,5	+0,3	0,5	5970
20×112×125	9,0	104,0		0,5	+0,3	0,5	6520

- 1 Боковые стороны зубьев вала должны быть параллельны оси симметрии зуба до пересечения с окружностью диаметра d.
 - 2Φ аска у пазов отверстия втулки может быть заменена закруглением радиуса f.
 - 3 Размер а в соединениях легкой и средней серий дан для валов исполнения А.
- 4 Валы исполнения А тяжелой серии, как правило, методом обкатывания не изготовляются.
- 5 При центрировании по внутреннему диаметру валы изготовляются в исполнении A и C, при центрировании по наружному диаметру и боковым сторонам в исполнении B.
- 6 Размеры, приведенные в таблице, не распространяются на специальные шлицевые соединения.

Таблица К 7 — Размеры заплечиков (буртиков) t, мм

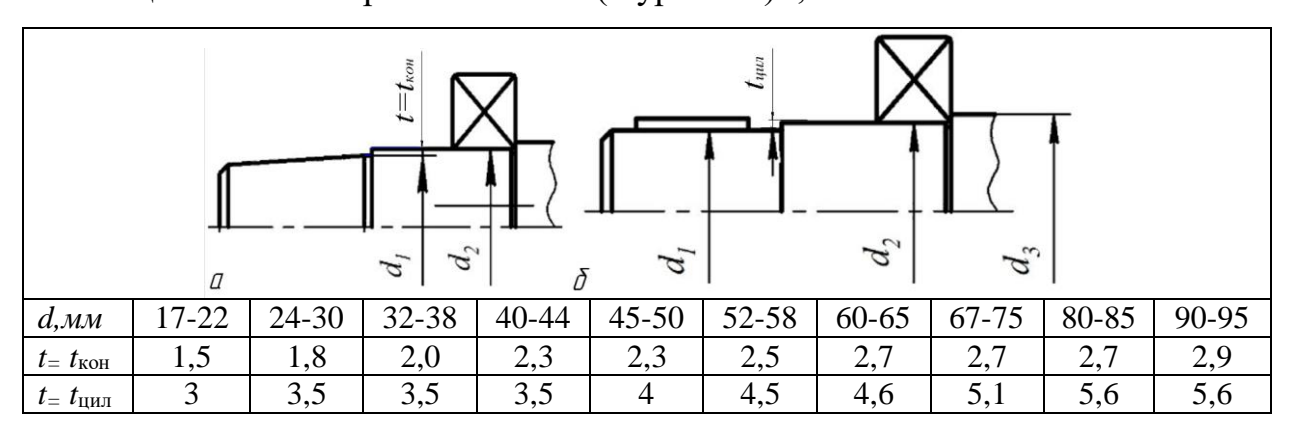


Таблица К 8 – Размеры галтели, мм

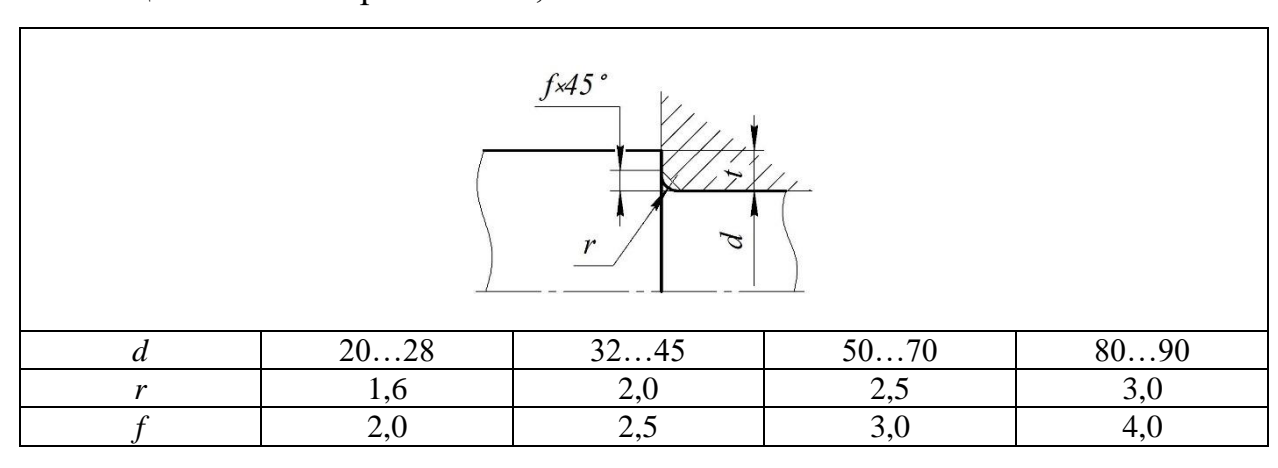


Таблица К 9 – Размеры канавок, мм

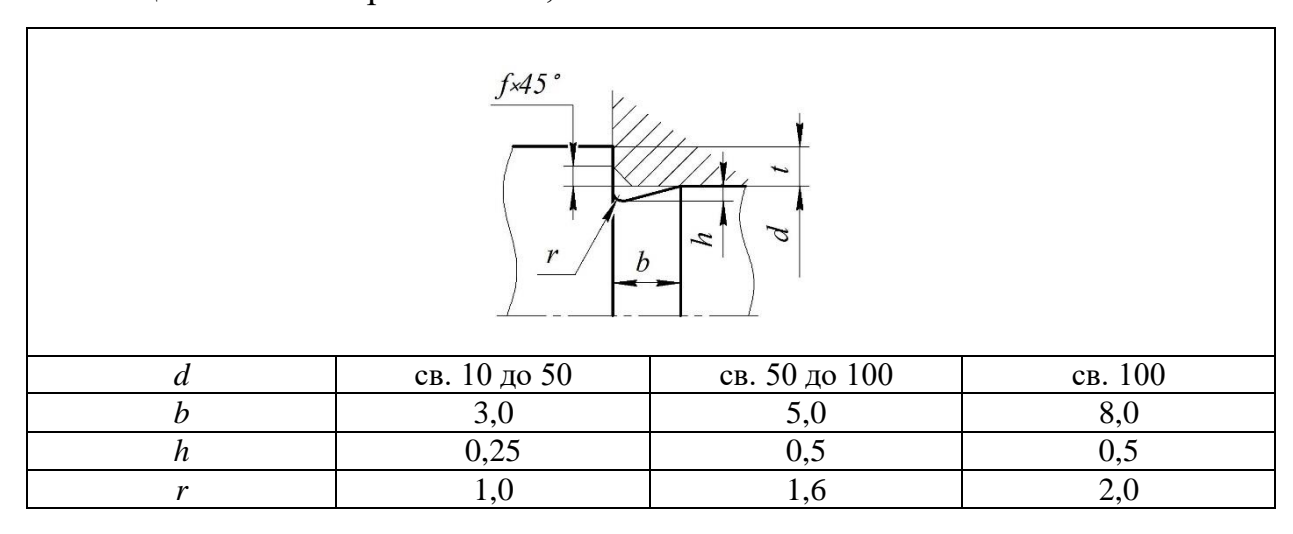


Таблица К 10 - Внешний диаметр зубонарезной фрезы, мм

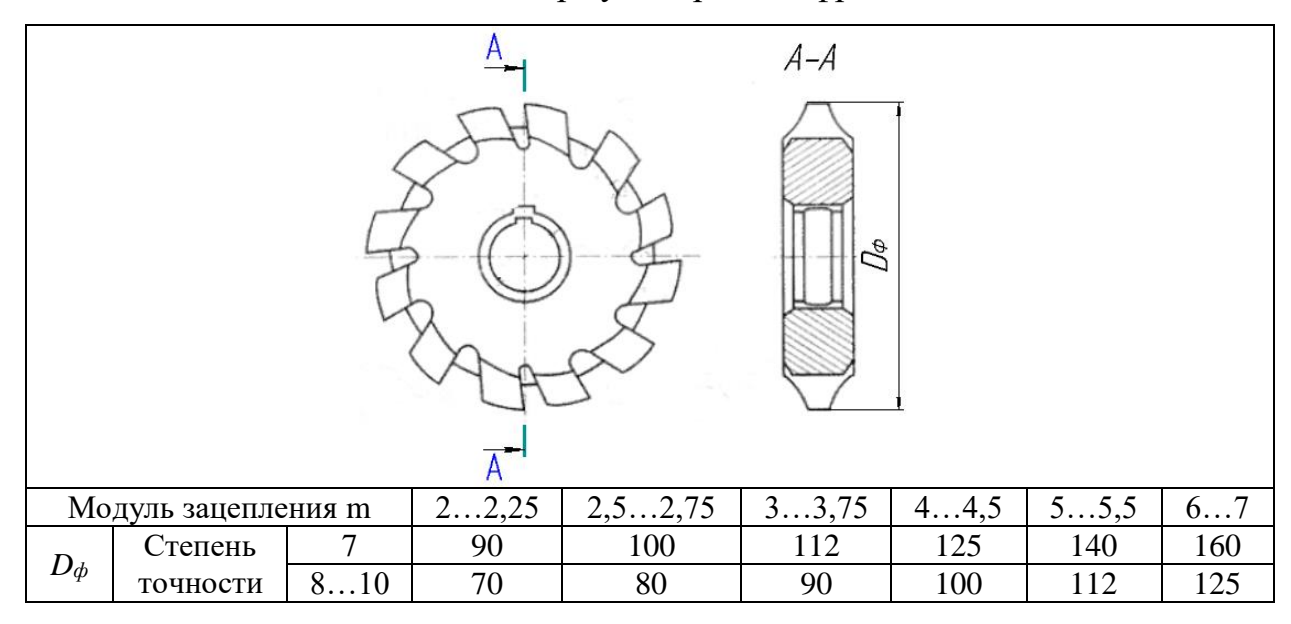


Таблица К 11. Крепление концевыми шайбами

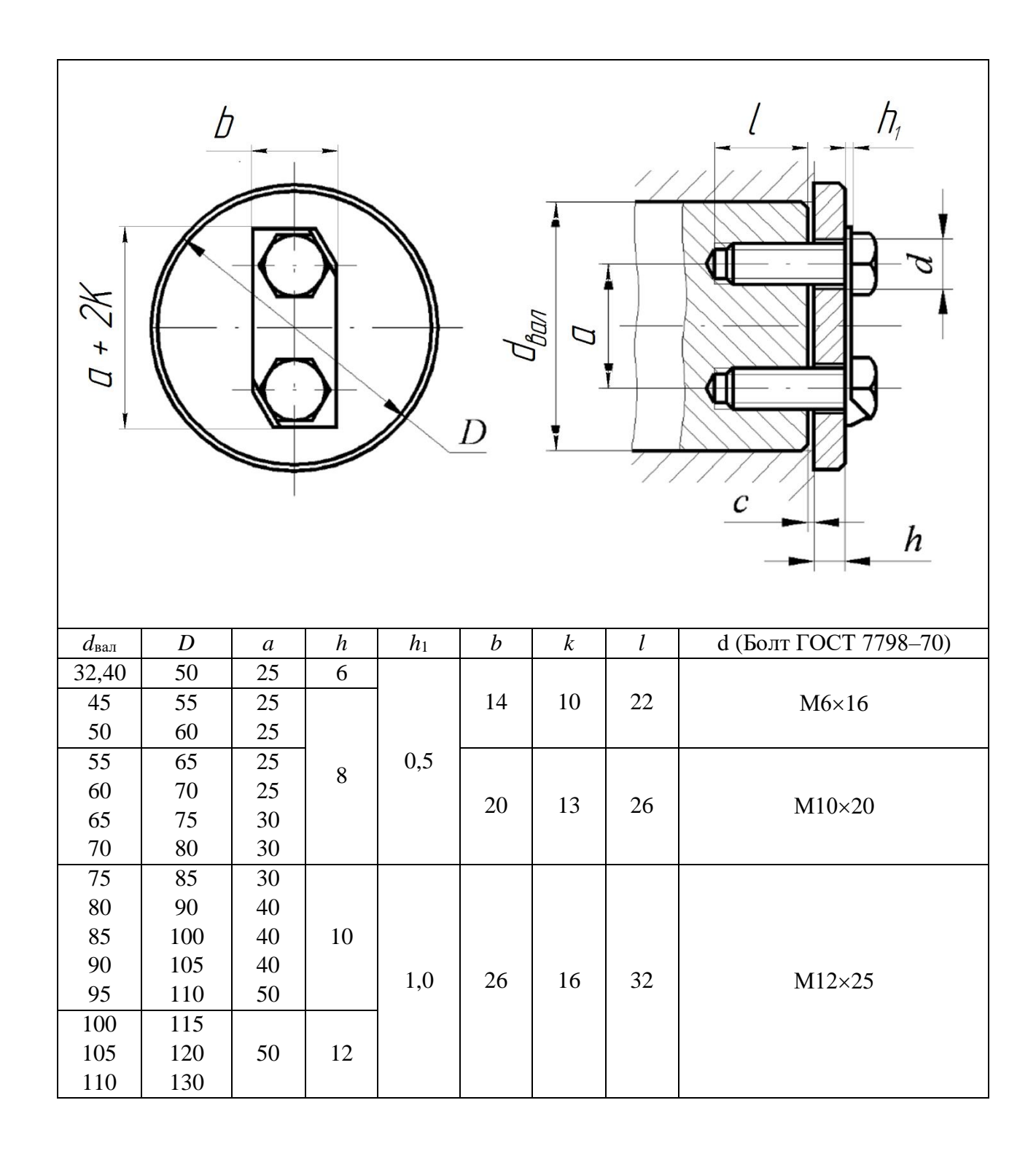
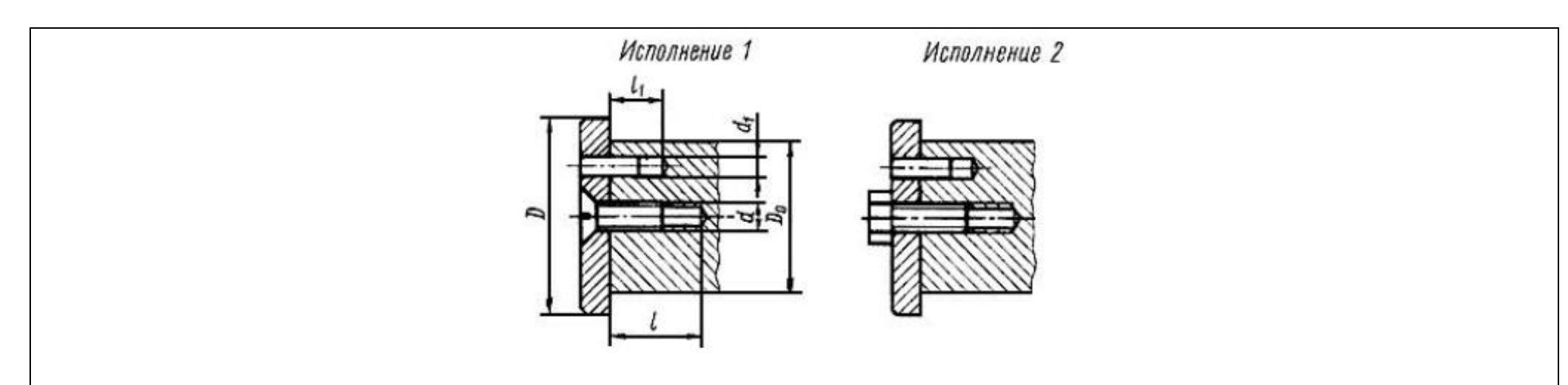


Таблица К12. Шайбы концевые по ГОСТ 14734-69



							Размеры в мм			
Обозначение	Диаметр	Диаметр	d	d_1	l	l_1	Исполнение 1	Исполнение 2	Штифт цилинд- рический по	Н
шайбы	шайбы D	вала D _о					Винт ГОСТ 17475-80	Болт ГОСТ 7798-70	ГОСТ 3128-70	
1	2	3	4	5	6	7	8	9	10	11
7019-0621	28	20-24	M5	3	16	10	BM5-6g×10	-	3×10	4
7019-0622 (7019-0623)	32	24-28								
7019-0624 (7019-0625)	36	28-32	M6	4	18	12	BM6-6g×12	M6-6gx18	4×12	5
7019-0626 (7019-0627)	40	32-36								

Окончание таблицы К12

1	2	3	4	5	6	7	8	9	10	11
7019-0628	45	36-40								
(7019-0629)										
7019-0630	50	40-45								
(7019-0631)			M6	4	18	12	BM6-6g×12	M6-6gx18	4×12	5
7019-0632	56	45-50	1010	-	10	12	DIVIO-0g×12	WIO-Ogx10	7/12	3
(7019-0633)										
7019-0634	63	50-55								
(7019-0635)										
7019-0636	67	55-60								
(7019-0637)										
7019-0638 (7019-0639)	71	60-65	M8	5	22	16	BM8-6g×16	M8-gx22	5×16	6
7019-0640	75	65-70	1							
(7019-0641)										
7019-0642	85	70-75								
(7019-0643)										
7019-0644	90	75-80	1							
(7019-0645)										

Примечание :

- 1. Пример условного обозначения концевой шайбы исполнения 1, размером D = 28 мм Шайба 7019-0621 ГОСТ 14734-69.
- 2.Пример условного обозначения винта исполнения 1В с резьбой М5 и длиной 1 мм-Винт В.М5-6gx10 ГОСТ 17475-80.
- 3..Пример условного обозначения болта исполнения 1 с резьбой М6 и длиной 18 мм-Болт М-6gx18 ГОСТ 7796-70.
- 4. Пример условного обозначения штифта исполнения 1 с диаметром 3 мм и длиной 10 мм-- Штифт 3х10 ГОСТ 3128-70

приложение л

(справочное)

Уплотнения подшипниковых узлов

Таблица Л1 — Размеры резиновых манжет по ГОСТ 8752-79 , мм

		7	Cun I	Tun 2									
	Pasovas Rpanka												
		1 – pe3	ина, 2 – карка		на								
$d \times D \times h$	$d \times D \times h$	$d \times D \times h$	$d \times D \times h$	$d\times D\times h$	$d \times D \times h$	$d\times D\times h$							
1	2	3	4	5	6	7							
_	$25\times50\times10$	$35 \times 52 \times 6$	$44 \times 72 \times 8$	$55 \times 80 \times 13$	$75 \times 102 \times 10$	$130\times160\times15$							
_	$25\times50\times12$	$35 \times 52 \times 7$	$44 \times 72 \times 12$	$55 \times 82 \times 12$	$75 \times 105 \times 12$	$130\times165\times13$							
_	$25 \times 52 \times 7$	$35 \times 52 \times 10$	$44.5\times80\times10$	$55 \times 85 \times 8$	$75 \times 110 \times 10$	$130\times170\times12$							
_	$25 \times 52 \times 8$	$35 \times 52 \times 12$	$45 \times 55 \times 7$	$55 \times 90 \times 8$	$75 \times 110 \times 12$	$130\times180\times15$							
_	$25 \times 52 \times 10$	$35 \times 53 \times 8$	$45 \times 56 \times 7$	55 × 90 × 10	75 × 115 × 12	$135\times155\times8$							
_	$25\times52\times12$	$35 \times 54 \times 7$	$45 \times 58 \times 6$	55 × 90 × 13	75 × 120 × 12	$135\times160\times12$							
_	$25 \times 62 \times 7$	$35 \times 55 \times 7$	$45 \times 58 \times 7$	55 × 100 × 12	$76 \times 105 \times 14$	$135\times165\times15$							
_	$25 \times 62 \times 8$	$35 \times 55 \times 10$	$45 \times 60 \times 7$	$56 \times 70 \times 8$	$78 \times 90 \times 8$	$135\times200\times12$							
_	$25\times62\times10$	$35 \times 56 \times 10$	$45 \times 60 \times 8$	$56 \times 72 \times 8$	$78 \times 95 \times 13$	$140\times160\times10$							
_	$26 \times 35 \times 7$	$35 \times 56 \times 12$	$45 \times 60 \times 10$	$56 \times 72 \times 12$	$78 \times 100 \times 10$	$140\times160\times15$							
_	$26 \times 36 \times 7$	$35 \times 57 \times 9$	$45 \times 62 \times 7$	$56 \times 80 \times 8$	$78 \times 100 \times 13$	$140\times165\times12$							
_	$26 \times 37 \times 7$	$35 \times 58 \times 10$	$45 \times 62 \times 8$	$56 \times 85 \times 8$	$78 \times 110 \times 12$	$140\times170\times15$							
_	$26 \times 38 \times 8$	$35 \times 58 \times 12$	$45 \times 62 \times 10$	$57 \times 72 \times 9$	$79 \times 110 \times 13$	$140\times180\times12$							
_	$26\times40\times10$	$35 \times 60 \times 10$	$45 \times 62 \times 12$	57 × 85 × 12	80 × 90 × 5	$140\times180\times15$							
-	$26 \times 42 \times 7$	$35 \times 62 \times 7$	$45 \times 64 \times 8$	58 × 68 × 13	80 × 95 × 10	140 × 190 × 15							
_	$26\times42\times10$	$35 \times 62 \times 10$	$45 \times 65 \times 7$	$58 \times 72 \times 8$	80 × 100 × 7	$142\times168\times15$							
_	$26\times45\times10$	35 × 62 × 12	$45 \times 65 \times 8$	58 × 75 × 10	80 × 100 × 10	145 × 168 × 13							
_	$26 \times 47 \times 7$	$35 \times 67 \times 7$	$45 \times 65 \times 10$	$58 \times 78 \times 7$	80 × 100 × 13	145 × 170 × 15							
$18 \times 28 \times 7$	$26 \times 47 \times 10$	35 × 68 × 10	$45 \times 65 \times 12$	58 × 80 × 8	80 × 105 × 10	145 × 175 × 15							

Продолжение таблицы Л 1

1	2	3	4	5	6	7
$18 \times 30 \times 5$	$26 \times 50 \times 12$	$35 \times 72 \times 7$	$45 \times 68 \times 10$	$58 \times 80 \times 10$	80 × 110 × 10	$145\times180\times12$
$18 \times 30 \times 7$	$26 \times 52 \times 10$	$35 \times 72 \times 10$	$45 \times 68 \times 12$	$58 \times 80 \times 12$	80 × 110 × 13	$148 \times 170 \times 14.5$
$18 \times 30 \times 7$	$27 \times 37 \times 7$	$35 \times 80 \times 10$	$45 \times 70 \times 10$	$58 \times 84 \times 10$	80 × 115 × 10	$150\times170\times12$
$18 \times 35 \times 7$	$27 \times 40 \times 10$	$35.8 \times 68 \times 12$	$45 \times 72 \times 7$	$58 \times 85 \times 10$	80 × 120 × 12	$150\times170\times15$
$18 \times 35 \times 10$	$27 \times 41 \times 10$	$36 \times 47 \times 7$	$45 \times 72 \times 8$	58 × 85 × 12	$80 \times 125 \times 10$	$150\times180\times15$
$18 \times 36 \times 7$	$27 \times 42 \times 7$	$36 \times 50 \times 7$	$45 \times 72 \times 10$	58 × 90 × 10	80 × 140 × 12	$150\times190\times15$
$18 \times 37 \times 10$	$27 \times 45 \times 8$	$36 \times 52 \times 7$	$45 \times 72 \times 12$	$58 \times 90 \times 13$	$82 \times 105 \times 12$	$150\times200\times15$
$18 \times 40 \times 7$	$27 \times 47 \times 7$	$36 \times 55 \times 8$	$45 \times 75 \times 8$	$60 \times 70 \times 7$	$82 \times 105 \times 14$	$155 \times 175 \times 12$
$18 \times 40 \times 10$	$27 \times 47 \times 10$	$36 \times 56 \times 9$	$45\times75\times10$	$60 \times 75 \times 8$	$82 \times 110 \times 13$	$155\times180\times15$
$19\times27\times6$	$28 \times 35 \times 5$	$36 \times 58 \times 10$	$45\times80\times10$	$60 \times 80 \times 7$	$82 \times 110 \times 13$	$155\times190\times15$
$19\times30\times7$	$28 \times 38 \times 7$	$36 \times 62 \times 7$	$45\times80\times13$	$60 \times 80 \times 8$	$82 \times 105 \times 12$	$155\times200\times15$
$19 \times 32 \times 7$	$28 \times 40 \times 5.5$	$37\times62\times10$	$45 \times 85 \times 10$	$60 \times 80 \times 10$	$85 \times 110 \times 12$	$160\times180\times10$
$19 \times 35 \times 7$	$28 \times 40 \times 7$	$38 \times 50 \times 6$	$45\times90\times10$	$60 \times 80 \times 13$	85 × 115 × 12	$160\times185\times10$
$19 \times 37 \times 10$	$28 \times 42 \times 7$	$38 \times 50 \times 7$	$45\times100\times10$	$60 \times 80 \times 13$	$85\times120\times7.5$	$160\times190\times15$
$19\times40\times10$	$28 \times 42 \times 10$	$38 \times 52 \times 7$	$46 \times 63 \times 8$	$60 \times 85 \times 8$	$85\times120\times12$	$160\times200\times12$
$19\times47\times10$	$28 \times 43 \times 10$	$38 \times 54 \times 10$	$46 \times 64 \times 8$	$60 \times 85 \times 10$	$85 \times 125 \times 12$	$165\times190\times13$
$19.5 \times 35 \times 7$	$28 \times 45 \times 7$	$38 \times 55 \times 7$	$46\times65\times10$	$60 \times 90 \times 7$	$85\times130\times12$	$165\times200\times15$
$19.5\times35\times10$	$28 \times 45 \times 10$	$38 \times 56 \times 10$	$47 \times 62 \times 7$	$60 \times 90 \times 8$	$85 \times 140 \times 12$	$170\times190\times15$
$20 \times 28 \times 6$	$28 \times 47 \times 7$	$38 \times 56 \times 12$	$47 \times 65 \times 10$	$60 \times 90 \times 10$	$88\times105\times12$	$170\times200\times15$
$20 \times 30 \times 5$	$28 \times 47 \times 8$	$38 \times 58 \times 7$	$47 \times 72 \times 8$	$60 \times 90 \times 13$	$88\times110\times12$	$170\times220\times15$
$20 \times 30 \times 7$	$28 \times 47 \times 10$	$38 \times 58 \times 10$	$48 \times 62 \times 8$	$60 \times 95 \times 10$	$88 \times 140 \times 12$	$170\times200\times15$
$20 \times 31 \times 6$	$28 \times 50 \times 10$	$38 \times 60 \times 10$	$48 \times 65 \times 8$	$60\times100\times10$	90 × 110 × 12	$175\times205\times15$
$20 \times 32 \times 6$	$28 \times 50 \times 12$	$38\times60\times12$	$48 \times 65 \times 10$	$60\times110\times13$	$90 \times 115 \times 9$	$175\times210\times14$
$20 \times 32 \times 7$	$28 \times 52 \times 7$	$38 \times 62 \times 7$	$48 \times 65 \times 12$	$60\times140\times15$	90 × 115 × 12	$175 \times 215 \times 16$
$20 \times 33 \times 10$	$28 \times 55 \times 9$	$38 \times 62 \times 12$	$48 \times 68 \times 10$	$62 \times 75 \times 10$	$90\times120\times12$	$180\times200\times13$
$20 \times 35 \times 6$	$28 \times 62 \times 12$	$38 \times 65 \times 10$	$48\times70\times10$	$62 \times 80 \times 8$	$90\times125\times12$	$180\times210\times15$
$20 \times 35 \times 10$	$28.5 \times 46.5 \times 10$	$38 \times \overline{72 \times 10}$	$48 \times 70 \times 12$	$62 \times 80 \times 12$	90 × 130 × 12	$180\times215\times16$
$20 \times 37 \times 10$	$29 \times 40 \times 7$	$38 \times 72 \times 12$	$48 \times 72 \times 8$	$62 \times 85 \times 10$	90 × 140 × 12	$180\times220\times15$
$20 \times 38 \times 7$	$29 \times 43 \times 7$	$38 \times 74 \times 10$	$46\times72\times10$	$62 \times 85 \times 12$	90 × 160 × 12	$185 \times 215 \times 16$
$20 \times 40 \times 7$	$29 \times 50 \times 10$	$38 \times 80 \times 12$	$48 \times 72 \times 12$	$62 \times 90 \times 10$	92 × 120 × 12	$190\times215\times15$
$20 \times 40 \times 10$	$29.8 \times 50 \times 9,5$	$40\times50\times7$	$48 \times 72.5 \times 10$	$62 \times 90 \times 12$	$95 \times 110 \times 10$	$190\times220\times15$
$20 \times 42 \times 6$	$30 \times 40 \times 5$	$40 \times 52 \times 7$	$48 \times 80 \times 10$	$62 \times 93 \times 12$	$95 \times 110 \times 13$	$190\times225\times16$
$20 \times 42 \times 7$	$30 \times 40 \times 7$	$40 \times 55 \times 7$	$48 \times 80 \times 13$	$62 \times \overline{100 \times 13}$	95 × 115 × 13	190 × 230 × 15
$20 \times 42 \times 10$	$30 \times 42 \times 6$	$40 \times 55 \times 8$	$49 \times 65 \times 10$	$62 \times 80 \times 9$	95 × 120 × 12	$196\times235\times18$
$20 \times 45 \times 7$	$30 \times 42 \times 7$	$40 \times 56 \times 6$	$50 \times 60 \times 5.5$	$63 \times 85 \times 10$	95 × 125 × 12	$200\times225\times15$

1	2	3	4	5	6	7
$20 \times 47 \times 7$	$30 \times 42 \times 8$	$40 \times 56 \times 8$	50 × 62 × 5	$63 \times 85 \times 12$	95 × 127 × 14	200 × 230 × 15
$20 \times 47 \times 10$	$30 \times 44 \times 10$	$40 \times 56 \times 12$	$50 \times 65 \times 8$	$63 \times 85 \times 10$	95 × 130 × 13	$200\times240\times15$
$20 \times 52 \times 10$	$30 \times 45 \times 8$	$40 \times 57.15 \times 9$	50 × 65 × 10	63 × 90 × 12	98 × 120 × 8	$200\times250\times15$
$21 \times 40 \times 10$	$30 \times 47 \times 6$	$40 \times 58 \times 8$	$50 \times 68 \times 8$	$64 \times 80 \times 8$	98 × 120 × 12	$205\times230\times16$
$22\times32\times5.5$	$30 \times 47 \times 10$	$40 \times 58 \times 12$	$50 \times 70 \times 8$	$64 \times 95 \times 10$	98 × 127 × 12	$210\times245\times16$
$22 \times 32 \times 7$	$30 \times 50 \times 7$	$40 \times 60 \times 10$	50 × 70 × 10	$65 \times 75 \times 8$	$100\times120\times12$	$210\times250\times15$
$22 \times 34.5 \times 6$	$30 \times 50 \times 9$	$40 \times 60 \times 12$	50 × 70 × 12	$65 \times 80 \times 7$	$100\times125\times12$	$215\times240\times12$
$22 \times 35 \times 7$	$30 \times 50 \times 10$	$40 \times 62 \times 7$	$50 \times 72 \times 8$	$65 \times 80 \times 8$	$100\times130\times12$	$215\times250\times16$
$22 \times 35 \times 10$	$30 \times 50 \times 10$	$40 \times 62 \times 8$	50 × 72 × 10	$65 \times 80 \times 10$	$100\times135\times12$	$220\times250\times15$
$22 \times 36 \times 7$	$30 \times 50 \times 4$	$40 \times 62 \times 10$	50 × 72 × 12	$65 \times 85 \times 8$	$100\times140\times12$	$220\times255\times16$
$22 \times 37 \times 7$	$30 \times 52 \times 7$	$40 \times 62 \times 12$	$50 \times 75 \times 10$	$65 \times 85 \times 10$	$100\times150\times12$	$220\times260\times15$
$22 \times 38 \times 7$	$30 \times 52 \times 8$	$40 \times 63 \times 10$	50 × 75 × 12	$65 \times 85 \times 13$	$100\times160\times12$	$220\times260\times15$
$22 \times 38 \times 10$	$30 \times 52 \times 10$	$40 \times 65 \times 10$	$50 \times 76 \times 12$	$65 \times 90 \times 10$	$100\times180\times13$	$230\times270\times15$
$22 \times 38 \times 10$	$30 \times 55 \times 7$	$40 \times 65 \times 12$	$50 \times 78 \times 10$	$65 \times 90 \times 13$	$105 \times 125 \times 12$	$230\times280\times15$
$22 \times 40 \times 10$	$30 \times 56 \times 10$	$40 \times 68 \times 8$	$50 \times 78 \times 12$	$65 \times 95 \times 10$	$105 \times 130 \times 12$	$240\times270\times15$
$22 \times 42 \times 10$	$30 \times 56 \times 12$	$40\times70\times8$	$50 \times 80 \times 8$	$65 \times 100 \times 10$	$105\times135\times12$	$240\times280\times15$
$22 \times 45 \times 7$	$30 \times 60 \times 10$	$40\times70\times10$	$50 \times 80 \times 10$	$65 \times 100 \times 13$	$105\times140\times12$	$250\times280\times15$
$22 \times 47 \times 7$	$30 \times 62 \times 7$	$40\times72\times7$	$50 \times 80 \times 13$	$65 \times 110 \times 10$	$105\times145\times15$	$250\times290\times15$
$22\times47\times10$	$30 \times 62 \times 10$	$40\times72\times10$	$50 \times 85 \times 10$	$65 \times 120 \times 8$	$105\times150\times15$	$260\times280\times10$
$23 \times 35 \times 6$	$30\times72\times10$	$40\times72\times12$	50 × 90 × 10	$65 \times 125 \times 12$	$110\times125\times7$	$260\times290\times15$
$23 \times 40 \times 8$	$31 \times 52 \times 9$	$40\times80\times10$	$50 \times 90 \times 13$	$68 \times 85 \times 10$	$110\times130\times8$	$260\times300\times18$
$24 \times 32 \times 7$	$32 \times 42 \times 7$	$40 \times 80 \times 13$	$50\times110\times12$	$68 \times 85 \times 13$	$110\times130\times12$	$260\times310\times18$
$24 \times 35 \times 7$	$32\times43\times4,5$	$40\times 90\times 10$	$50 \times 72 \times 12$	$68 \times 90 \times 10$	$110\times135\times12$	$265\times290\times16$
$24 \times 35 \times 7$	$32 \times 44 \times 7$	$41\times 56\times 9$	$51 \times 76 \times 10$	$68 \times 90 \times 13$	$110\times140\times10$	$270\times300\times15$
$24 \times 37 \times 7$	$32\times44\times10$	$42\times52\times7$	$52 \times 68 \times 8$	$68 \times 95 \times 12$	$110\times140\times12$	$270\times310\times18$
$24 \times 38 \times 7$	$32 \times 45 \times 7$	$42 \times 52 \times 8$	$52 \times 70 \times 7$	$68 \times 100 \times 12$	$110\times150\times8$	$270\times320\times18$
$24\times40\times7$	$32 \times 47 \times 7$	$42\times55\times8$	$52 \times 72 \times 8$	$70 \times 80 \times 8$	$112\times136\times12$	$280\times310\times15$
$24\times40\times10$	$32\times47\times10$	$42\times56\times7$	$52 \times 72 \times 10$	$70 \times 85 \times 8$	$112.5 \times 145 \times 12$	$280\times320\times18$
$24 \times 42 \times 7$	$32 \times 48 \times 8$	$42\times58\times10$	$52 \times 72 \times 12$	$70 \times 85 \times 10$	$114 \times 145 \times 12$	$290\times330\times18$
$24 \times 42 \times 10$	$32 \times 50 \times 8$	$42 \times 60 \times 10$	$52 \times 72 \times 10$	$70 \times 90 \times 7$	$115 \times 135 \times 12$	$300\times340\times18$
$24\times45\times10$	$32\times50\times10$	$42 \times 62 \times 7$	$52 \times 78 \times 12$	$70 \times 90 \times 10$	$115\times140\times10$	$305 \times 340 \times 18$
$24 \times 47 \times 7$	$32 \times 50 \times 12$	$42 \times 62 \times 8$	$52 \times 80 \times 10$	$70 \times 90 \times 13$	$115 \times 140 \times 12$	$310\times340\times15$
$24\times47\times10$	$32 \times 52 \times 7$	$42\times62\times10$	$52 \times 80 \times 13$	$70 \times 92 \times 10$	$115 \times 145 \times 12$	$320\times360\times18$
$24\times50\times10$	$32\times52\times10$	$42\times62\times12$	$52 \times 85 \times 10$	$70\times95\times10$	$115\times145\times15$	$330\times370\times18$
$24\times50\times12$	$32 \times 52 \times 12$	$42\times64\times10$	$53 \times 68 \times 13$	$70 \times 100 \times 10$	$115 \times 150 \times 12$	$340\times380\times18$

Окончание таблицы Л1

1	2	3	4	5	6	7
$24 \times 50 \times 12$	$32\times55\times10$	$42\times65\times10$	$54 \times 70 \times 12$	$70\times100\times13$	$115\times150\times14$	$350\times390\times18$
$24 \times 52 \times 12$	$32\times 56\times 10$	$42\times65\times12$	$54 \times 73 \times 10$	$70\times105\times10$	$119\times146\times12$	350 × 390 × 18
$24 \times 52 \times 12$	$32\times 56\times 12$	$42\times68\times10$	$54 \times 80 \times 12$	$70\times110\times10$	$120\times140\times12$	$360\times400\times18$
$25 \times 35 \times 7$	$32\times62\times10$	$42\times70\times10$	$54 \times 80 \times 13$	$70 \times 110 \times 12$	$120\times145\times10$	$370\times410\times15$
$24 \times 50 \times 12$	$32 \times 55 \times 10$	$42 \times 65 \times 10$	$54 \times 70 \times 12$	$70 \times 100 \times 13$	$115 \times 150 \times 14$	350 × 390 × 18
$25 \times 36 \times 7$	$32 \times 62 \times 12$	$42\times70\times12$	$55 \times 65 \times 8$	$70\times120\times10$	$120\times146\times12$	$380\times420\times18$
$25 \times 38 \times 7$	$33 \times 49 \times 8$	$42\times72\times7$	$55 \times 68 \times 8$	$70\times150\times12$	$120\times150\times12$	$390\times430\times20$
$25 \times 38.5 \times 7$	$33 \times 50 \times 6$	$42 \times 72 \times 8$	$55 \times 70 \times 8$	$72\times90\times10$	$120\times150\times15$	$400\times440\times18$
$25 \times 40 \times 7$	$34\times46\times10$	$42\times72\times10$	$55 \times 70 \times 10$	$72\times 95\times 10$	$120\times160\times12$	$400\times450\times25$
$25 \times 40 \times 10$	$34\times50\times10$	$42\times72\times12$	$55 \times 72 \times 7$	$72\times100\times10$	$125\times140\times10$	$420\times460\times20$
$25 \times 42 \times 7$	$34\times52\times7$	$42\times75\times10$	$55 \times 72 \times 8$	$72\times100\times13$	$125\times143\times13$	$420\times470\times22$
$25 \times 42 \times 10$	$34\times52\times10$	$42 \times 80 \times 8$	$55 \times 72 \times 10$	$72\times105\times13$	$125\times143\times13$	$440\times480\times20$
$25 \times 43 \times 10$	$34\times45\times10$	$43 \times 65 \times 8$	$55 \times 72 \times 12$	$72\times110\times12$	$125\times155\times12$	$450\times500\times22$
$25 \times 45 \times 8$	35 × 47 × 4.5	43 × 65 × 12	55 × 75 × 10	$73.5 \times 110 \times 10$	125 × 160 × 12	$480 \times 520 \times 20$
$25 \times 45 \times 10$	$35 \times 47 \times 7$	$44 \times 60 \times 10$	$55 \times 78 \times 10$	$75 \times 90 \times 8$	$125 \times 170 \times 13$	$480\times530\times22$
$25 \times 46 \times 7$	$35 \times 48 \times 7$	$44 \times 62 \times 8$	$55 \times 78 \times 12$	$75 \times 90 \times 10$	$128\times150\times13$	500 × 540 × 25
$25 \times 47 \times 7$	$35 \times 50 \times 7$	$44 \times 62 \times 10$	$55 \times 80 \times 6$	$75 \times 95 \times 10$	$130\times150\times10$	500 × 550 × 22
$25 \times 47 \times 10$	$35 \times 50 \times 8$	$44 \times 62 \times 12$	$55 \times 80 \times 8$	$75 \times 96 \times 11$	$130 \times 154 \times 12$	560 × 610 × 25
$25 \times 50 \times 7$	$35\times50\times10$	$44 \times 66 \times 12$	$55 \times 80 \times 10$	$75\times100\times10$	$130\times155\times10$	

Примечания:

- 1.Манжеты резиновые армированные с пружиной для уплотнения валов применяются при работе в минеральных маслах, воде, дизельном топливе при избыточном давлении до $0.05~\rm M\Pi A$ и скорости вращения до $20~\rm m/c$. Работоспособны при t° от $-45^\circ\rm C$ до $+100~\rm ^\circ\rm C$.
- 2. Тип манжеты: 1- без пыльника для предотвращения вытекания уплотняемой среды; 2- с пыльником для предотвращения вытекания уплотняемой среды и защиты от проникновения пыли;
- 3. Исполнение манжет: 1 рабочая кромка с механической обработкой; 2 с формованной рабочей кромкой.
- 4.Размер h_1 -по ГОСТ 8752-79.
- 5. Пример условного обозначения манжеты с армированная с пыльником, с формованной кромкой(2.2), диаметром уплотняемого вала 85 мм ,наружным диаметром манжеты 110 мм и группой резины сальника 1, по ГОСТ 8752-79:

Манжета 2.2-85 x 110 - 1 ГОСТ 8752-79 .

приложение м

(справочное)

Таблица М1 — Техническая характеристика шарикоподшипников радиальных однорядных типа 0000 (из ГОСТ 8338-75)

Эквивален					дшипник				Числовые значения			
		ическая Р				Fa		F .	коэф	фициен		
	татичес	кая $P_0 =$	0,6F _r -	, B		$\frac{F_a}{C_0}$	e	$\left \frac{r_a}{F} \right $	$\frac{1}{r} \leq e$		$^{a}/_{F_{n}}$. > e
1///	1111	//		-	Dw.			X	Y	X		Y
		//	_	anne		0.025	0.22					2.0
277			F I		*	0.04	0.24					1.0
		D2		and		0.04	0.24					1.8
322		7	a	11		0.07	0.27	1	0	0.56		1.4
42	8	_ _		- []	0 0	0.25	0.37					1.2
				Ш	11	0.20	0.07					1.2
						0.5	0.44					1.0
Условное						•	I.	Грузо	Грузоподъёмность			
обозначе- ние				Размер	ы,мм			, кН				
	d	D	В	r	$d_{2 ext{Haum}}$	$D_{2\text{наим}}$	Шарик	C_o		$\overline{C_o}$		
					ZHAMM	ZHAMM	D_W			Ü	Be	ес G ,кг
1	2	3	4	5	6	7	8	9		10		11
					Легкая	серия						
200	10	30	9		15	25	5,95	4.7	2.7		0.0)3
201	12	32	10		17	27	5,56	7.8	2.7		0.0)37
202	15	35	11	1.0	20	30	5,95	5.9	3.5)45
203	17	40	12		22	35	7,14	7.5	4.5		0.0	
204	20	47	14		26	41	7,94	10.0	6.3		0.1	
205	25	52	15	0.5	31	46	7,94	11.0	7.9	_	0.1	
206	30	62	16	1	36	56	9,53	15.3	10.2		0.2	
207	35	72	17	2.0	42	65	11,11	20.1	13.9		0.2	
208	40	80 85	18 19	2.0	47 52	74	12,70 12,70	25.6 25.7	18.1		0.3	
210	50	90	20	+	57	83	12,70	27.58	20.2		0.4	
211	55	100	21		64	91	14,29	34.0	25.6		0.6	
212	60	110	22	2.5	69	101	15,88	41.1	31.5		0.0	
213	65	120	23	1 2.3	74	11	16,67	44.9	34.7		0.9	
214	70	125	24	†	79	116	17,46	48.8	38.1		1.0	
215	75	130	25	1	84	121	17,46	51.9	41.9		1.1	
216	80	140	26		90	130	19,05	57.0	45.4		1.4	10
217	85	150	28	3.0	95	140	19,84	65.4	54.1	1	1.0	00
218	90	160	30	7	100	150	22,23	75.3	61.7	7	2.2	20
219	95	170	32		107	158	23,1	85,3	70,9	9	2,7	70
220	100	180	34	1	112	168	25,40	95,	80,6	5	3,2	20
221	105	190	36	3,5	117	178	26,99	104,0	91,0)	3,6	50
222	110	200	38	1	122	185	28,58	113,0	102		4,5	
224	120	215	40	1	132	203	30,16	120,0			7,5	
226	130	230	40	4,0	144	216	28,58	122,0	122	,0	9,8	30
L	1	1		1	1	1	1					

Продолжение таблицы М 1

1	2	3	4	5	6	7	8	9	10	11
					Сред	няя серия				
300	10	35	11	1,0	15,5	29,5	7,14	6,63	3,83	0,05
301	12	37	12		16,5	32	7,4	7,63	4,73	0,06
302	15	42	13	1,5	20,2	37	7,94	8,90	5,51	0,08
303	17	47	14		23	41	9,53	10,9	6,80	0,11
304	20	52	15	2,0	27	4,5	9,53	12,5	7,94	0,14
305	25	62	17	2,0	32	55	11,51	17,6	11,6	0,23
306	30	72	19		37	65	12,30	22,0	15,1	034
307	35	80	21		44	70	14,29	26,2	17,9	0,44
308	40	90	23	2,5	49	80	15,08	31,9	22,7	0,63
309	45	100	25		54	90	17,46	37,8	26,7	0,83
310	50	110	27	2.0	60	100	19,05	48,5	36,3	1,08
311	55	120	29	3,0	65	110	20,64	56,0	42,6	1,35
312	60	130	31		72	118	22,23	64,1	49,4	1,70
313	65	140	33		77	128	23,81	72,7	56,7	2,11
314	70	150	35	3,5	82	138	25,40	81,7	64,5	2,60
315	75	160	37		87	148	26,99	89,0	72,8	3,1
316	80	170	39		92	158	28,58	96,5	81,7	3,6
317	85	180	41		99	165	30,16	104,0	91,0	4,3
318	90	190	43		104	175	31,75	112,0	101,0	5,1
319	95	200	45	4,0	109	185	33,34	120,0	111,0	5,7
320	100	215	47	4,0	113	200	36,51	136,0	133,0	7,0
321	105	225	49		114	210	38,10	144,0	145,0	8,2
322	110	240	50		124	225	41,28	161,0	170,0	9,8
324	120	260	55		134	245	42,86	170,0	184,0	12,3
326	130	280	58	5,0	148	262	44,45	180,0	198,0	15,2
330	150	320	65		168	302	50,8	217,0	258,0	27,6
			-1	ı	Тяжё	лая серия	1			
403	17	62	17	2,0	24	55	12,70	17,8	12,1	0,27
405	25	80	21	2.5	35	70	16,67	29,2	20,8	0,5
406	30	90	23	2,5	40	80	19,05	37,2	27,2	0,72
407	35	100	25		45	90	20,64	43,6	31,9	0,93
408	40	110	27	2.3	50	100	22,23	50,3	37,0	1,2
409	45	120	29	3,0	55	110	23,02	60,4	46,4	1,52

Окончание таблицы М 1

1	2	3	4	5	6	7	8	9	10	11
410	50	130	31		32	118	25,40	68,5	53,0	1,91
411	55	140	33	3,5	38	128	26,99	78,7	63,7	2,3
412	60	150	35		72	138	28,58	85,6	71,4	2,8
413	65	160	37		78	148	30,16	92,6	79,6	3,4
414	70	180	42	4,0	84	166	34,93	113,0	107,0	5,3
416	80	200	48	4,0	95	185	38,10	128,0	127,0	7,0
417	85	210	52	5,0	105	190	39,69	136,0	138,0	8,0

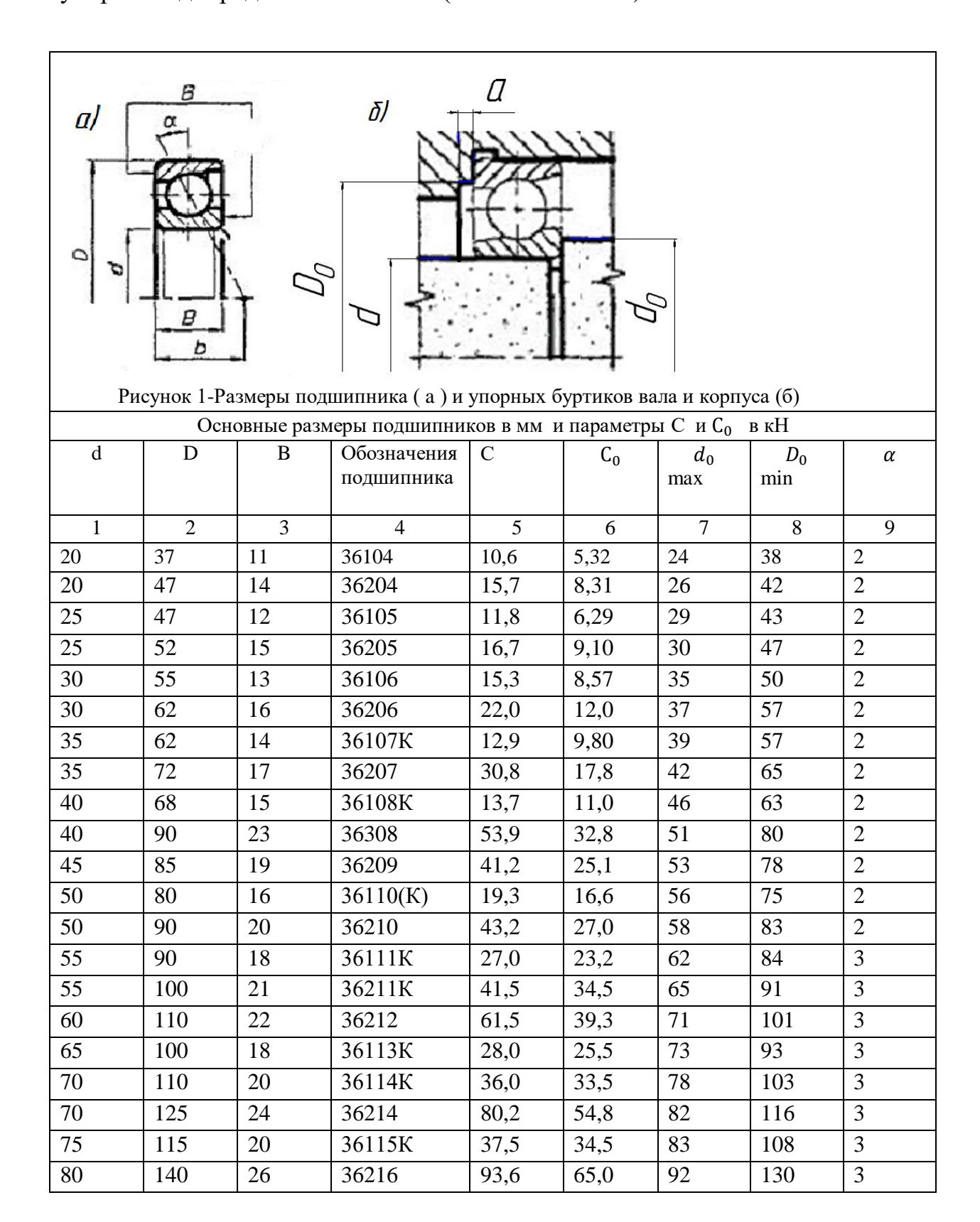
Примечания:

- 1.Обозначение серий подшипников.Третья цифра справа в обозначении указывает серию подшипника:особолегкая -1,легкая 2 или 5,средняя 3 или 6,тяжелая -4;
- 2.В таблице представлены данные по серийно выпускаемым подшипникам;
- 3. Пример условного обозначения шарикового радиального подшипника типа

0000,легкой серии диаметров 2 с d =25 мм,D=52 мм и B =15 мм

Подшипник 205 ГОСТ 8338-75

Таблица M2 — Техническая характеристика шарикоподшипников радиальноупорных однорядных типа 36000 (из ГОСТ 831-75)



Окончание таблицы М2

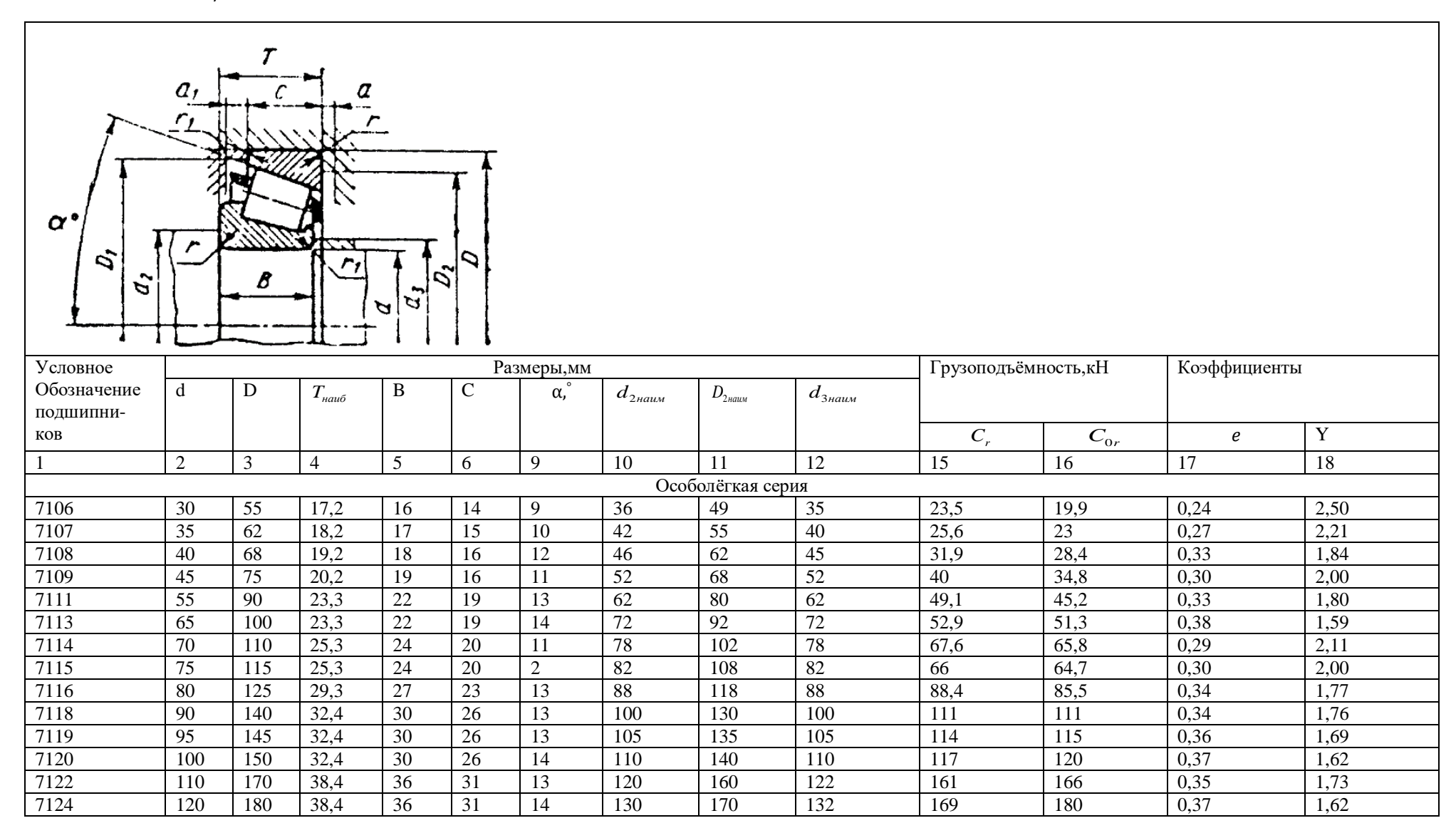
1	2	3	4	5	6	7	8	9
85	130	22	36117K	47,5	46,5	95	122	3
85	150	28	36217	101	70,8	99	140	3

Примечания:

- 1.Обозначение серий подшипников.Третья цифра справа в обозначении указывает серию подшипника:особо-легкая -1,легкая 2 или 5,средняя 3 или 6,тяжелая -4;
- 2.В таблице представлены данные по серийно выпускаемым подшипникам;
- 3. Пример условного обозначения шарикового радиально-упорного подшипника типа 36000,легкой серии диаметров 2 с d =25 мм,D=52 мм и B =15 мм

Подшипник 36205 ГОСТ 831-75

М.3 – Техническая характеристика шарикоподшипников радиально- упорных конических однорядных типа 7000 (из ГОСТ 27365-87)



Продолжение таблицы М.3

1	2	3	4	5	6	9	10	11	12	15	16	17	18
7128	140	210	45,5	42	36	14	150	200	152	226	247	0,37	1,62
7128	140	210	45,5	42	36	14	150	200	152	226	247	0,37	1,62
							Л	ёгкая серия					
7202	15	35	12,0	11	9	17	20	30	19	8,78	6,14	0,451	1,33
7203	17	40	13,5	12	11	12	24	34	22	13,8	9,30	0,31	1,91
7204	20	47	15,5	14	12	14	26	41	25	19,1	13,3	0,36	1,67
7205	25	52	16,5	15	13	14	32	46	30	23,9	17,9	0,36	1,67
7206	30	62	17,5	16	14	14	36	55	36	29,8	22,3	0,36	1,65
7207	35	72	18,5	17	15	14	42	65	42	35,2	26,3	0,37	1,62
7208	40	80	20,0	19	16	14	48	72	48	42,4	32,7	0,38	1,56
7209	45	85	21,0	20	16	15	52	78	52	42,7	33,4	0,41	1,45
7210	50	90	22,0	21	17	14	58	82	58	52,9	40,6	0,37	1,60
7211	55	100	23,0	21	18	15	65	90	65	57,9	46,1	0,41	1,46
7212	60	110	24,0	23	19	13	70	100	70	72,2	58,4	0,35	1,71
7214	70	125	26,5	26	21	14	80	115	80	95,9	82,1	0,37	1,62
7215	75	130	27,5	26	22	15	85	120	85	97,6	84,5	0,39	1,55
7216	80	140	28,5	26	22	16	90	130	92	106	95,2	0,42	1,43
							Cr	едняя серия	[
7304	20	52	16,5	16	13	11	28	45	26	25	17,7	0,30	2,03
7305	25	62	18,5	17	15	14	32	55	32	29,6	20,9	0,36	1,66
7306	30	72	21,0	19	17	14	37	65	37	40	29,9	0,34	1,78
7307	35	80	23,0	21	18	12	44	70	44	48,1	35,3	0,32	1,88
7308	40	90	25,5	23	20	11	50	80	50	61	46	0,28	2,16
7309	45	100	27,5	26	22	11	55	90	55	76,1	59,3	0,29	2,09
7310	50	110	29,5	29	23	12	60	100	62	96,6	75,9	0,31	1,94
7311	55	120	32,0	29	25	13	65	110	68	102	81,5	0,33	1,80
7312	60	130	34,0	31	27	12	72	118	72	118	96,3	0,30	1,97
7313	65	140	38,5	33	28	12	77	128	80	134	11	0,30	1,97
7314	70	150	38,5	37	30	12	82	138	85	168	137	0,31	1,94
7315	75	160	40,0	37	31	12	87	148	87	178	148	0,33	1,83
7317	85	180	45,0	41	35	12	99	166	99	221	195	0,31	1,91
7318	90	190	47,0	43	36	12	105	175	110	240	201	0,32	1,88
7320	100	215	52,0	47	39	12	115	200	122	290	270	0,32	1,88

- 1.Обозначение серий подшипников.Третья цифра справа в обозначении указывает серию подшипника:особо-легкая -1,легкая 2 или 5,средняя 3 или 6,тяжелая -4;
- 2. Эквивалентная динамическая нагрузка на подшипник $P = XF_r + YF_a$. В таблице значения Y даны при $\frac{F_a}{F_r} \rangle e$; при этом для всех X = 0,4

подшипников. При $\frac{F_a}{F_c}$; при этом для всех X = 0,4 подшипников.

3. Пример условного обозначения радиально- упорного конического однорядного типа 7000 легкой серии диаметров 2 d = 20 мм, D = 47 мм и B = 15 мм

Подшипник 7204 ГОСТ 27365-87

М 4 - Техническая характеристика подшипников шариковых радиальных сферических двухрядных исполнения 1000 по ГОСТ 28428-90

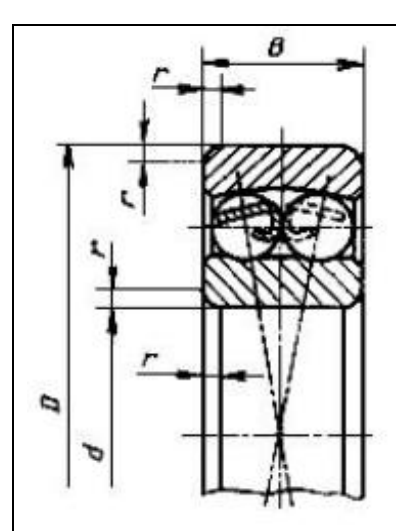


Рисунок 1-Размеры подшипника. Тип 1000 – с цилиндрическим отверстием внутреннего кольца

Основные размеры в мм и значения динамической C и статической B=14 грузоподъемностей в кH;

d	D	В	r	Обозначение	C,	C_0 ,	e	У	
				подшипника	кН	кН		$F_a / V F_2 \le e$	$F_a/F_r\rangle e$
1	2	3	4	5	6	7	8	9	10
20	47	14	1,5	1204	10,0	3,45	0,27	2,3	3,6
20	52	15	2,0	1304	12,5	4,40	0,28	2,2	3,5
25	52	15	1,5	1205	12,2	4,40	0,27	2,3	3,6
25	62	17	2,0	1305	18,0	6,70	0,28	2,2	3,5
30	62	16	1,5	1206	15,6	6,20	0,24	2,6	4,0
30	72	19	2,0	1306	21,2	8,50	0,25	2,5	3,9
35	72	17	2,0	1207	16,0	6,95	0,23	2,7	4,2
35	80	21	2,5	1307	25,0	10,6	0,24	2,5	4,0
40	80	19,3	8,80	1208	19,3	8,80	0,22	2,8	4,3
40	90	23	2,5	1308	29,0	12,9	0,24	2,6	4,0
45	85	19	2,0	1209	22,0	10,0	0,21	2,9	4,5
45	100	25	2,5	1309	38,0	12,9	0,25	2,5	3,9
50	90	20	2,0	1210	22,8	11,0	0,20	3,2	4,9
50	110	27	3,0	1310	41,5	19,3	0,23	2,7	4,2
55	100	21	2,5	1211	27,0	13,7	0,19	3,3	5,1
55	120	29	3,0	1311	51,0	24,0	0,23	2,7	4,2
60	110	22	2,5	1212	30,0	16,0	0,18	3,5	5,4
60	130	31	3,5	1312	57,0	28,0	0,22	2,8	4,3
65	120	23	2,5	1213	31,0	17,3	0,17	3,6	5,6
65	140	33	3,5	1313	62,0	31,0	0,22	2,8	4,3
70	125	24	2,5	1214	34,5	19,0	0,18	3,5	5,4
70	150	35	3,5	1314	75,0	37,5	0,22	2,8	4,3
75	130	25	2,5	1215	39,0	21,6	0,17	3,6	5,5
75	160	37	3,5	1315	80,0	40,0	0,22	2,8	4,3

1	2	3	4	5	6	7	8	9	10
80	140	26	3,0	1216	40,0	23,6	0,16	3,9	6,1
80	170	39	3,5	1316	88,0	45,0	0,21	2,9	4,5
85	150	28	3,0	1217	49,0	28,5	0,16	3,9	6,1
85	180	41	4,0	1317	98,0	51,0	0,37	1,7	2,6
90	160	30	3,0	1218	57,0	39,0	0,16	3,9	6,3
90	190	43	4,0	1318	108	58,5	0,22	2,8	4,3

- 1.Обозначение серий подшипников. Третья цифра справа в обозначении указывает серию подшипника: особо-легкая -1, легкая 2 или 5, средняя 3 или 6, тяжелая -4;
- 2. Эквивалентная динамическая нагрузка: $P = XF_2 + YF_a$, где F_2 радиальная нагрузка на подшипниках, F_a осевая для $F_a / \nabla F_2 \rangle e$ значение X = 1. Для $F_a / \nabla F_2 \rangle e$ значение X = 0.63. Коэффициент V = 1.0 при вращение внутреннего кольца и V = 1.2 при вращении наружного кольца.
- 3.Посадка подшипников на вал и в корпус:высота упорных буртиков не менее $h = 0.05 \cdot (D-d) + (2...3)$ мм; радиус галтели не более 0,8г;
- 3. Пример условного обозначения шарикового радиального сферического двухрядного подшипника типа 1000, легкой серии диаметров 2 с $d=20\,$ мм, $D=47\,$ мм и $B=14\,$ мм $D=47\,$ мм и $D=47\,$ мм

приложение н

(справочное)

Разъемные корпуса типа РШ (по ГОСТ 13218.9–80

Рисунок Н1- Разъемные корпуса типа РШ.

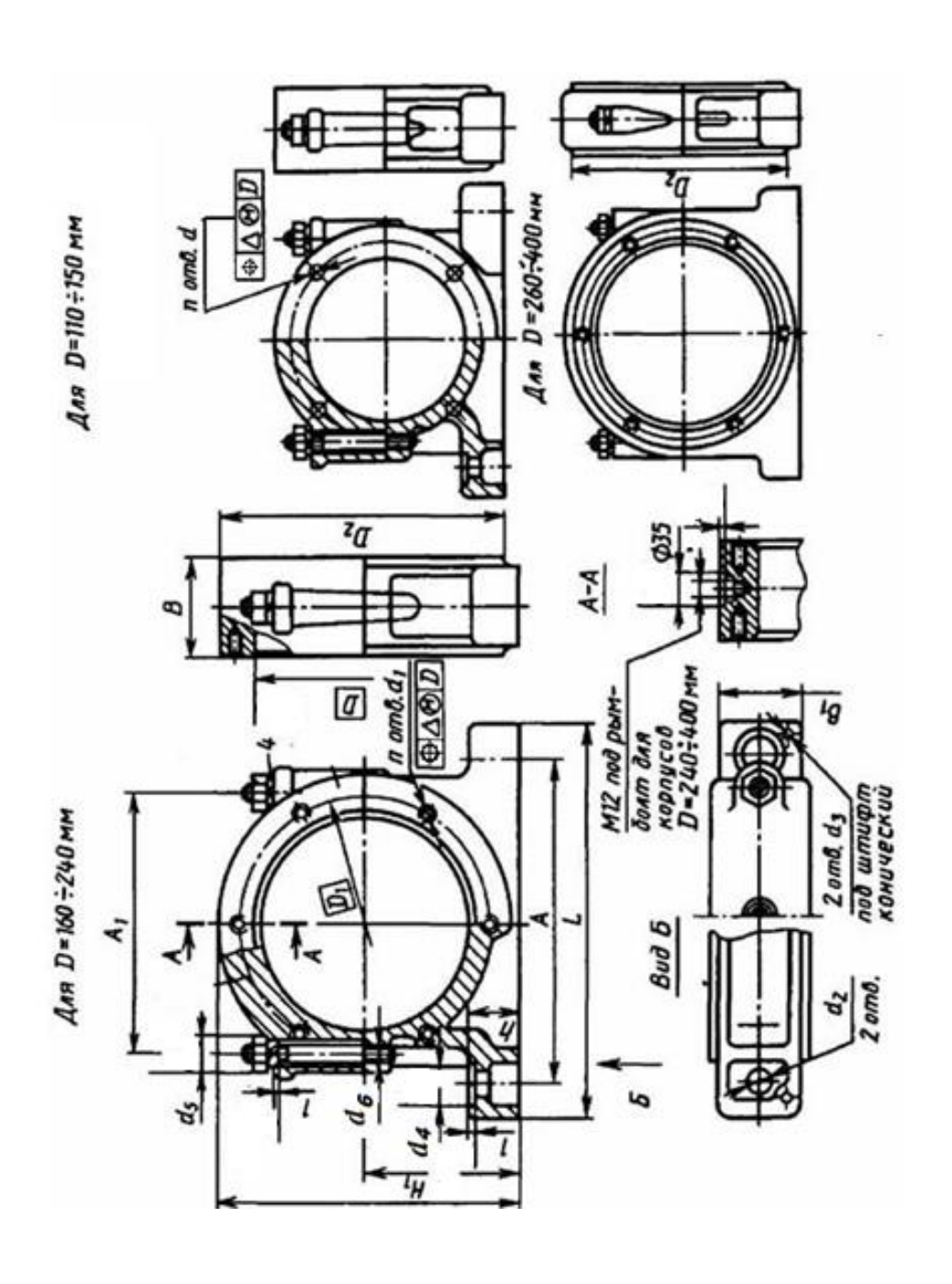


Таблица Н2. Размеры разъемных копусов типа РШ, мм

Масса , кг	4,28	6,23	8,05	8,85	11,4	12,6	13,7	14,9	15,6	16,5	24	26,1	34,2
d_6					M16						Ç	- M20	
h	28	30	34			40				4	5	48	50
H_1	80	92	86	102	110	120	125	130	135	140	150	160	170
Н	157, 5	179, 5	190, 5	199, ₁	${215, \ 110}$	$^{230}_{0}$	${240 \atop 0}$, 125	$\begin{array}{c} 250, \\ 0 \end{array}$ 130	$\begin{pmatrix} 260, & 1\\ 0 & 1 \end{pmatrix}$	$360 \ {}^{270}_{0}, 140$	$390 \ \frac{292}{5}, 150$	270 105 91 405 307, 160 48	290 108 94 415 327, 170 50
L	235	245	260	290	330	225	ccc		000	360	390	405	415
B_1	45	48			70		99	89	72	75	87	91	94
В	55	58	65	89	70	75	78	80	85	88	100	105	108
A_1	140	150	160	170	185	200	210	220	230	240	250 100	270	290
Пред			±0,2							1,0-			
A Hommh Пред A_1 orkn.	180	195	210	235	250	260	265	320	C/7	290	310	330	345
d_5		I					30	3				,	36
d_4		32					40					1	45
d_3	O	Ø	70	10			7	CI				16	
d_2		17				22					26		
и			4						5				
Δ_1			1			0.17	0,12			7	0,10		
d_1			1				M12			M14			M16
Δ			0,12							I			
d	11		5	CI						I			
D_2	155	175	185	195	210	220	230	240	250	260	285	295	315
D_1	110 130	145	130 155	140 165	150 180 210	190	170 200	180 210 240		200 230	215 250	225 260	240 280 315
D	110	120	130	140	150	160	170	180	190 220	200	215	225	240
Обозначение корпуса	PIII 110	PIII 120	PIII 130	PIII 140	PIII 150	PIII 160	PIII 170	РШ 180	PIII 190	PIII 200	PIII 215	PIII 225	PIII 240

Пример условного обозначения корпуса РШ, D = 240 мм: **Корпус РШ 240 ГОСТ 13218.9–80**. То же, основания: **Основание РШ 24011 ГОСТ 13218.9–80**. То же, крышки: **Крышка РШ 24012 ГОСТ 13218.9–80**.

Рисунок Н 3 - Крышки корпусов торцовые глухие (по ГОСТ 18511–73)

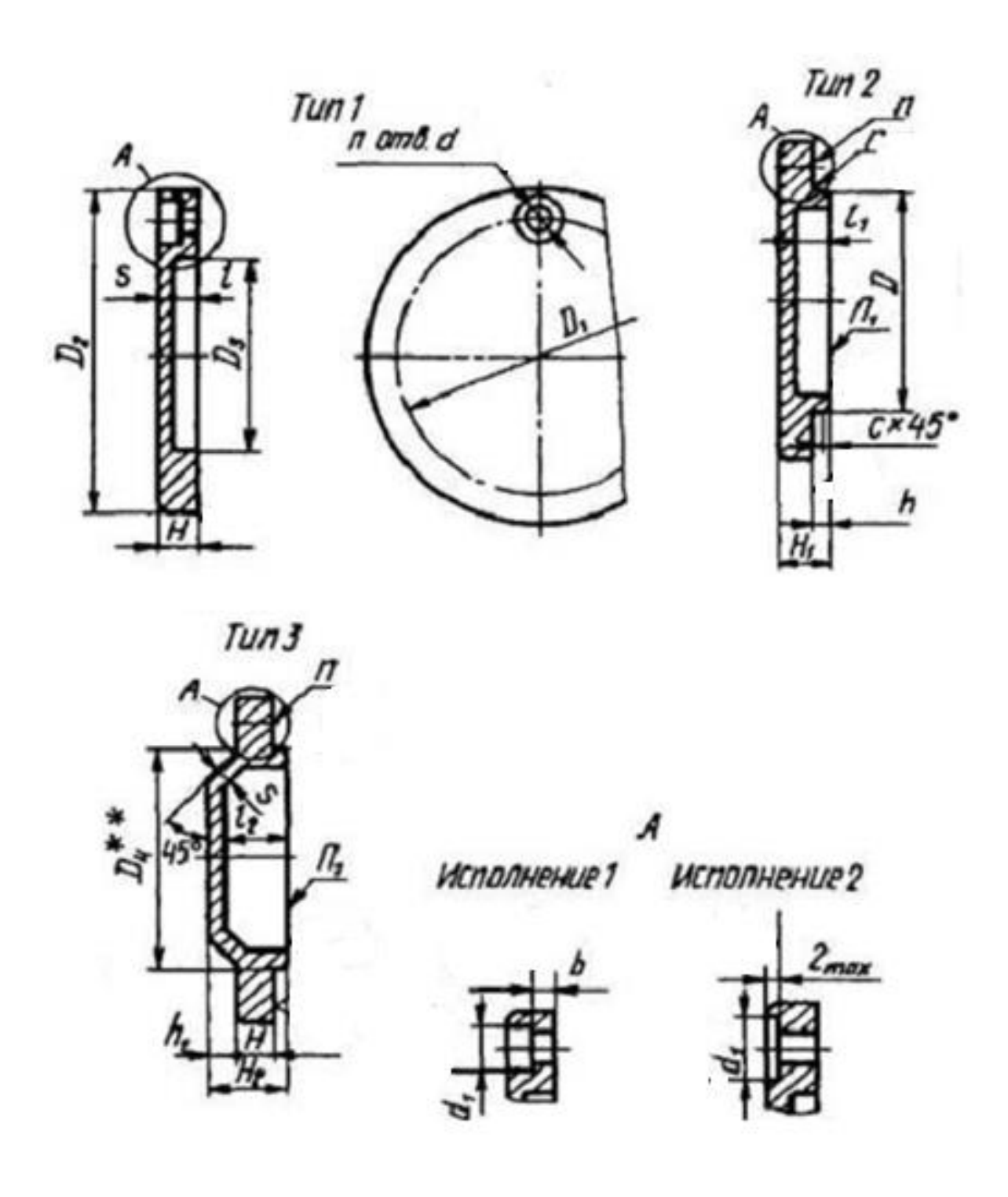


Таблица Н4 - Размеры крышек торцовых глухих ,мм

Тип 3 Масса крышки, кг 0,74 0,23 0,32 0,74 2,55 0,27 0,40 0,67 0,83 2,7 Гип 1 Тип 2 0,26 0,42 0,22 0,38 0,92 0,60 0,67 0,67 0,31 2,5 1,6 1,3 2,15 0,36 0,24 0,29 0,40 0,57 0,63 0,63 0,84 2,3 0,21 1,6 0,6 1,0 0,0 0,1 c9 5 7 S b5 4 6 h_1 5 7 8 ∞ Ч 5 9 15 20 25 17 l_2 16 12 10 l_1 9 ∞ Размеры, мм (Рисунок НЗ) H_2 26 32 22 20 15 23 18 H_1 H^* 10 12 15 20 24 14 d_2 12 15 11 18 d_1 q_ 6 105 125 130 D_3 34 38 44 48 52 28 62 64 72 95 80 90 110 105 110 145 165 195 120 130 155 175 185 D_2 78 70 82 95 001 120 130 140 09 170 50 D_1 99 75 28 54 9 84 $D = D_4**$ 44; 45; 47 105; 110 125; 130 115; 120 135; 140 50; 52 55; 58 60; 62 80; 85 90; 95 40; 42 70;72 65; 68 100 145 75

Продолжение таблицы Н4

												-	$\Gamma \sim \Gamma$,		١.			
**************************************	ζ.	V	H H H I I I I I I I I I I I I I I I I I	F	r	1 F	H_{**}	H_1	1	1	1	7	1 7		(acca	крыш	Масса крышки, кг
$D = D_4 \cdots$	\mathcal{D}_1	D 2	\mathcal{L}_3	a	a_1	a ₂	*	`* -	1	11	7	u	$\frac{u_1}{u_1}$	S	c	T	ип 1	Тип 2	Тип 1 Тип 2 Тип 3
150; 155	180	180 210 135	135													` '	3,2	3,4	3,7
160; 165	190	190 220 145	145													` '	3,5	3,7	4,0
170; 175	200	200 230 155	155													` '	3,8	4,0	4,4
180	210	240	210 240 160 13 20 26 18 28 40 10 20 32 10 12 6	13	50	26 1	8	8 40	10	20	32	10	12	8		,	4,2	4,5	4,8
190; 200	225	225 255	175												1,6	1,60,8 4,6	4,6	4,9	5,2
210	235	235 265 190	190													,	4,8	5,2	5,6
215; 220	250	250 280 200	200														5,4	5,7	6,1
225; 265	265	265 300 208	208	7	Ò	,	Ċ	2	,	ď	5	,	7	-			7,8	8,5	8,8
240; 250	280	315	280 315 220		 0 7	1/ 28 32 33 30 13 23 40 12 13 7 10	ن <u>ن</u>	<u></u>		7	1	71	<u>. </u>				8,7	9,3	8,6
Примечания: 1.* Размеры для справок. 2.** D4 назначает: $n=3$ при $D=13\div37;$ $n=4$ при $D=40\div75;$ $n=6$ при $D=80\div250$. 3.Пример обозначения торцовой глухой крышки типа 1, исполнения 2, диаметром $D=65$ мм: $Kpenuka$ 12-65 $FOCT$ 18511—73.	ие D п	о d11.	Назнача	ают: 1	1=3	при Б) = 13 : 65 m	÷37;	n = 4	идп	D = 4	0÷75	= u :	ıdıı 9	$_{ m I}{ m D}=8$	0÷250			

209

Рисунок H 5 - Крышки торцовые сквозные с отверстием для манжетного уплотнения (по ГОСТ 18512–73)

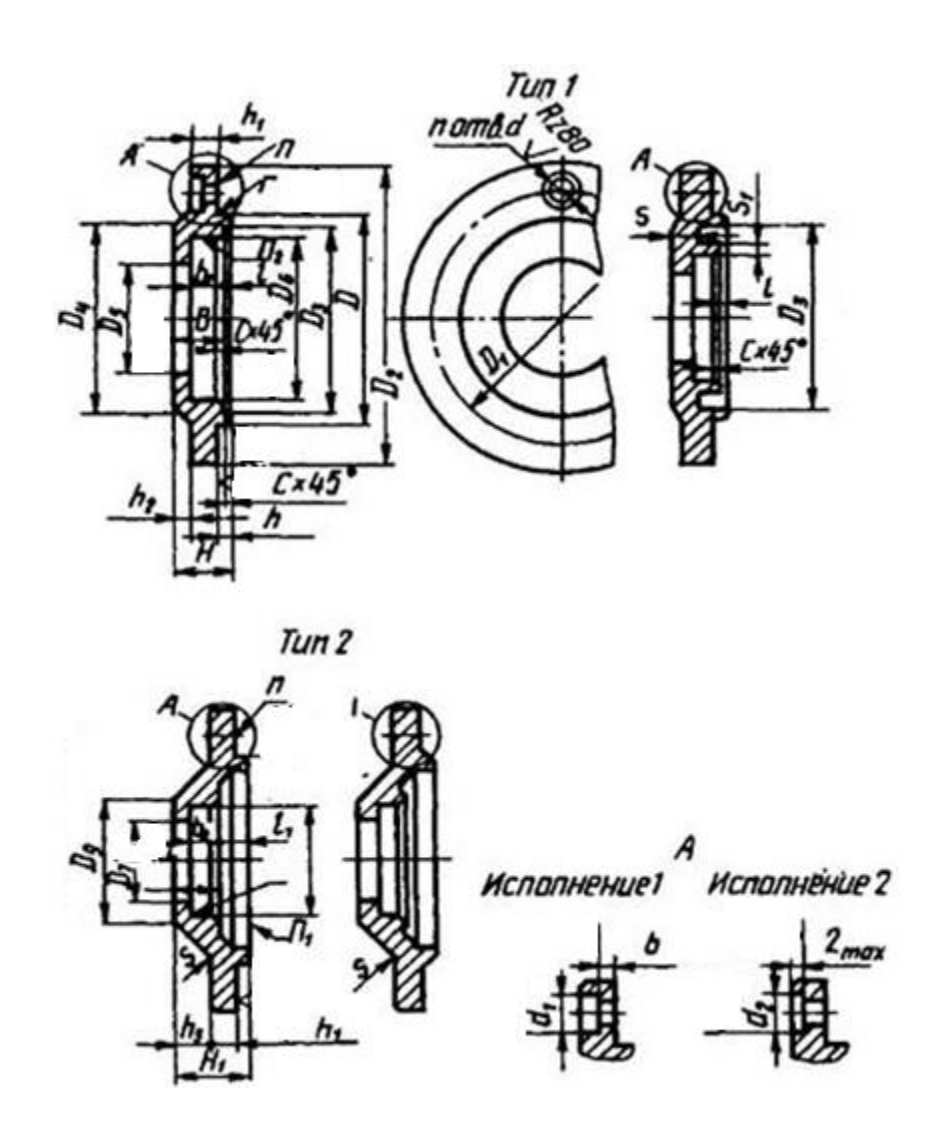


Таблица H6. Размеры крышек торцовых сквозных под вал или втулку с диаметром d=16...45 мм,мм

				P	азме	еры,	мм (Р	исуно	к Н5)							
D h9		4	0	4	-2		47			52		55	60		6	2
D_1			5	4			60			66		75	78		7	8
D_2			7	0			78			82		95	95		9	5
D_3			3	4		38	-	_		44		48	52 –	- [5	2
D_4			4	0			47			50		50	60		6	0
Диаметр вала или втулки $d_{\scriptscriptstyle{ heta}}$		15	17	12	15	15	17	20	17	20	25	25	25 3	0	17	20
D ₅ H ₁₂		16	18	13	16	16	18	21	18	21	26	26	26 3	1	18	21
D ₆ H ₉		30	32	28	30	30	32	40	32	40	42	42	42 5	2	32	40
Диаметр вала или втулки $d_{\mathfrak{s}}$		1	4	12	16	14	17	17	17	20	20	25	25 -	_	14	20
D7 H12		1	5	13	17	15	18	18	18	21	21	26	26 –	_	15	21
D ₈ H9		2	8	28	30	28	32	32	32	40	40	42	42 -	_	28	40
D_9		3	6	36	38	36	40	40	40	48	48	48	50 —	-	36	48
d					,	7						7				
d_1					1	2						12				
d_2					1	4						14				
H^*			1	5		15	15	17	15	17	17	17	18		15	17
H_1^*			22						22	27	27	28	28		22	27
h						5						5				
h_1^*					1	0						10				
h_2			_	_		_	_	2		2	2	2	2			2
h_3					,	7			7	12	12	13	13		7	12
l						2						2				
l_1					1	0			10	12	12	13	13		10	12
В			1	3		13	13	15	13	15	15	15	15		13	15
B_1					1	2			12	15	15	15	15		12	15
b						4						4				
b_1			8,	,0		8,0	8,0	11,0	8,0	11,0	11,0	11,0	11,0		8,0	11,0
b_2					8	,0			8,0	11,0	11,0	11,0	11,0		8,0	11,0
S						5						5				
S 1												_				
С			0,	,6			1,0					1,0				
r					0	,6						0,6				
Масса крышки,	Тип 1			23			0,27			0,32			,44		0,4	
КΓ	Тип 2		0,	25			0,29)		0,35		0	,47		0,47	0,47

		Pas	вмеры,	MM	(Рис	уно	к Н5)							
1		2			3					4			4	5
D h9		62			68					72			7	5
D_1		78			84					90			9	0
D_2		95			105]	110			11	10
D_3	52	_	_	58	—	58			62			_	64	—
D_4		60			68					72			7	2
Диаметр вала или втулки $d_{\scriptscriptstyle 6}$	25	30	32	30	35	40	20	25	30	35	38	45	35	45
D ₅ H12	26	31	33	31	36	41	21	26	31	36	39	46	36	46
D ₆ H9	42	52	52	52	58	60	40	42	51	58	58	65	58	65
Диаметр вала или втулки $d_{\scriptscriptstyle extit{B}}$	25	25	_		30		16	25	30	30	30	30	35	40
D ₇ H12	26	26	_		31		17	26	31	31	31	31	36	41

Окончание таблицы Н6

1		2	3	4	5								
D ₈ H9		42	42	_	52	30	42	61	52	52	52	58	60
D_9		50	50	_	62	40	52	61	62	62	62	68	70
d			7					9					
d_1			12					15	i				
d_2			14					20)				
H^*		17	17	17				18					
H_1*		28	28		28	22	28	18	28	28	28	30	31
h			5					6					
h_1^*			10					12	,				
h_2		2	2	2					-				
h_3		13	13	_	10	4	10	10	10	10	10	12	13
l			2					3					
l_1		13	13	_	13	10	13	13	13	13	13	15	16
В		15	15	_				15	i				
B_1		15	15	—	15	12	15	15	15	15	15	1.	5
b							4						
b_1		11,0	11,0	11,0	11,0				11,0)			
b_2		11,0	11,0	_	11	8,0	11,0	11,0	11,0	11,0	11,0	11	,0
S			5					6					
S1							_						
С							1,0						
r							0,6						
Масса крышки,	Тип 1		0,44		0,62				,68			0,0	
КΓ	Тип 2	0,47	0,	47	0,70			0	,76			0,	76

Таблица H7. Параметры крышек сквозных под вал или втулку с диаметром d $=20...60~\mathrm{mm}$

			P	азм	еры,	MM	(Рис	суно	к Н5)						
1	2	3	4	5	6	7	8	9	10	11	12	13	14	15	16
D h9			8	0			8	5		9	0			96	
D_1				10	00							110			
D_2				12	20							130			
D_3				7	2					80		_		80	
D_4				8	0							92			
Диаметр вала или втулки $d_{\mathfrak{s}}$	25	30	35	40	45	50	35	45	30	40	50	55	40	50	60
D ₅ H ₁₂	26	31	36	41	46	51	36	46	31	41	51	56	41	51	61,5
D ₆ H9	42	52	58	60	65	70	58	65	52	60	70	80	60	70	85
Диаметр вала или втулки $d_{\mathfrak{s}}$	20	20	30	35	45	45	4	0	25	35	45	50	45	50	50
D ₇ H12	21	21	31	36	46	46	4	1	26	36	46	51	46	51	51
D ₈ H9	40	40	52	58	65	65	6	0	42	58	65	70	65	70	70
D_9	50	50	62	68	75	75	7	0	52	68	75	80	75	80	80
d										9					
d_1										15					
d_2										20					
H*				1	8				18	18	18	21	18	18	21
H_1*	27	27	28	30	33	33	3	1	28	30	33	34	33	34	34

1		2	3	4	5	6	7	8	9	10	11	12	13	14	15	16
h								•			6					
h_1 *											12					
h_2					-					_	_	_	3	_	_	3
h_3		9	9	10	12	15	15	13		10	12	15	16	15	16	16
l											3					
l_1		12	12	13	15	18	18	16		13	15	18	19	18	19	19
В					1	5				15	15	15	18	15	15	18
B_1											15					
b											4					
b_1					1.	1,0				11,0	11,0	11,0	13,6	11,0	11,0	13,6
b_2										1	1,0					
S											6					
<i>S</i> 1																
С											1,0					
r										(0,6					
Масса крышки,	Тип 1			0,	79			0,79			0,	90			0,90	
КΓ	Тип 2			0,	80			0,89	9		1,	00			1,00	

Таблица H8. Параметры крышек сквозных под вал или втулку с диаметром d = 30...75 мм

		Pas	змеры,	мм (Ри	сунок	H5)						
1	2	3	4	5	6	7	8	9	10	11	12	13
D h9		10	00	•		105				110		
D_1		12	20			130				130		
D_2		14	45			155				155		
D_3	9	0	_	_	95	_	_		95		_	
D_4		10	00			110				110		
Диаметр вала или втулки $d_{\scriptscriptstyle extit{G}}$	35	45	55	65	45	55	70	40	50	60	70	75
D ₅ H ₁₂	36	46	56	66,5	46	56	71,5	41	51	61,5	71,5	76,5
D ₆ H ₉	58	65	80	90	65	80	95	60	70	85	95	100
Диаметр вала или втулки $d_{\mathfrak{s}}$	30	40	50	50		50		35	45	50	55	55
D ₇ H12	31	41	51	51		51		36	46	51	56	56
D ₈ H9	52	60	70	70		70		58	65	70	80	80
D_9	62	70	80	80		80		68	75	80	90	90
d				11						11		
d_1				18						18		
d_2				24						24		
H^*				23						23		
H_1*	30	33	36	36		36		32	35	36	39	39
h				8						8		
h_1 *				15						15		
h_2								·		_	·	
h_3	7	10	13	13		13		9	12	13	16	16
l				3						3		
l_1	13	16	19	19		19		15	18	19	19	19

Окончание таблицы Н8

1		2	3	4	5	6	7	8	9	10	11	12	13
В					20						20		
b					5						5		
b_1		11,0	11,0	13,0	13,0	11,0	13,6	13,6	11,0	11,0	13,6	13,6	13,6
b_2					11,0				11,0	11,0	11,0	13,6	13,6
S					7						7		
<i>S</i> 1					_						6,0		
С					1,6						1,6		
r					0,6						0,6		
Масса крышки,	Тип 1		1,	40			1,60				1,60		
КГ	Тип 2		1,	50			1,80				1,80		
B_1					17				17	17	17	20	20

Таблица H9. Параметры крышек сквозных под вал или втулку с диаметром $d=40...80~\mathrm{mm}$

1	2	3	4	5	6	7	8	9	10	11	12	13
Размеры, мм (Рисунок Н5)												
D h9	115				120						125	
D_1					140						150	
D_2	165										175	
D_3	_				105				_	— 115		15
D_4	120									125		
Диаметр вала или втулки $d_{\mathfrak{s}}$	50	65	75	80	45	55	65	75	80	85	55	70
D ₅ H ₁₂	51	66,5	76,5	81,5	46	56	66,5	76,5	81,5	86,5	56	71,5
D ₆ H ₉	70	90	100	105	65	80	90	100	105	110	80	95
Диаметр вала или втулки $d_{\mathfrak{s}}$	60	65	65	65	40	50	60	60	60	60	65	70
D ₇ H12	61	66	66	66	41	51	61	61	61	61	66	71
D ₈ H9	85	90	90	90	60	70	85	85	85	85	90	95
<i>D</i> ₉	95	100	100	100	70	80	95	95	95	95	100	105
d	11											
d_1	18											
d_2	24											
H*	23											
H ₁ *	41	42	42	42	33	36	41	41	41	41	42	42
h	8											
h_1 *	15											
h_2	_											
h ₃	18	19	19	19	10	13	18	18	18	18	19	19
l	3											
l_1	21	22	22	22	16	19	21	21	21	21	22	22
В	20											
<i>B</i> ₁	20				17				20	20		
b	5											
b_1	11,0	13,6	13,6	13,6	11,0	11,0	13,6	13,6	13,6	13,6	13,6	
b_2	13,6	13,6	13,6	13,6	11,0	11,0	13,6	13,6	13,6	13,6	13,6	
S	7											

1		2	3	4	5	6	7	8	9	10	11	12	13			
<i>S</i> 1		6,0		_		6,0				_						
С		1,6														
r							0	,6								
Масса крышки,	Тип 1	1,80 2,00								1,80 2,00						
КΓ	Тип 2	2,10 2,40							2,10 2,40							

Таблица H10. Параметры крышек сквозных под вал или втулку с диаметром $d=55...100\ \mathrm{mm}$

1		2	3	4	5	6	7	8	9	10	11	12
			Разм	еры, мм	и (Рису	нок Н5)					
D h9		12	25			130				13	35	
D_1					150					10	60	
D_2					175					18	85	
D_3					115					125		
D_4					125					13	35	
Диаметр вала или втулки $d_{\mathfrak{s}}$		80	85	50	60	75	85	85	60	75	90	100
D ₅ H ₁₂		81,5	86,5	51	61,5	76,5	86,5	86,5	61,5	76,5	92	102
D ₆ H9		105	110	70	85	100	110	110	85	100	120	125
Диаметр вала или втулки $d_{\mathfrak{s}}$		80	80	45	50	55	65	75	65	80	80	80
D7 H12		81	81	46	51	56	66,5	75,6	66,5	81,5	81,5	81,5
D ₈ H9		105	105	65	70	80	90	100	90	105	105	105
D_9		115	115	75	80	90	100	110	100	115	115	115
d					11					1	1	
d_1					18					1	8	
d_2					24				24			
H*					23					23		
H_1^*		46	46	35	36	39	42	43	42	46	46	46
h					8					8	8	
h_1 *					15					1	5	
h_2										_	_	
h ₃		23	23	12	13	16	19	20	19	23	23	23
l					3					3	3	
l_1		26	26	18	19	19	22	23	22	26	26	26
В					20					2	0	
<i>B</i> ₁		2	0	17	17	20	20	20		7	0	
b					5					4	5	
b_1		13	,6	11,0	13,0	13,0	13,0	13,0		13	3,6	
b_2		13	,6	11,0	11,0	13,6	13,6	13,6	13,6			
S					7				7			
<i>S</i> 1		_ 6,0						6,0 —				
С					1,6				1,6			
r					0,6				0,6			
Масса крышки,	Тип 1	2,00						2,20				
КΓ	Тип 2				2,40					2,	60	

Таблица H11. Параметры крышек сквозных под вал или втулку с диаметром $d=50...105\ \mbox{mm}$

			Pas	вмеры,	мм (Ри	сунок	H5)							
D h9					140					145		1:	50	
D_1					160					170		18	30	
D_2					185					195		2	10	
D_3				12	25			Ī	13	80		13	35	
D_4					135					145		1:	50	
Диаметр вала или втулки $d_{\scriptscriptstyle{\theta}}$		55	65	70	80	90	95	100	75	95	105	60	70	
D ₅ H ₁₂		56	66,5	71,5	81,5	92	97	102	76,5	97	107	61,5	71,5	
D ₆ H ₉		80	90	95	105	120	120	126	100	120	130	85	95	
Диаметр вала или втулки $d_{\scriptscriptstyle{\theta}}$		50	60	70	80	80	80	80	85	95	95	50	65	
D ₇ H12		51	61,5	71,5	81,5	81,5	81,5	81,5	86,5	97	97	51	66,5	
D ₈ H9		70	85	95	105	105	105	105	110	120	120	70	90	
D_9		80	95	105	116	116	116	116	121	131	131	83	103	
d						11						1	3	
d_1						18	}					2	0	
d_2						24						2	6	
H*		23								2	8			
H_1*		36	41	42	46	46	46	46	47	48	48	36	42	
h						8						1	0	
h_1*						15	i					18		
h_2						_	-					_	_	
h_3		13	18	19	23	23	23	23	24	25	25	8	14	
1						3						3	3	
l_1		19	21	22	26	26	26	26	27	28	28	19	22	
В						20)					2	5	
B_1		17	20	20	20	20	20	20		20		17	20	
b						20						(5	
b_1		13,6								13	3,6			
b_2		11,0 13,6 13,6 13,6 13,6 13,6 13,6 13,6						11,0	13,6					
S			•	•		7						8	3	
<i>S</i> ₁		6,0					_					8,0	_	
С						1,0	5					1	,6	
r						0,0	5						,8	
Масса крышки,	Тип 1											50		
КГ	Тип 2				2,60					2,90		3,	70	

Таблица H12. Параметры крышек сквозных под вал или втулку с диаметром $d=60...115\ \mbox{мм}$

1	2	3	4	5	6	7	8	9	10	11	12	13
	Размеры, мм (Рисунок І											
D h9		150 155							160			
D_1		180							190			
D_2		210							220			
<i>D</i> ₃	1.	35	_	13	35	145					—	
D_4		150							160			
Диаметр вала или втулки $d_{\mathfrak{s}}$	85	100	110	70	90	65	75	80	90	105	110	115

1		2	3	4	5	6	7	8	9	10	11	12	13
D ₅ H12		86,5	102	112	71,5	92	66,5	76,5	81,5	92	107	112	117
D ₆ H9		110	125	135	95	120	90	100	105	120	130	135	145
Диаметр вала или втулки $d_{\scriptscriptstyle extit{B}}$		75	90	100	8	0	60	65	80	85	95	95	95
D ₇ H12		76,5	92	102	81	,5	61,5	66,5	81,5	86,5	97	97	97
D ₈ H9		100	120	125	10)5	85	90	105	110	120	120	120
D_9		113	133	138	1.	18	98	100	115	120	130	130	30
d				13						13			
d_1				20						20			
d_2				26						26			
H*				28						28			
H_1*		43	47	49	4	6	41	42	46	47	48	48	48
h		10							10				
h_1 *			18							18			
h_2				_						_			
h_3		15	19	21	1	8	13	14	18	19	20	20	20
l				3						3			
l_1		23	27	29	2	6	21	22	26	27	28	28	28
В				25						25			
B_1		20	20	20	2	0				20			
b				6						6			
b_1				13,6						13,6			
b_2		13,6	13,6	13,6	13	3,6				13,6			
S		8								8			
<i>S</i> 1		— 8,0				_	8,0 —						
С		1,6								1,6			
r		0,8					0,8						
Масса крышки,	Тип 1	3,50				3,90							
КГ	Тип 2			3,70			4,40						

Таблица H13. Параметры крышек сквозных под вал или втулку с диаметром $d=65...115\ \text{мм}$

1	2	3	4	5	6	7	8	9	10	11	12
		Разме	ры, мм	(Рисун	ок Н5)						
D h9			17	70					180		
D_1			20	00					210		
D_2			23	30					240		
D_3			15	55					160		
D_4			175	175							
Диаметр вала или втулки d_{s}	70	70	85	100	110	115					
D ₅ H ₁₂	71,5 81,5 91 102 112 117							86,5	102	112	117
D ₆ H ₉	95	105	120	125	135	145	95	110	125	135	145
Диаметр вала или втулки $d_{\mathfrak{s}}$	70	85	100	110	110	110	65	75	90	110	115
D ₇ H12	71,5	86,5	102	112	112	112	66,5	76,5	92	112	117
D ₈ H9	95	110	125	135	135	135	90	100	120	135	145
D_9	105 120 135 150 150 150 100 110							130	150	160	
d						13					
d_1						20					
d_2	26										

1		2	3	4	5	6	7	8	9	10	11	12
H*					•		28		•	•	•	
H ₁ *		42	47	49	50	50	50	42	43	47	50	50
h							10					
h_1 *							18					
h_2							_					
h_3		14	19	21	22	22	22	14	15	19	22	23
1							4					
l_1		22	27	29	30	30	30	22	23	27	30	30
В							25					
B_1							20					
b							6					
b_1							13,6					
b_2							13,6					
S							8					
<i>S</i> 1		8,	,0		_	_		8	,0		_	
С					•		1,6			•		
r							0,8					
Масса крышки,	Тип 1			4,	10	•			•	4,60		
КΓ	Тип 2	4,60 5,10										

Таблица H14. Параметры крышек сквозных под вал или втулку с диаметром $d=65\dots\,125$ мм

1	2	3	4	5	6	7	8	9	10	11	12	13
		Разм	еры, м	м (Рис	унок Н	[5)				<u> </u>		•
D h9			19	90				200			210	
D_1			2	25				225			235	
D_2			2:	55				255			265	
D_3			1'	75				75			90	
D_4			19	90				90			210	
Диаметр вала или втулки $d_{\scriptscriptstyle extit{B}}$	75	90	105	110	115	120	80	95	110	85	105	115
D ₅ H ₁₂	76,5	92	107	112	117	122	81,5	97	112	86,5	107	117
D ₆ H9	100	120	130	135	145	150	105	120	135	10	30	45
Диаметр вала или втулки $d_{\scriptscriptstyle extit{B}}$	65	80	95	115	125	125	70	80	85	75	90	110
D ₇ H12	66,5	66,5 81,5 97 117				127	71,5	81,5	86,5	76,5	92	112
D ₈ H9	90	105	120	145	155	155	95	105	110	100	120	135
D_9	100	115	130	160	170	170	105	115	120	110	130	150
d		1	3		13							
d_1		2	.0					20)			
d_2		2	6					20	5			
H*		2	8					23	3			
H_1^*	42	46	48	50	51	51	49	46	47	43	47	50
h			1	.0					10	0		
h_1*	18								18	8		
h_2	_											
h_3	14	18	20	22	23	23	14	18	19	15	19	22
1	4				•			4				
l_1	22	26	28	30	31	31	22	26	27	23	27	30

1		2	3	4	5	6	7	8	9	10	11	12	13	
В			2	25					2	4				
B_1			2	20					2	0				
b			(6					ϵ	5				
b_1			13	3,6					13	,6				
b_2			13,6						13	,6				
S				8		8								
<i>S</i> 1			8	,0		_ 8,0 _ 8,0								
С			1	,6					1,	,6				
r		0,8				0,8								
Масса крышки,	Тип 1	5,00				5,00 5,10 5,30						•		
КΓ	Тип 2		5,	50		5,50 5,60 5,90								

Таблица H15. Параметры крышек сквозных под вал или втулку с диаметром $d=80\dots 145$ мм

1	2	3	4	5	6	7	8			
	Pas	вмеры, мм	(Рисунок Н	[5)	•	•				
D h9		215	•		2:	25				
D_1		250			20	65				
D_2		280			30	00				
D_3		200			20	08				
D_4		220			2:	20				
Диаметр вала или втулки $d_{\mathfrak{s}}$	90	100	115	90	105	110	115			
D ₅ H ₁₂	92	102	117	92	107	112	117			
D ₆ H9	120	25	145	20	130	135	145			
Диаметр вала или втулки d_{s}	90	110	140	80	95	115	135			
D ₇ H12	92	112	142	81,5	97	117	137			
D ₈ H9	120	135	170	105	120	145	165			
<i>D</i> ₉	130	150	190	115	130	160	180			
d		13			1	.7				
d_1		20			2	28				
d_2		26			3	32				
H^*		28		35						
H_1^*	47	50	58	46 48 50 56						
h		10			1	.2				
h_1 *		18			2	23				
h_2		_			_	_				
h_3	19	22	30	11	13	15	21			
l		4			4	4				
l_1	27	30	34	26	28	30	32			
В		24			3	31				
B_1	20	20	24	20	20	20	24			
b	6					7				
b_1		13,6			13	3,6				
b_2	13,6	13,6	17,5	13,6	13,6	13,6	17,5			
S		10								
<i>S</i> 1			10,0							

1		2	3	4	5	6	7	8		
С		1,6								
r			0,8			0,8				
Масса крышки,	Тип 1	5,	90	8,40		8,	40			
кг	Тип 2	6,	60	9,30		9,	30			

Примечания:

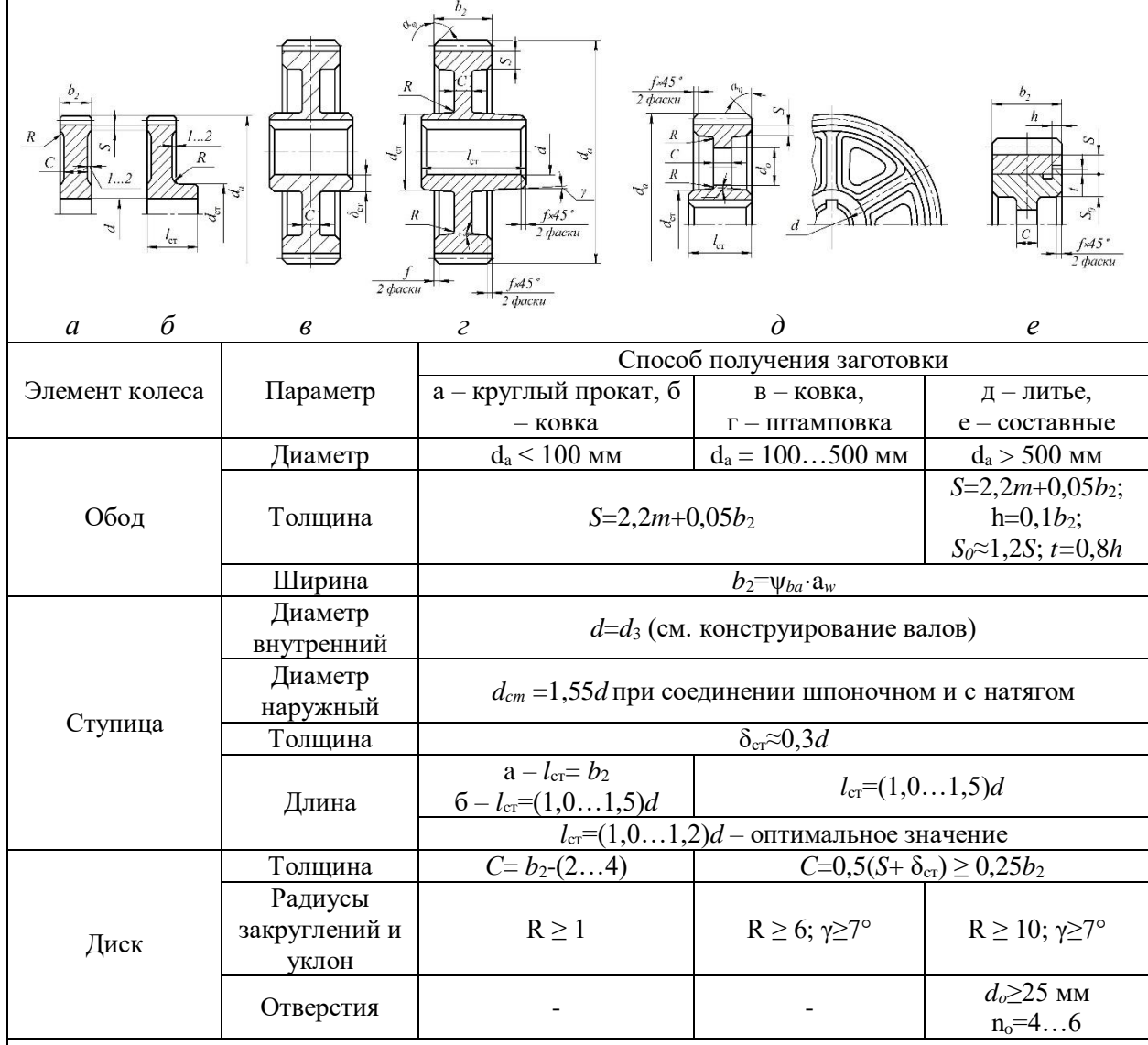
- 1.* Размеры для справок: n = 4 при D = 40...75; n = 6 при D = 80...225.
- $2.\Gamma$ ОСТ 18512—73 предусматривает D = 35; 37 и свыше 225 до 310 мм.
- 3.Дополнительные рекомендуемые размеры элементов крышек указаны в ГОСТ 18511–73.
- 4.Крышки каждого типа изготовляют двух исполнений: 1 с креплением винтами:2 с креплением
- 5.Допускается изготовление на крышках отверстий для смазки или установки масленок.
- 6. Технические требования по ГОСТ 18514-73. Материал крышек: чугун с механическими свойствами не ниже, чем у чугуна марки СЧ15 по ГОСТ 1412-85. Допускается изготовление крышек из стали по ГОСТ 380–94 и 1050–88. Предельные отклонения размеров отливок — по ГОСТ 26645–85.Уклоны формовочные - по ГОСТ 3212-80.Предельные отклонения от параллельности плоскостей П и Π_1 — по 7 степени точности ГОСТ 24643–81.Предельные значения торцового биения плоскости П относительно цилиндрических поверхности диаметром D (поле допуска h9).Предельные значения радиального биения поверхностей Π_2 и Π_3 относительно поверхности диаметром D — по 7 степени точности ГОСТ 24643–81. Неуказанные предельные отклонения размеров обработанных поверхностей: H14; h14; $\pm t_2/2$. Предельные смещения осей отверстий под крепежные детали от номинального расположения должны быть:
- для d=4,8...5,8 мм не более 0,2 мм; для остальных размеров d не более 0,25 мм.
- 7.Внутренние необработанные поверхности крышек должны быть покрыты грунтовкой.
- 8. Пример обозначения торцовой крышки с отверстием для манжетного уплотнения типа 1, исполнения 2, диаметром D = 68 мм, с диаметром вала или втулки 35 мм: **Крышка 12-68×35 ГОСТ 18512–73**.

приложение о

(справочное)

Конструирование зубчатых колес

О 1 – Основные конструктивные размеры цилиндрических зубчатых колес, мм



Примечания:

- 1. При определении длины ступицы $l_{\rm cr}$ числовой коэффициент перед d принимают ближе к единице при посадке колеса на вал с натягом и ближе к верхнему пределу при переходной посадке.
- 2. На торцах зубьев выполняют фаски размером f = (0,6...0,7)m с округлением до стандартного значения по таблице 19.
- 3. Угол фаски α_{φ} на прямозубых колесах $\alpha_{\varphi}=45^{\circ}$; на косозубых колесах при твердости рабочих поверхностей HB< 350, $\alpha_{\varphi}=45^{\circ}$, а при HB >350 $\alpha_{\varphi}=15^{\circ}$.
- 4. Штамповочные уклоны gj ГОСТ 7505 при применении штамповочных мототов-7°.

0 2 - Стандартные размеры фасок, мм

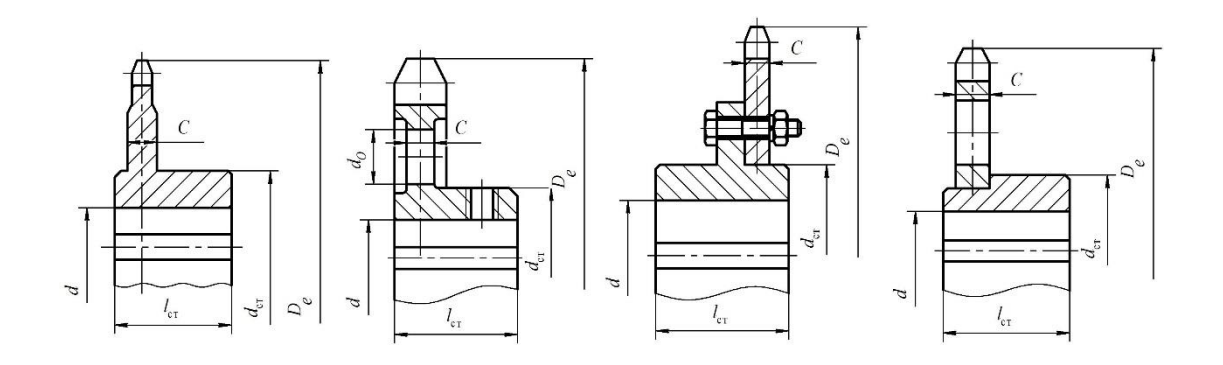
Диаметр ступицы или обода	Св. 20 до 30	Св. 30 до 40	Св. 40 до 50	Св. 50 до 80	Св. 80 до 120		Св. 150 до 250	
f	1,0	1,2	1,6	2,0	2,5	3,0	4,0	5,0

приложение п

(справочное)

Конструирование звездочек цепных передач

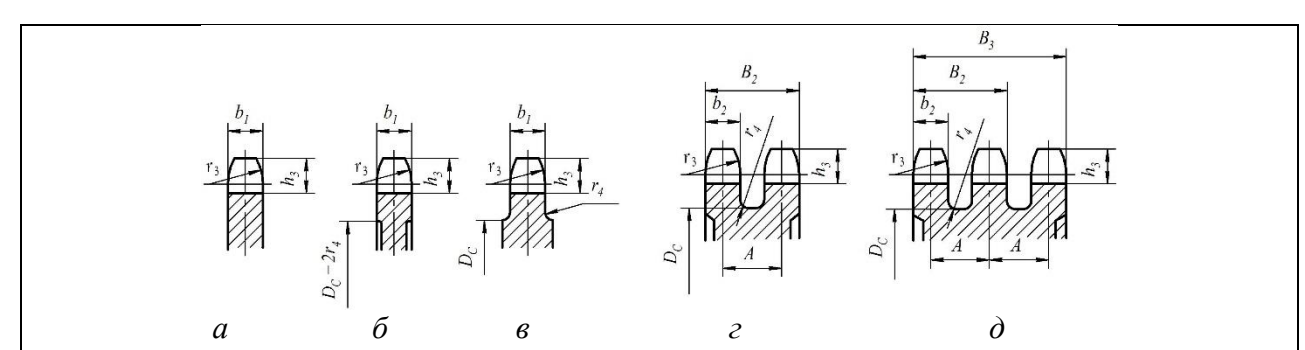
Приложение П1 – Конструкция звездочек



Форму поперечного сечения обода выбирают в зависимости от соотношения толщины диска C и диаметра обода D_e):

- при большой С и $D_e \le 200$ мм выгодна форма сплошного диска или диска с отверстиями, позволяющая экономить металл (см. рисунок a, δ);
- возможность заменить только диск при износе зубьев (рисунок $\it e$) используется при $\it D_e > 200$ мм;
- при малой C и большом D_e целесообразно изготовление методом сварки (рисунок ε).

Таблица П.2 – Размеры звездочек, мм



a- θ - однорядная звездочка, ε - двухрядная звездочка, θ - трехрядная звездочка

/1 1		
Элемент колеса	Параметр	Значение
	Ширина зуба	
	однорядной	$b_I = 0.93b - 0.15 \text{ mm}$
	двухрядной	$b_I = 0.90b - 0.15 \text{ MM}$
	многорядной	b_n =0,86 b -0,30 мм
	Ширина венца многорядной	$B_n=(n-1)A+b_n$
	звездочки	$D_n - (n-1)A + O_n$
Обод	Радиус закругления зуба	$r_3 = 1,7D_{\mathcal{U}}$
	Расстояние от вершин зуба до линии	$h_3 = 0.80D_u$
	центров дуг закругления	n_3 =0,80 D_{ij}
	Радиус закругления при шаге:	
	<i>t</i> ≤ 35 mm	$r_4 = 1.6 \text{ MM}$
	t > 35 MM	$r_4 = 2,5 \text{ MM}$
	Угол скоса и фаска зуба	$\gamma = 20^{\circ}, f = 0.2b_1$
	Диаметр внутренний	$d=d_1$ (см. конструирование валов)
Ступнио	Пиомото норужиний	d_{cm} =1,55 d при соединении
Ступица	Диаметр наружный	шпоночном и с натягом
	Длина	$l_{\text{ct}} = (0, 81, 5)d$
		$C=b_I$ – рисунок а
	Толщина	$C = b_I - 2r_4 - $ рисунок б
Путом		$C = b_1 + 2r_4 - $ рисунок в
Диск	Диаметр проточки	$D_c = t \cdot \text{ctg}(180^\circ/z) - 1.3h$
	Отполотия	<i>d₀</i> ≥25 мм
	Отверстия	$n_o=46$

Примечания:

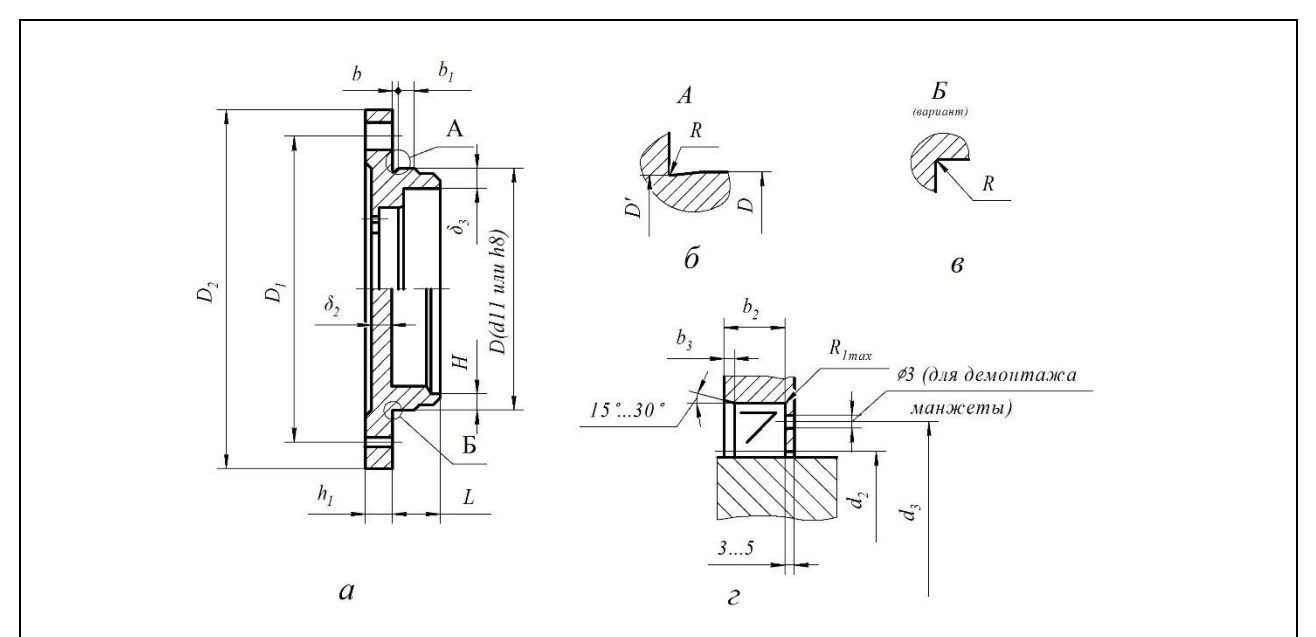
^{1.} При определении длины ступицы $l_{\rm cr}$ числовой коэффициент перед d принимают ближе к единице при посадке колеса на вал с натягом и ближе к верхнему пределу - при переходной посадке.

ПРИЛОЖЕНИЕ Р

(справочное)

Крышки подшипников

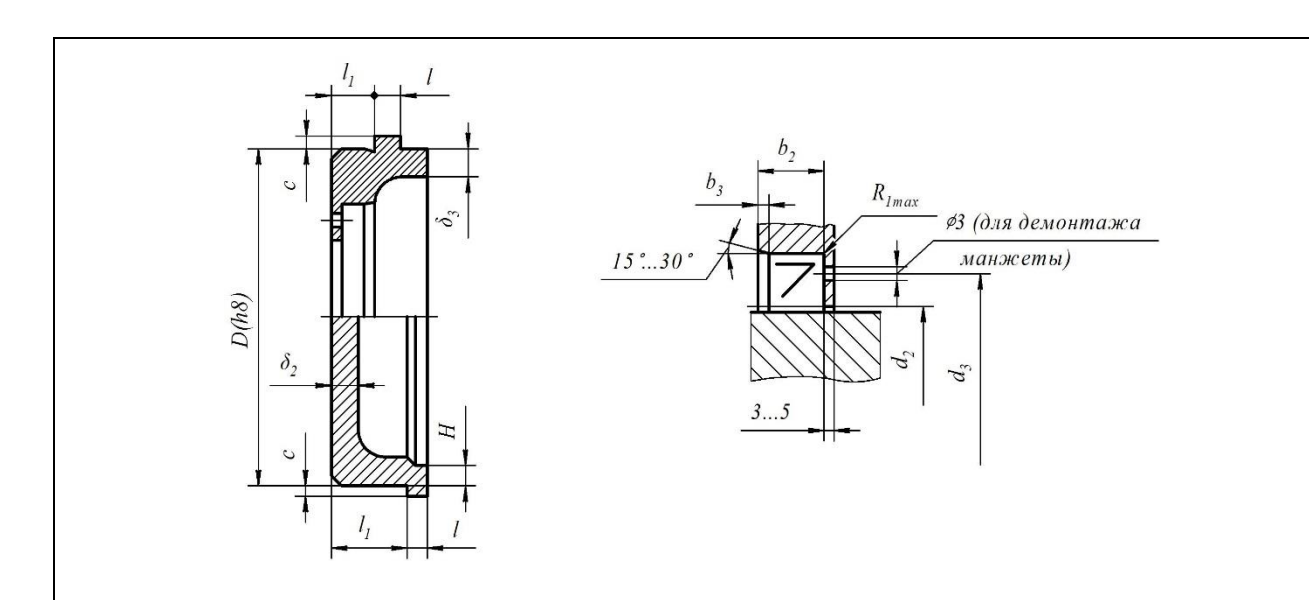
Таблица Р 1 – Размеры накладных крышек, мм



a — размеры крышки с отверстием для манжетного уплотнения (выше плоскости симметрии) и глухих; δ - размеры подточки; ϵ — размеры галтели; ϵ — размеры места установки манжет

D	d 5	$d_{ ext{otb}}$	Z 5	h ₁	δ_2	δ ₃
От 40 до 62	M6	6,6	4	6	5	6
От 62 до 95	M8	9,0	4	8	6	9
От 95 до 145	M10	11,0	6	10	7	11
От 145 до 220	M12	14,0	6	12	8	13

Таблица Р 2 – Размеры закладных крышек, мм



a — размеры крышки с отверстием для манжетного уплотнения (выше плоскости симметрии) и глухих; δ — размеры места установки манжет

1.Размеры крышки в мм										
D _∏ =D		δ_2	δ_3		Размеры кромки					
От 40 до 62		5	6	<i>l</i> =6	.8 мм при D	≤ 100 mm и	ли $l = 810$	мм при D >	> 100 mm, l ₁	
От 62 до 95 6		9		•						
От 95 до 14	5	7	11	прини	принимают конструктивно с учетом условия $l_1 \ge l$, $c = 0.5 \cdot l$.					
От 145 до 2	От 145 до 220 8 13		1							
				2.Pa	змеры мест у	становки ма	нжет			
b		5,0	,	7,0	10,0	12,0	15,0	18,0	22,0	
b_2		6,5		8,5	12,0	14,5	18,5	22,0	25,5	
b ₃		1,0		1,0						
$d_3 = d_{\text{вала}} - 3$	$d_3 = d_{\text{вала}} - 3.0$									

Примечания

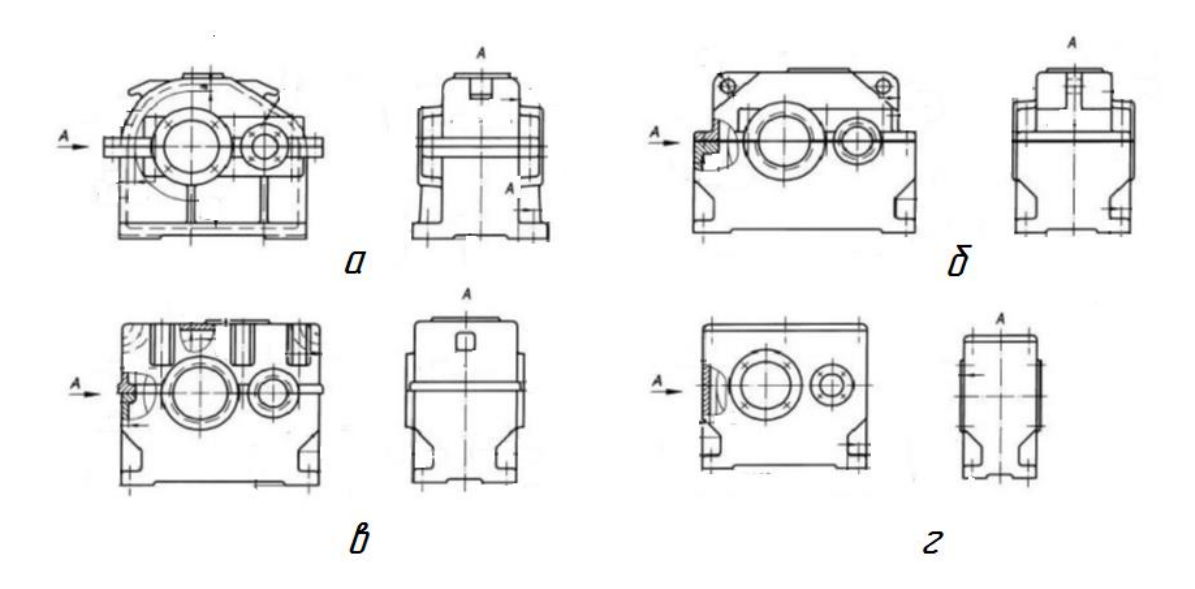
1. Размеры элементов наружной кромки крышек принимают: l =6...8 мм при D \leq 100 мм или l =8...10 мм при D > 100 мм, l_1 принимают конструктивно с учетом условия $l_1 \geq l$, с = 0,5·l.

ПРИЛОЖЕНИЕ С

(справочное)

Конструирование корпуса редуктора

Рисунок С 1 – Конструктивное оформление корпуса редуктора



Конструктивное оформление корпусов редукторов предполагает пять основных типов: **первый тип** (тип 1) — «классический»: имеет наружные бобышки, фланцы, горизонтальную плоскость разъема и болтовое соединение. Достоинством такой конструкции является удобство литья, гладкая внутренняя поверхность для создания хороших условий при разбрызгивании смазки. Стенки корпуса и крышки максимально приближены к передачам, что снижает не только металлоемкость конструкции, но и ее жесткость (рисунок а);

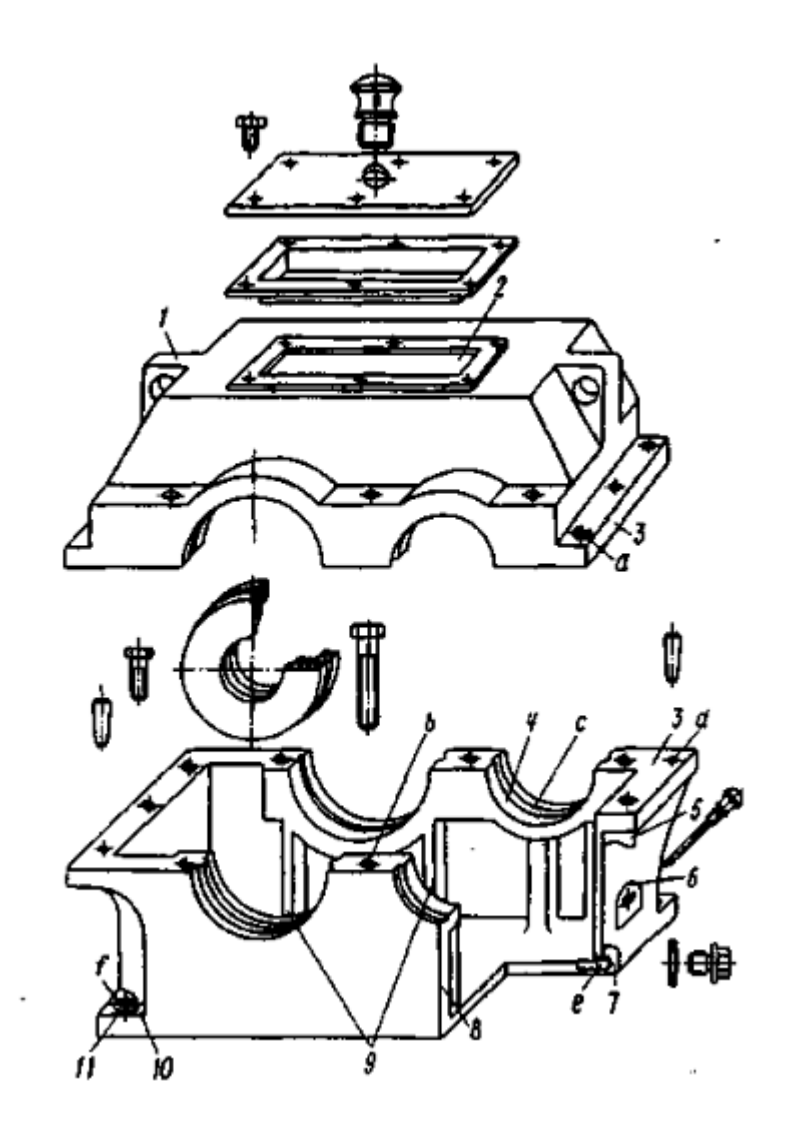
второй тип (тип 2) - винтовое соединение крышки и картера, а также выступающие бобышки. У крышки стенки сближены, а у картера раздвинуты, обеспечивая большую жесткость, при этом он технологически несложен в изготовлении (рисунок б);

третий тип (тип 3) имеет внутренние бобышки, винтовое соединение крышки и картера, гладкие наружные стенки без выступающих конструктивных элементов, фундаментные лапы не выступают за габариты корпуса. Технологически сложен в изготовлении, внутренние ребра и бобышки могут иметь зоны сильного нагрева из-за недостаточной зоны масляного тумана (рисунок в);

четвертый тип (тип 4) — неразъемный, для его сборки используют боковые съемные крышки, являющиеся одновременно опорами вала. Подобный корпус часто применяют для червячных редукторов и мотор-редукторов. Такая конструкция позволяет осуществлять осевую сборку(рисунок г);

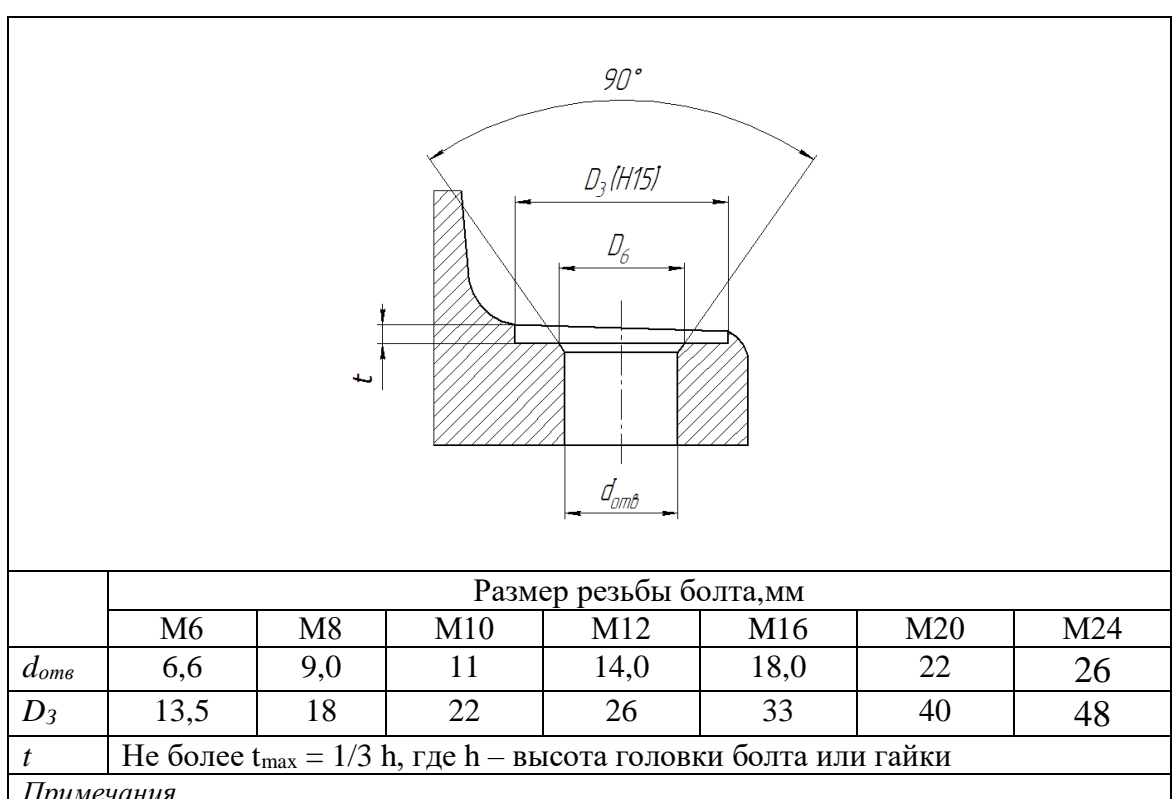
пятый тип (тип 5) — является разновидностью корпуса 4 типа. В отличие от него имеет верхнюю съемную крышку. Часто используется для коробок передач, в съемной крышке которых располагается механизм переключения передач. Неразъемный корпус обладает повышенной жесткостью.

Рисунок С2 – Конструкция корпуса редуктора классического типа



1 — основание корпуса (картер); 2 — крышка корпуса; 3 — ребро жесткости; 4 — подшипниковое гнездо; 5 — боковой фланец; 6 — прилив под подшипниковые болты; 7 — отверстия под подшипниковые болты: 8 — штифты: 9 — фундаментный фланец (лапы); 10 — отверстие под фундаментные болты; 11 — бобышка; 12 — люк; 13 — продольный фланец

Таблица С 3 - Диаметры отверстий и размеры опорных поверхностей в виде приливов под болты и гайки в мм (ГОСТ 11284-75, ГОСТ 12876-76)



Примечания

- 1. Для соединений нормальной точности, нормальных головок болтов и нормальных гаек;
- 2. Рекомендуются к применению болты и гайки с крупным шагом по ГОСТ 8724-2002.

Таблица С 4 - Штифты конические в мм (по ГОСТ 3129-70)

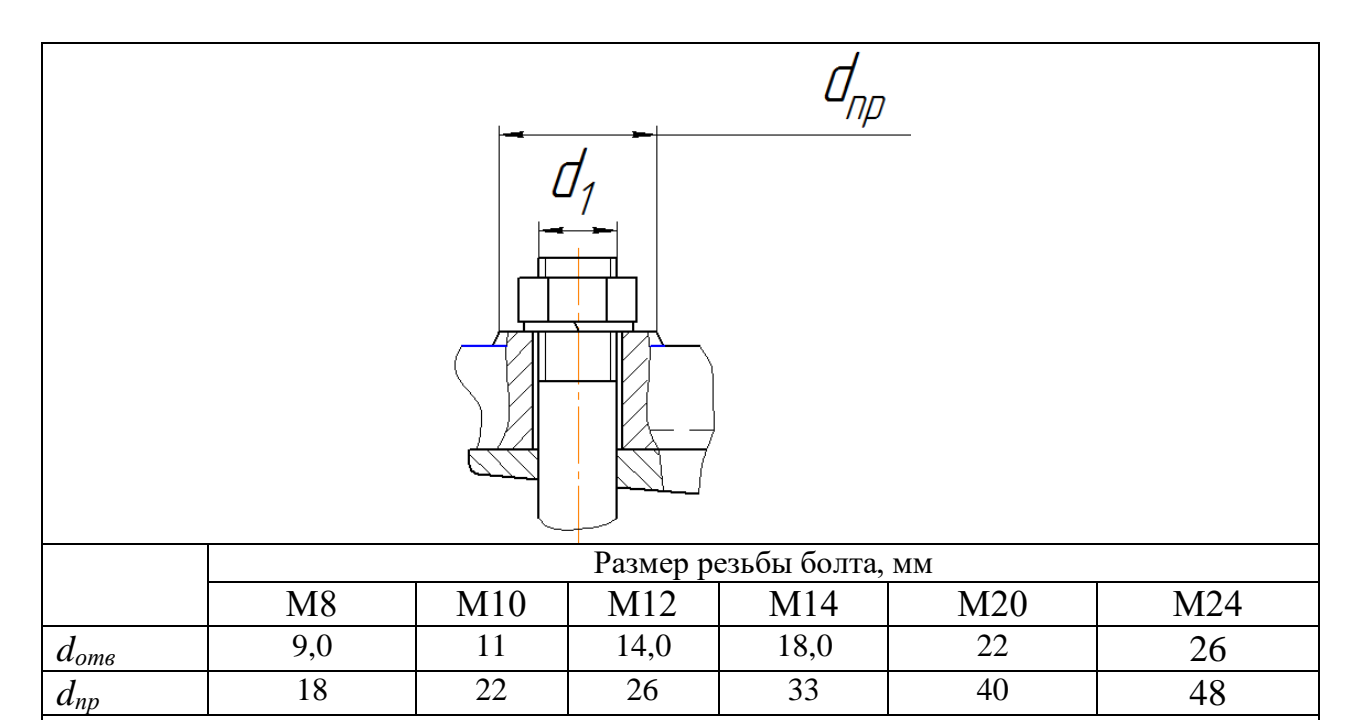


Примечания

1. Пример условного обозначения штифта диаметром 8 мм и длиной 25,исполнения 1,с покрытием, по ΓΟCT 3129-70:

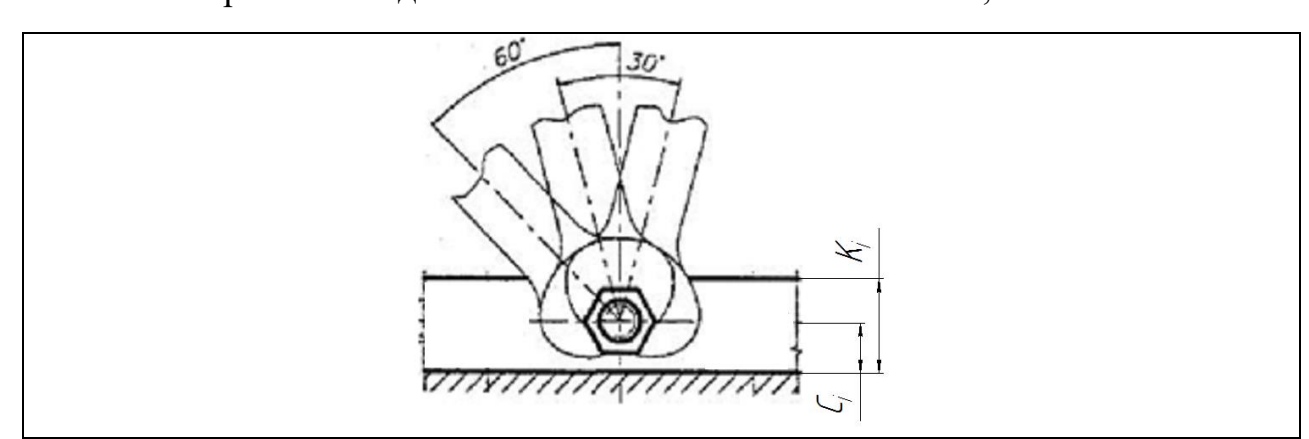
. Штифт 8х25Хим. Фос. прм. ГОСТ 3129-70

С.5 - Диаметры отверстий и размеры опорных поверхностей в виде приливов под болты и гайки в мм (ГОСТ 11284-75, ГОСТ 12876-76)



Примечания

С.6 - Размеры мест под гаечные ключи по ГОСТ 13682-80,мм



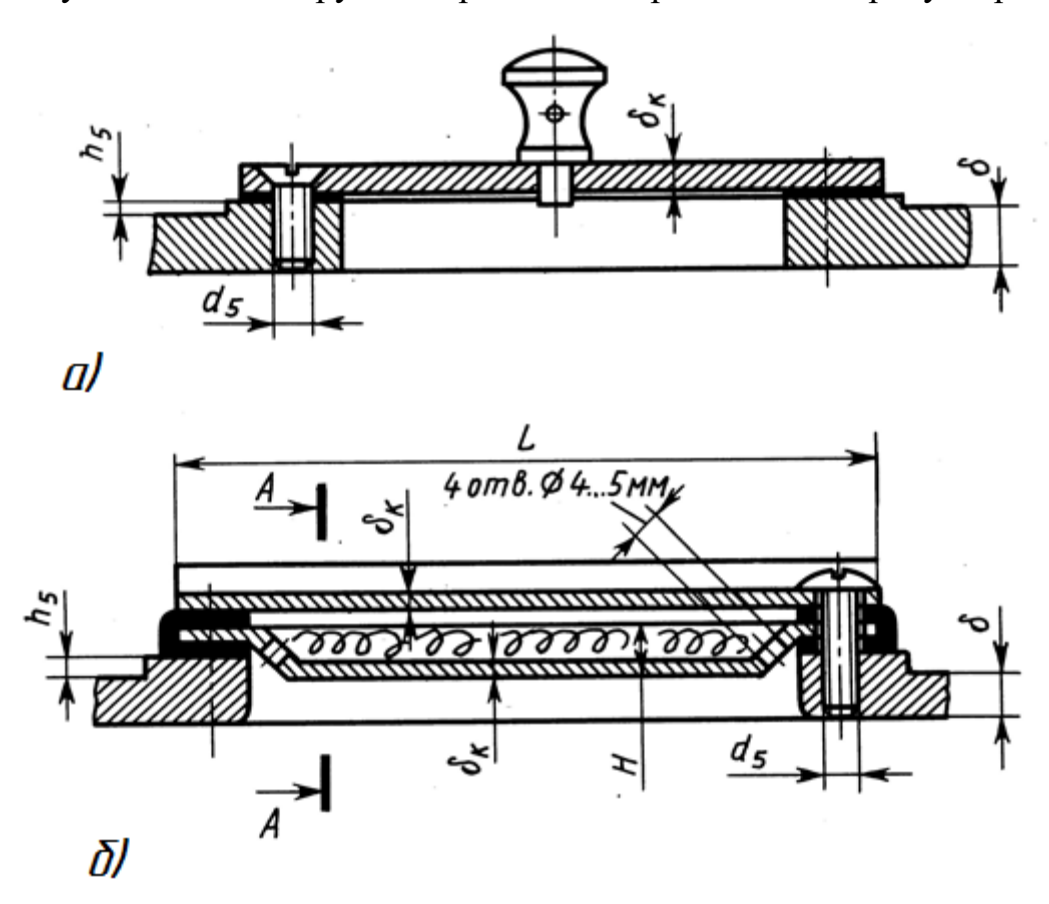
		Размер резьбы болта d , мм									
	M6	M8	M10	M12	M16	M20	M24				
K_{i} ,не менее	20	24	28	32	40	48	56				
C_i ,не менее	11	13	15	17	22	26	30				

Примечания

^{1.} Для соединений нормальной точности, нормальных головок болтов и нормальных гаек.

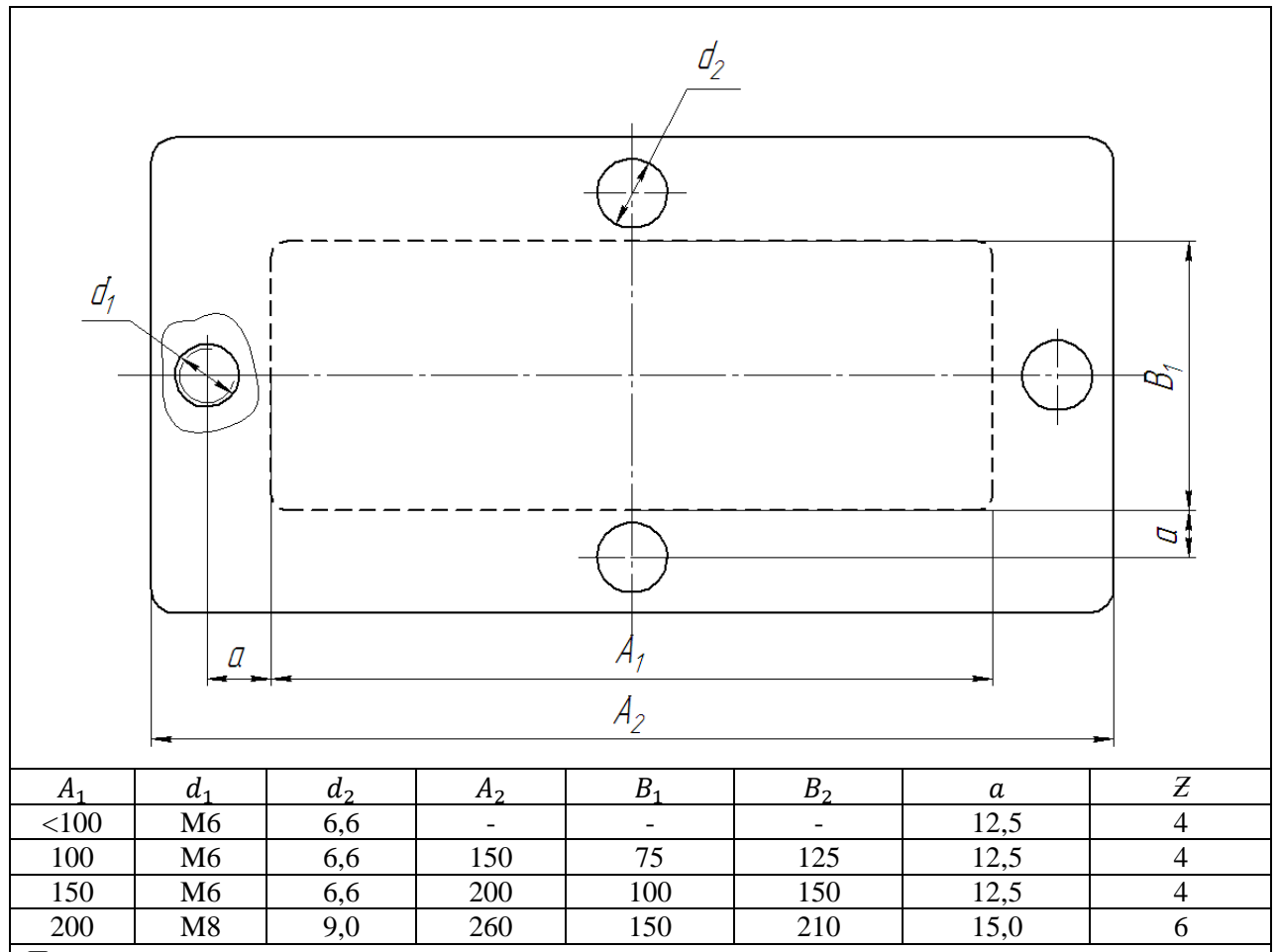
^{1.} Для нормальных головок болтов и нормальных гаек.

Рисунок С 7- Конструкции крышек смотровых люков редукторов



- а) крышка с ручкой отдушиной;
- б) крышка с фильтром и отдушиной

Таблица С8 - Рекомендуемые размеры крышки смотрового отверстия в мм



Примечания

^{1.} Для соединений нормальной точности, нормальных головок болтов.

Таблица С 9 - Рекомендуемые размеры ручки отдушины в мм

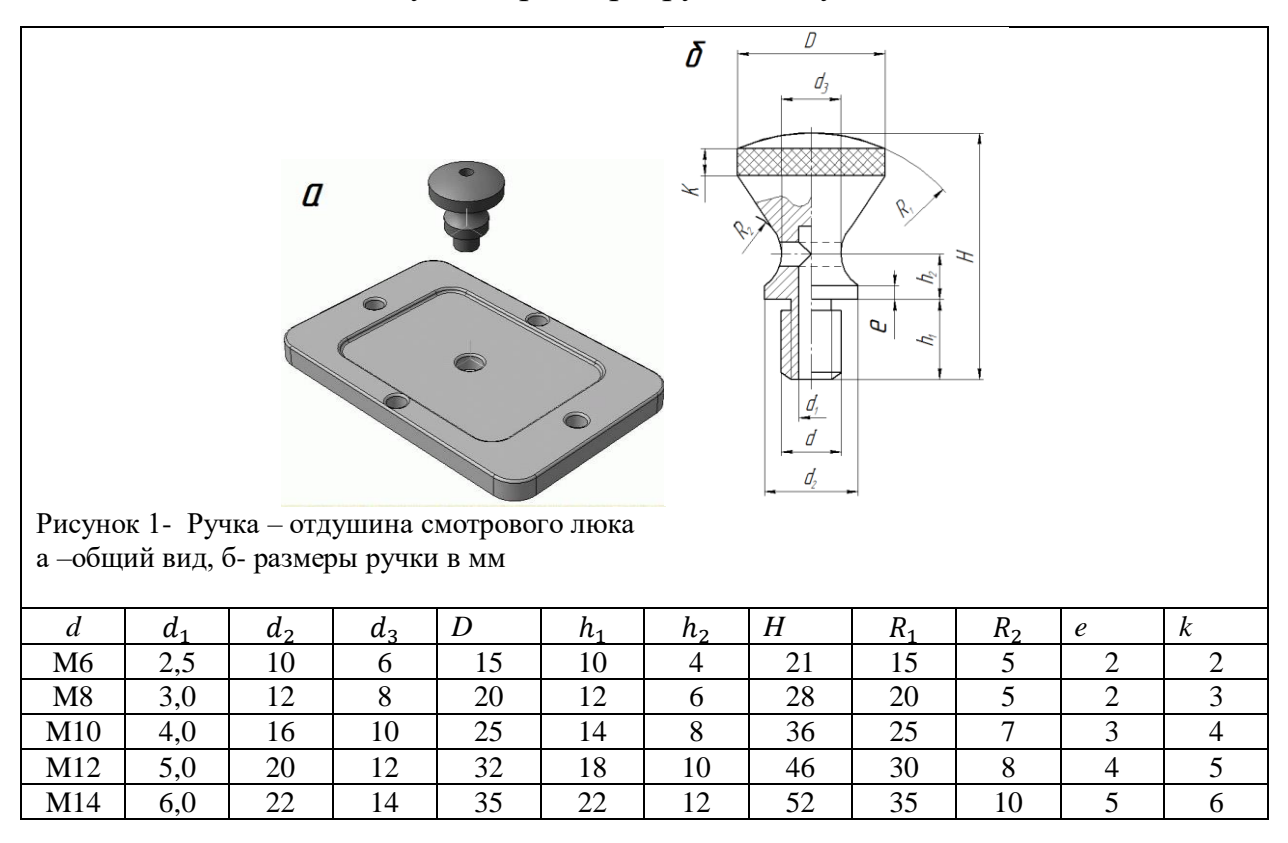
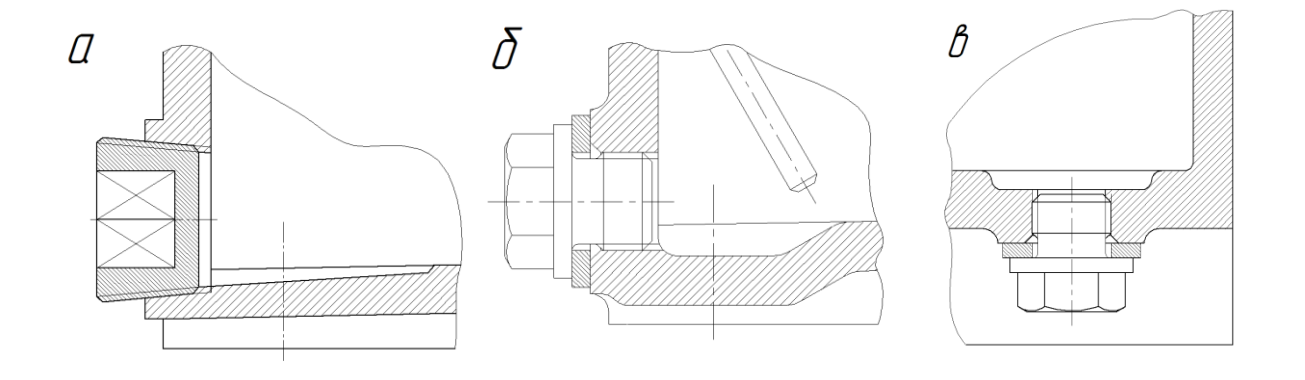


Рисунок С 10 - Варианты исполнения маслосливного отверстия



a, 6-в стенке нижней части корпуса; в — на дне корпуса

Таблица С 10 - Размеры пробок к маслоспускным отверстиям,мм

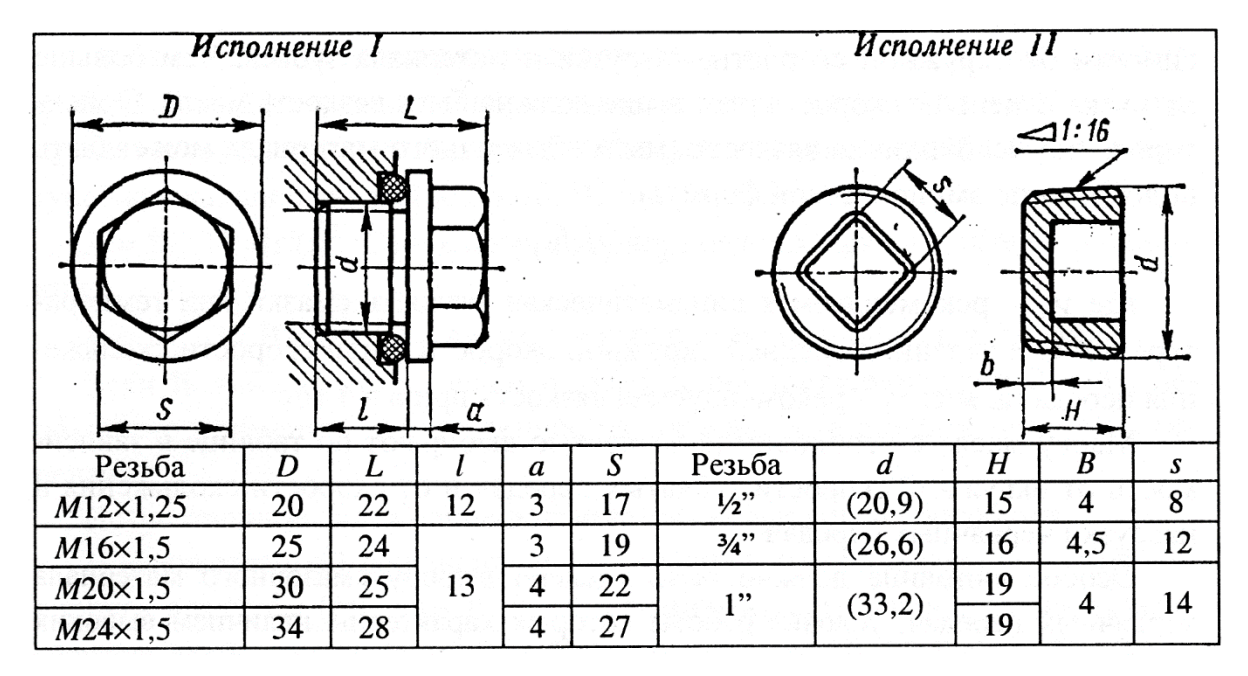
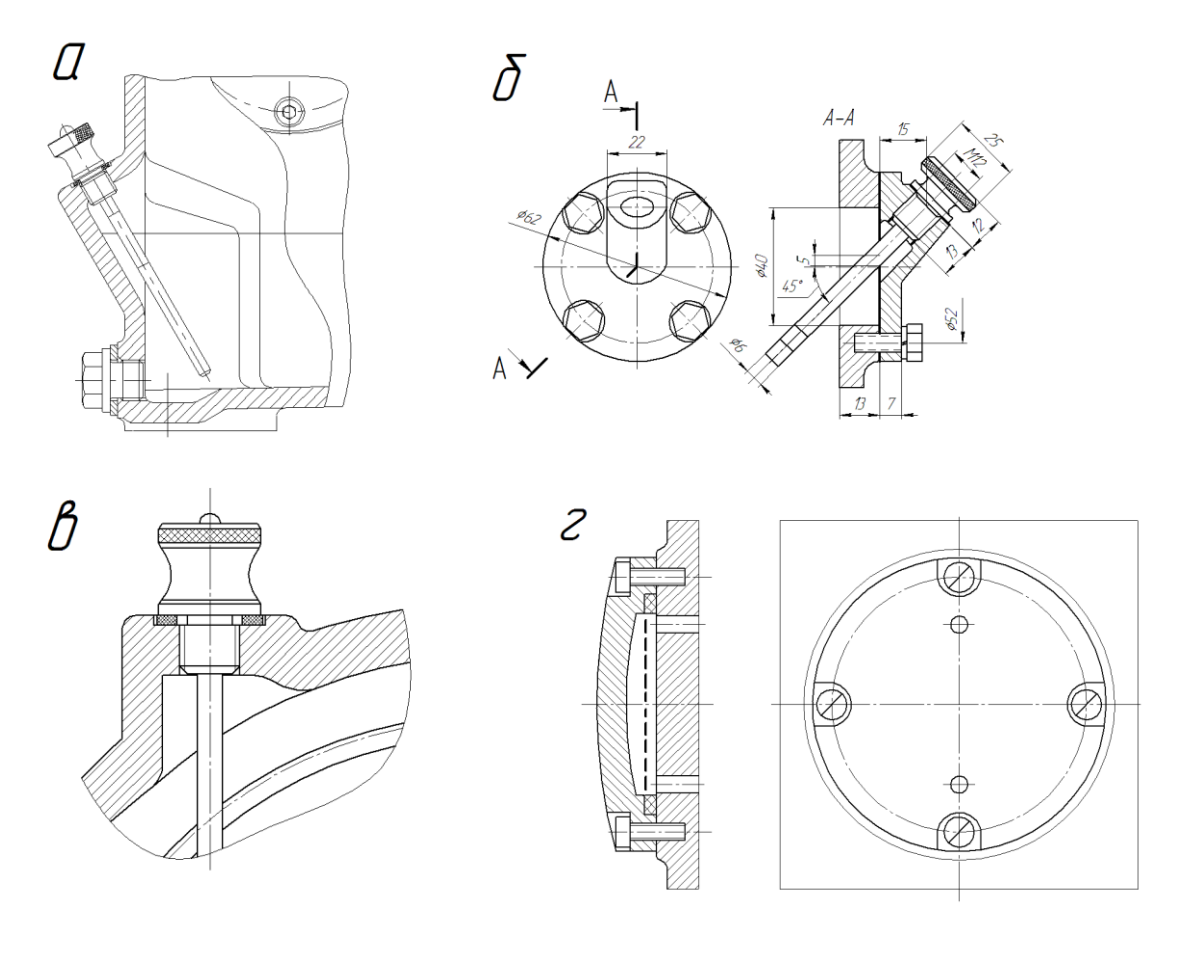
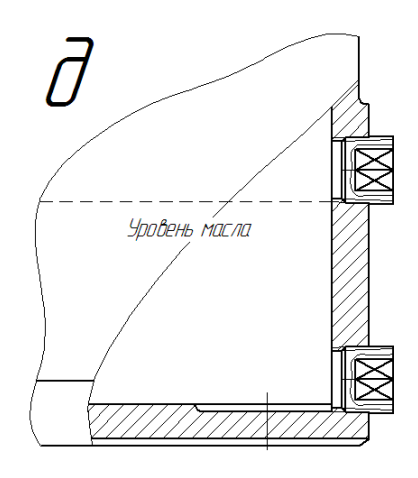


Рисунок С 11 - Варианты исполнения маслоуказателей





- а) жезловый указатель в корпусе редуктора;
- б) жезловый указатель в собственном корпусе;
- в) жезловый указатель в крышке корпуса редуктора;
- г) пробки контроля уровня масла;
- д) фонарный маслоуказатель

Таблица С 12 - Рекомендуемые размеры жезлового маслоуказателя в мм

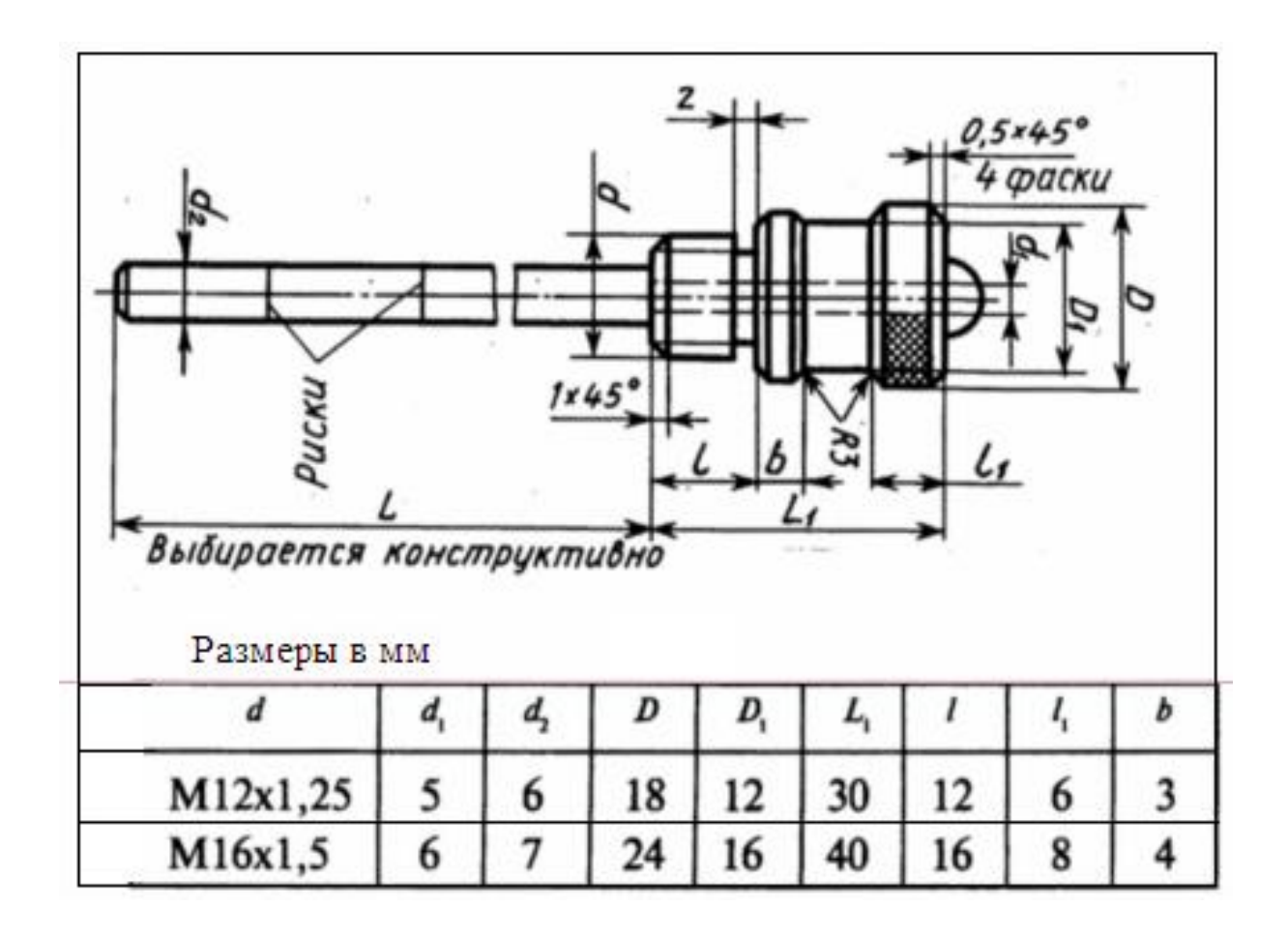


Рисунок С 13- Строповочные элементы редукторов (проушины)

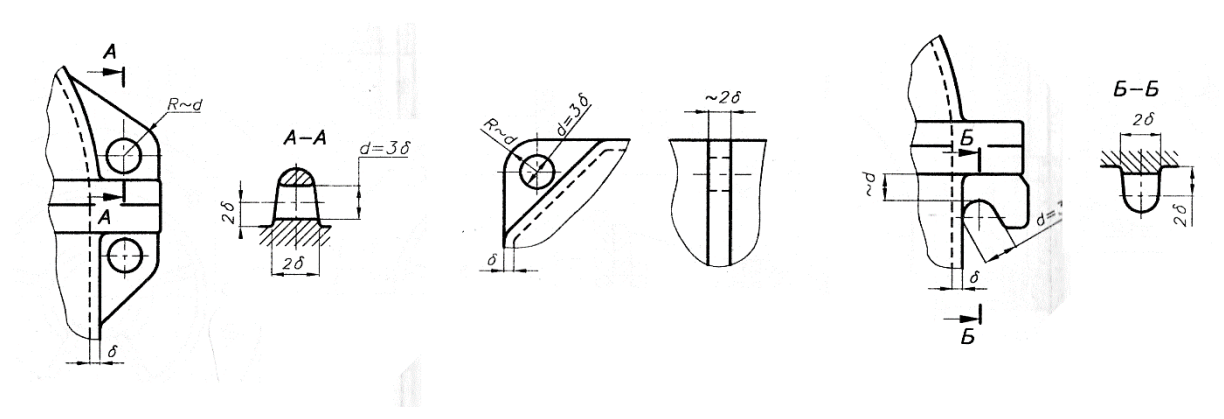
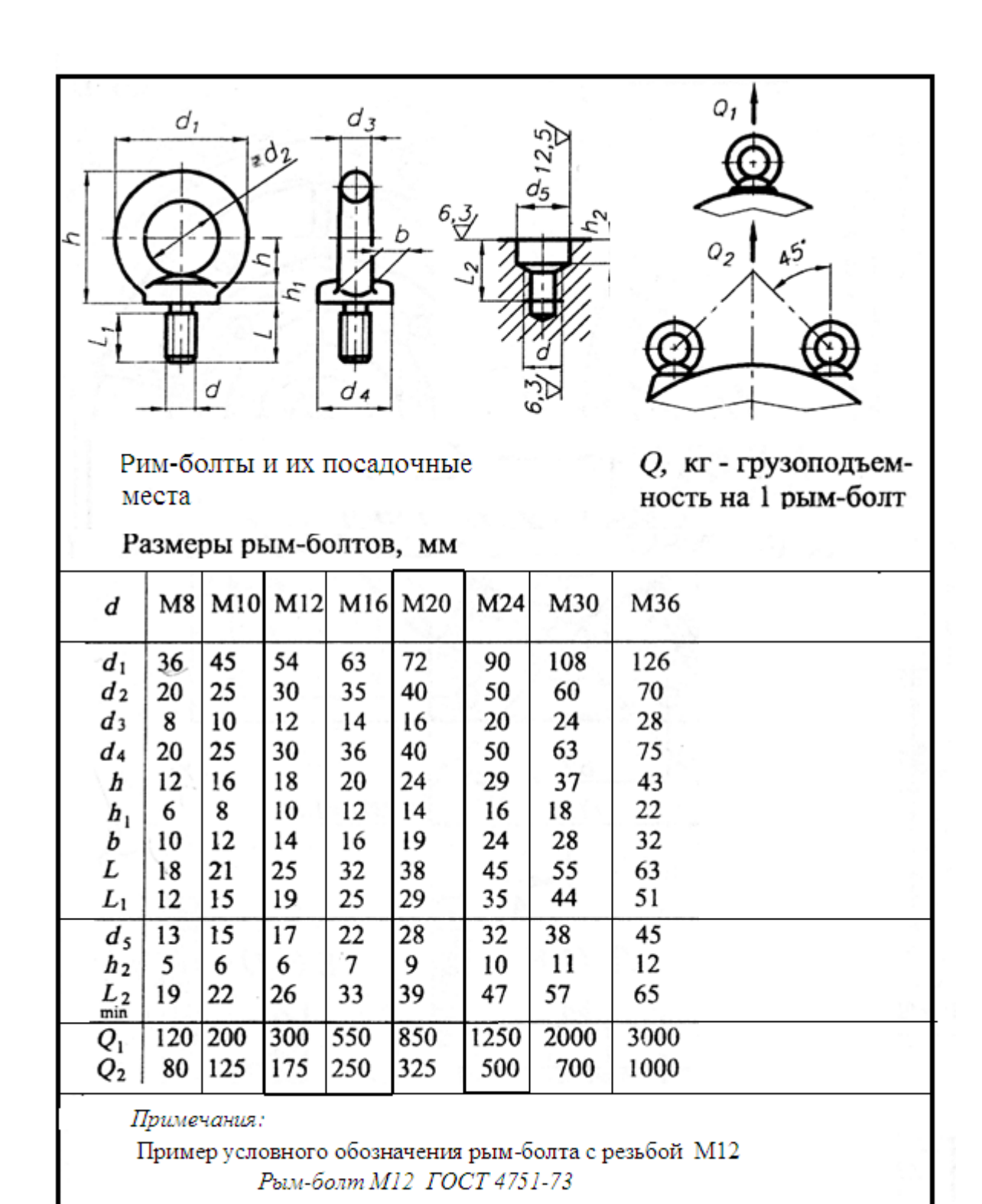


Таблица С.14- Рым- болты по ГОСТ 4751-73



приложение т

(справочное)

ПРОВЕРОЧНЫЙ РАСЧЕТ ВАЛОВ

Т.1 – Механические характеристики материалов валов и осей [1]

Марка	Диаметр	Твёрдость	$\sigma_{_{ m B}}$,	$\sigma_{\scriptscriptstyle m T}$,	$ au_{ ext{ iny T}}$,	σ_{-1} ,	$ au_{-1}$,
стали	заготовки,		2	•	-		
	MM	HB	МПа	МΠа	МПа	МПа	МПа
20	≤ 60	≥ 145	392	235	118	167	98
35	≤100	≥187	510	304	167	255	128
45	≤100	190240	638	343	206	294	177
45	≤60	240270	785	540	324	383	226
45	≤ 40	270300	883	638	383	432	255
40X	≤300	200220	763	490	294	353	216
40X	≤100	240270	785	589	353	392	235
40X	≤ 60	270300	883	736	441	451	275
40XH	≤300	240270	785	569	343	392	235
40XH	_ ≤100	270300	903	736	441	461	275
40XH	_ ≤60	300320	981	785	471	490	294
40ΧΓΡ	_ ≤70	270300	932	834	540	490	324
45ХЦ	<u>≤</u> 80	≥ 300	834	608	392	412	265
20X	≤ 60	≥ 197	638	392	235	304	167
12XH3A	≤ 60	≥ 260	932	687	481	451	226
12X2H4A	≤150	≥ 300	1079	834	589	530	265
12X2H4A	<u>≤</u> 60	≥ 360	1226	1050	736	618	314
18XΓT	<u>≤</u> 30	≥ 330	1128	932	647	559	304
18XΓT	≤150	240270	873	697	481	441	226
30ХГТ	≤120	270300	922	736	510	461	253
30ХГТ	<u>≤</u> 60	≥ 300	981	785	549	490	245
25Х2ГНТ	<u>≤</u> 800 ≤180	≥ 3210	1079	863	608	530	245
25Х2ГНТ	<u>≤</u> 100 ≤10	≥ 340	1226	981	687	598	304
25Х2ГНТ	≤10 ≤60	≥ 360	1472	1226	853	826	373

Т.2 – Моменты сопротивления сечений валов

Форма сечения вала в опасном сечении	При изгибе $W_{\!\scriptscriptstyle m M}$,при кручении $W_{\!\scriptscriptstyle m K}$, мм $^{\scriptscriptstyle m 3}$
1	2
Круг	$W_{\text{\tiny M}} = \frac{\pi \cdot d^3}{32},$ $W_{\text{\tiny K}} = \frac{\pi \cdot d^3}{16}$
Круг с одной шпоночной канавкой <i>b d</i>	$W_{\rm M} = \frac{\pi \cdot d^3}{32} - \frac{b \cdot t_1 \cdot (d - t_1)^2}{2 \cdot d} .$ $W_{\rm K} = \frac{\pi \cdot d^3}{16} - \frac{b \cdot t_1 \cdot (d - t_1)^2}{2 \cdot d}$
Круг с двумя шпоночными канавками	$W_{\rm M} = \frac{\pi \cdot d^3}{32} - \frac{b \cdot t_1 \cdot (d - t_1)^2}{d} .$ $W_{\rm K} = \frac{\pi \cdot d^3}{16} - \frac{b \cdot t_1 \cdot (d - t_1)^2}{d} .$

Прямобочные шлицы	$W_{\scriptscriptstyle \mathrm{M}} = \varepsilon \cdot rac{\pi \cdot d^3}{32}$,
	$W_{ ext{ iny K}} = arepsilon \cdot rac{\pi \cdot d^3}{16},$
	$\varepsilon = 1,25 - $ лёгкая серия; $\varepsilon = 1,205 - $ средняя серия;
d / Ψ	arepsilon=1,265-тяжёлая серия.
Шлицы эвольвентные и валы-шестерни	$W_{H} = \frac{\pi \cdot d^3}{32} .$
	$W_{ ext{ iny K}} = rac{\pi \cdot d^3}{16} .$
Нарезка витка червяка	$W_{ ext{ iny K}} = rac{\pi \cdot d_f^3}{32} . \qquad \qquad W_{ ext{ iny K}} = rac{\pi \cdot d_f^3}{16} .$

Т.3 — Эффективные коэффициенты концентрации $K_{\sigma}(K_{\tau})$ для валов в месте расположения шпоночного паза[2]

	I		
Предел прочности материала	Паз выполнен	Паз выполнен	$\kappa_{ au}$
вала , $\sigma_{\scriptscriptstyle \mathrm{B}}$, МПа	пальцевой фрезой	дисковой фрезой	
500	1,60	1,40	1,40
700	1,90	1,55	1,70
900	2,15	1,70	2,05
1200	2,50	1,90	2,40

Т.4 – Коэффициент чувствительности материала к асимметрии цикла [8]

Материал	ψ_{σ}	$\psi_{ au}$
Углеродистая сталь $\sigma_{\text{\tiny B}} = 320350 \ \text{М} \Pi \text{a}$	0,005	0
Углеродистая сталь $\sigma_{\!\scriptscriptstyle B} = 500 \dots 750 \ \mathrm{M}\Pi \mathrm{a}$	0,1-0,15	0,05
Углеродистая и легированная сталь $\sigma_{\scriptscriptstyle B}$ $\sigma_{\scriptscriptstyle B}=7001050~\rm M\Pi a$	0,15-0,20	0,05-0,10
Легированная сталь $\sigma_{\rm B} = 10501450~{ m M}\Pi{ m a}$	0,25-,030	0,10-0,15

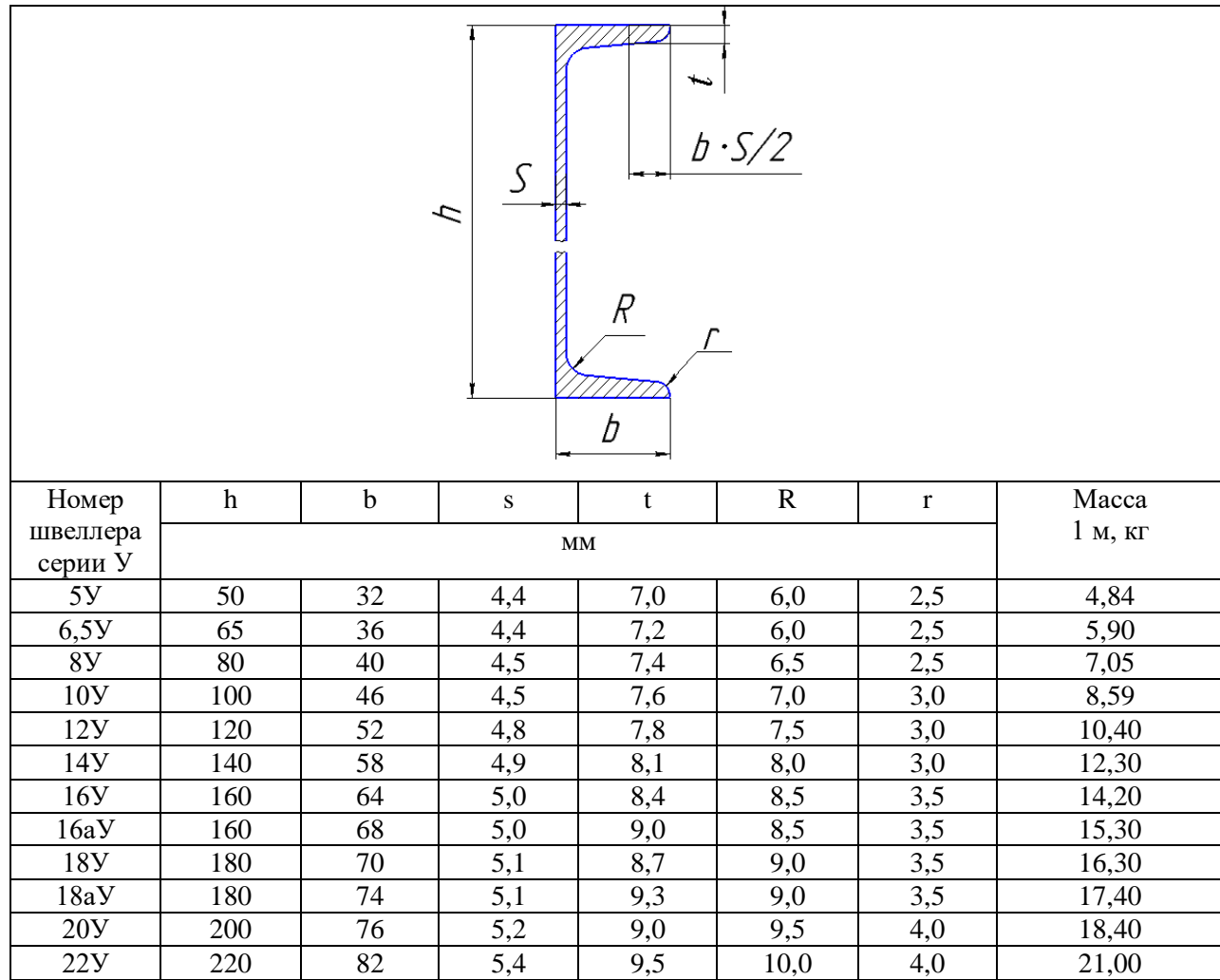
Материал	d ,MM							
	10	20	30	40	50	70	100	120
Углеродистая сталь $\sigma_{\rm B}$ =(400500) МПа	0,98	0,92	0,88	0,85	0,82	0,76	0,70	0,63
	0,97	0,89	0,85	0,81	0,78	0,72	0,68	0,61
Углеродистая и легированная сталь $\sigma_{\rm R}$ =(500800) МПа								
0 _B -(300800) Willia	0,95	0,86	0,81	0,77	0,74	0,69	0,65	0,59
Легированная сталь $\sigma_{\rm B}$ =(5001200) МПа	0,94	0,83	0,77	0,73	0,70	0,66	0,62	0,57
Легированная сталь $\sigma_{\rm B}$ =(12001400) МПа								

приложение у

(справочное)

Проектирование рамы привода

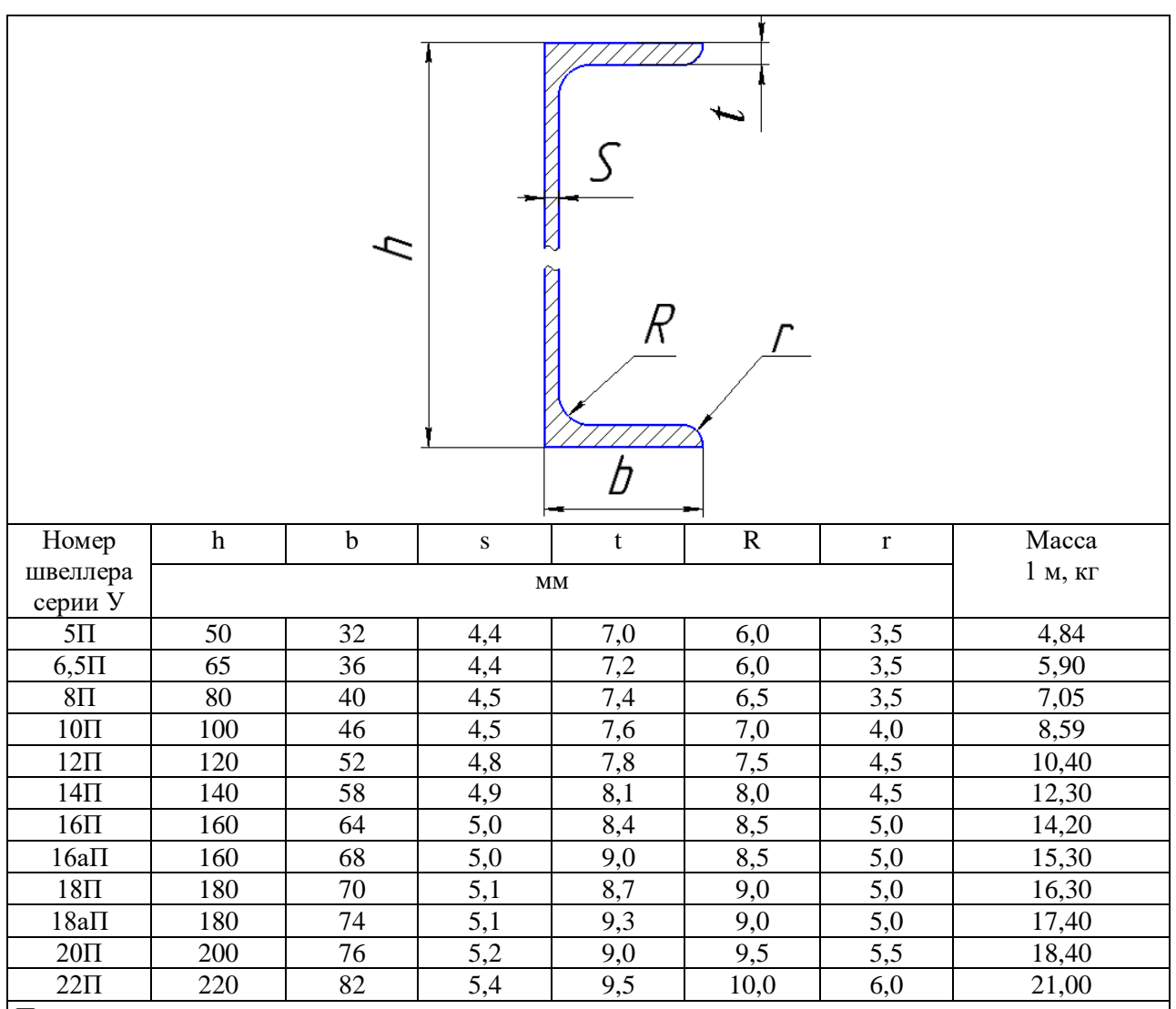
У.1 — Размеры поперечного сечения швеллеров с уклоном внутренних полок серии У в мм (из ГОСТ 8240-97)



Примечания:

^{1.}Пример условного обозначения швеллера №18аУ с высотой профиля 160 мм, шириной полки 68 мм, типоразмера 16 аУ (серии У-с уклоном внутренних граней полок),по ГОСТ 8240-97 Швеллер №16аУ ГОСТ 8240-97

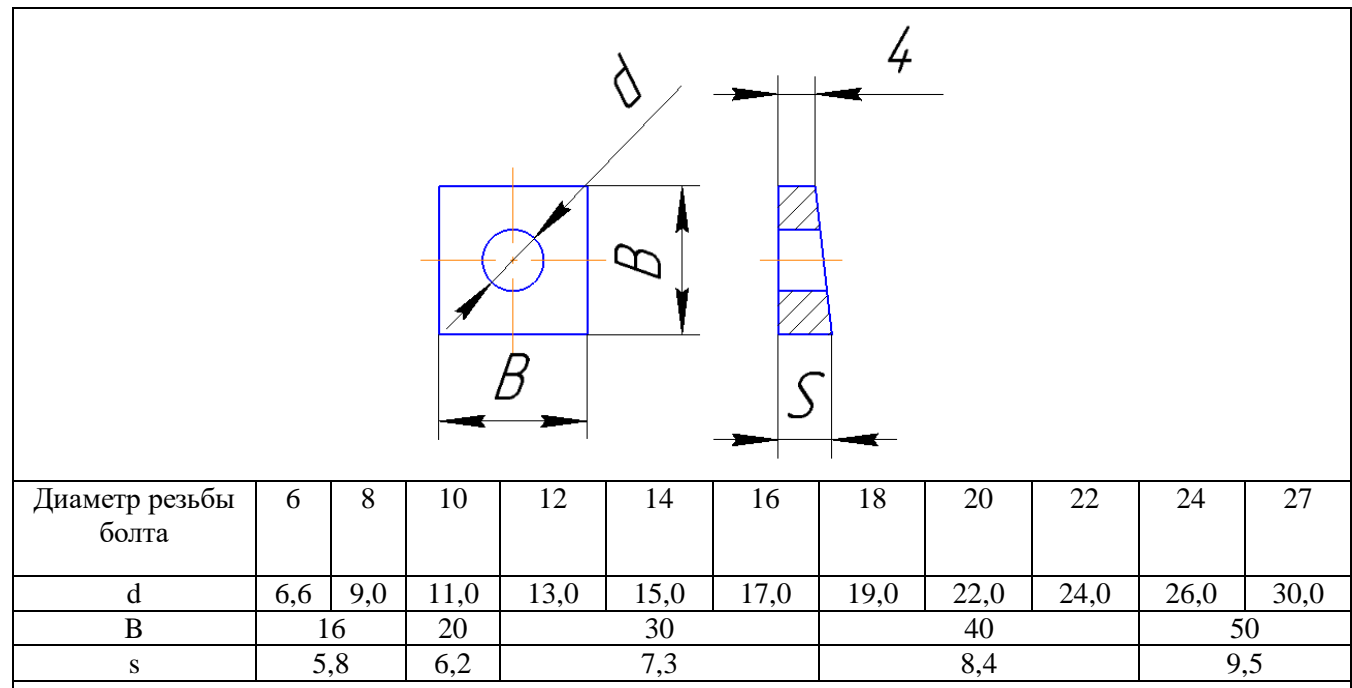
У.2 — Размеры поперечного сечения швеллеров с параллельными гранями полок серии П в мм (из ГОСТ 8240-97)



Примечания:

1.Пример условного обозначения швеллера №18П с высотой профиля 160 мм, шириной полки 68 мм, типоразмера 16 П (серии П-с параллельными гранями внутренних полок),по ГОСТ 8240-97 Швеллер №16 П ГОСТ 8240-97

У.3 – Размеры косых шайб мм (из ГОСТ 10906-78)



Примечания:

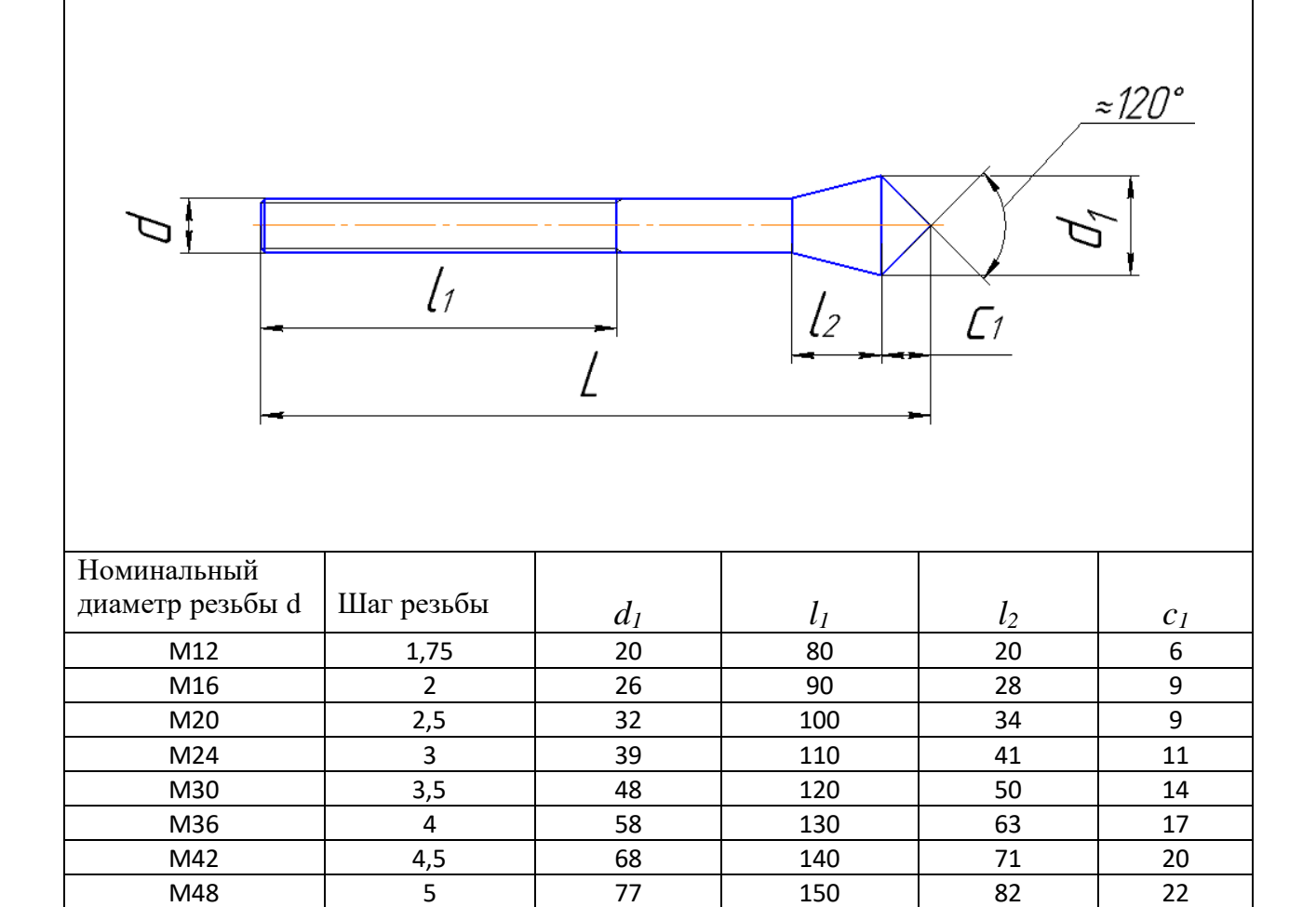
У.4 – Выбор фундаментных болтов

Длина рамы L_{PM} в мм	до 700	свыше 700 до 1000
Диаметр болтов <i>d</i> в мм	16	1820
Минимальное число болтов	4	6
Примечания:		

^{1.} Пример условного обозначения косой шайбы для крепежной детали с диаметром резьбы 12 мм из стали марки Ст 3, с цинковым хроматированным покрытием толщиной 6 мкм, по ГОСТ 10906-78: Шайба 12.02.Cm.3.016 ГОСТ 10906-78

^{1.} Фундаментные болты применяются согласно требований СНиП 2.09.03-85

У.4 — Размеры фундаментных шпилек типа 6 исполнения 3 в мм (из ГОСТ 24379.1-2012)



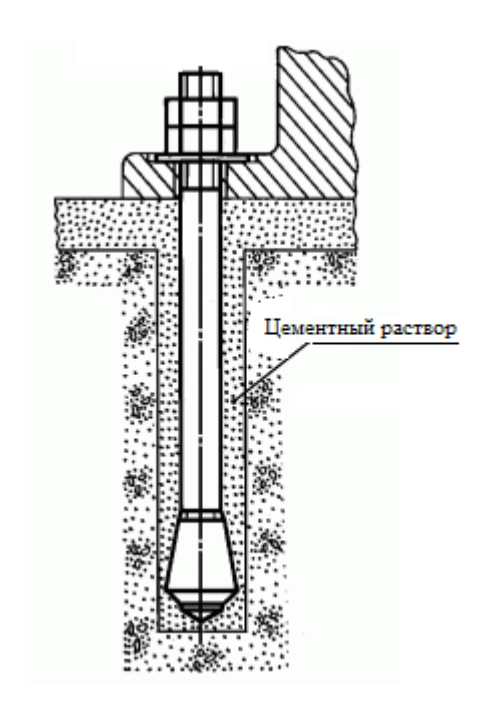
Примечания:

Шпилька 6.M20×250 BCm3nc2 ГОСТ 24379.1-2012

^{1.} Длина шпильки L по ГОСТ 6636-69: 250,300,350,400 мм.

^{2.} Пример условного обозначения фундаментной шпильки типа 6 с диаметром резьбы d=20 мм, длиной L=250 мм из стали марки BCт3пс категории 2:

У.5 – Пример установки фундаментного болта типа 6 в фундамент



- 1. Болты прямые с коническим концом исполнения 3 устанавливают в просверленные скважины готовых фундаментов.
- 2. Болты прямые с коническим концом закрепляют цементным раствором при вибропогружении в него шпильки болта.
- 3.Глубину заделки болтов в бетон, состав и марку бетона фундаментов, состав цементного раствора и марку цемента назначают согласно с нормативным документами, утвержденными в установленном порядке (Пособие по проектированию анкерных болтов для крепления строительных конструкций и оборудования к СНиП 2.09.03).

приложение Ф

(справочное)

СМАЗКА РЕДУКТОРА

Ф.1 – Рекомендации по применению масел в редукторах

	Номинальная кинематическая			Условия применения							
Марка масла	вязкость, при темпе °C	mm^2/c	Темпера тура,°С	Контактное напряжение: от 2 до 600 МПа;	До 1	0,52,5	2	3,56	510	815	
	50	100					ļ				
			3	убчатые пер	едачи						
ИРП-40	3545	810	-10+50	1			-	-	+	+	
				2	-	-	-	-	+	+	
ИРП-75	7280	111	-10+50	1	-	-	-	-	+	+	
		3		2	-	-	-	-	+	+	
ИРП-150	140160	182	-10+50	1	-	-	-	+	+	-	
		0		2	-	+	+	+	+	-	
ИТП-200	220240	-	-10+50	1	-	+	+	+	-	-	
				2	+	+	+	+	-	-	
ИТП-	304357	354 5	-7+50	1	+	+	+	-	-	-	
300	301337			2	+	+	-	-	-	-	
И-40А	40	-	- 15+45	1	+	+	-	-	+	+	
И-50А	50	7	20+45	1	-		1	-	+	+	

Ф.2 – Антифрикционные пластичные смазки

Группа	Марка	Интервал рабочих температур, °C	Примечание	
Многоцелевые	Литол-24	-40130	Основной тип	
Общего назначения	Солидол: синтетический жировой	-2065	Постепенно заменяемые смазки,	
Общего назначения для повышения температур	1-13 жировая Консталин	-20110 -20110	Успешно заменяются смазкой Литол-24	

приложение х

(справочное)

Пример проектирования ременной передачи

Х. 1 Методика расчет передач клиновыми ремнями.

В сельскохозяйственном машиностроении широко применяются клиновые ремни.

Клиновая форма ремня обеспечивает лучшее сцепление его со шкивом, что позволяет по сравнению с плоскоременной передачей уменьшить натяжение ремня и действие сил на валы и опоры, снизить минимальные значения диаметров шкивов и повысить передаточное отношение u.

Основными размерами клиновых ремней (таблица 1) являются расчетная ширина ремня b_p , по которой назначают размеры канавок шкивов, и расчетная длина L_p ремня на уровне нейтральной линии, по которой определяют межосевое расстояние

$$a = 0.25 [(L_p - w) + \sqrt{(L_p - w)^2 - 8y}],$$
 (1)

где $w = 0.5 \pi (d_2 + d_1), y = 0.25(d_2 - d_1)^2;$

 d_1 и d_2 — расчетные диаметры шкивов.

Выбор сечения ремня и минимальный допустимый диаметр ведущего шкива d_{\min} выбирается в зависимости от вращающего момента на ведущем шкиве T_1 по таблице 2. Уменьшение диаметров по сравнению с указанными в таблице 2 недопустимо, так так это приведет к быстрому выходу ремня из строя.

Значение диаметра ведущего шкива в мм при известном T_1 в H-м определяется по зависимости

$$d_1 = K_d \sqrt{T_1 \times 10^3} \,, \tag{2}$$

где $K_d = 3-4$.

Минимальное значение межосевого расстояния принимают не менее

$$a_{\min} = 0.55 (d_1 + d_2) + h_1,$$
 (3)

где h_1 — высота профиля клина ремня(таблица 1).

Межосевое расстояние назначает при компановке привода из условия

 Таблица 1 - Клиновые ремни (ГОСТ 1284.1–89, ГОСТ 1284.3–96)

<u> </u>	W_{ρ}	
	α=40°	

Обознач	Размер	ы сечен	ия, мм Площадь Расчетная		Macca			
ение сечения	W_p	W	h	сечения A_1 , мм ²	длина L_p мм	1 м длины q , кг		
Ремни нормального сечения								
O(Z)	8,5	10	6	47	400-3150	0,06		
A(A)	11	13	8	81	560- 4500	0,105		
Б(В)	14	17	11	138	6300 -7100	0,18		
B(<i>C</i>)	19	22	14	230	1250 - 10000	0,30		
$\Gamma(D)$	27	32	19	476	2240- 14000	0,62		
Д(Е)	32	38	23,5	692	4000- 18000	0,92		
E (<i>EO</i>)	42	50	30	1170	6300- 18000	1,5		
Узкие ремни								
YO(Z)	8,5	10	8	56	630 - 3550	0,07		
YA(A)	11	13	10	93	800 - 4500	0,12		
УБ (<i>B</i>)	14	17	13	159	1250 - 8000	0,20		
УB(<i>C</i>)	19	22	18	278	2000 - 8000	0,37		

Примечания

- 1. В скобках указаны обозначения ремней в международной системе.
- $2.\ L$ расчетная длина ремня на уровне нейтральной линии. Стандартный ряд длин $L_{\rm p}$ 400, 450, 500, 560, 630, 710, 800, 900, 1000, 1120, 1250, 1400, 1600, 18000, 2000, 2240, 2500, 2800, 3150, 3550, 4000, 4500, 5000, 5600, 6300, 7100, 8000, 9000, 10000, 11200, 12500, 14000, 16000, 18000
- 3. Примеры условных обозначений ремней.

Ремень сечения C(B) с расчетной длиной 2500, IV класса, эксплуатируемый в районах с умеренным климатом

Ремень C(B)-2500 IV ГОСТ 1284.1-89.

Таблица 2 - Значения диаметров шкивов для передач клиновыми ремнями

Обозначение сечения ремня	Вращающий момент T_1 , Н·м	d_{min} , MM						
	Нормального сечения							
O(Z)	< 30	63						
A(A)	15–60	90						
Б(В)	50–150	125						
B(C)	120–600	200						
	Узкие							
УО	< 150	63						
УА	90–400	90						
УБ	300–2000	140						
УВ	>1500	224						

Примечания

размещения на раме привода проектируемого редуктора и электродвигателя.

Передачи клиновыми ремнями рассчитывают по тяговой способности и долговечности согласно ГОСТ 1284.3-96.

Число клиновых ремней
$$z = P/P_{\text{поп}}$$
 (4)

где $P_{\text{доп}}$ — допускаемая мощность на один клиновой при заданных условиях работы

$$P_{\text{доп}} = P_{\text{o}} C_{\alpha} C_{L} C_{z} C_{p} . \tag{5}$$

Значения мощности P_0 , передаваемой в стандартных условиях одним ремнем нормального сечения с базовой длиной L_0 приведены в таблице 3, узкого сечения — в таблице 4.

Коэффициент C_{α} учитывает влияние угла обхвата α_1 малого шкива по таблице 5. При известных диаметрах шкивов d_1 и d_2 ,межосевом расстоянии a угол обхвата ремнем ведущего шкива определяют из выражения

^{1.} Номинальные расчетные диаметры d_p шкивов согласно ГОСТ 20889-88 принимать из ряда: 63; (67); 71; (75); 80; (85); 90; (95); 100; (106); 112; (118); 125; (132); 140; (150); 160; (170); 180; (190); 200; (212); 224; (236); 250; (265); 280; (300); 315; (335); 355; (375); 400; (425); 450; 475; 500; (530); 560; (600); (620); 630; (670); 710; (750); 800; (850); 900; (950); 1000; (1060); 1120; (1180); 1250; (1320); 1400; (1500); 1600; (1700); 1800; (1900); 2000; (2120); 2240; (2360); 2500; (2650); (2800); (3000); (3150); (3550); (3750); (4000) мм. Размеры, указанные в скобках, применяются только в технически обоснованных случаях.

$$\alpha_1 = 180^{\circ} - 57^{\circ} (d_2 - d_1)/a.$$
 (6)

Коэффициент C_L , учитывающий влияние длины ремня, принимают по таблице 6 в зависимости от отношения расчетной длины L_p ремня к базовой длине ремня L_o , представленной в таблицах 3 и 4.

Коэффициент C_z учитывающий неравномерность распределения нагрузки по ремням, принимают в зависимости от предполагаемого числа z ремней по таблице 7. Предполагаемое число ремней может быть определено по формуле (4) без учета значения коэффициента C_z .

Коэффициент C_p , учитывающий влияние режима работы и интенсивность использования передачи , принимают по рекомендациям, приведенным в таблице 8.

При известных вращающем моменте T_1 , угловых скоростях ведущего ω_1 и ведомого ω_2 валов клиноременной передачи или передаточном отношении привода u, режиме работы привода расчет передачи выполняют в следующей последовательности.

- 1. В зависимости от вращающего момента T_1 по таблице 1 выбирают сечение ремня и определяют диаметр малого шкива по эмпирической формуле 2, приняв $K_d = 3$ —4 для клиноременной передачи . При этом рекомендуется применять шкивы с диаметром d_1 из стандартного ряда, представленном в таблице 2. Не следует принимать диаметр d_1 меньше диаметра d_{\min} , указанного в таблице 2.
- 2. Определяют диаметр большого шкива из выражения $d_2 = d_1(\omega_1/\omega_2)$ или $d_2 = d_1$ и. Полученное значение округляют до ближайшего по стандартному ряду в таблице 2 .

Таблица 3- Номинальная мощность P_0 , кВт, передаваемая одним клиновым ремнем базовой длины в стандартных условиях (ГОСТ 1284.3–96)

Сечение	Диаметр	Передато		Частота вр	ращения ме	еньшего ш	кива, мин	-1
ремня (базовая длина L_0 ,	малого шкива, d_1 , мм	чное отношен ие <i>и</i>	400	700	950	1450	2000	2800
1	2	3	4	5	6	7	8	9
	63	1,5 3,0	0,19 0,19	0,29- 0,30	0,38- 0,39	0,53- 0,54	0,67- 0,69	0,86 -0,88
O(Z)	71	1,5 3,0	0,23 0,23	0,36- 0,37	0,46- 0,48	0,66- 0,68	0,84- 0,87	1,08 -1,11
(800)	80	1,5 3,0	0,27 0,28	0,44- 0,45	0,56- 0,58	0,80-0,82	1,03- 1,06	1,32- 1,36
	90	1,5 3,0	0,32 0,33	0,52 -0,54	0,67- 0,69	0,96- 0,99	1,23-1,27	1,58- 1,78
	100	1,5 3,0	0,37 0,38	0,60 -0,62	0,78- 0,80	1,11 -1,14	1,43- 1,48	1,83- 1,89
A (4)	90	1,5 3,0	0,43 0,44	0,67- 0,69	0,85- 0,88	1,18- 1,21	1,48- 1,53	1,82- 1,87
A(A) (1700)	100	1,5 3,0	0,52 0,53	0,82- 0,84	1,05- 1,08	1,45 -1,50	1,84- 1,89	2,27- 2,34
	112	1,5 3,0	0,62 0,64	0,99- 1,02	1,27- 1,31	1,78- 1,84	2,25- 2,33	2,78 -2,87
	125	1,5 3,0	0,74 0,76	1,18 -1,22	1,52 -1,57	2,13-2,19	2,69-2,78	3,30 -3,40
	140	1,5 3,0	0,86 0,89	1,39- 1,43	1,79- 1,85	2,51- 2,59	3,17- 3,27	3,85- 3,97
Б(<i>B</i>) (2240)	125	1,5 3,0	0,93 0,96	1,44- 1,48	1,81- 1,86	2,42- 2,50	2,92 -3,01	_
	140	1,5 3,0	1,16 1,20	1,81- 1,87	2,30-2,37	3,10-3,21	3,78 -3,90	_
	160	1,5 3,0	1,46 1,51	2,31 -2,38	2,94- 3,03	4,00-4,13	4,85- 5,01	_

Окончание таблицы 3

1	2	3	4	5	6	7	8	9
Б(<i>B</i>) (2240)	180	1,5 3,0	1,76 1,81	2,79- 2,88	3,56- 3,67	4,85- 5,01	5,86- 6,05	
	200	1,5 3,0	2,05 2,11	3,27-3,37	4,17- 4,30	5,67- 5,85	6,78- 6,99	_
B(C)	200	1,5 3,0	2,67 2,75	4,08-4,21	_	_	_	_
(3750)	224	1,5	3,31 3,41	5,12- 5,29	_	_	_	
	250	1,5 3,0	4,00 4,12	6,23- 6,43	_	_	_	_

Таблица 4 - Мощность P , кВт, передаваемая одним узким клиновым ремнем

Сечение ремня	Диаметр	Скорость ремня v , м/с						
(длина L_0 , мм)	малого шкива d_1 , мм	5	10	20	30	40		
УО (1600)	63 71 80 90	0,95 1,18 1,38 1,58	1,50 1,95 2,34 2,65	1,85 2,73 3,50 4,20	- - - 4,55	- - -		
УА (2500)	90 100 112 125	1,56 1,89 2,17 2,41	2,57 3,15 3,72 4,23	5,62 6,60	7,10	- - -		
УБ (3550)	140 160 180 200	2,95 3,45 3,80 4,12	5,00 5,98 6,70 7,3	9,10 10,6 11,9	- 11,5 13,3	- - - -		
УВ (5600)	224 250 280 315	5,45 6,05 6,60 7,08	9,4 10,6 11,5 12,8	14,1 16,6 18,7 20,9	17,1 20,7 23,9	- - 22,7		

Таблица 5 - Значения коэффициента C_{α}

Ремень	Угол обхвата $lpha_1$									
	180	170	160	150	140	130	120			
Клиновой	1,00	0,98	0,95	0,92	0,89	0,86	0,83			

Таблица 6 - Значения коэффициента C_L

Ремень		L_p/L_o						
1 CWCIIB	0,4	0,6	0,8	1	1,2	1,4		
Клиновой нормального сечения Клиновой узкого сечения	1,00 1,00	0,98 0,97	0,95 0,94	0,92 0,91	0,89 0,88	0,86 0,84		

Таблица 7 — Значения коэффициента C_z

Предполагаемое число ремней глр	2–3	4–6	б и более
Значение коэффициента C_z	0,95	0,9	0,85

Таблица 8 - Значения коэффициента динамичности нагрузки и режима работы Ср

Режим работы, обозначение	Типы машин 2	Характер нагрузки	Электродвигатель переменного тока общепромышленного применения Число см			Электродвигатель переменного тока с повышенным пусковым моментом, мен работы привода			
1			1	2	3	1	2	3	
Легкий, Л	Станки токарные, сверлильные, шлифовальные; легкие венти-ляторы; насосы и компрессоры центробежные; ленточные кон-вейеры; сепараторы, легкие грохо-ты; машины для очистки и погрузки зерна и др.	Спокойная. Максимальная кратковременная нагрузка до 120% от номинальной.	1	1,1	1,4	1,2	1,4	1,6	
Средний, С	Станки фрезерные, зубофре- зерные;генераторы; поршневые насосы и компрессоры с тремя и более цилиндрами; вентиляторы и воздуходувки; цепные конвейеры; элеваторы; дисковые пилы для дерева и др.	Умеренные колебания нагрузки. Максимальная кратко-временная нагрузка до 150% от номинальной.	1,1	1,2	1,5	1,3	1,5	1,7	
Тяжелый, Т	Станки строгальные, долбежные; насосы и компрессоры поршневые с одним или двумя цилиндрами; вентиляторы и воздуходувки тяжелого типа; конвейеры винтовые, скребковые; машины для прессования и брикетирования кормов и др	Значительные колебания нагрузки. Максимальная кратковременная нагрузка до 200% от номинальной.	1,2	1,3	1,6	1,4	1,6	1,9	
Очень тяжелый, ВТ	Подъемники; прессы винтовые и эксцентриковые с относительно легким маховиком; ножницы, молоты; мельницы шаровые, жерновые, вальцовые; дробилки; лесопильные рамы и др.	Ударная и резко неравномерная нагрузка. Максимальная кратковременная нагрузка до 300% от номи-нальной.	1,3	1,5	1,7	1,5	1,7	2,0	

3. Уточняют угловую скорость ведомого шкива , приняв коэффициент скольжения $\varepsilon = 0.01 - 0.02$.

$$\omega_2 = (d_1 \omega_1 (1 - \varepsilon))/d_2 \tag{7}$$

4. Определяют фактическую передаточное отношения

$$u_{\phi} = \omega_1/\omega_2. \tag{8}$$

5. Определяют несоответствие фактического передаточного отношения u_{ϕ} заданному значению u

$$\Delta u = \frac{u_{\phi} - u}{u} 100\% \le 4\% \ . \tag{9}$$

6. Находят скорость движения ремня по формуле

$$v = \omega_1 d_1 / (2 \times 1000). \tag{10}$$

7. Определяют ориентировочное межосевое расстояние a по формуле 1. Уточняют межосевое расстояние с учетом условия

$$a_{np} \geq a_{\min}$$
, (11)

где a_{\min} — определяют из выражения 3

8. Рассчитавают расчетное значение длины ремня

$$L = 2a_{np} + \frac{\pi}{2}(d_1 + d_2) + \frac{(d_2 - d_1)^2}{4a_{np}}.$$
 (12)

Принимают ближайшее большее значение L_p из стандартного ряда (таблица 1).

9. По формуле 1 вычисляют окончательное значение межосевого расстояния a_p .

При разработке компановки приводной станции уточняют межосевое расстояние с учетом условия собираемости привода(рисунок 1)

$$a_{np} \ge (l_{\text{pe}_{\text{A}}} + l_{\text{AB}}) + 10...15 \text{ MM}.$$
 (13)

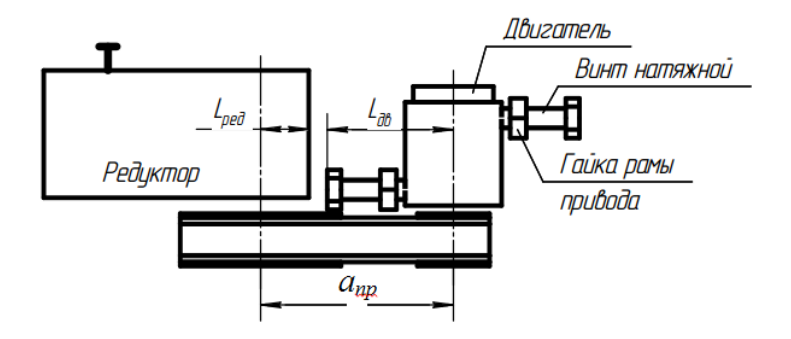


Рисунок 1 – Проверка собираемости привода

10. Определяют угол обхвата α_1 на ведущем шкиве

$$\alpha_1 = 180^{\circ} - 57^{\circ} (d_2 - d_1)/a$$
 (14)

Значение угла обхвата должно быть $\alpha_1 \ge 120^\circ$.

В случае невыполнения предыдущего условия следует увеличить межосевое расстояние передачи.

- 11. Определяют допускаемую мощность $P_{\text{поп}}$.из выражения 5.
- 12. Находят требуемое число клиновых ремней по формуле 4 и округляют значение в меньшую сторону до целого числа.
- 13. Определяют силу предварительного натяжения одного клинового ремня:

$$F_0 = [850 \ PC_L/(\nu \ C_{\alpha}C_p z)] + q \ \nu^2$$
 (15)

и силу, действующую на вал

$$F_r = 2F_0 z \sin(\alpha_1/2), \tag{16}$$

где q — масса 1 м длины ремня в к Γ (таблица 1).

Е. 2 Пример расчета передачи клиновыми ремнями

Рассчитать клиноременную передачу по данным: T_1 = 69,8 H·м , ω_1 = 152,8 c⁻¹, ω_2 = 54,2 c⁻¹, передаточное отношение привода u = 2,82 ,частота вращения малого ведущего шкива n_1 =1450 мин⁻¹ ,работа односменная, режим работы - легкий.

Решение. 1. По таблице 2 для $T_1 = 69,8$ Н·м выбираем сечение Б и определяем диаметр малого (ведущего) шкива, приняв коэффициент $K_d = 3-4$

$$d_1 = K_d \sqrt{T_1 \times 10^3} = (3-4) \sqrt{69.8 \times 10^3} = 124-165 \text{ MM}.$$

Согласно рекомендациям, приведенным в таблице 3, принимаем $d_1 = 140$ мм.

2. Диаметр ведомого шкива

$$d_2 = d_1(\omega_1/\omega_2) = 140 \times (152.8 / 54.2) = 394.7 \text{ MM}.$$

Принимаем по таблице 2 из стандартного ряда $d_2 = 400$ мм.

3. Уточняем угловую скорость тихоходного вала, принимая коэффициент скольжения

$$\omega_2 = (d_1\omega_1(1-\varepsilon))/d_2 = (140 \times 152, 8(1-0,015))/400 = 52,7c^{-1}$$
.

4. Фактическое передаточное отношение

$$u_{\phi} = \omega_1/\omega_2 = 152,8/52,7 = 2,90$$

и отклонение от заданного

$$\Delta u = \frac{2,90 - 2,82}{2,82} 100\% = 2,8\%$$

не превышает допускаемого значения $\Delta \leq 4\%$.

5. Скорость ремня

$$v = \omega_1 d_1 / (2 \times 1000) = 152,8 \times 140/2000 = 10,7 \text{ m/c}.$$

6. Минимальное значение межосевого расстояния

$$a_{\min} = 0.55(d_1 + d_2) + h = 0.55(140 + 400) + 11 = 308 \text{ MM},$$

где высота h = 11 мм для ремня сечения Б принята по таблице 1.

- 7. Принимаем межосевое расстояние $a_{\text{пр}} = 308$ мм.
- 8. Определяем длину ремня

$$L_{p} = 2a_{np} + \frac{\pi}{2}(d_{1} + d_{2}) + \frac{(d_{2} - d_{1})^{2}}{4a_{np}} = 2 \times 308 + \frac{3,14}{2}(140 + 400) + \frac{(400 - 140)^{2}}{4 \times 308} = 1519 \text{ MM}$$

По таблице 1 для ремня сечения Б ,диаметре ведущего шкива принимаем для стандартного ремня $L_p = 1600$ мм.

8. Определяем окончательное значение межосевого расстояния:

$$a_p = 0.25 [(L_p - w) + \sqrt{(L_p - w)^2 - 8y}] = 0.25 [(1600 - 847.8) + + \sqrt{(1600 - 847.8)^2 - 8 \times 16900}] = 352 \text{ MM}.$$

где
$$w = 0.5\pi(d_2 + d_1) = 0.5 \times 3.14(400 + 140) = 847.8$$
 мм; $v = 0.25(d_2 - d_1)^2 = 0.25(400 - 140)^2 = 16900$ мм².

9. Найдем угол обхвата α₁ на ведущем шкиве

$$\alpha_1 = 180^{\circ} - 57^{\circ} (d_2 - d_1)/a = 180^{\circ} - 57^{\circ} (400 - 140)/352 = 138^{\circ}.$$

Значение угла обхвата $\alpha_1 = 138^{\circ} > 120^{\circ}$.

- 9. Для ремня сечения Б, диаметра ведущего шкива d_1 =140 мм, частоты вращения ведущего шкива n_I =1450 мин⁻¹, передаточного отношения привода $u_{\phi}=2,90$ по таблице 3 интерполированием находим значение мощности P_0 =3,1 кВт .
- 10.Определим значения коэффициентов в выражении 5: $C_{\alpha} = 0.88$ для угла обхвата $\alpha_1 = 138^{\circ}$ (таблица 5); $C_L = 0.965$ (таблица 6) для $L_p/L_0 = 1600/2240$ = 0,71; $C_p = 1$ для легкого режима работы в 1 смену(таблица 8); $C_z = 0.9$ по таблице 7 при

$$z = P/(P_0C_\alpha C_p C_L) = 10,66/(3,1\times0,88\times1\times0,965) = 4,05.$$

11. Тогда допускаемая мощность на один клиновый ремень составит

$$P_{\text{доп}} = P_0 C_{\alpha} C_p C_L C_z = 3,1 \times 0,88 \times 1 \times 965 \times 0,9 = 2,37 \text{ kBt.}$$

12. Находим требуемое число клиновых ремней:

$$z = P/P_{\text{non}} = 10,66/2,37 = 4,49 \text{ mr.},$$

где
$$P_1 = T_1 \omega_1 = 69,8 \times 152,8 = 10 660 \text{ BT} = 10,66 \text{ кВт}.$$

Принимаем z = 4.

13. Определяем силу предварительного натяжения одного ремня

$$F_0 = [850PC_L/\nu C_\alpha C_p z)] + q\nu^2 = [850\times10,66\times0,965/(10,7\times0,88\times1\times4)] + 0,18\times10,7^2 = 252,8 \text{ H},$$

где q - 0,18 кг/м по таблице 1.

Находим силу, действующую на валы

$$F_r = 2F_0 z \sin(\alpha_1/2) = 2 \times 252,8 \times 4 \sin(138^\circ/2) = 1888,1 \text{ H}.$$

Е.3 - Конструкция и размеры профиля канавок для шкивов клиновых передач по ГОСТ 20889-88 и ГОСТ Р 50641-94

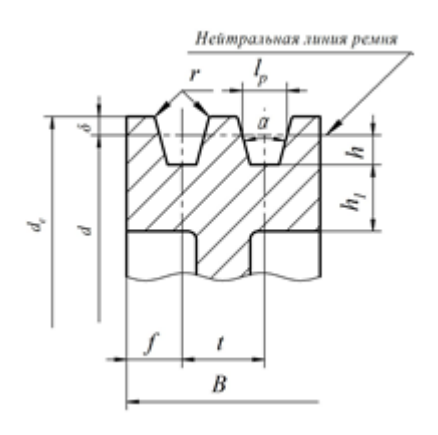


Рисунок Е.3.1 - Профиль канавок для клиновых ремней

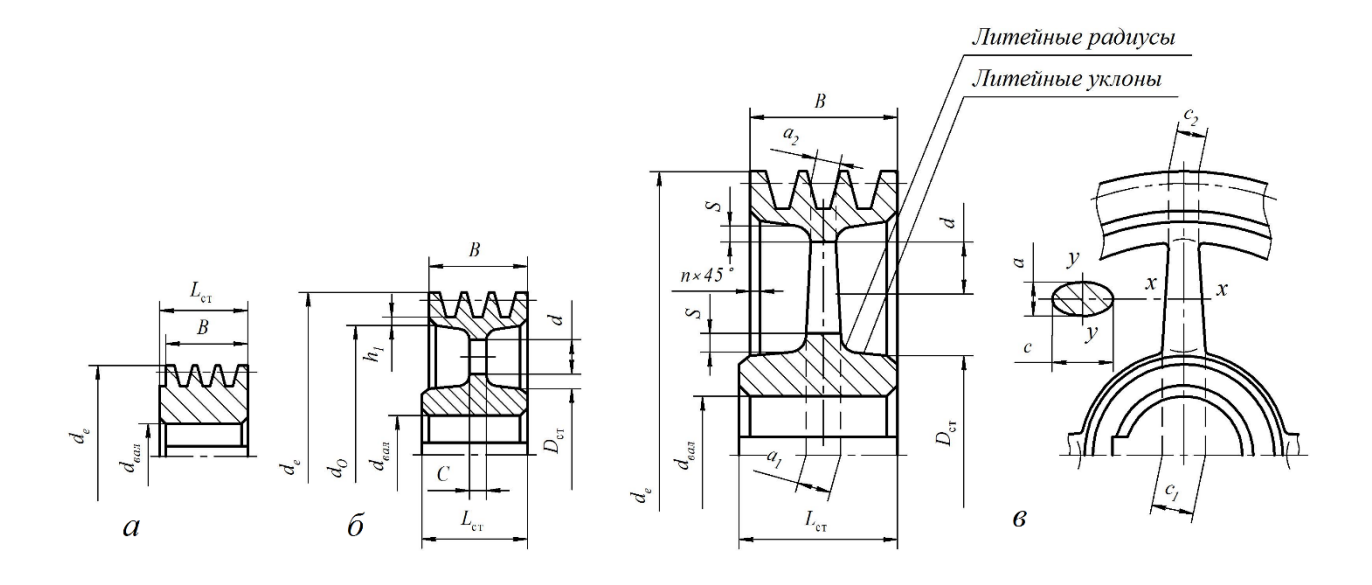


Рисунок Е.3.2 – Конструкция шкивов

Размеры профиля канавок для шкивов клиновых передач по ГОСТ 20889-88 и ГОСТ Р 50641-94 (рисунки Е.З.1 и Е.З.2)

Сечение нормального ремня (ГОСТ 20889-88)			O (Z)	A (A)	Б (В)	B (C)	Γ (D)
Сечение нормального ремня (ГОСТ Р 50641-94)		Z	A	В	С	D	
Диаметр	монолитна	я	6390	90 100	-	-	-
\square кива d ,	с диском		80160	112200	125250	200355	315400
MM	со спицам	И	≥180	≥224	≥280	≥400	≥450
Размеры		δ	2,5 (2,0)	3,3 (2,75)	4,2 (3,5)	5,7 (4,8)	8,1 (8,1)
профиля	нормального	h	7,0	8,7	10,8	14,3	19,9
канавок,	общие	t**	12,0±0,3	15,0±0,3	19,0±0,4	25,5±0,5	37,0±0,6
мм для	размеры	f	8±1	$10,0({}^{_{+2,0}}_{_{-1,0}})$	$12,5({}^{+2,0}_{-1,0})$	$17,0({}^{\scriptscriptstyle +2,0}_{\scriptscriptstyle -1,0})$	24(+3,0)
ремней	узкого	δ	2,5 (2,0)	3,0 (2,75)	4,0 (3,5)	5,3 (4,8)	-
сечения		h	10,0	13,0	17,0	19,0	-
	α=34°(34°)		5071	75112	125160	(≤315)	-
<i>d</i> для			(≤80)	(<118)	(≤190)		215 150
угла	α=36°(36°)*		80100	125160	180224	200315	315450 (≤475)
канавки	α=38°(38°)		112160	180400	250500	355630	500900
α°			(>80)	(>118)	(>190)	(>315)	(>475)
	α=40°		>180	>450	>560	>710	>1000
Другие	$lpha\pm$		α±1°	α ±1°	α ±1°	α ±30°	α ±30'
размеры,	h_1		6	6	6	10	12
MM	r		0,5	1,0	1,0	1,5	2,0
Сечение у 20889-88)	Сечение узкого ремня (ГОСТ 20889-88)		УО	УА	УБ	УВ	-
Сечение уз Р 50641-94	зкого ремня (Г 4)	OCT	SPZ	SPA	SPB	SPC	-

Примечания:

- $1. \ b$ и h минимально допустимое значение.
- 2. $\alpha \pm$ допустимое отклонение угла α .
- 3. Размеры в скобках для ремней сечением по ГОСТ Р 50641-94.
- 4. * угол канавки 36° предусмотрен ГОСТ Р 50641-94 только для профиля D.
- 5. Предельные отклонения размера d h11.
- 6. ** накопленная погрешность размера для всех канавок шкива по ГОСТ Р 50641-94 не должна превышать для сечений: Z(SPZ) и A(SPA) ± 0.6 мм; B(SPB) ± 0.8 мм; C(SPC) ± 1.0 мм; P ± 1.2 мм.